



بسم الله الرحمن الرحيم

سازه های فولادی ۲

دانشگاه آزاد اسلامی واحد زنجان

مدرس: حسین پروینی ثانی

(hosseinp@aut.ac.ir)

سرفصل ها:

۱- اتصالات جوشی

۲- اتصالات پیچی

۳- صفحات پایی ستون

مراجع

- ۱- "طراحی سازه های فولادی"، دکتر مجتبی ازهربی و دکتر سید رسول میر قادری، انتشارات ارکان دانش، شش جلد. جلد ششم مناسب برای درس سازه های فولادی ۲ است (به روش حدی)
 - ۲- "طراحی سازه های فولادی به روش تنش مجاز و حدی"، شاپور طاحونی، ۲ جلد
 - ۳- طراحی سازه های فولادی به روش ضریب بالا و ضریب مقاومت (LRFD)، دکتر فریدون ایرانی، دانشگاه امام رضا (ع).
 - ۴- طرح و محاسبه سازه های فولادی، ترجمه فریدون ایرانی، انتشارات فردوسی مشهد
 - **طراحی سازه های فولادی روشهای طراحی ASD و LRFD**، حبیب الله اکبر، انتشارات سیمای دانش، ۱۳۹۲.
 - ۶- طراحی ساختمان های فولادی، ناشر: انتشارات سروش دانش، نویسندها: ابراهیم ثناوی و علیرضا رضائیان.
 - ۷- "راهنمای جوش و اتصالات جوشی در ساختمان های فولادی"، شاپور طاحونی، دفتر تدوین و ترویج مقررات ملی ساختمان.
 - ۸- آئین نامه اتصالات در سازه های فولادی، نشریه شماره ۲۶۴، معاونت امور فنی، دفتر تدوین ضوابط و معیارهای فنی، ۱۳۸۲.
 - ۹- مبحث دهم مقررات ملی ساختمان، "طرح و اجرای ساختمان های فولادی"، دفتر تدوین و ترویج مقررات ملی ساختمان، ۱۳۹۲.
- http://www.hoseinzadeh.net/ - ۱۰

طراحی سازه‌های فولادی

به روش حالات حدی و مطابقت مجاز

(LRFD-ASD)

جلد ششم - طراحی انتقالات جاپ اوول

LRFD - ASD



نویسندهان: دکتر مجتبی ازهري، دکتر سيدرسول مير قادری

طراحی سازه‌های فولادی

روش های طراحی ASD و LRFD

Design of Steel Structures
ASD and LRFD

دکتر حبیب الله اکبر



مقررات ملّی ساختمان

طرح و اجرای ساختمانهای فولادی

۱۳۹۲

مبّحث دهم

آین نامه اتصالات در سازه‌های فولادی

جمهوری اسلامی ایران
وزارت مسکن و شهرسازی و برنامه ریزی کشور



هزار و سیصد هزار قلم
دانشگاه فنی و مهندسی و معماری
<http://www.mpcg.ac>

نشریه شماره ۲۶۴

طراحی سازه‌های فولادی

(بر اساس طراحی به روش تنش مجاز و روش حدی)
(مبحث دهم از مجموعه مقررات ملی ساختمان)
(جلد اول)



تألیف:

شاپور طاحونی

عضو هیئت علمی دانشگاه صنعتی امیر کبیر

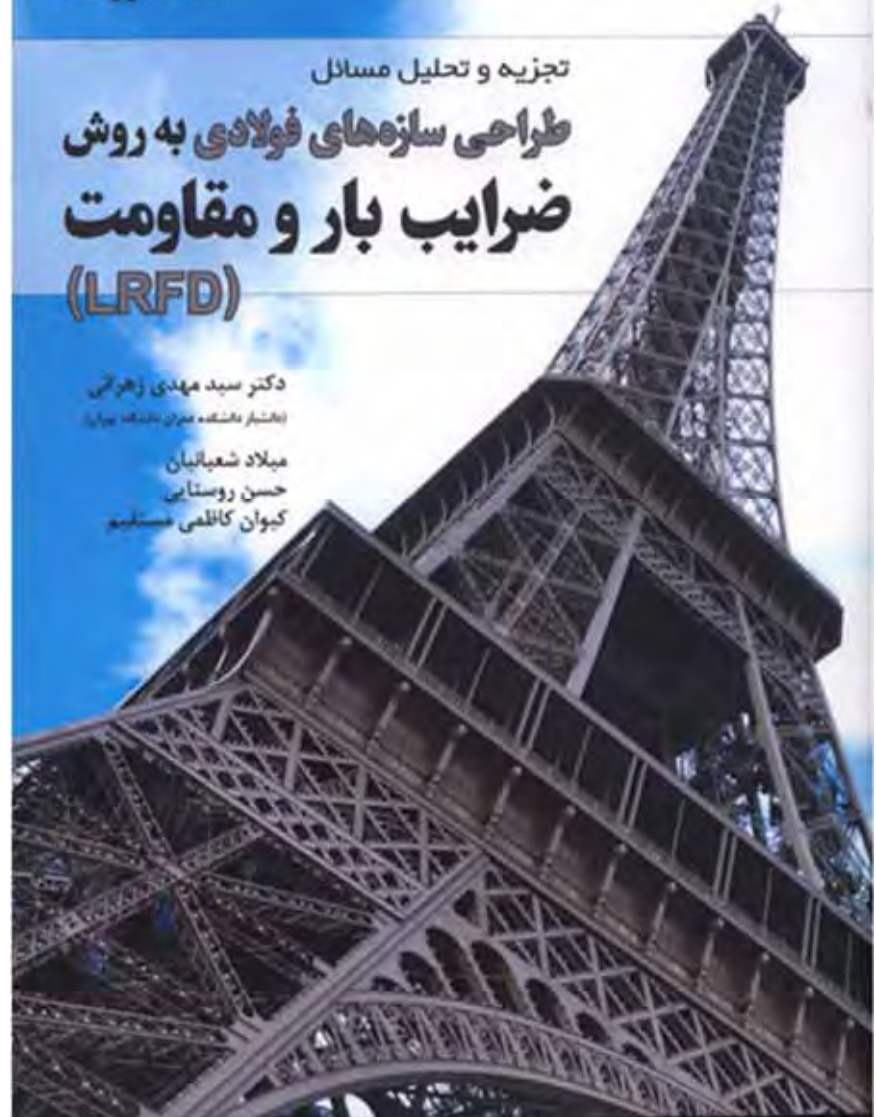
مک‌کورمک

تجزیه و تحلیل مسائل

طراحی سازه‌های فولادی به روش ضایعات بار و مقاومت (LRFD)

دکتر سید مهدی زهرانی
(دانشگاه علم و تکنولوژی پریشان)

میلاد شعبانیان
حسن روستایی
کیوان گالانی مسالمه



مک گورنر



طراحی سازه‌های فولادی

به روش

ضریب بار و ضریب مقاومت
(LRFD)

چاپ دوم

ترجمه و انتباس

دکتر فریدون ابرانی



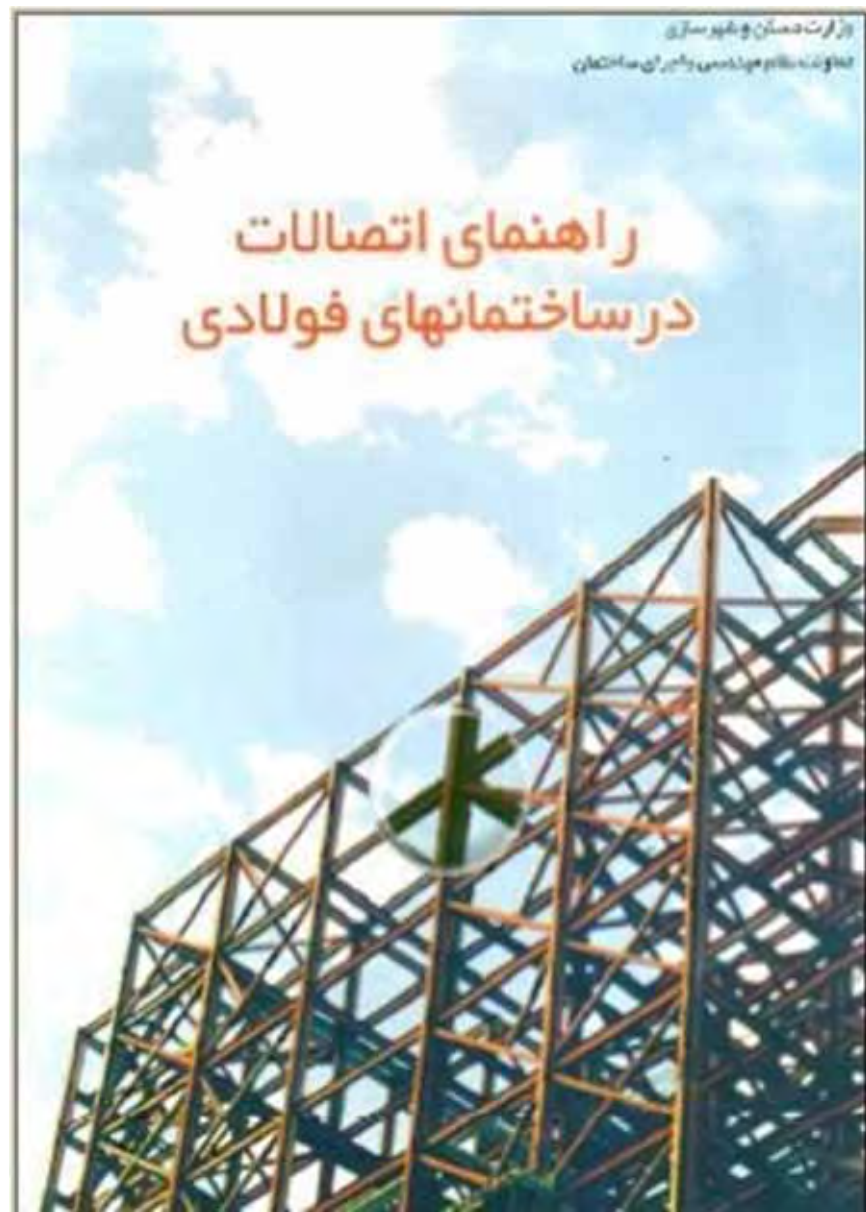
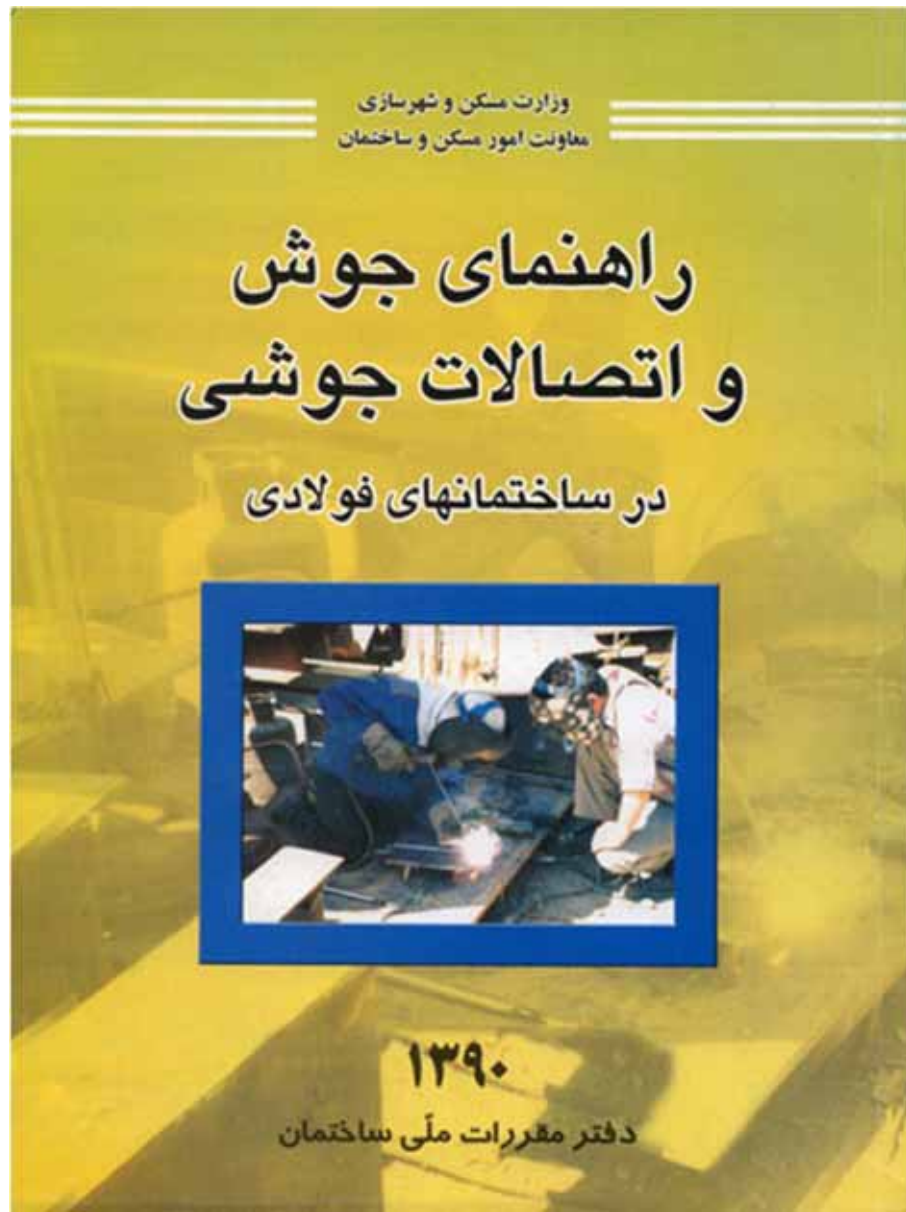
طراحی سازه‌های فولادی

جلد سوم - اتصالات جلد جهاد دم

با ویرایش و اصلاحات اساسی هفرا آه با طراحی لرزه‌ای اتصالات
خمش و وصله تیرها و ستون‌ها به انضمام مثال‌های جدید



نویسنده‌گان: دکتر مجتبی ازهري، دکتر سیدرسول میرقادري



فصل

جوش و اتصالات جوشی

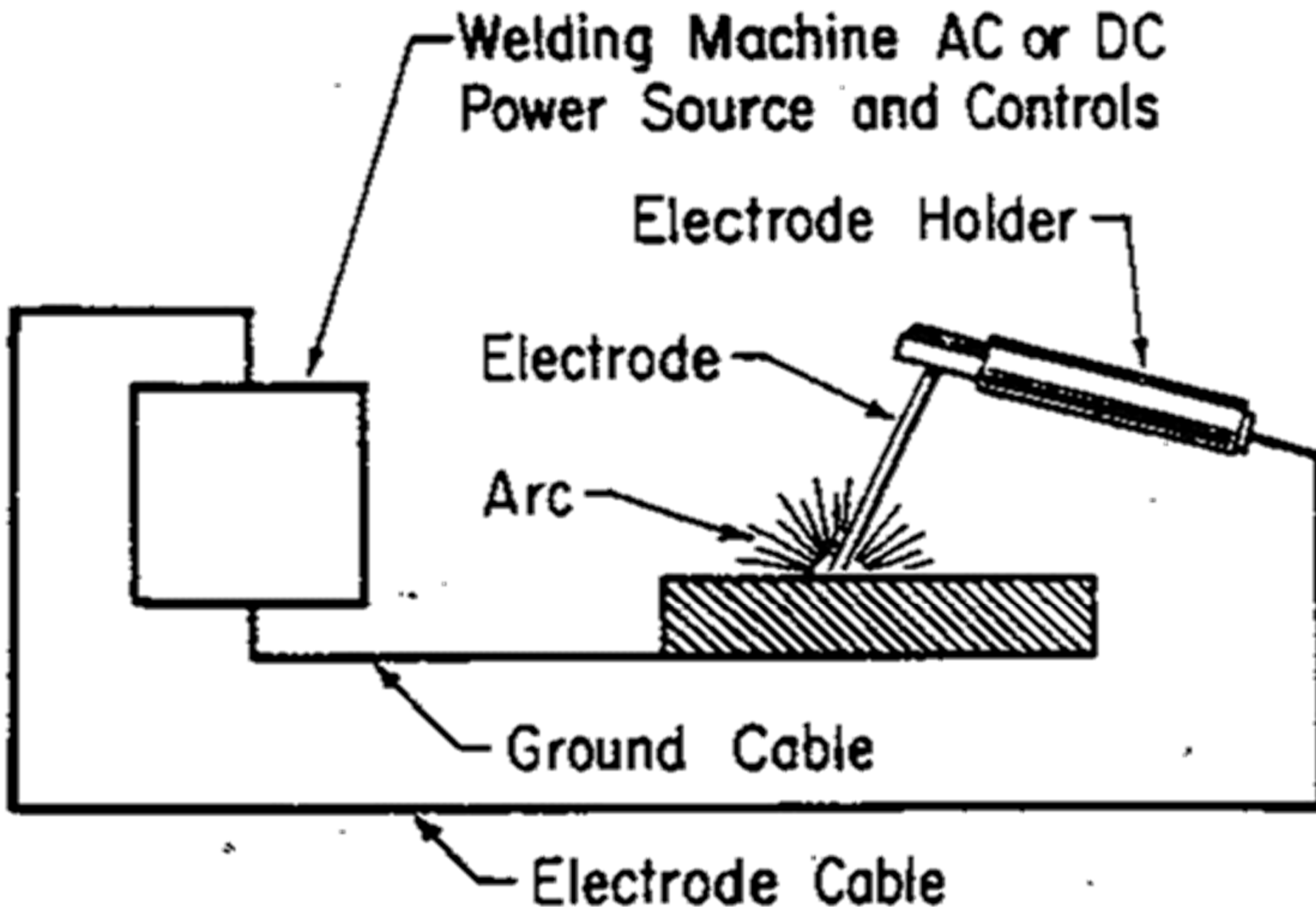
مرجع: نشریه ۲۲۸- آئین نامه جوشکاری ایران
American Society of Mechanical Engineers (ASME) Codes
American Welding Society (AWS) Standards

تعريف:

جوشکاری عبارت است از امتزاج دو فلز به کمک حرارت و فشار و یا ترکیبی از آن دو.

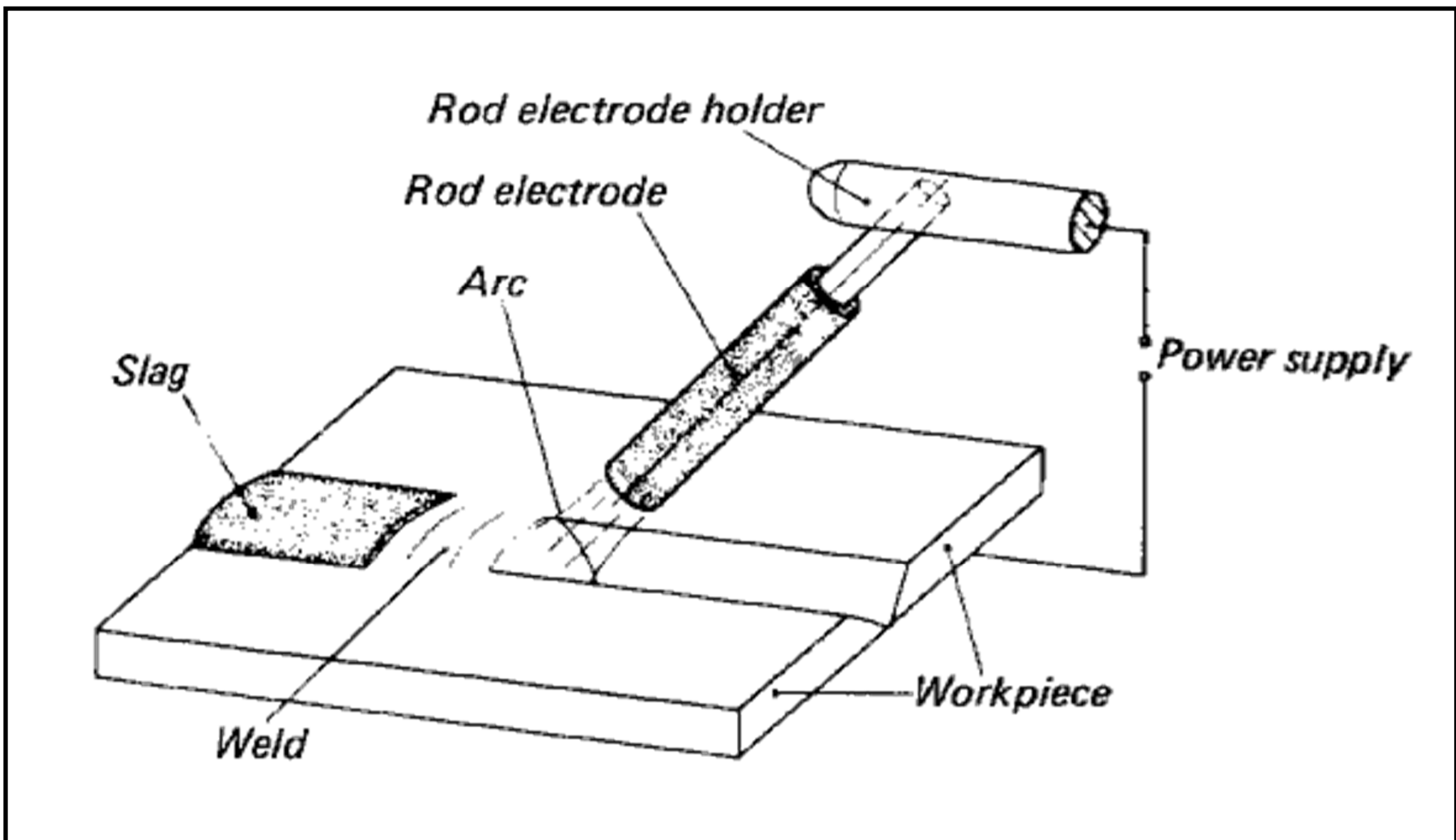
جوش قوس الکتریکی Elec.ArcWelding یکی از روش‌های جوشکاری است که حرارت بوسیله تخلیه الکتریکی بین نوک الکترود و دو فلز پایه تولید می‌شود.

مدار جوشکاری



روش ها یا فرآیندهای جوشکاری (PROCESS)

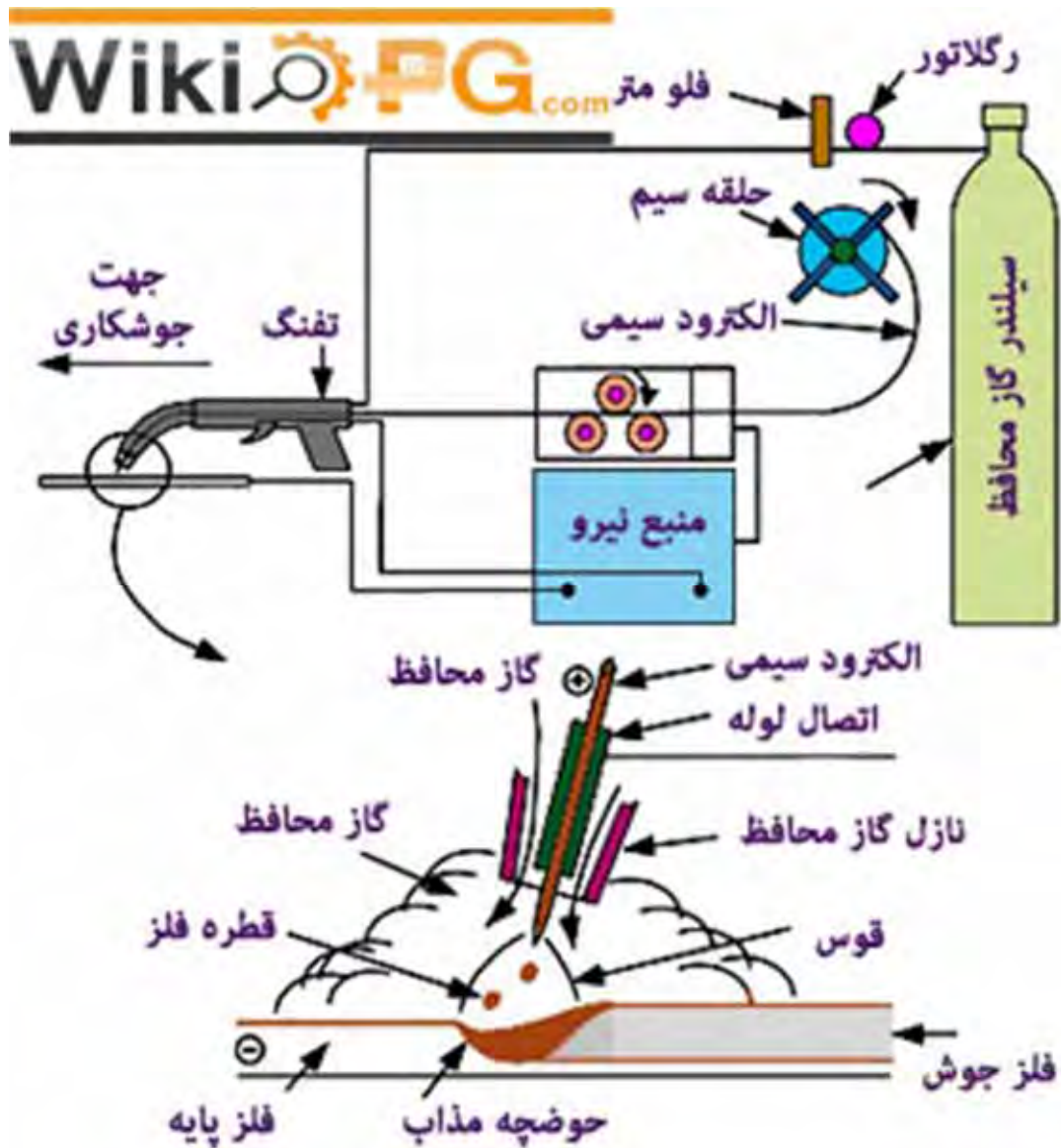
- ۱- جوش دستی با الکترود روکشدار
 - ۲- جوش اتوماتیک با الکترود مداوم و بدون روکش
- انواع روشهای جوش اتوماتیک به قرار زیر می باشد:
- I- جوش زیرپودری
 - II- جوش تحت حفاظ گاز
- الف: الکترود فلزی CO₂ (MAG)
- ب : الکترود تنگستن (آرگون) (MIG)
- III- جوش تحت حفاظ گاز با الکترود توپودری
- IV- جوش گاز الکتریکی
- V- جوش سرباره الکتریکی



جوش دستی با الکترود روکش دار



جوش زیر پودری



جوشکاری اتوماتیک تحت حفاظت گاز

انواع جریان در جوشکاری

جریان متناوب A.C

جریان یکسو D.C که در دو حالت زیر قابل انجام است:

قطبیت مثبت : وقتیکه الکترود به قطب مثبت وصل می شود.

قطبیت منفی : وقتیکه الکترود به قطب منفی وصل می شود.

شدت جریان و اختلاف پتانسیل

برخلاف مصارف عادی، جریان جوشکاری باشدت جریان زیاد (۵۰ تا ۵۰۰ آمپر) و ولتاژ پایین (کمتر از ۵۰ ولت) است. شدت جریان انرژی حرارتی ذوب را ایجاد می کند و ولتاژ قوس الکتریکی را ثابت می نماید. آمپر زیاد باعث افزایش سرعت جوشکاری و پتانسیل زیاد باعث افزایش طول قوس می شود.

الكترود قطب منفی

جريان DC



ناحیه جوش عمیق

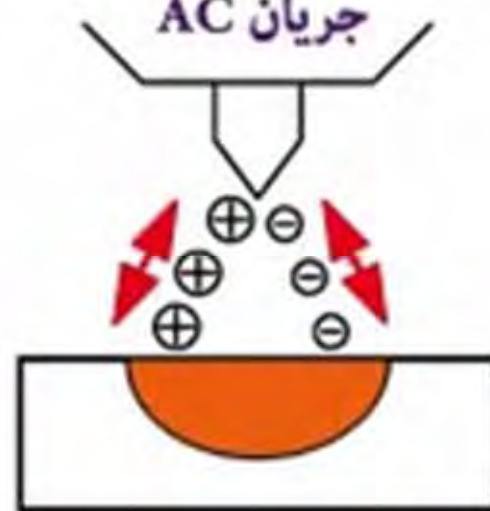
الكترود قطب مثبت

جريان DC



ناحیه جوش باریک

جريان AC



ناحیه جوش متوسط

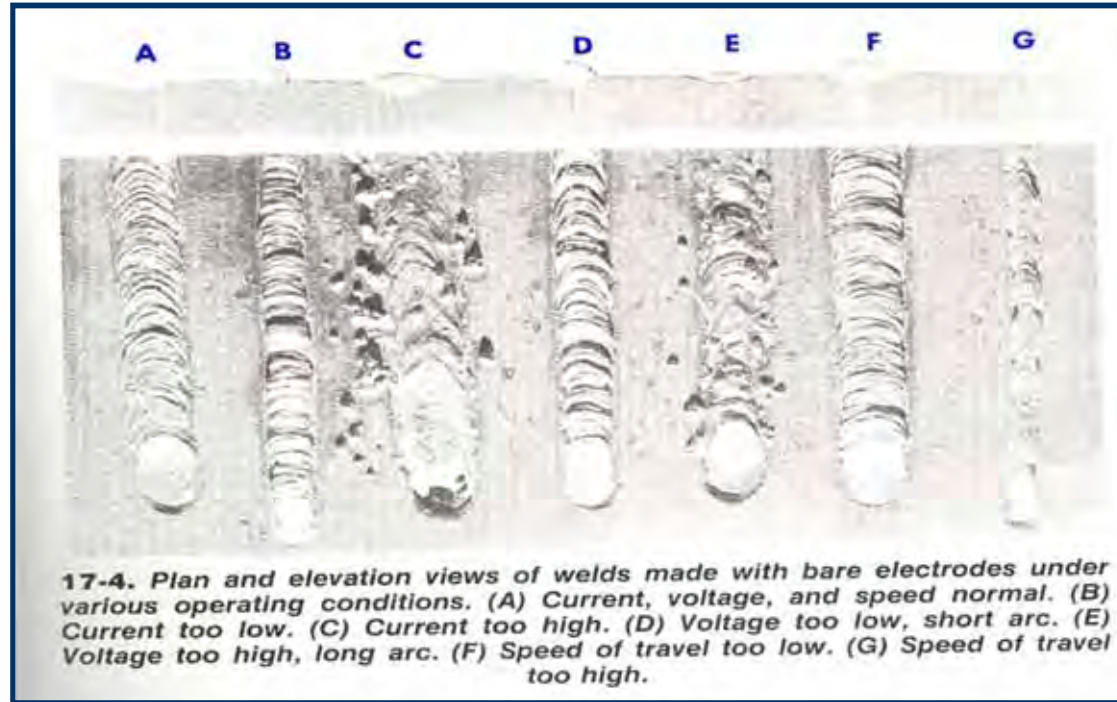
رابطه قطر الکترود و شدت جریان

مطابق جدول زیر، با افزایش قطر الکترود لازمست شدت جریان جوشکاری افزایش یابد.

E7018	E6013	قطر
115-165	80-130	۳
150-220	105-180	۴
200-275	150-230	۵

تأثیرشدت

سرعت جوشکاری بر کیفیت



A : شدت جریان، اختلاف پتانسیل و سرعت دست جوشکاری مناسب

B : شدت جریان خیلی کم است

C : شدت جریان خیلی زیاد است (پاشیدگی زیاد جوش میین ماجراست)

D : طول قوس کم است

E : طول قوسی خیلی بلند است

F : سرعت حرکت خیلی کم است

G : سرعت دست جوشکاری زیاد است

نامگذاری الکترود

الکترود با حرف E و چهار حرف به فرم عمومی EXXXX نمایش داده می شود. تعریف هر کدام از حروف در جدول زیر به نمایش درآمده است.

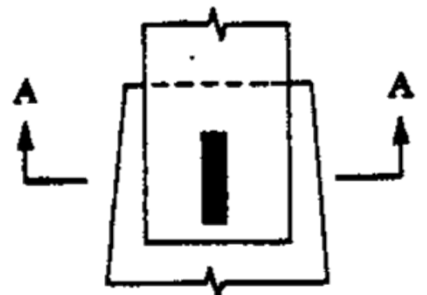
E XXX X	XX مقاومت نهایی مصالح الکترود	X وضعیت	X نوع پوشش
مثل E7018 یا E6013	70ksi=4900kg/cm ² 60ksi=4200kg/cm ²	همه = ۱ همه بجز سقفی = ۲ خت و افقی = ۳ همه بجز سرازیری = ۴	<ul style="list-style-type: none"> ۱ = فقط DCRP (قوس نفوذی) و روکش آلی ۲ = DCRPL یا AC (قوس نفوذی) ۳ = DCRPL یا AC (قوس متوسط) ۴ = DC یا AC یا DC (قوس نرم) ۵ = کم هیدروژن DCRP ۶ = AC یا DCRP (قوس متوسط) ۷ = DC یا AC (پودر آهن دار) ۸ = DCRP یا AC (کم هیدروژن-پودر آهن)



انواع جوش



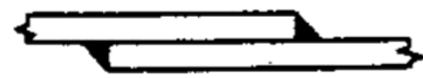
(الف) جوش شیاری



بروش



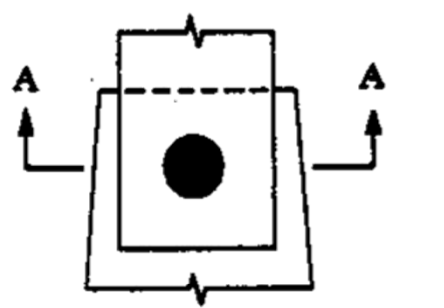
(ب) جوش گام



(ب) جوش گوشه

1- جوش گوشه Fillet

2- جوش شیاری بانفوذ کامل (groove)



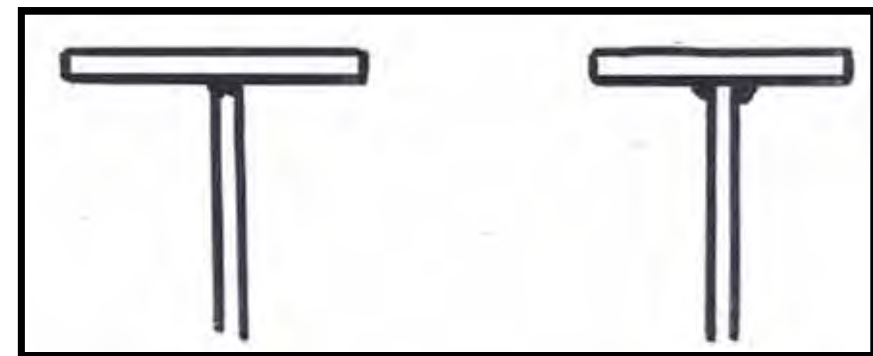
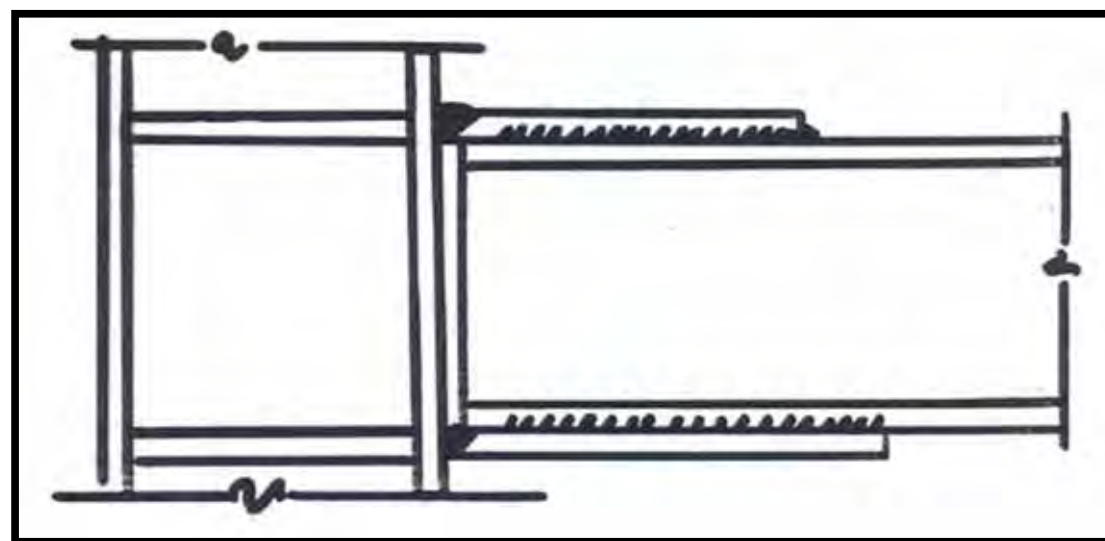
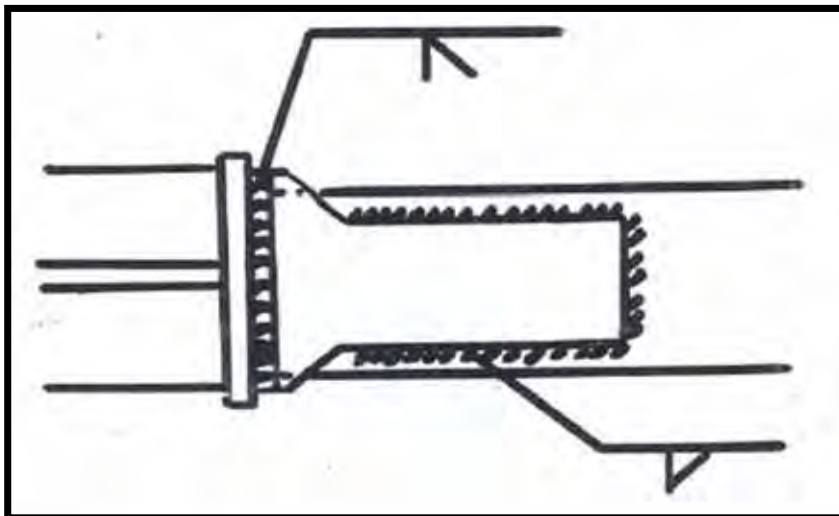
3- جوش شیاری بانفوذ ناقص



4- جوش انگشتانه و گام (Play & Slot)

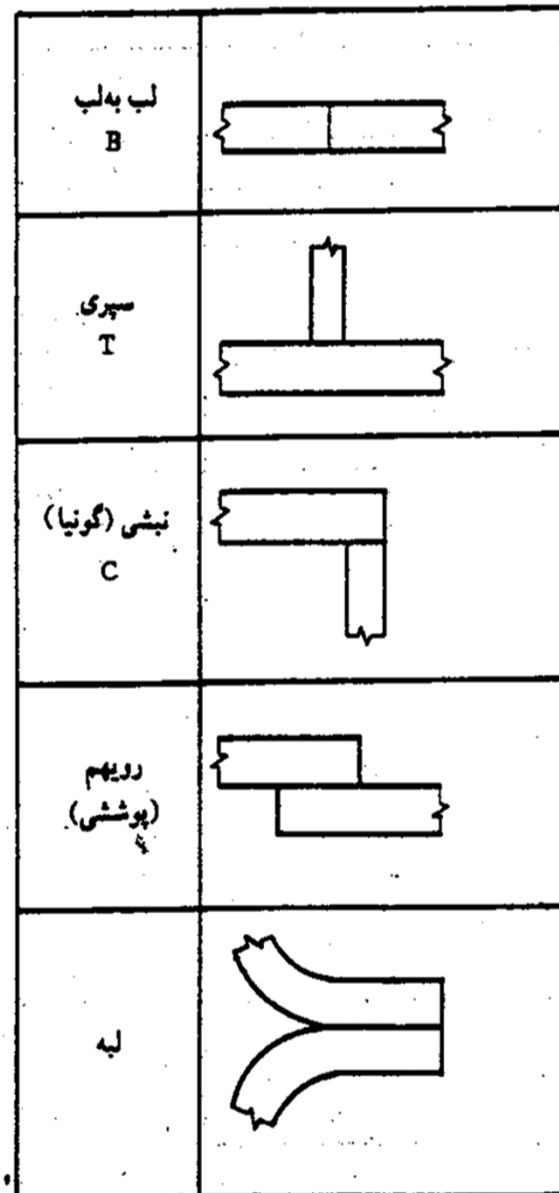
(جوش درسوارخ و یا شیار)

(ت) جوش انگشتانه



انواع اتصال قطعات

شرح تصویری نمادهای نوع اتصال



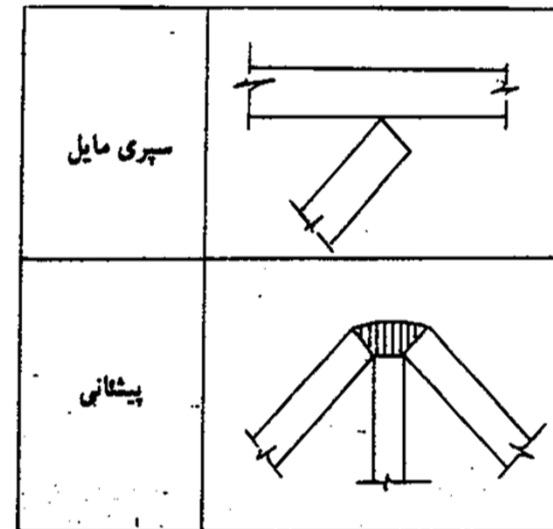
۱- اتصال لب به لب (But)

۲- اتصال کنج (angle)

۳- اتصال سپری (T)

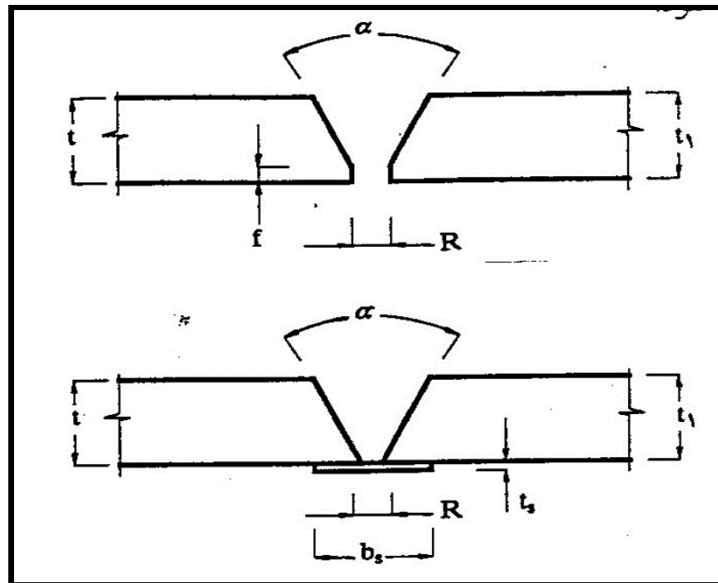
۴- اتصال پیشانی (edge)

۵- اتصال روی هم (Over lap)



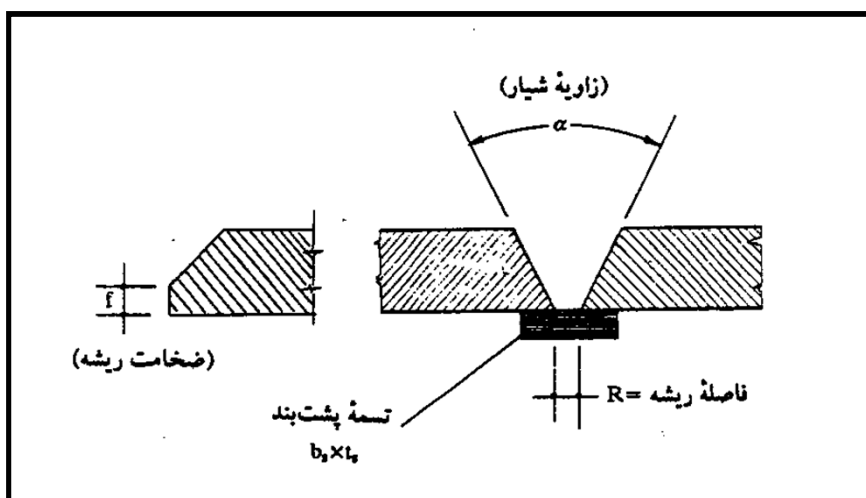
(Edge Preparation) لبه آماده سازی

تعریف: ایجاد شکل هندسی مشخص در لبه کار به منظور حصول شیار مناسب را آماده سازی گویند.
در آماده سازی لبه عوامل زیر باید در نظر گرفته شود:



۱. زاویه پخی (α)
۲. فاصله ریشه
۳. ضخامت ریشه
۴. پشت بند

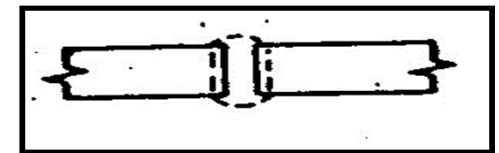
۱. زاویه پخی امکان دخول الکترود را به داخل درز فراهم می کند.
۲. فاصله ریشه امکان نفوذ جوش را به ریشه فراهم می کند.
۳. ضخامت ریشه از سوختن ریشه جلوگیری می کند.
۴. از ریزش جوش جلوگیری می کند.
۵. در صورت استفاده از پشت بند ضخامت ریشه صفر است.
۶. در صورت عدم استفاده از پشت بند، جوش پشت (back weld) لازم است.
۷. در صورت استفاده از پشت بند، جوش پشت حذف می شود، لیکن باید امتزاج کامل در ریشه به عمل آید



۱۳-۳ - حداقل ضخامت تسمه پشت‌بند به منظور جلوگیری از سوختن آن در هنگام جوشکاری، مطابق جدول زیر پیشنهاد می‌گردد.

حداقل ضخامت (میلیمتر)	روش جوشکاری
۵	جوش دستی با الکترود روکشدار
۶	جوش قوسی تحت حفاظت گاز با الکترود فلزی
۶	جوش قوسی با الکترود توپودری
۱۰	جوش قوسی با الکترود توپودری
۱۰	جوش قوسی زیرپودری

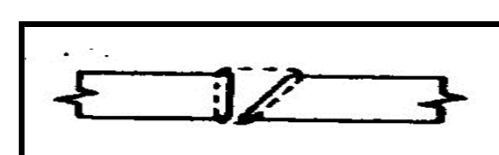
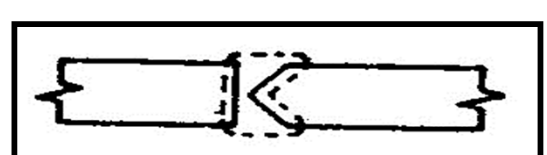
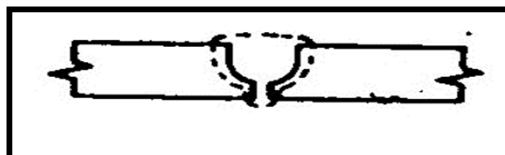
درزهای جوش شیاری



(۱) ساده

(۲) جناغی یکطرفه

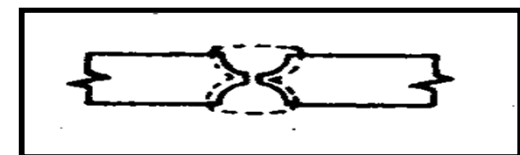
(۳) جناغی دوطرفه



(۴) نیم جناغی

(۵) نیمه جناغی دوطرفه

(۶) لاله ای



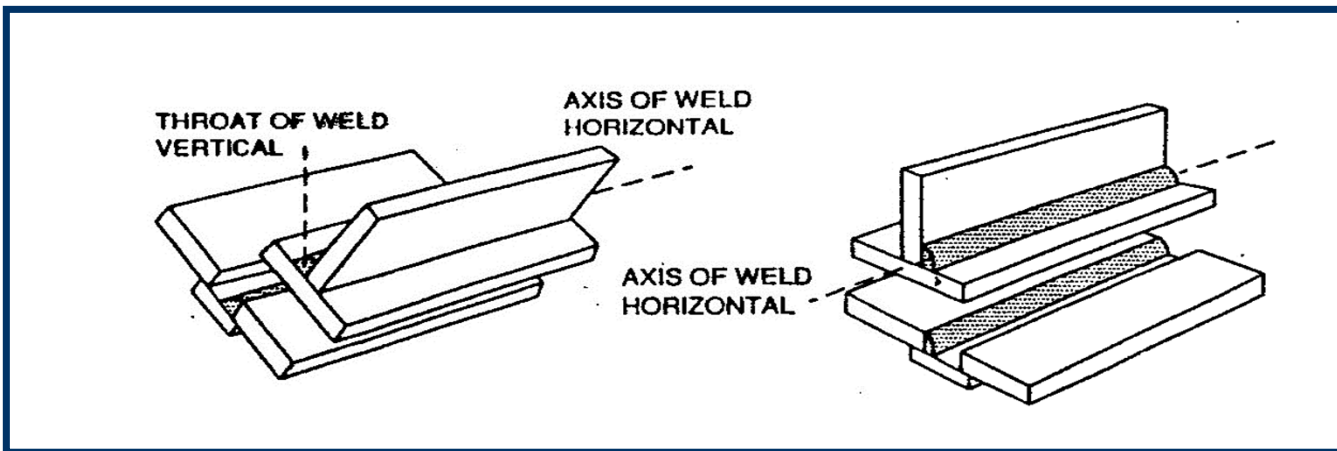
(۷) لاله ای دوطرفه

(۸) نیم لاله ای

(۹) نیمه لاله ای دوطرفه

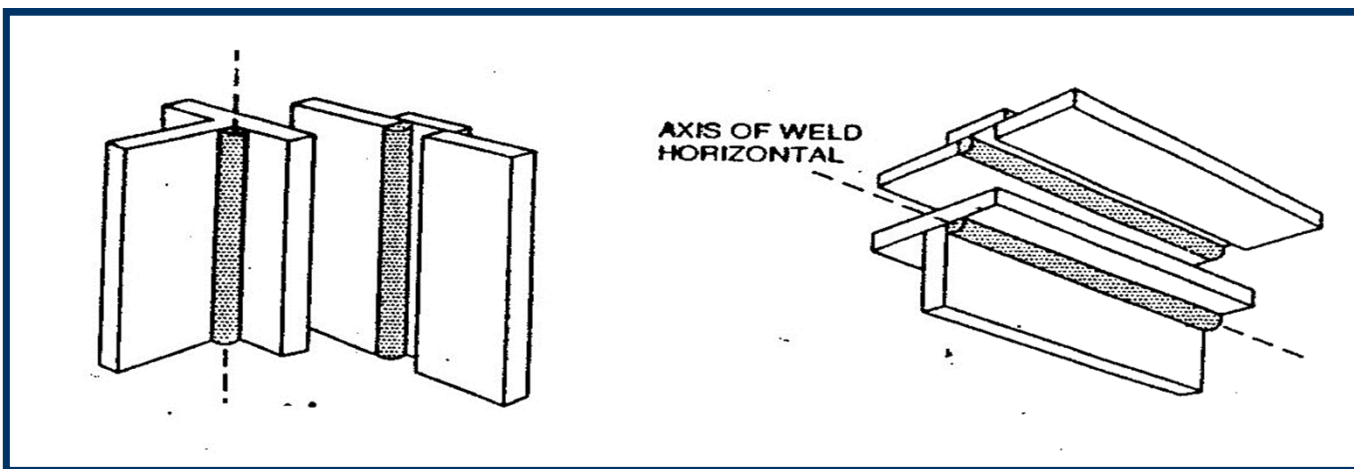
مشابه جدول صفحه بعد ، هندسه مناسب شیار از طرف ^{لین} نامه های جوشکاری جهت استفاده مهندسین ، تحت عنوان درزهای پیش پذیرفته ارائه می گردد.

وضعیت جوشکاری Position



تحت یا کفی (1F)

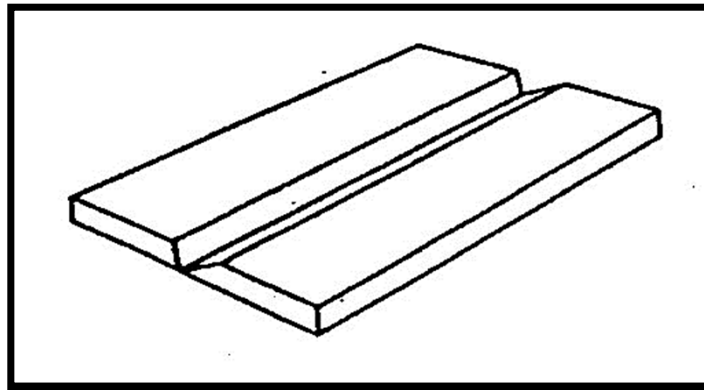
افقی (2F)



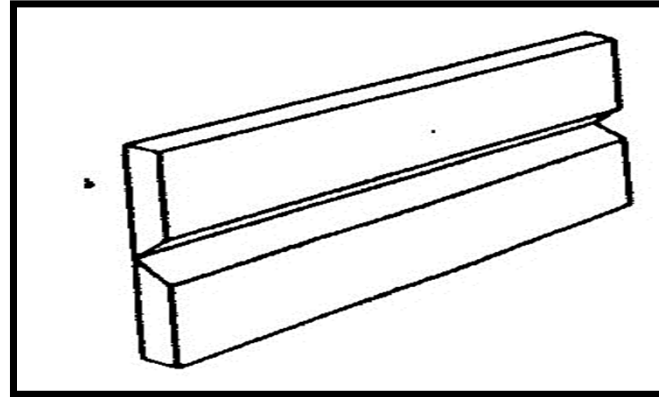
سر بالا (3F)

سقفی (4F)

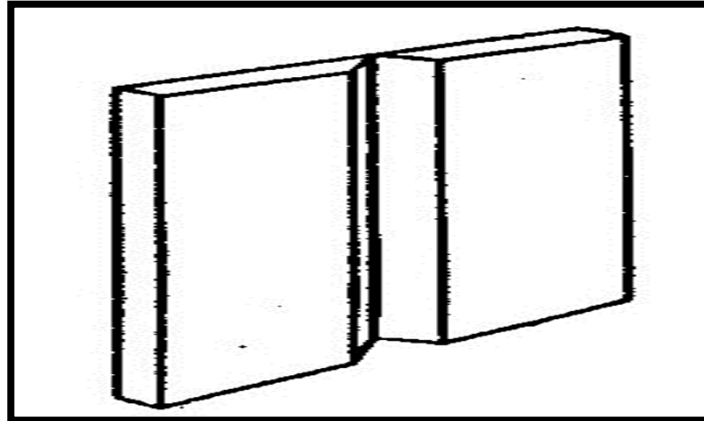
و سه پنجمین و آخرین دسته از این ده دسته است



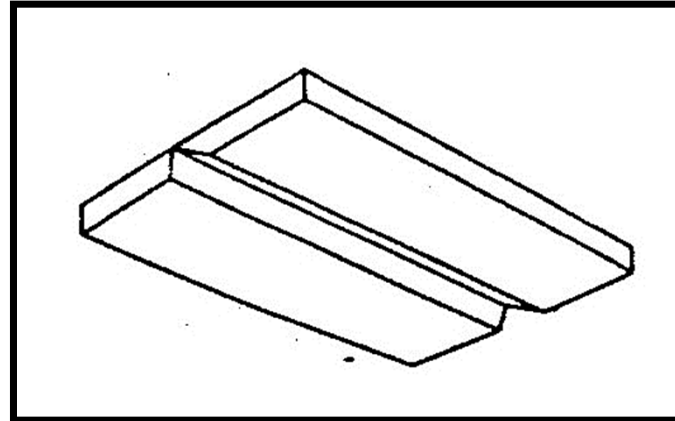
تخت کفی (1G)



افقی (2G)



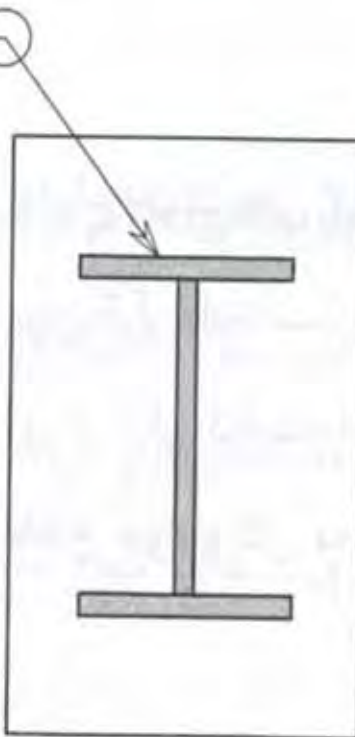
سر بالا (3G)



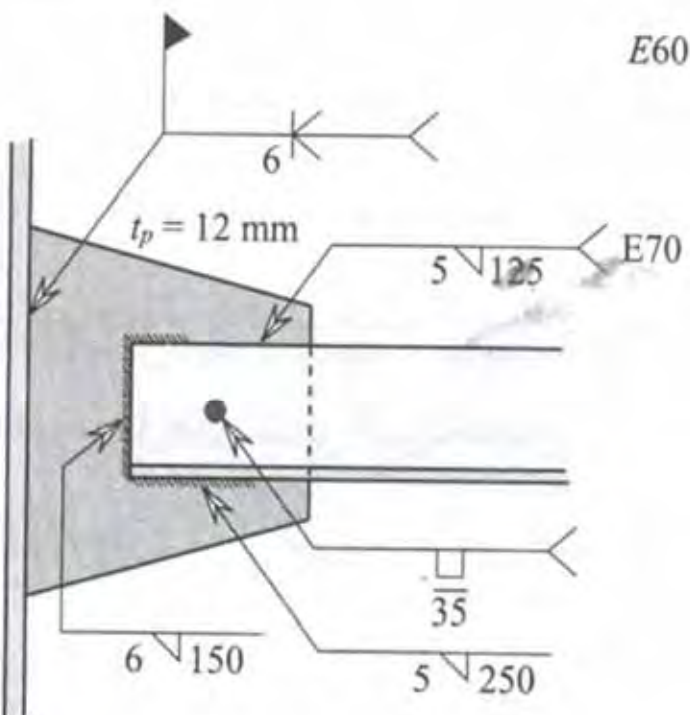
سقفی (4G)

عالئم جوش

در نقشه ها برای نشان دادن هندسه و نوع جوش از پیکان جوش استفاده می شود. شمای کلی پیکان جوش مطابق شکل زیر می باشد.



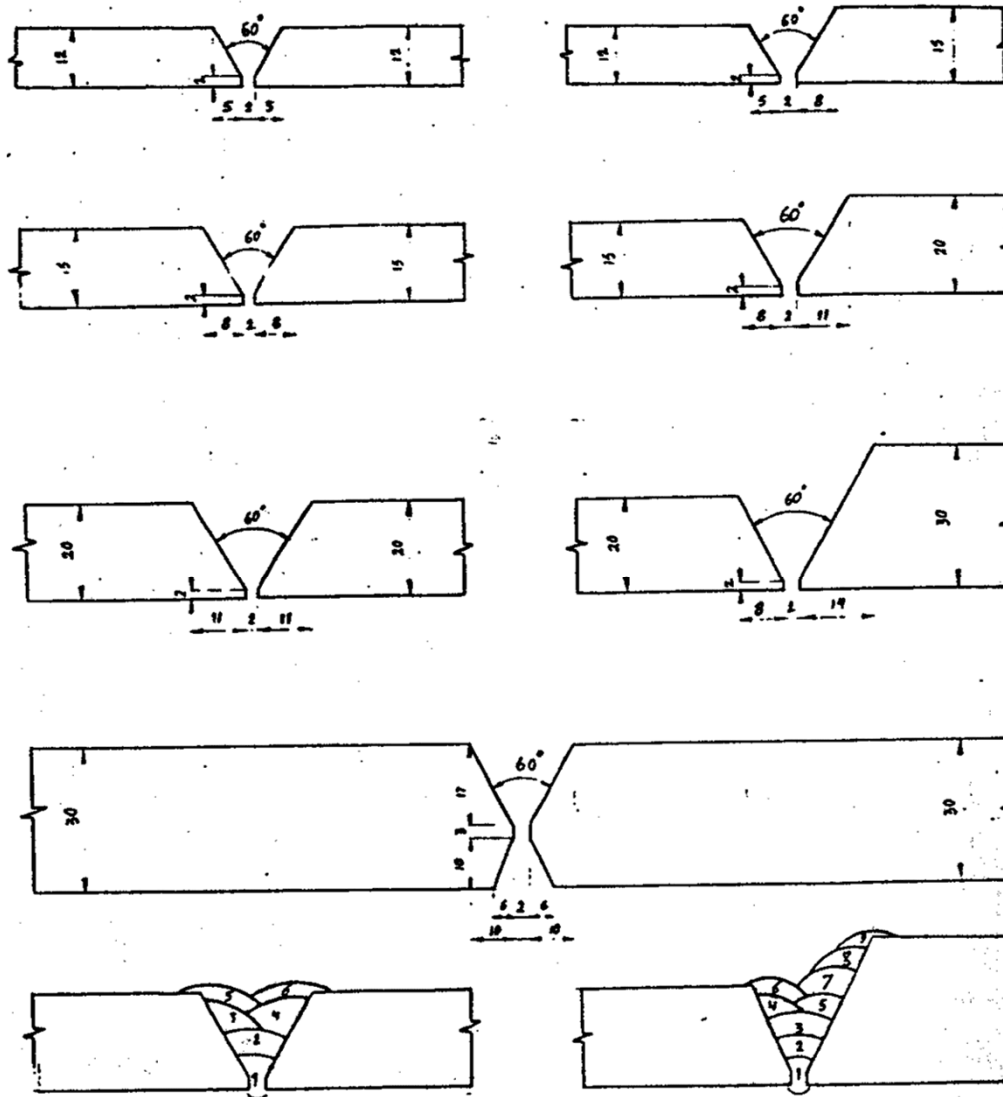
الف - اتصال تیر به ورق انتهایی



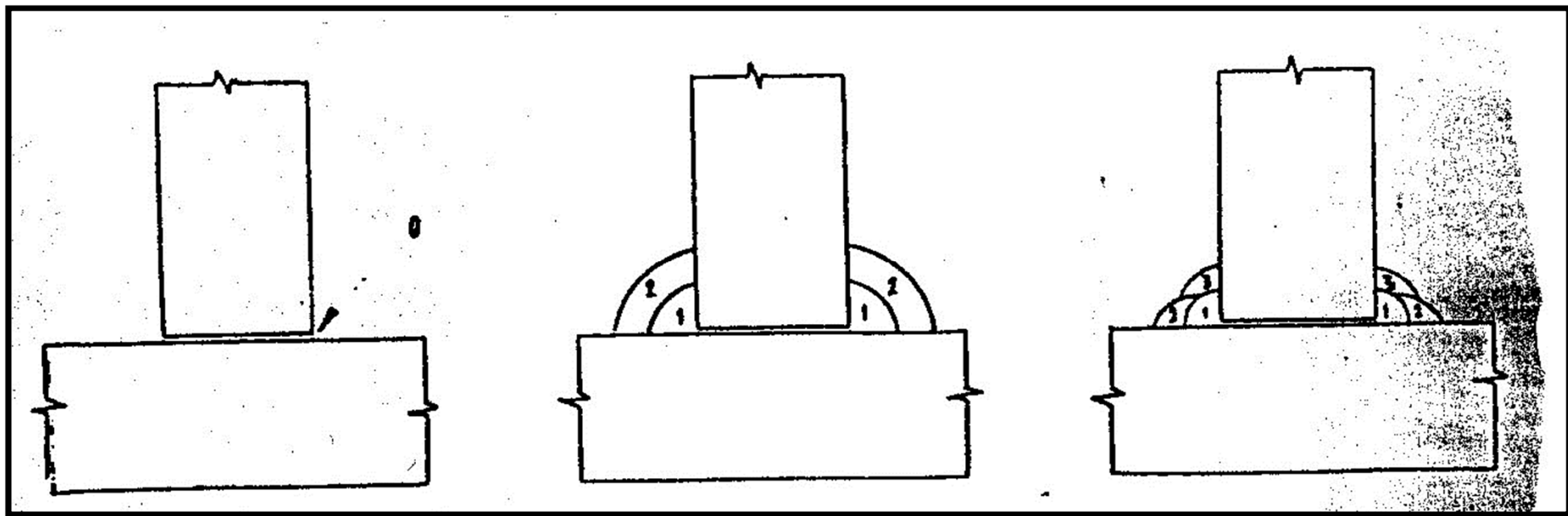
ب - اتصال نبشی به ستون

پاسها و توالی جوشکاری

جوشهای لب به لب نفوذی



شکل ۲۶- شماتی جوشهای لب به لب



شمای جوشکاری جوش گوشه

پیش گرمایش Pre heat

عبارت است از گرم کردن قطعات مورد جوش قبل از ایجاد قوس

محدوده پیش گرمایش : دایره ای به شعاع ۷۵ میلیمتر و به مرکز نوک الکترود

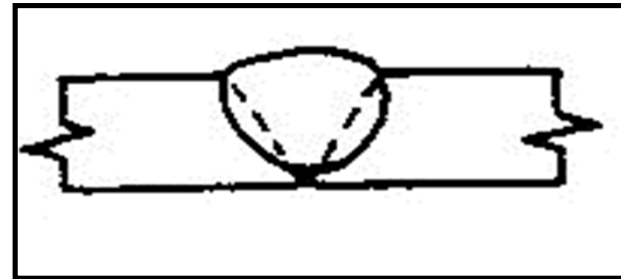
نتایج: جلوگیری از وقوع ترک در جوش

دماهی پیش گرمایش

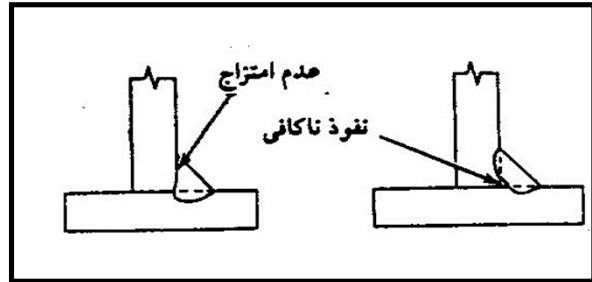
جدول ۱۰-۲-۹-۵ حداقل دماهی پیش گرمایش

دماهی پیش گرمایش در فرآیند غیر کم کم هیدروژن (درجه سلسیوس)	دماهی پیش گرمایش در فرآیند غیر کم هیدروژن (درجه سلسیوس)	ضخامت (mm)
۵۱۰	۶۲۰	$t \leq 20$
۶۲۰	۶۵	$20 < t \leq 40$
۶۵	۱۱۰	$40 < t \leq 65$
۱۱۰	۱۵۰	$t > 65$

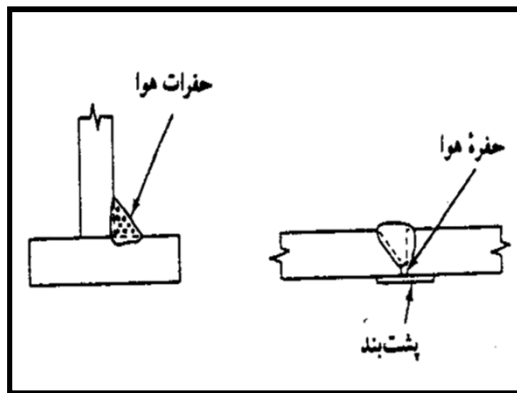
* این دما در حد لمس کردن ورق قابل حسن است و در سایر موارد باید از روش های دماستجی سطحی (مثل آگج های حساس به دما) استفاده شود.



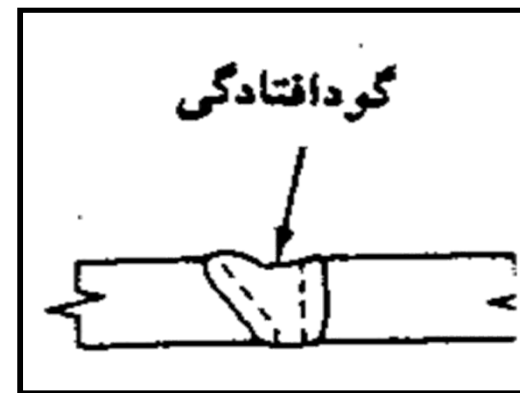
(۱) امتراج ناقص



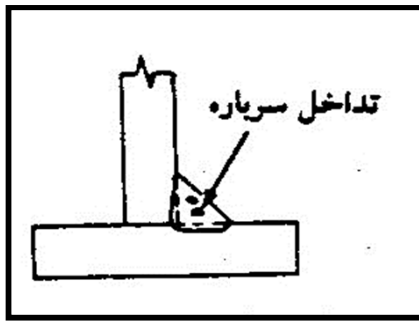
(۲) عدم نفوذ



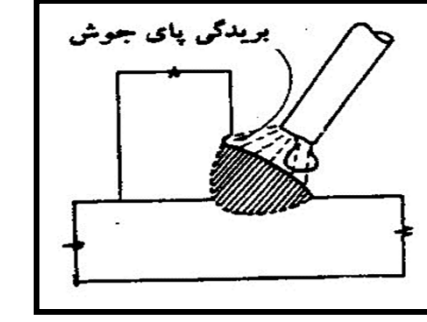
(۴) تخلخل



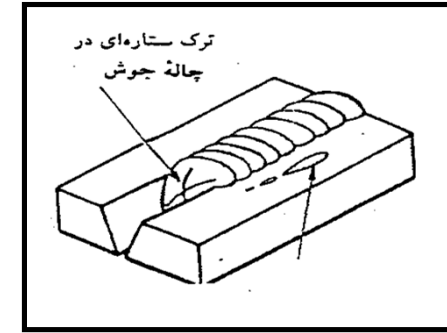
(۳) گودافتادگی



(۷)



جوش



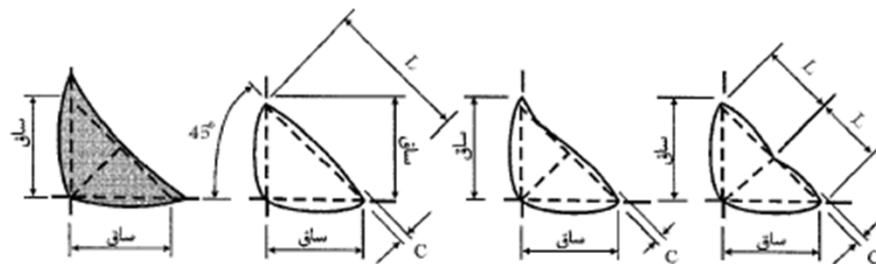
ای

(۵)

۸- عیب هندسی

اندازه جوش همان اندازه ساق می باشد.

ساق جوش را پای جوش نیز گویند.



(الف) تعریف مقاطع جوش گوش

(ب) مقاطع قابل پذیرش جوش گوش

توجه: گرده جوش نباید از مقادیر زیر تجاوز نماید

اندازه ساق یا طول L

حداکثر گرده (mm)

$L \leq 8\text{ mm}$

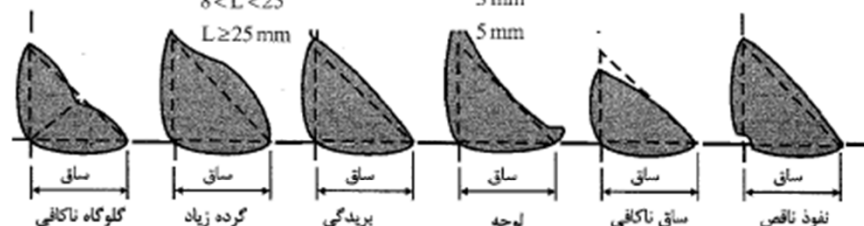
$8 < L < 25$

$L \geq 25\text{ mm}$

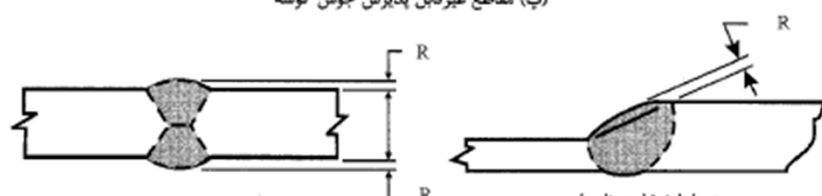
1/6mm

3 mm

5 mm



(ب) مقاطع غیرقابل پذیرش جوش گوش

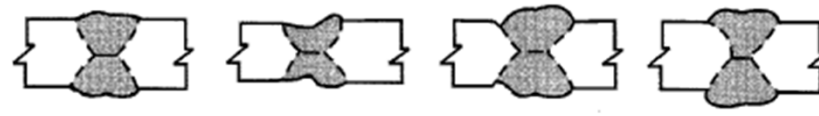


ورق ها با ضخامت مساوی

ورق ها با ضخامت نامساوی

حداکثر گرده R مساوی 3 میلی متر است

(ت) مقاطع قابل پذیرش جوش های شبیاری



تحدب زیاد

گلوی ناکافی

گودافتادگی زیاد

لوچه

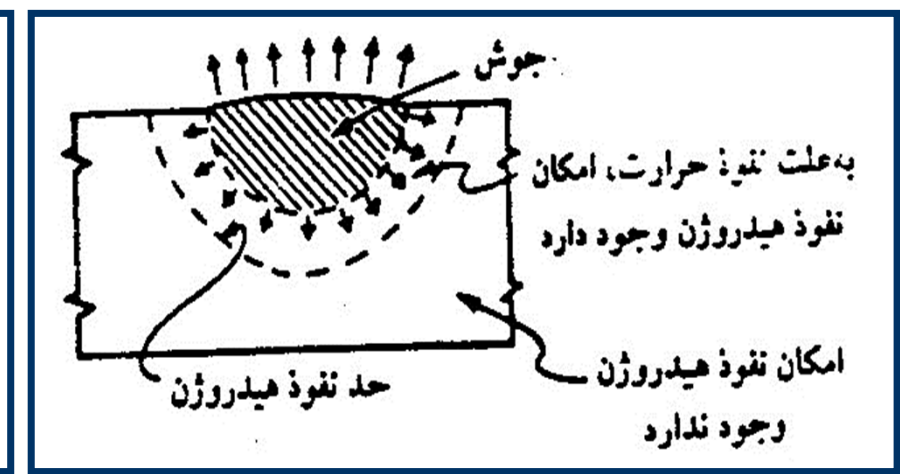
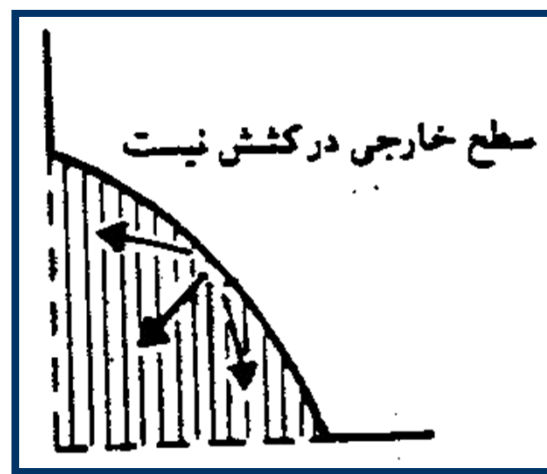
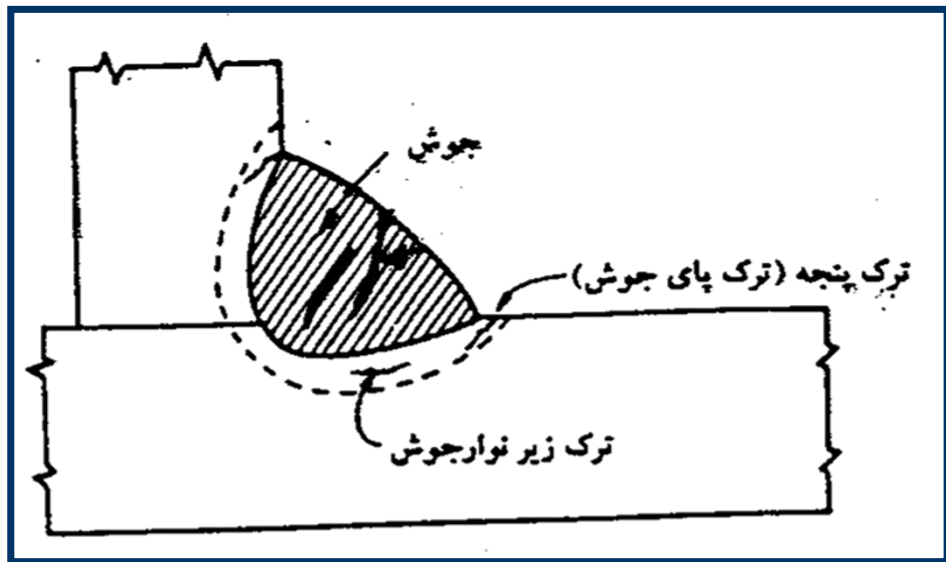
(ث) مقاطع غیرقابل پذیرش جوش گوش

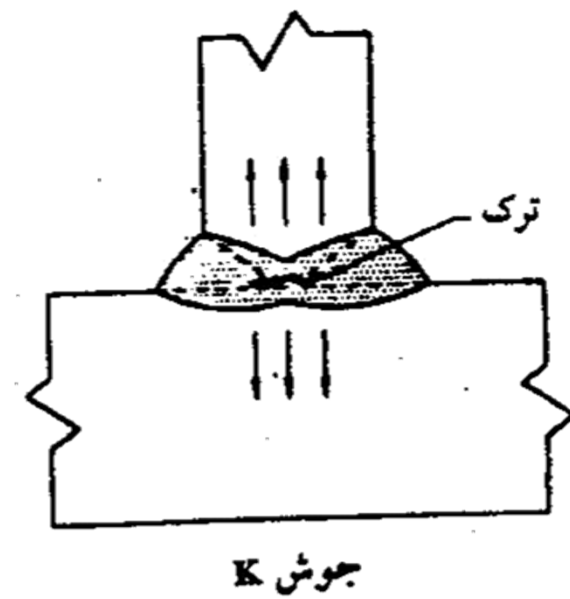
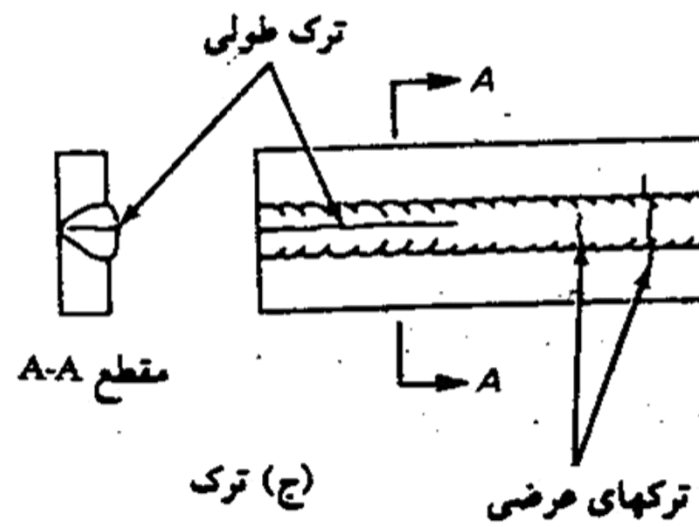
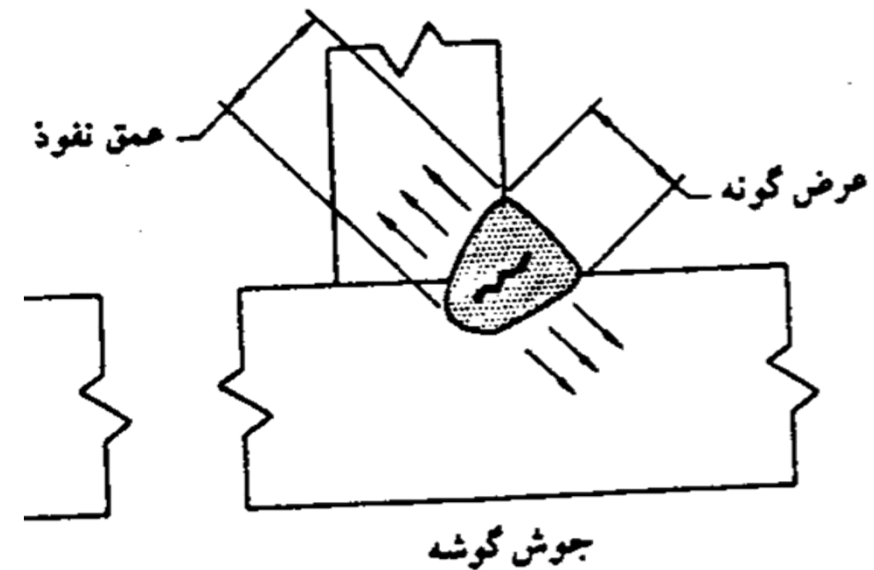
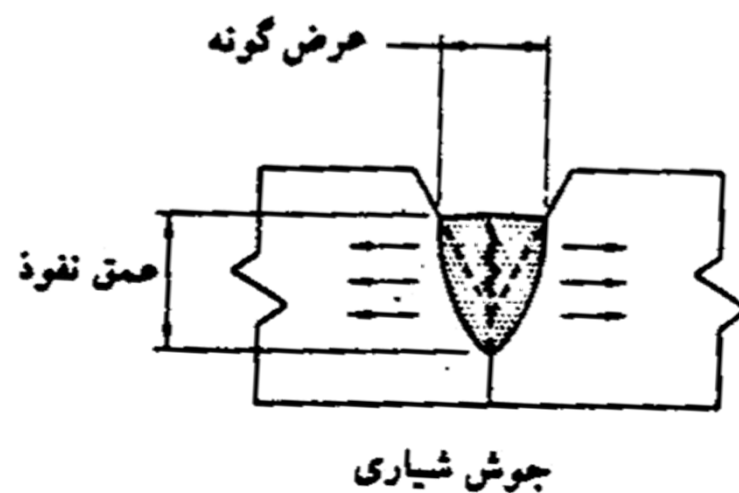
شکل ۸-۴-۱۰ مقاطع قابل پذیرش و غیرقابل پذیرش جوش

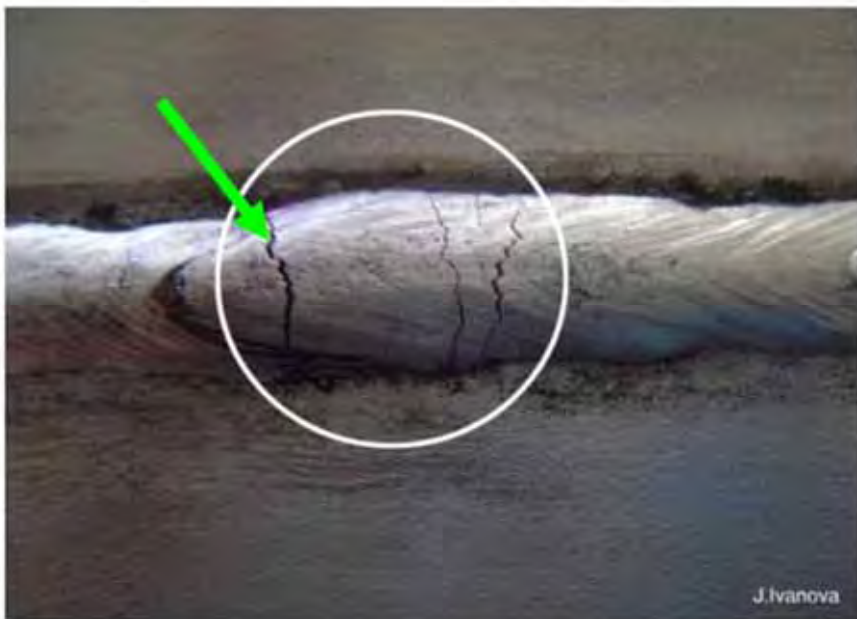
ترک خوردگی

عوامل

۱. نفوذ هیدرولن
۲. عدم پیش گرمایش و سردشدن سریع
۳. کشیف بودن درز
۴. اضافه تنش
۵. قیودات در مقابل تغییر شکل حرارتی
۶. نسبت عمق به عرض زیاد







J.Ivanova



J.Ivanova



شرح تصویری عیوب جوش

لوچه



بریدگی (under cut)



حفرات سطحی (Surface pore)

عوامل ایجاد :

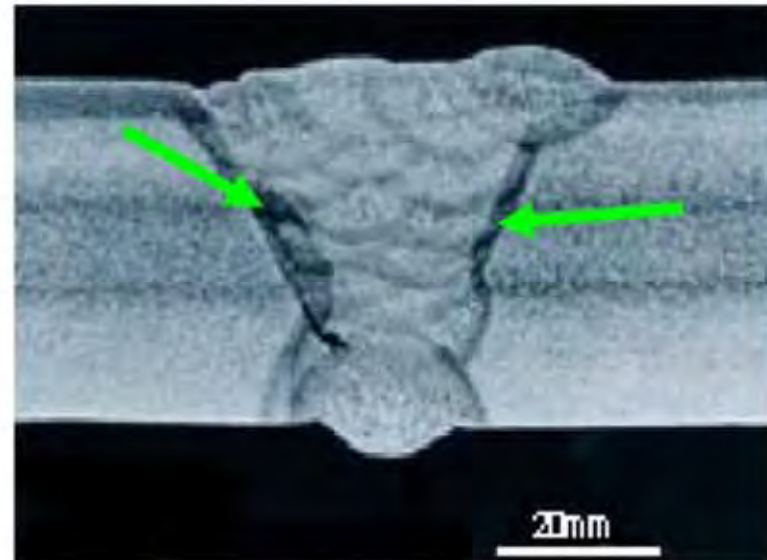
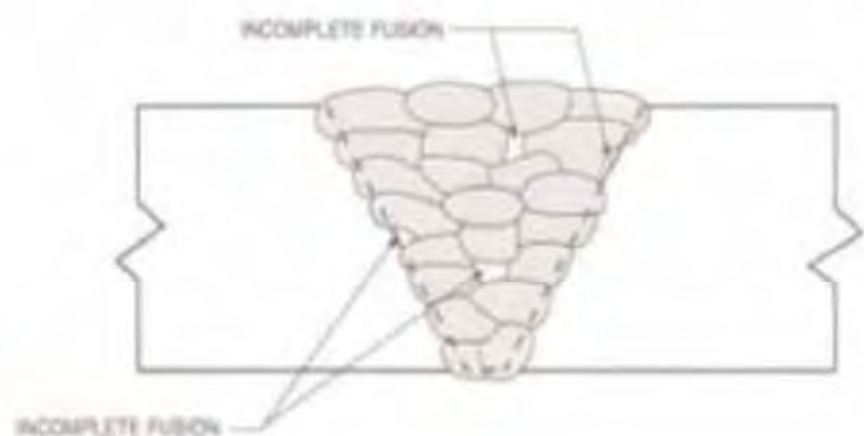
- ۱ - ناخالصی و کثیفی در منطقه مورد جوشکاری و الکترود
- ۲ - زاویه نامناسب دست نسبت به سطح قطعه کار
- ۳ - عدم حفاظت گازی در فرآیندهای تحت پوشش گاز



(Lack of fusion or incomplete fusion) ذوب ناقص

عوامل ایجاد:

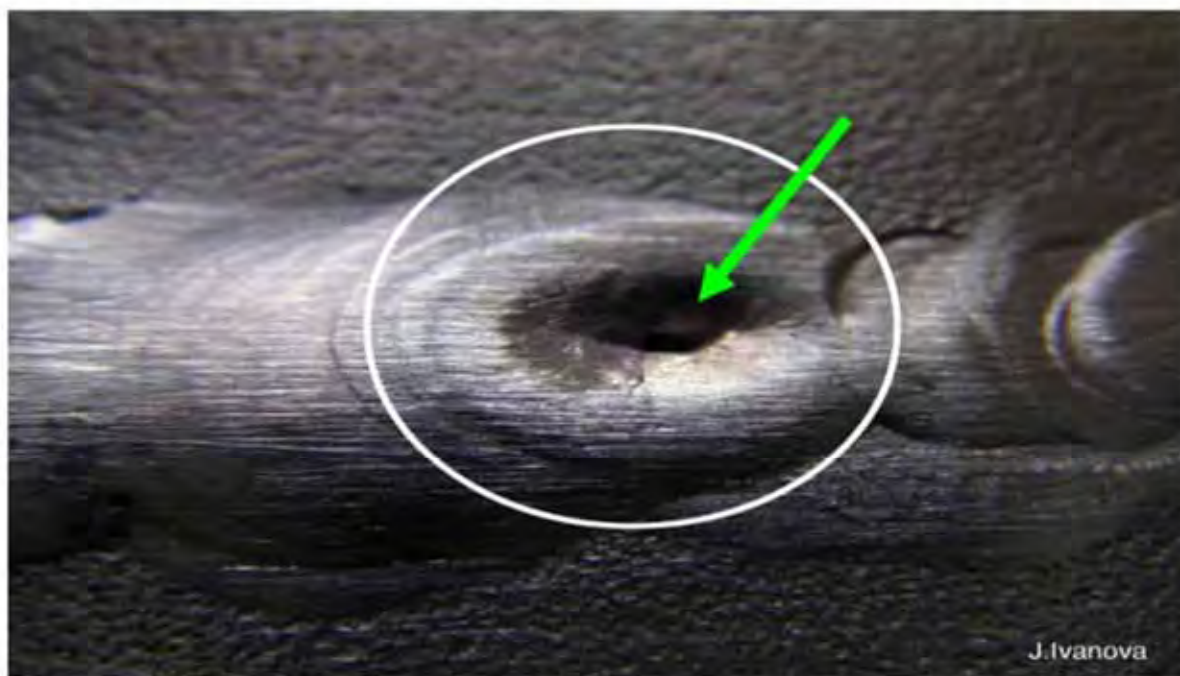
- ۱- کافی نبودن انرژی ورودی
- ۲- عدم انتخاب صحیح اندازه و نوع الکترود
- ۳- مناسب نبودن طرح اتصال
- ۴- کافی نبودن گاز محافظ در فرآیند ها با پوشش گاز
- ۵- عدم تمیز کاری در بین پاسها



چاله انتهایی جوش (End crater pore)

عوامل ایجاد:

- ۱- عدم مهارت جوشکار
- ۲- پرنشدن حوضچه مذاب از فلز پرکننده
- ۳- کثیفی سطح کار

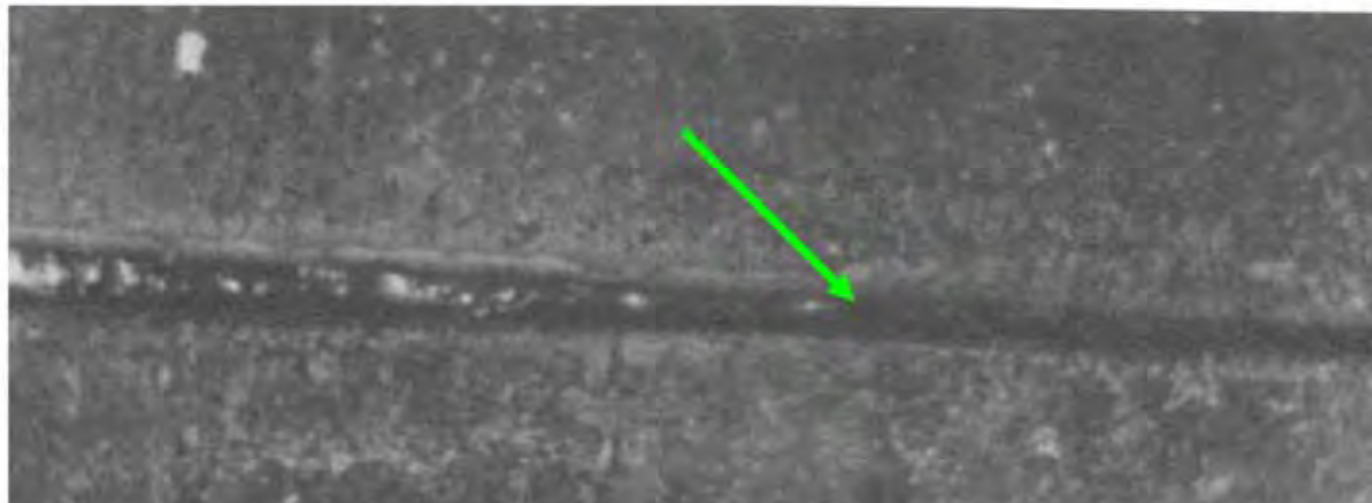


J.Ivanova

نفوذ ناقص در پاس ریشه (Incomplete root penetration)

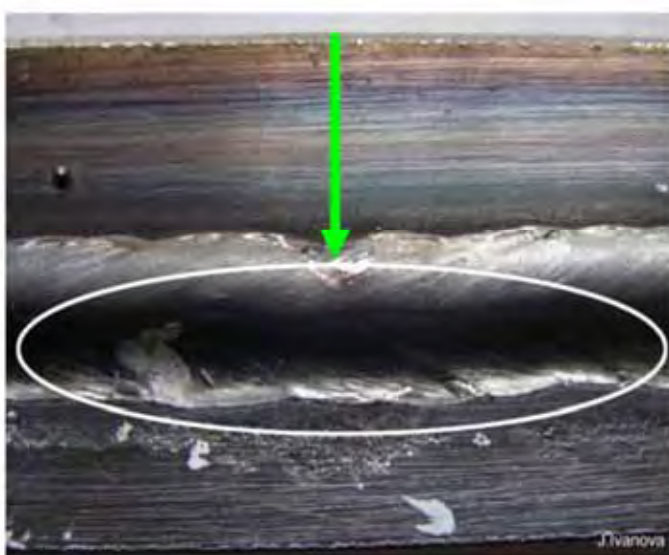
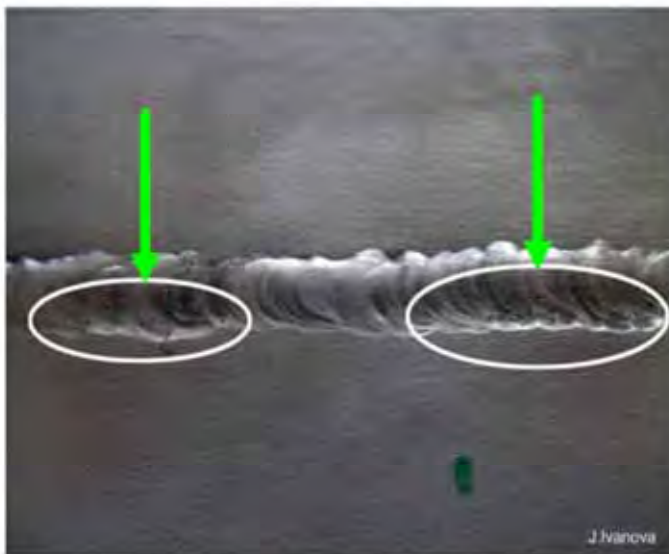
عوامل ایجاد:

- ۱- پایین بودن شدت جریان
- ۲- زاویه نامناسب دست
- ۳- کشیفی درز
- ۴- کم بودن زاویه پخ



بریدگی لبه جوش (Undercut)

عوامل ایجاد: ۱- بالابودن شدت جریان ۲- زاویه نامناسب و سرعت زیاد ۳- کالیبره نبودن



انقباض ریشه جوش (Shrinkage groove)

عوامل ایجاد:



J.Ivanova

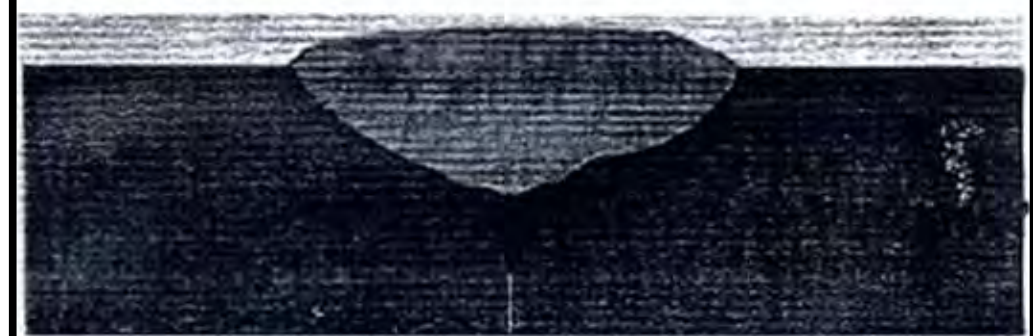
Surface Holes



Poor Fusion



Shallow Penetration



۲۳- آزمایش‌های جوش

۱- مخرب

۱۱- غیر مخرب

۱-۲۳- آزمایشهای ارزیابی (مخرب)

هدف: ارزیابی جوشکار، الکترود، و دستورالعمل این آزمایش‌های در برنامه Q.A. قراردارند (W.P.S)

۱- جوش شیاری

۱- خمث هدایت شده (رویه، ریشه - جانبی)

۱- کشش مقطع کاهش یافته

۱- کشش تمام مصالح

۱- آزمایش ضربه

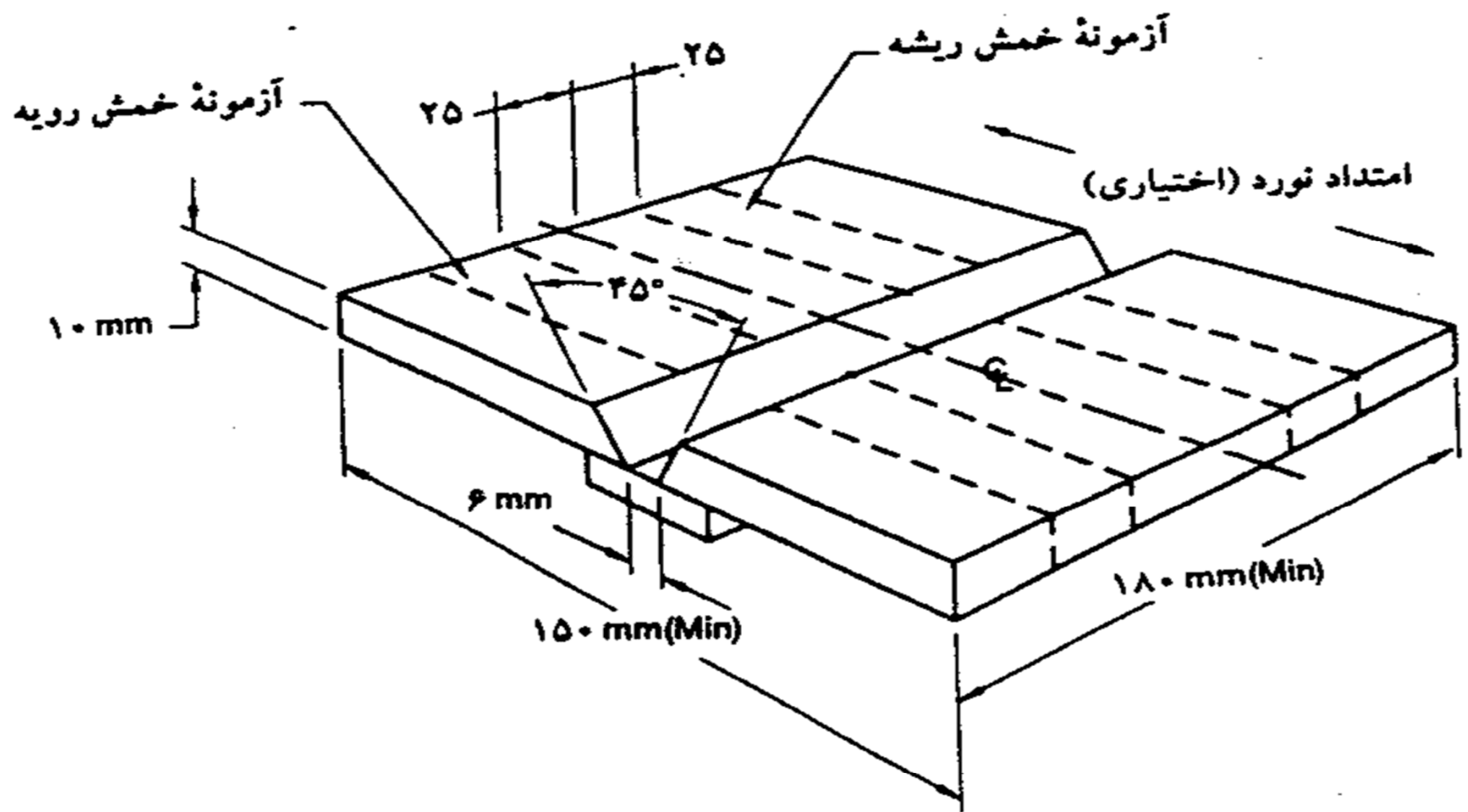
۲- جوش گوشه

۱-۲- شکست اتصال کنج

۲-۲- کشش مستقیم

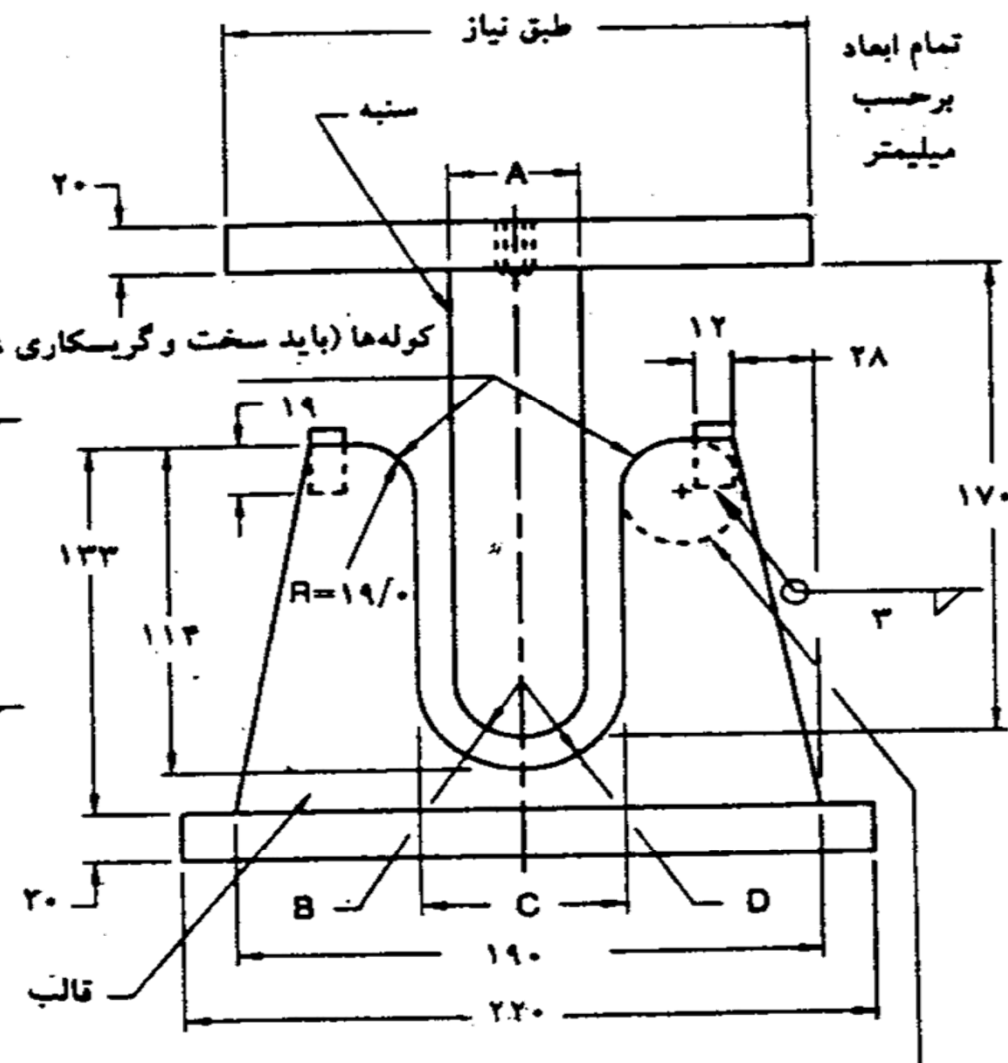
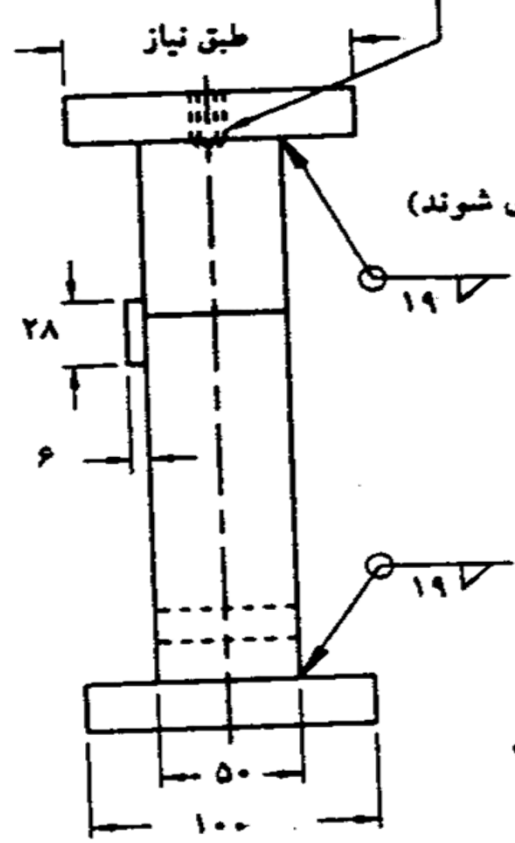
۳-۲- حک اسید مقطع جوش

۴-۲- خمث جوش گوشه



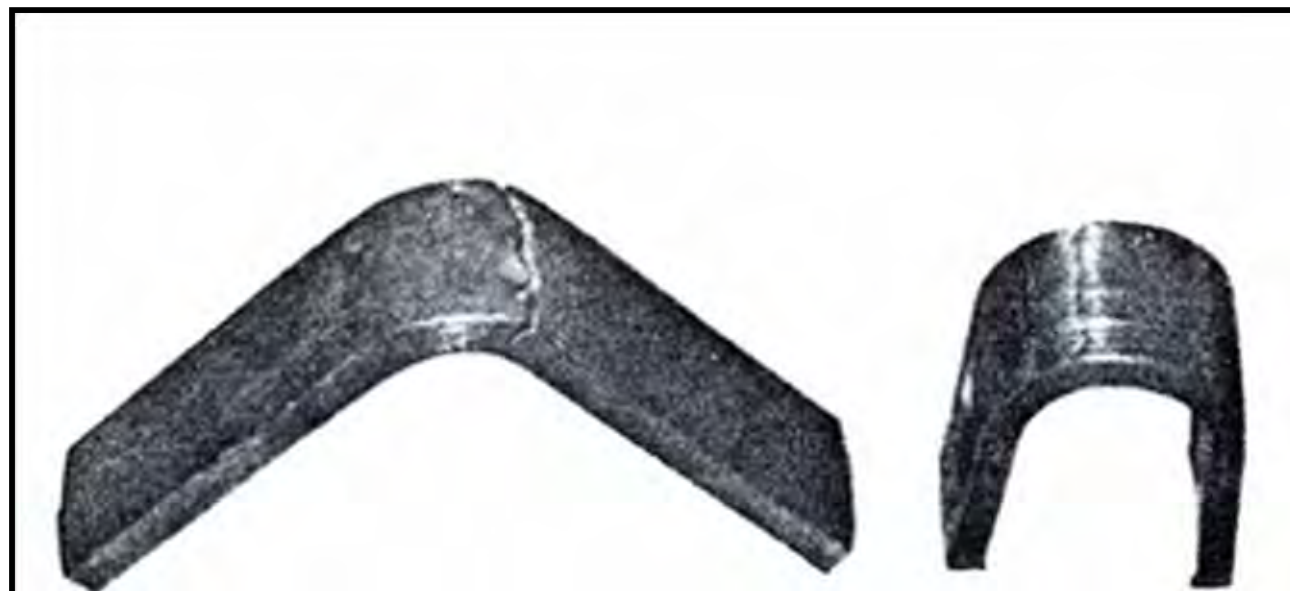
نمونه ها و آزمونه ها

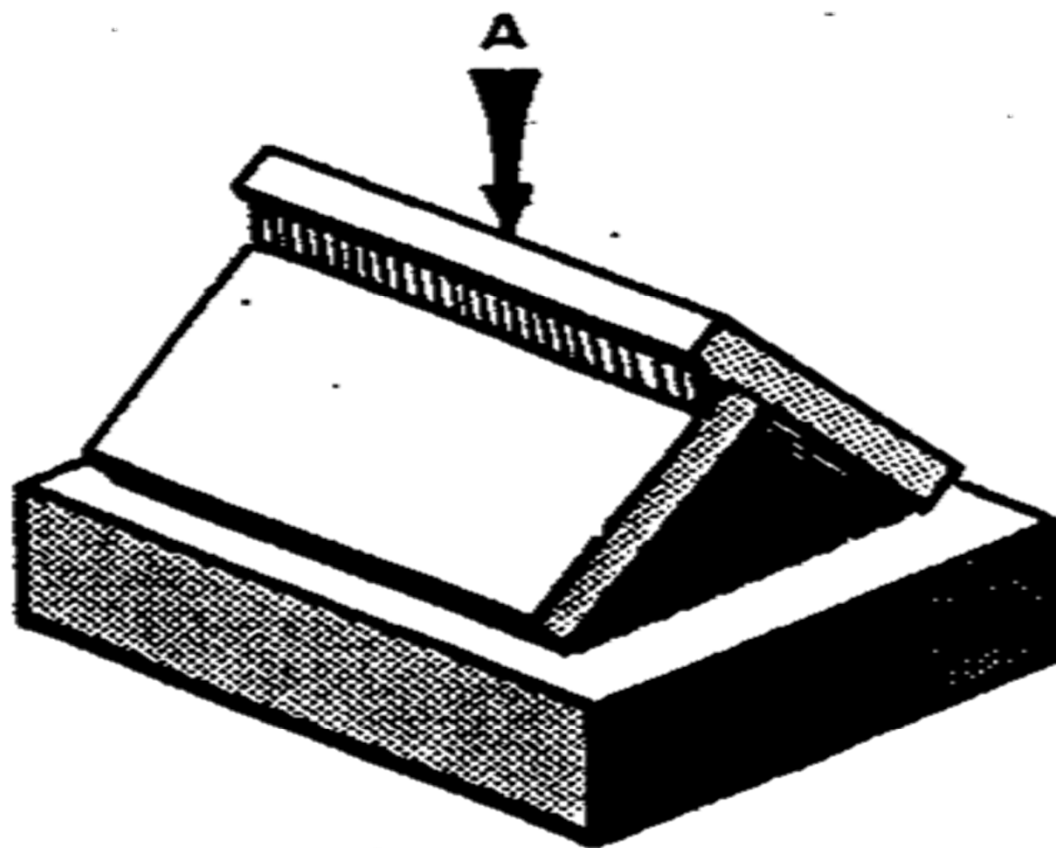
سوراخ بدمتنظر توارگیری در
دستگاه آزمایش



فلنک به قطر ۳۸ میلیمتر که
من قوانند جایگزین شانه شود

آزمایش خم ۱۸۰ درجه





۱۴ - شکست اتصال کنج

۲۳-۲-آزمایش های غیرمخرب (non destructive)

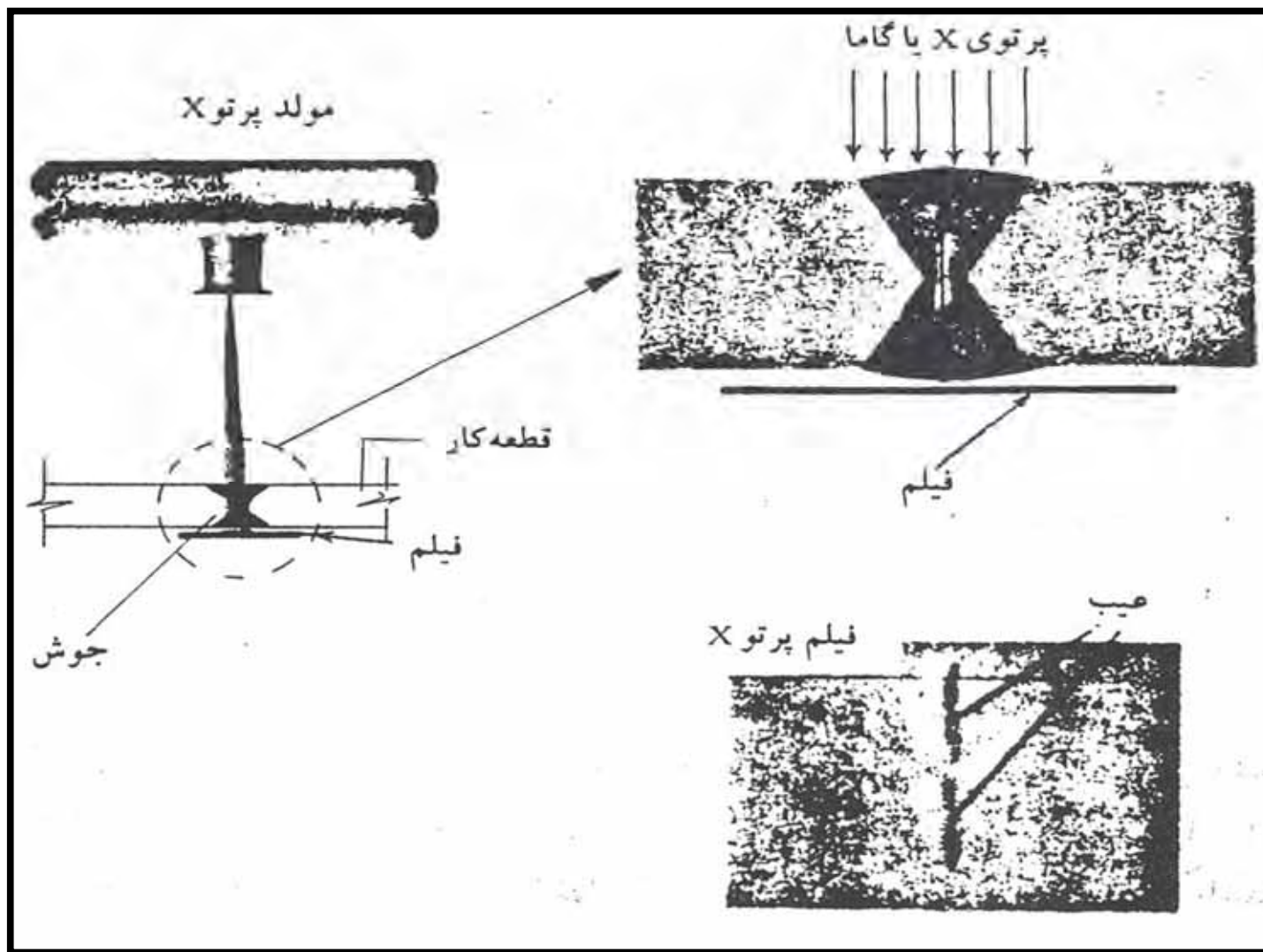
هدف: تایید کیفیت جوش واقعی

انواع آزمایش های غیرمخرب (برنامه Q.C)

۱. بازرسی عینی (VI)
۲. آزمایش پرتونگاری (RT)
۳. آزمایش فراصوت (UT)
۴. آزمایش رنگ نافذ (PT)
۵. آزمایش ذرات مغناطیسی (MT)



بازرس جوش در حال اندازه گیری ابعاد جوش



پرتونگاری جوش

T8 TV 6 FEET

00

03

05

07

B2 WE

T8 TV 6 FEET D84 10 27

00

03

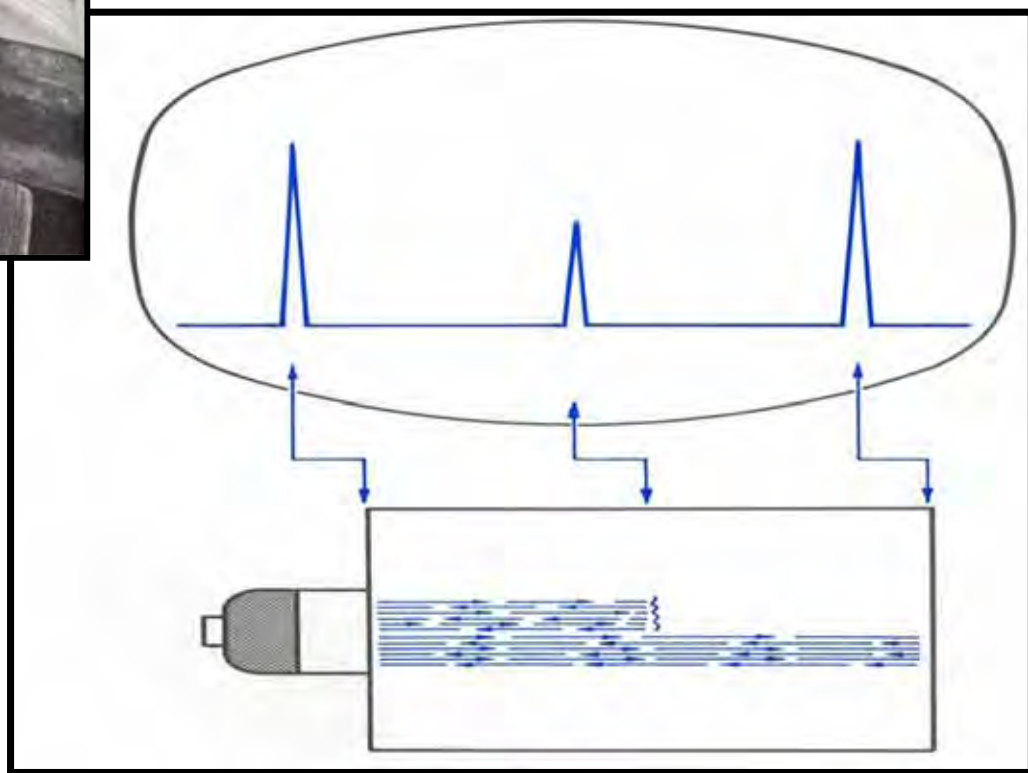
05

07

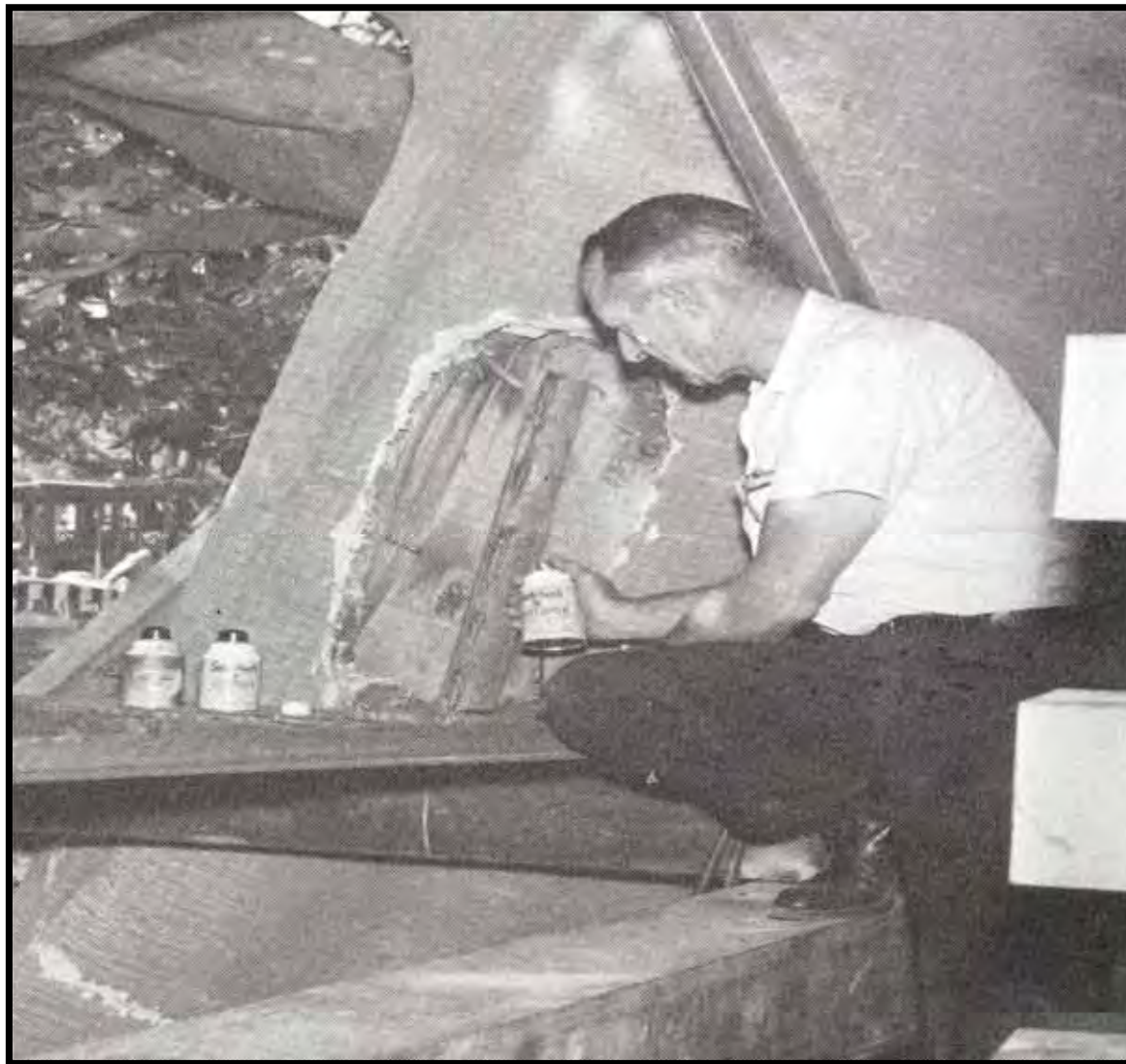
09

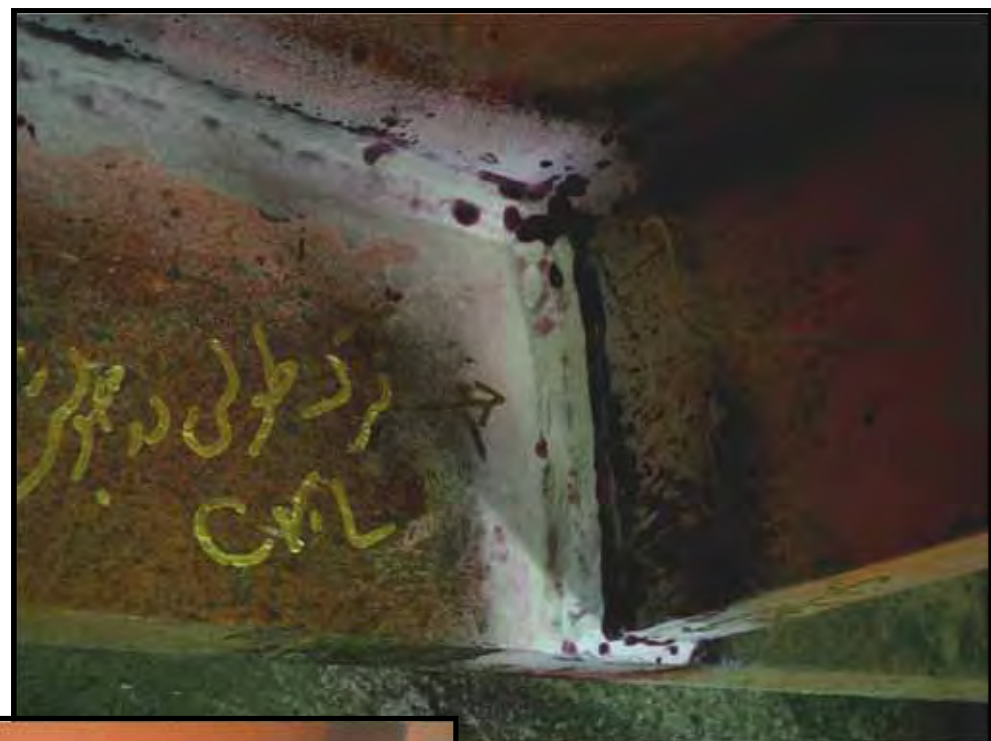


فراصوت (UT)

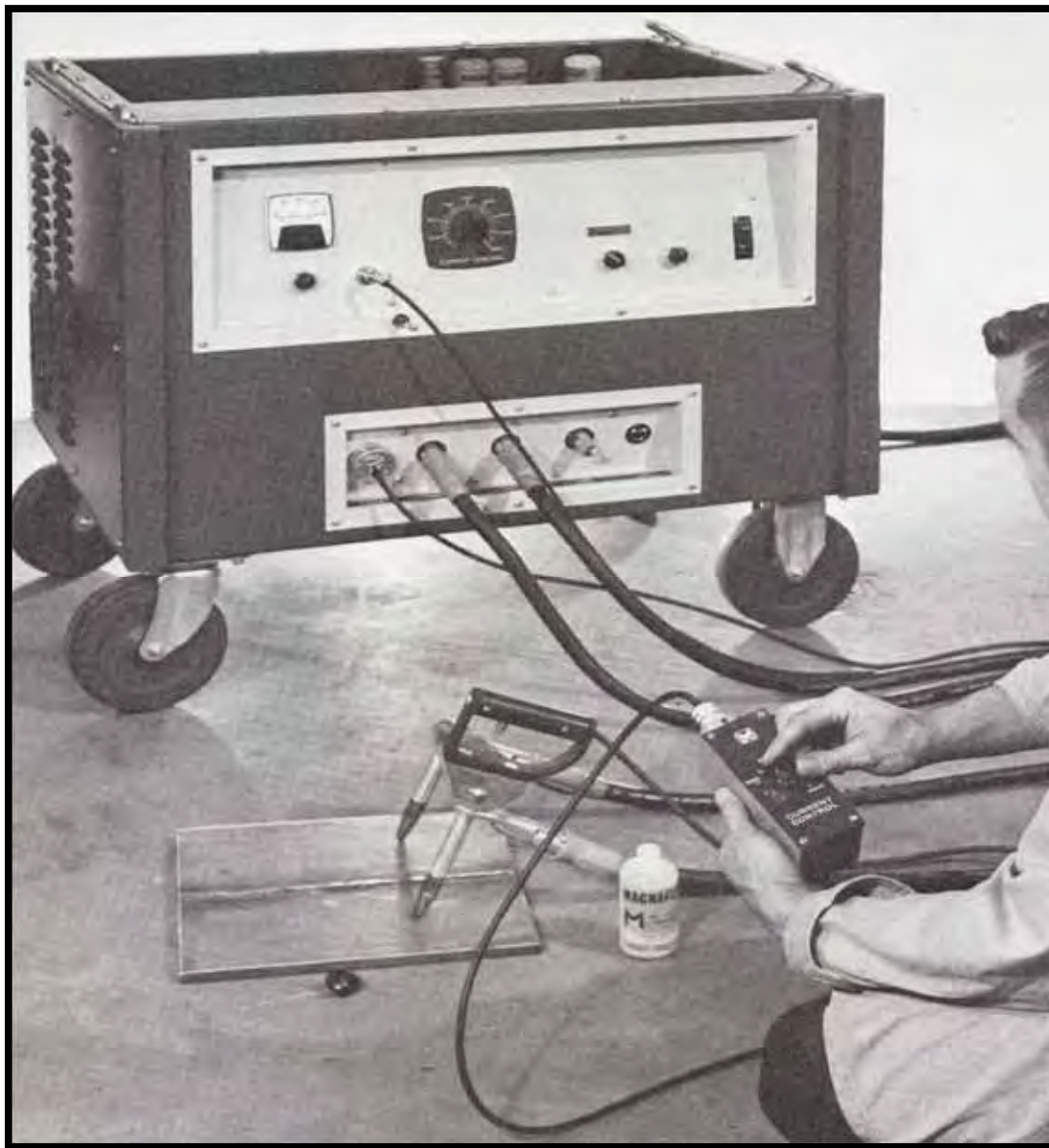


رنگ نافذ





میدان مغناطیسی



۲۵- برنامه ریزی آزمایش‌ها

ردیف	نوع جوش	نوع بازرگانی
۱	۱۰۰٪ تمام جوش‌ها	عینی
۲	۱۰۰٪ جوش‌های لب به لب عرضی بال کششی، اعضای کششی خرپا، ۷/۱ عمق جان در مجاورت بال کششی (در صورتیکه جوشکار در چند روز متوالی نتایج بدون نشان دهد قابل کاهش به ۵ و سیس ۳۰ درصد است)	UT یا RT
۳	ده درصد لب به لب طولی	UT یا RT
۴	ده درصد لب به لب عرضی بال یا اعضای فشاری خرپا	UT یا RT
۵	ده درصد جوش گوش بال به جان	PT یا MT

جوشکاری در موارد زیر مجاز نیست:

۱. دمای هوا کمتر از ۱۵ - درجه سانتیگراد
۲. سطوح مرطوب و در معرض باران
۳. وزش باد شدید
۴. وقتیکه جوشکار در شرایط نامتعادل قرار دارد
۵. وقتیکه دمای فلز پایه کمتر از مقادیر مجاز درپیش گرمایش باشد

جدول ۱۰-۲-۴- الکترودهای سازگار با فلز پایه

نوع الکترود سازگار	مقاومت نهایی کششی فلز الکترود (F_{ue})	تنش تسلیم مصالح فلز پایه (F_y)
E60 یا معادل آن	۴۲۰ MPa	$t \leq 15\text{mm}$, ۳۰۰ MPa تا
E70 یا معادل آن	۴۹۰ MPa	St-37
E70 یا معادل آن	۴۹۰ MPa	$t > 15\text{mm}$, ۳۰۰ MPa تا
E70 یا معادل آن	۴۹۰ MPa	۳۸۰ MPa تا ۳۰۰ MPa از
E80 یا معادل آن	۵۶۰ MPa	۴۶۰ MPa تا ۳۸۰ MPa از

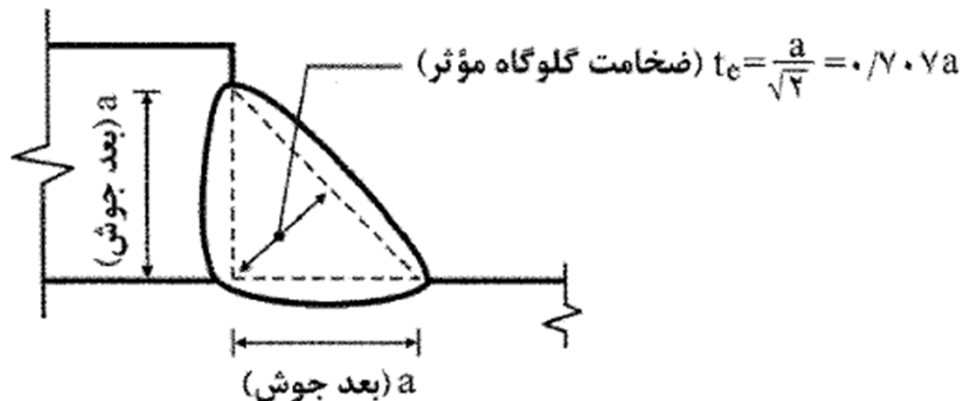
t = ضخامت فلز پایه

محاسبات اتصالات جوشی

جدول ۱-۹-۲-۱۰ حداقل ضخامت موثر جوش شیاری با نفوذ نسبی

حداقل ضخامت موثر	ضخامت قطعه نازکتر
۳ میلی‌متر	تا ۶ میلی‌متر
۵ میلی‌متر	بیش از ۶ تا ۱۲ میلی‌متر
۶ میلی‌متر	بیش از ۱۲ تا ۲۰ میلی‌متر
۸ میلی‌متر	بیش از ۲۰ تا ۴۰ میلی‌متر
۱۰ میلی‌متر	بیش از ۴۰ تا ۶۰ میلی‌متر
۱۳ میلی‌متر	بیش از ۶۰ تا ۱۵۰ میلی‌متر
۱۶ میلی‌متر	بیش از ۱۵۰ میلی‌متر

- در صورتی که نتوان ضخامت‌های حداقل فوق را با یک عبور تعیین نمود باید از پیش‌گرمايش و یا فرآيندهای کم‌هیدروژن استفاده کرد.
- برای قطعات با ضخامت بزرگتر از ۴۰ میلی‌متر، پیش‌گرمايش و دستورالعمل جوشکاری باید با مطالعه خاص مورد بررسی قرار گيرد.



شکل ۱۰-۹-۲-۳ ضخامت گلوگاه موثر جوش‌های گوشه

جدول ۱۰-۹-۲-۴ حداقل بُعد جوش گوشه

حداقل بُعد جوش گوشه (با یک بار عبور)	ضخامت قطعه نازکتر
۳ میلی‌متر	تا ۶ میلی‌متر
۵ میلی‌متر	بیش از ۶ تا ۱۲ میلی‌متر
۶ میلی‌متر	بیش از ۱۲ تا ۲۰ میلی‌متر
۸ میلی‌متر	بیش از ۲۰

- در صورتی که نتوان ضخامت‌های حداقل فوق را با یکبار عبور تأمین نمود، باید از پیش گرمايش و

- یا فرآيندهای کم هيدروژن استفاده کرد.

- در سازه تحت بار ديناميكي حداقل اندازه جوش ۵ میلی‌متر مي‌باشد

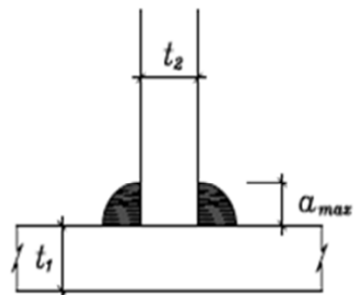
ضوابط حداکثر اندازه جوش گوشه: (بند ۱۰-۲-۹-۲-۲-۶ قسمت ب-۲-مبحث دهم)



$$t < 6\text{mm} \rightarrow a_{\max} = t$$



$$t \geq 6\text{mm} \rightarrow a_{\max} = \text{Max}(t - 2\text{mm})$$

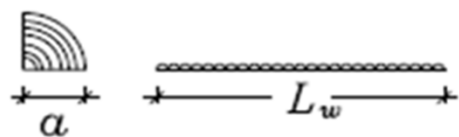


وقتی جوش از بعدی غیر از ضخامت ورق باشد داریم:

$$a_{\max} = \text{Min} \begin{cases} 0.75 \cdot t_2 \\ 1.5 \cdot t_1 \end{cases}$$

اگر ورق از یک طرف جوش شود از ضریب ۱.۵ و اگر از دو طرف جوش شود از ضریب ۰.۷۵ استفاده می شود.

۶-۱) حداقل طول مؤثر جوش گوشه: (بند ۱۰-۱-۲-۱۰-۱-۲-قسمت ب-۲-مبحث دهم)



$$L_w = \max \begin{cases} 4a \\ 4cm \end{cases}$$

حداقل طول جوش گوشه:

a : بعد جوش

L_w : طول جوش

نکته ۱: اگر خصایطه فوق رعایت نشود، باید بعد جوش را $\frac{1}{4}$ طول مؤثر در نظر گرفت.

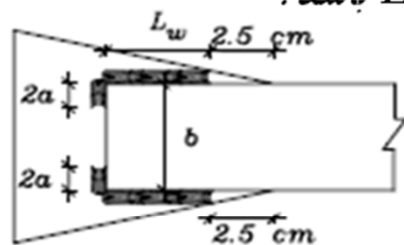
نکته ۲: در فاصله 2.5 cm از لبه ورق، جوشکاری باید متوقف شود.

نکته ۳: طول جوش حداقل به اندازه عرض صفحه باشد.

نکته ۴: طول برگشت جوش $2a$ باشد و اگر بیشتر بوده در محاسبات وارد می شود.

نکته ۵: فاصله عمودی بین خطوط جوش در اتصالات انتهایی به 20 cm محدود می شود.

نکته ۶: از جوش گوشه منقطع در صورتی می توان استفاده کرد $L_w \geq 4a$, $L_w \geq 4\text{cm}$.



$$L_w \geq b$$

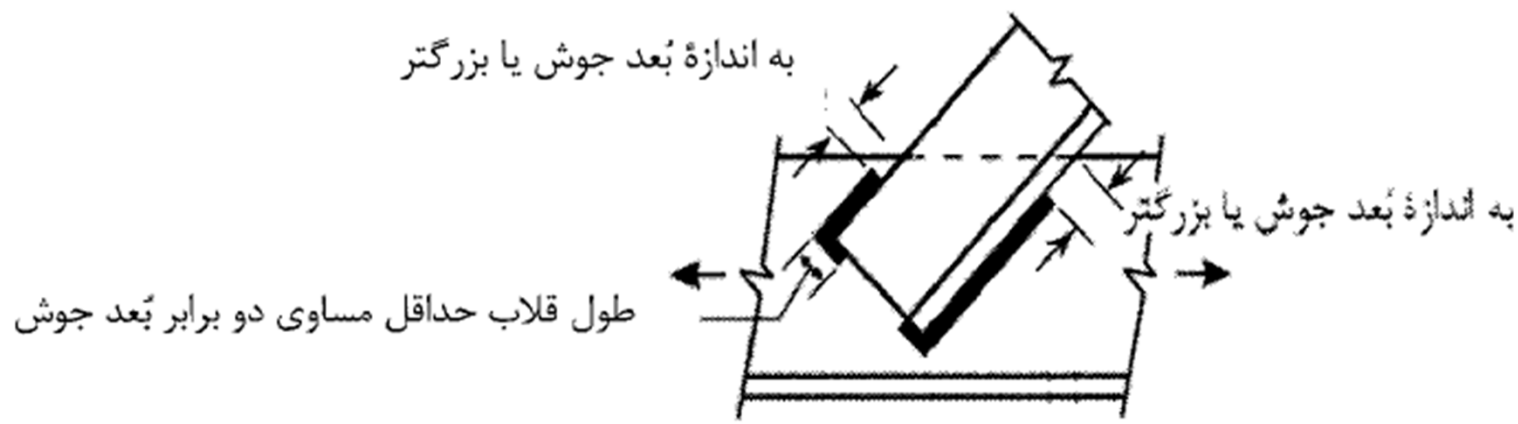
$$b \leq 20\text{cm}$$

- حداقل روی هم آمدگی قطعات در روی هم را به ۵ برابر خصامت ورق نازکتر و همچنین 2.5 cm محدود می شود.

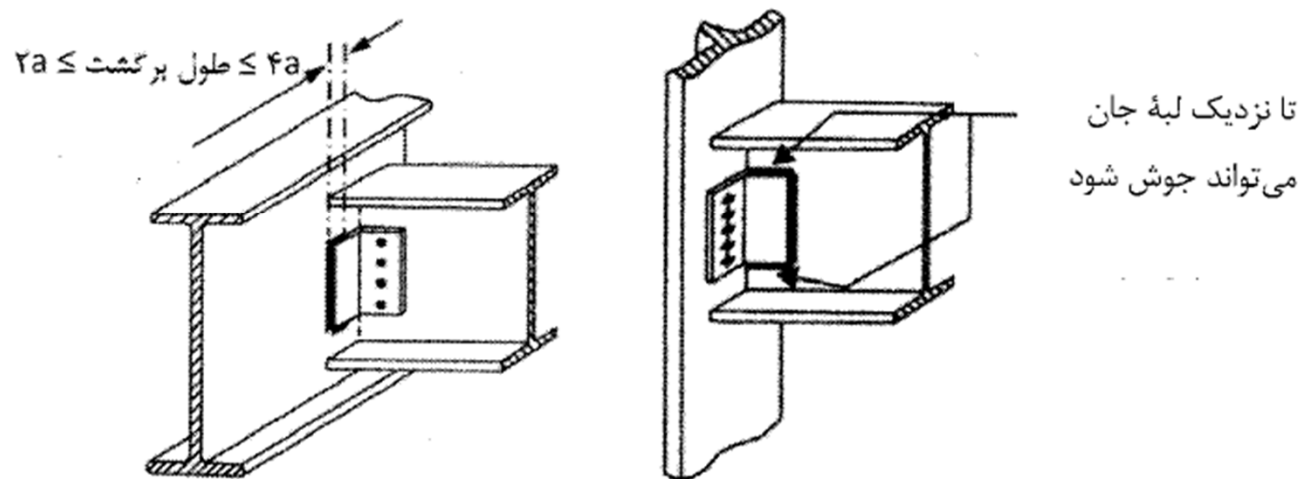
$$L > \text{Max} \begin{cases} 2.5\text{cm} \\ 5.t_{\min} \end{cases}$$

$t \leftarrow$ خصامت ورق نازکتر

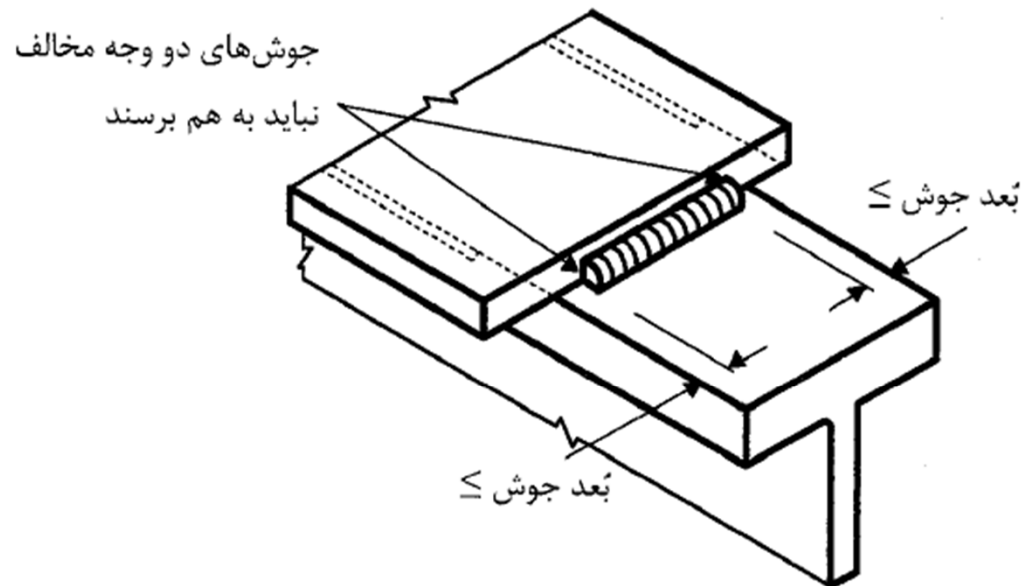
$L \leftarrow$ حداقل طول روی هم آمدگی



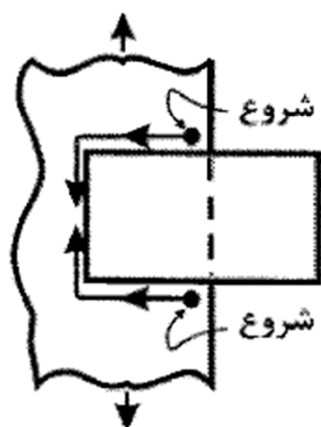
شکل ۱۰-۹-۶-۲ جوش گوشه در انتهای اعضای محوری



شکل ۱۰-۹-۷-۲ جوش گوشه در اتصالات مفصلی با نبیشی‌های جان



شکل ۸-۹-۲-۱۰ جوش های گوشه در دو طرف مخالف یک صفحه مشترک



شکل ۹-۹-۲-۱۰ مسیر مناسب برای جلوگیری از زخم در لبه

سطح مؤثر جوش : (بند ۱۰-۲-۹-۲-۲-۹-۲-۱۰ قسمت الف - مبحث دهم)

سطح مؤثر جوش ها از حاصل ضرب ضخامت مؤثر جوش (t_e) در طول جوش به دست می آید :

$$A_w = L_w \cdot t_e$$

ضخامت مؤثر جوش لب : (بند ۱۰-۲-۹-۲-۱-۱ قسمت الف - مبحث دهم)



الف) جوش لب با نفوذ کامل :

$$t_e = t_{\min}$$

اندازه مؤثر (ضخامت مؤثر) جوش لب با نفوذ کامل برابر با ضخامت ورق نازک است .

ب) جوش لب با نفوذ غیر کامل : (بند ۱۰-۲-۹-۲-۱-۱ قسمت ب - مبحث دهم)

- جوش با نفوذ غیر کامل جناغی :



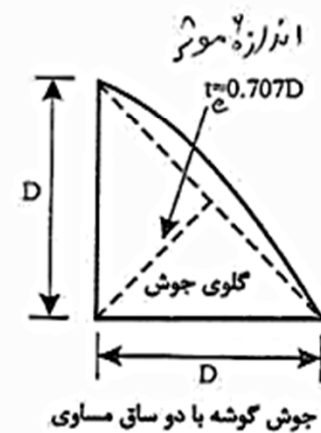
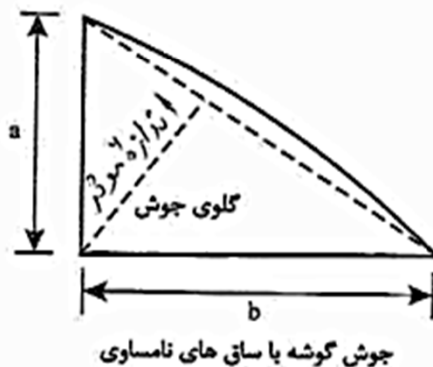
$$\text{if } \begin{cases} \alpha \geq 60^\circ \rightarrow t_e = D \\ 45^\circ < \alpha < 60^\circ \rightarrow t_e = D - 3mm \end{cases}$$

ضخامت مؤثر جوش لب با نفوذ نسبی به جدول صفحه ۱۴۶ مبحث دهم و شکل های بالا محدود می شود.

ضخامت موثر جوش گوشه:

کمترین فاصله بین ریشه جوش و سطح خارجی جوش است.

$$\text{if } \begin{cases} a = b \rightarrow t_e = \frac{a}{\sqrt{2}} = 0.707a \\ a \neq b \rightarrow t_e = \frac{a \cdot b}{\sqrt{a^2 + b^2}} \end{cases}$$



۴-۲-۹-۲-۱۰ مقاومت جوش

مقاومت طراحی جوش‌ها مساوی ϕR_n می‌باشد که در آن، ϕ ضریب کاهش مقاومت طبق جدول ۳-۹-۲-۱۰ مقاومت اسمی جوش می‌باشد که باید به شرح زیر برابر کوچکترین مقدار محاسبه شده بر اساس حالت‌های حدی گسیختگی کششی و گسیختگی برشی برای مصالح فلز پایه و حالت حدی گسیختگی برای فلز جوش در نظر گرفته شود.

الف) بر اساس مصالح فلز پایه

$$R_n = F_{nBM} A_{BM} \quad (3-9-2-10)$$

ب) بر اساس مصالح فلز جوش

$$R_n = \beta F_{nw} A_{we} \quad (3-9-2-10)$$

که در آن:

$$F_{nBm} = \text{تنش اسمی فلز پایه}$$

$$F_{nw} = \text{تنش اسمی فلز جوش}$$

$$A_{BM} = \text{سطح مقطع فلز پایه}$$

$$A_{we} = \text{سطح مقطع مؤثر جوش}$$

β = ضریب بازرسی جوش به شرح زیر:

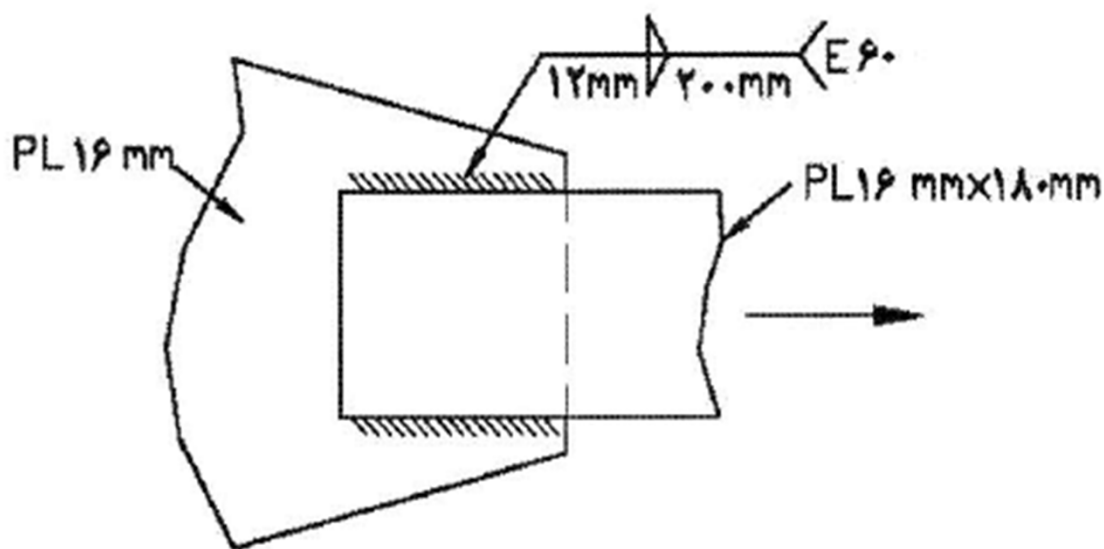
۱. در صورت انجام آزمایش‌های غیرمخرب نظیر رادیوگرافی و التراسونیک (فراصوتی): $\beta=1$
۲. در صورت انجام جوش در کارخانه (یا شرایط مشابه) و بازرسی چشمی جوش توسط بازرس ذیصلاح جوش: $\beta=0.85$
۳. در صورت انجام جوش در محل و بازرسی چشمی جوش توسط بازرس ذیصلاح جوش: $\beta=0.75$

تنش اسمی (F_{nBm} یا F_{nw})	ضریب کاهش مقاومت (ϕ)	نوع فلز حاکم بر تعیین مقاومت جوش	نوع بار و جهت آن نسبت به محور جوش	نوع جوش
۳-۲-۱۰ مطابق فصل	۳-۲-۱۰ مطابق فصل	فلز پایه	کششی عمود بر مقطع مؤثر	جوش شیاری با نفوذ کامل و لبه آماده شده
۳-۲-۱۰ مطابق فصل یا ۴-۲-۱۰	۳-۲-۱۰ مطابق فصل یا ۴-۲-۱۰	فلز پایه	فشاری عمود بر مقطع مؤثر، کششی و یا فشاری موازی با محور جوش	
۶-۲-۱۰ مطابق فصل	۶-۲-۱۰ مطابق فصل	فلز پایه	برشی، در مقطع مؤثر	
۳-۲-۱۰ مطابق فصل یا ۴-۲-۱۰	۳-۲-۱۰ مطابق فصل یا ۴-۲-۱۰	فلز پایه	فشاری، در امتداد عمود بر مقطع مؤثر	جوش شیاری با نفوذ نسبی
$F_{nBM}=F_u$	۰/۷۵	بر اساس فلز پایه	فشاری، موازی با محور جوش	
$F_{nw}=۰/۶F_u$	۰/۸	بر اساس فلز جوش (الکترود مصرفی)	کششی در امتداد عمود بر مقطع مؤثر	
	۶-۲-۱۰ مطابق فصل	بر اساس فلز پایه	برشی، در مقطع مؤثر	
$F_{nw}=۰/۶F_u$	۰/۷۵	بر اساس فلز جوش (الکترود مصرفی)		

تنش اسمی (F_{nBm} یا F_{nw})	ضریب کاهش مقاومت (ϕ)	نوع فلز حاکم بر تعیین مقاومت جوش	نوع بار و جهت آن نسبت به محور جوش	نوع جوش
۶-۲-۱۰ مطابق فصل	۶-۲-۱۰ مطابق فصل	بر اساس فلز پایه		
$F_{nw} = 0.6 F_{ue}$	۰/۷۵	بر اساس فلز جوش (الکترود مصرفی)	برشی، در مقطع مؤثر	جوش گوشه
۳-۲-۱۰ مطابق فصل یا ۴-۲-۱۰	۳-۲-۱۰ مطابق فصل یا ۴-۲-۱۰	فلز پایه	کششی یا فشاری، موازی با محور جوش	
۶-۲-۱۰ مطابق فصل	۶-۲-۱۰ مطابق فصل	بر اساس فلز پایه	برشی، موازی سطح برش	جوش انگشتانه
$F_{nw} = 0.6 F_{ue}$	۰/۷۵	بر اساس فلز جوش (الکترود مصرفی)	شونده (روی مقطع مؤثر)	و کام

$$F_y = \text{تنش تسلیم فلز پایه} \quad F_{ue} = \text{تنش نهایی فلز جوش (الکترود مصرفی)}$$

مثال ۱ - ظرفیت باربری اتصال نشان داده شده را با روش LRFD بدست آورید.
فولاد: St-37 و ضریب بازرگی جوش = 1



مقاومت کششی ورق اصلی به دست می‌آید.

تسلیم کششی،

$$P_n = F_y A_g$$

$$P_n = (2/4)(28/8) = 69/1t$$

$$\phi_t P_n = (0/9)(69/1) = \underline{62/2t}$$

گیختگی کششی،

$$P_n = F_u A_e$$

$$A_e = A_g = 28/8 cm^2$$

$$P_n = (3/7)(28/8) = 106/6t$$

$$\phi_t P_n = (0/75)(106/6) = 80/0t$$

تسلیم کششی کنترل کننده است.

شایان ذکر است که معمولاً در طراحی اتصال نیازی به بررسی مقاومت عضو اصلی اتصال نمی‌باشد زیرا که عضو اصلی برای بارهای وارد طراحی شده است.

همان‌گونه که قبل نیز توضیح داده شد، اتصال باید به گونه‌ای طراحی شود که اتصال دهنده و اجزای اتصال تعیین کننده نباشند و عضو اصلی کنترل کننده طرح شود. در این مثال، ضخامت ورق اتصال برابر با ضخامت ورق اصلی و عرض آن مقداری بیشتر انتخاب شده است تا کنترل کننده نباشد.

مقاومت جوش بررسی می‌شود.

$$R_n = F_w A_w$$

$$F_w = 0/6 F_{EXX}$$

$$F_w = \sigma / \gamma (4200) = 2520 \text{ kg/cm}^2$$

$$A_w = l_w t_e$$

ضخامت موثر گلوی جوش به دست می‌آید.

$$t_e = \sigma / \gamma \cdot \gamma (12) = \lambda / 484 \text{ mm}$$

$$A_w = (40)(\lambda / 484) = 33 / 9 \text{ cm}^2$$

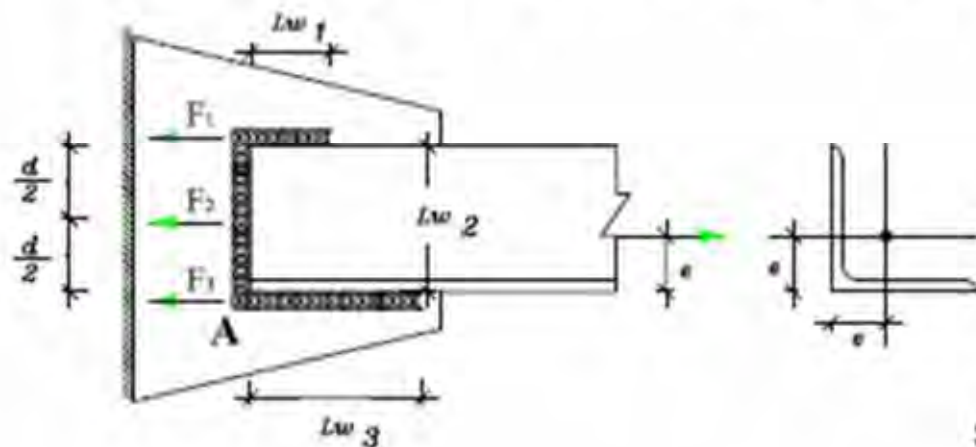
$$R_n = (2 / 52)(33 / 9) = 85 / 4 t$$

$$\phi R_n = (\sigma / \gamma \delta)(\lambda \delta / 4) = 64 / 0 t$$

بنابراین ورق اصلی کنترل کننده است.

۱۴-۱) طراحی اتصال متعادل:

طرح اتصال نامتفاگرین برای این است که خروج از مرکزیت در جوش از بین برود و آنس ها یکنواخت گردد.



۱۵-۱) مراحل کام به کام طراحی اتصال متعادل:

(1) با توجه به نوع الکترود R_w تعیین شود.

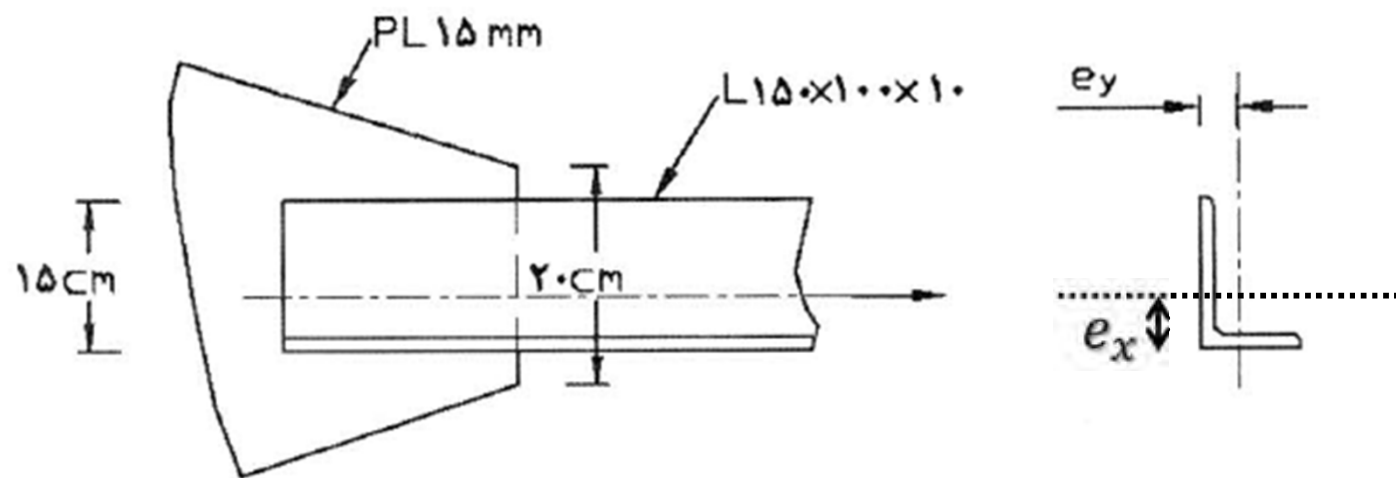
$$F_2 = R_w \cdot L_{w2} \quad (2)$$

$$\sum M_A = 0 \rightarrow F_1 = \frac{P \cdot e}{d} - \frac{F_2}{2} \quad (3)$$

$$\sum F_x = 0 \rightarrow F_3 = P \times \left(1 - \frac{e}{d}\right) - \frac{F_2}{2} \quad (4)$$

$$L_{w3} = \frac{F_3}{R_w}, L_{w1} = \frac{F_1}{R_w} \quad (5)$$

مثال ۲ - اتصال نبشی به ورق نشان داده شده در شکل را با استفاده از روش طراحی LRFD طراحی نمایید. بار مرده ۱۰ تن و بار زنده ۲۵ تن می باشد. فولاد از نوع St-37 و الکترود E60 و ضریب بازرگی جوش برابر با ۱ می باشد.



مشخصات نبشی از جدول اشتال:

$$A_g = 24.2 \text{ cm}^2 \quad , e_y = 2.34 \text{ cm} \quad , e_x = 4.81 \text{ cm}$$

ورق اتصال کننده طرح نمی باشد. در این مثال ظرفیت نبشی بررسی می شود:

تسلیم کششی،

$$P_n = F_y A_g$$

$$P_n = (2/4)(24/2) = 58/1 t$$

$$\phi_i P_n = (0/9)(58/1) = \underline{52/2 t}$$

گسیختگی کششی،

$$P_n = F_u A_e$$

با فرض طول اتصال برابر با $20 cm$,

$$U = 1 - \frac{2/34}{20} = 0/882$$

$$A_e = (24/2)(0/882) = 21/4 cm^2$$

$$P_h = (3/7)(21/4) = 79/21$$

$$\phi_t P_n = (0/75)(79/2) = 59/4t$$

تسلیم کششی کنترل کننده است. معمولاً در اتصالات جوشی تسلیم کششی کنترل کننده است.

$$P_u = 1/2(10) + 1/6(25) = 52.1$$

$$52.1 < 52/3t$$

بنابراین همان‌گونه که انتظار می‌رفت عضو اصلی جوابگو است.

برای انتخاب یک اندازه مناسب جوش، لازم است ابتدا حداقل و حداکثر اندازه مجاز جوش تعیین گردد.
حداقل اندازه جوش از جدول (۴-۶) برابر با 5 mm است. حداکثر اندازه جوش به دست می‌آید.

$$w_{\max} = 10 - 2 = 8 \text{ mm}$$

جوش 8 mm به دلیل سهولت اجرا انتخاب می‌شود.

ضخامت موثر گلوی جوش به دست می‌آید:

$$t_e = 0.707(\lambda) = 0.656 \text{ mm}$$

$$A_w = 0.5656 l_w$$

$$F_w = 0.6(4200) = 2520 \text{ kg/cm}^2$$

$$R_n = (2/52)(0.5656 l_w) = 1/425 l_w$$

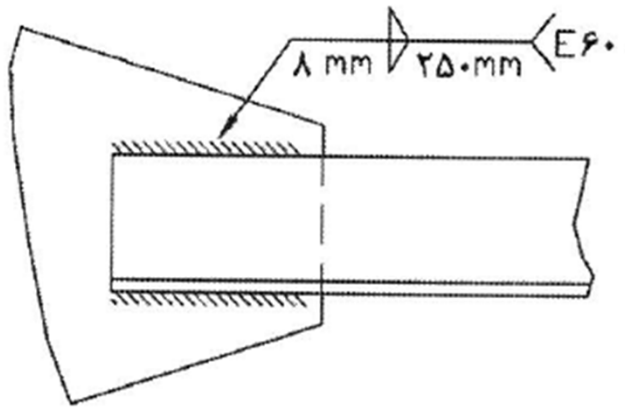
$$\phi R_n = (0.75)(1/425 l_w) = 1/0.69 l_w$$

طول مورد نیاز جوش با مساوی قرار دادن مقاومت‌های لازم و موجود نتیجه می‌شود.

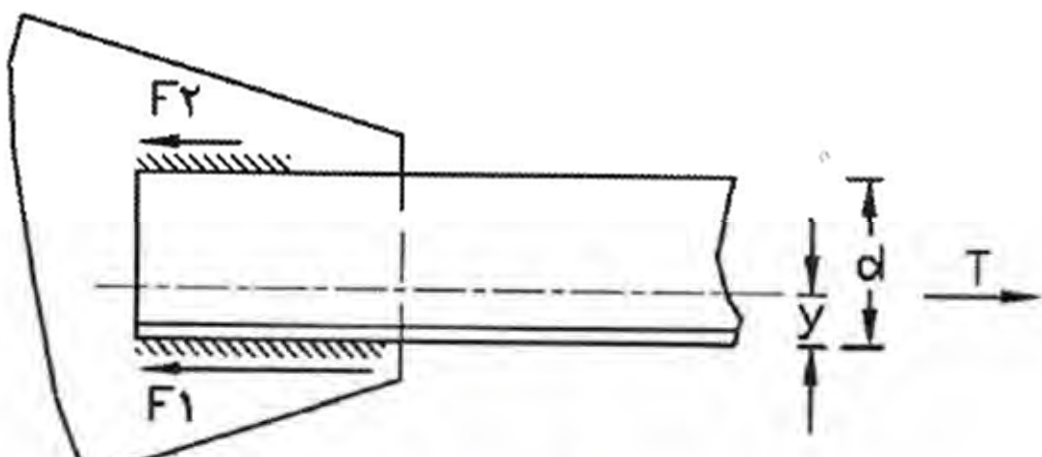
$$R_u \leq \phi R_n$$

$$52 = 1/0.69 l_w \quad l_w = 48/6 \text{ cm}$$

همان‌گونه که توضیح داده شد، در مورد اتصال نبشی‌ها و در مواردی که تحت اثر بارهای خستگی قرار ندارند، رعایت خروج از مرکزیت الزامی نمی‌باشد. اتصال طراحی شده بدون رعایت خروج از مرکزیت در شکل نشان داده شده است.



در صورت رعایت خروج از مرکزیت نبشی،



$$y = e_x$$

با برقراری تعادل لنگر در محل نیروی F_1 ، نیروی F_2 به دست می‌آید.

$$F_2 = \frac{y}{d} T$$

نیروی F_1 نیز از تعادل نیروها نتیجه می‌شود.

$$F_1 = T - F_2$$

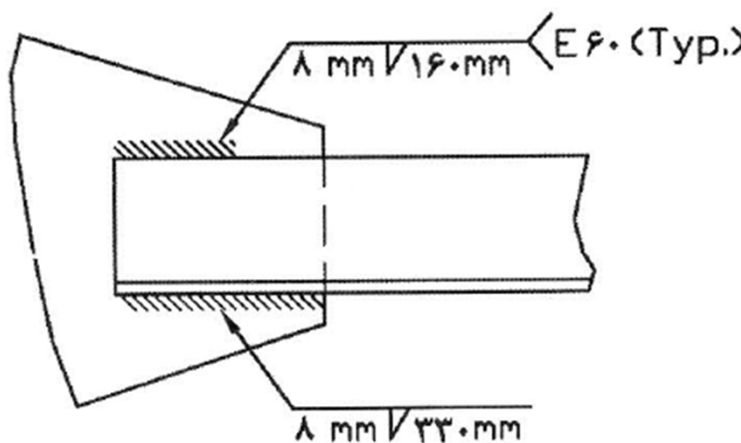
در مورد طول جوش‌ها نیز لازم است نسبت‌های فوق رعایت شود.

برای مثال بالا نتیجه می‌شود.

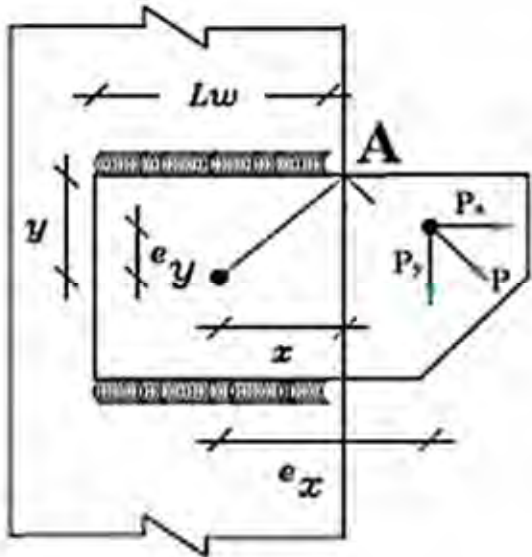
$$l_{w2} = \frac{4/81}{15} (48/6) = 15/6 \text{ cm}$$

$$l_{w1} = 48/6 - 15/6 = 33 \text{ cm}$$

اتصال طراحی شده با رعایت خروج از مرکزیت در شکل نشان داده شده است.



۱-۱۶) برش با خروج از مرکزیت : (برش و پیچش)



برش مستقیم

$$\begin{cases} f'_x = \frac{P_x}{A_s} \\ f'_y = \frac{P_y}{A_s} \end{cases}$$

تنش ها یکنواخت است

$$T = P_x \cdot e_y + P_y \cdot e_x$$

Y, X : فاصله تار خنثی تا محل تنش حداکثر

برش حاصل از پیچش

$$\begin{cases} f''_x = \frac{T \cdot y}{I_P} \\ f''_y = \frac{T \cdot x}{I_P} \end{cases} \quad I_P = I_x + I_y$$

$$f_r = \sqrt{f_x^2 + f_y^2} = \sqrt{(f'_x + f''_x)^2 + (f'_y + f''_y)^2} \leq F_v$$

نقطه ای بحرانی است که تنش های ناشی از پیچش بیشتر باشند و تنش های برشی حاصل از پیچش با برش مستقیم هم جهت باشند.
در این شکل نقطه A بحرانی است)

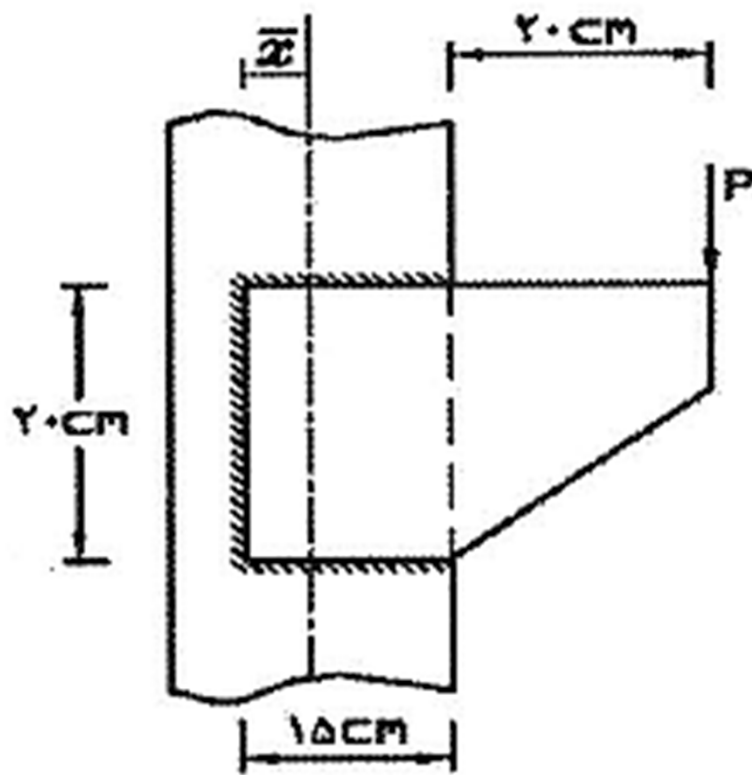
محاسبه لنگر لختی قطبی و اساس مقطع برای انواع جوش ها

صفحه ۳۶۱ کتاب دکتر حبیب الله اکبر

$t_e = 1$: فرض:

شکل مقطع $b =$ (ارتفاع) $d =$ (عرض)		$\frac{I_x}{y}$ اساس مقطع	لنگر لختی قطبی حول مرکز ثقل (ارتفاع)
1.		$S = \frac{d^2}{6}$	$I_p = \frac{d^3}{12}$
2.		$S = \frac{d^2}{3}$	$I_p = \frac{d(3b^2 + d^2)}{6}$
3.		$S = bd$	$I_p = \frac{b(3d^2 + b^2)}{6}$
4.		$\bar{y} = \frac{d^2}{2(b+d)}$ $\bar{x} = \frac{b^2}{2(b+d)}$	$S = \frac{4bd + d^2}{6}$ $I_p = \frac{(b+d)^4 - 6b^2d^2}{12(b+d)}$
5.		$\bar{x} = \frac{b^2}{2b+d}$	$S = bd + \frac{d^2}{6}$ $I_p = \frac{8b^3 + 6bd^2 + d^3}{12} - \frac{b^4}{2b+d}$
6.		$\bar{y} = \frac{d^2}{b+2d}$	$S = \frac{2bd + d^2}{3}$ $I_p = \frac{b^3 + 6bd^2 + 8d^3}{12} - \frac{d^4}{2d+b}$
7.		$S = bd + \frac{d^2}{3}$	$I_p = \frac{(b+d)^3}{6}$
8.		$\bar{y} = \frac{d^2}{b+2d}$	$S = \frac{2bd + d^2}{3}$ $I_p = \frac{b^3 + 8d^3}{12} - \frac{d^4}{b+2d}$
9.		$S = bd + \frac{d^2}{3}$	$I_p = \frac{b^3 + 3b^2 + d^3}{6}$
10.		$S = \pi r^2$	$I_p = 2\pi r^3$

مثال ۳- اندازه بعد جوش گوشه نشان داده شده در شکل را با استفاده از روش LRFD بدست آورید. بار مرده ۳ تن و بار زنده ۵ تن می باشند. فرض کنید که ورق اتصال کنترل کننده نمی باشد. فولاد از نوع St-37 و الکترود E60 و ضریب بازررسی جوش برابر با ۱ می باشد.



مقادیر \bar{x} و I_p با استفاده از روابط جدول به دست می‌آیند.

$$\bar{x} = \frac{(15)^t}{2(15) + 20} = 4/5 \text{ cm}$$

$$I_p = \frac{\lambda(15)^t + \epsilon(15)(20)^t + (20)^t}{12} - \frac{(15)^t}{2(15) + 20} = 4904/2t_e$$

سطح موثر جوش بر اساس عمق موثر گلوبی جوش تعیین می‌گردد.

$$A_w = [2(15) + 20]t_e = 50t_e$$

روش ضرایب بار و مقاومت:

$$P_u = 1/\gamma(3) + 1/\gamma(5) = 11/\gamma t$$

$$T_u = (11/\gamma)(0/\gamma \cdot 5) = 3/\Delta F t \cdot m$$

$$f'_y = \frac{11/\gamma}{5 \cdot t_e} = \frac{0/222}{t_e}$$

$$f''_x = \frac{(3/\Delta F)(1+0)(1+0)}{49+4/2t_e} = \frac{0/722}{t_e}$$

$$f''_y = \frac{(3/\Delta F)(1+0)(1+0/\Delta)}{49+4/2t_e} = \frac{0/758}{t_e}$$

$$f'_x = \frac{0/722}{t_e}$$

$$f_y = \frac{0/222}{t_e} + \frac{0/758}{t_e} = \frac{0/99}{t_e}$$

$$f_u = \sqrt{\left(\frac{0/722}{t_e}\right)^2 + \left(\frac{0/99}{t_e}\right)^2} = 1/225$$

$$f_u \leq \phi F_w$$

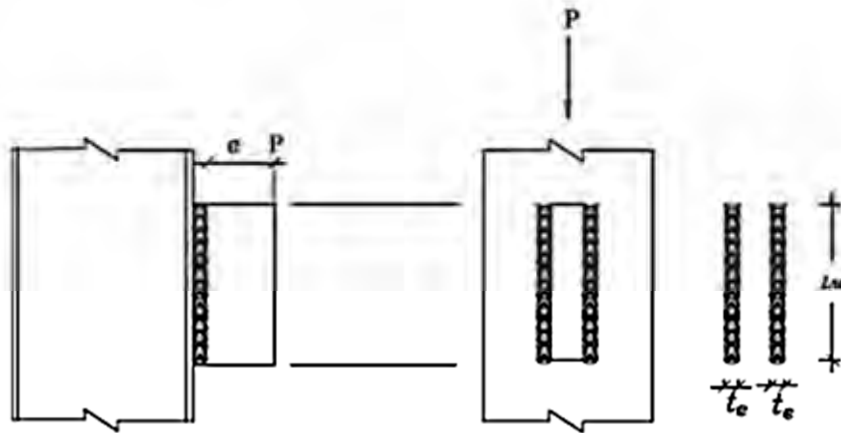
$$\frac{1/225}{t_e} \leq (0/75)(0/5)(4/2) \quad t_e \geq 0/50 \text{ cm}$$

اندازه جوش به دست می آید.

$$w \geq \frac{0/50}{0/75} = 0/92 \text{ cm}$$

جوش ۱۰ mm جوابگو است.

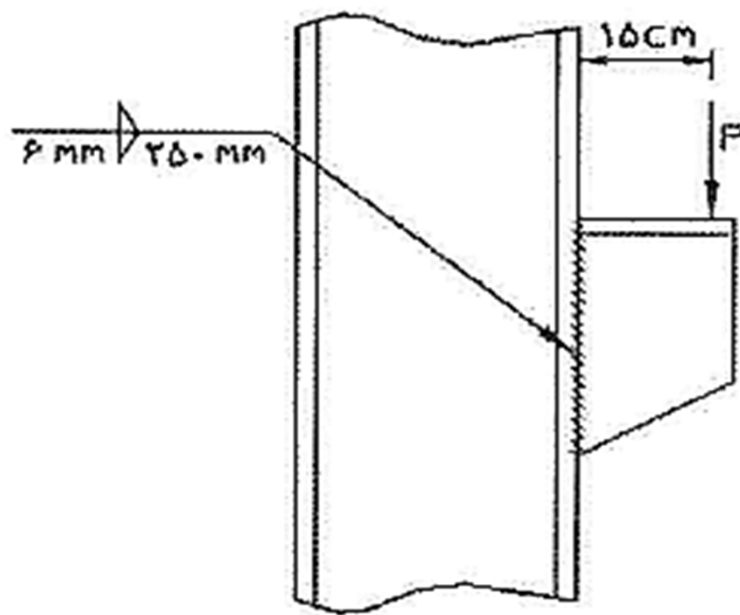
۱۷-۱) جوش تحت اثر برش و لنگر خمی:



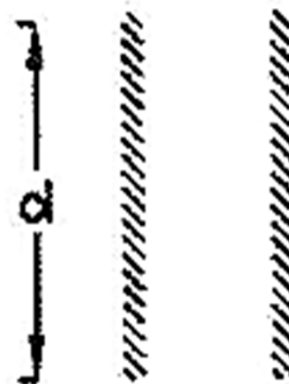
جوش گوش و قتی تحت لنگر خمی قرار می گیرد، در واقع در جوش برش ایجاد می شود.

$$\left\{ \begin{array}{l} f_y' = \frac{P}{A} = \frac{P}{2 \cdot t_e \cdot L_w} \Rightarrow \\ f_r = \sqrt{f_y'^2 + f_x'^2} \leq F_y \\ f_x'' = \frac{M}{S} = \frac{P \cdot e}{2 \times \frac{t_e \cdot L_w^2}{6}} \Rightarrow \end{array} \right.$$

مثال ۴- حداکثر نیروی P اتصال نشان داده شده در شکل را با استفاده از روش LRFD بدست آورید. بار واردہ شامل: ۴۰٪ مردہ و ۶۰٪ زنده می باشد. ورق اتصال کنترل کننده نمی باشد. فولاد از نوع St-37 و الکترود E70 و ضریب بازرگانی جوش برابر با ۱ می باشد.



$$S = \frac{d^2}{4}$$



$$t_e = 0.7 \cdot \sqrt{0.7} = 0.4242 \text{ cm}$$

$$A_w = 2(25)(0.4242) = 21/21 \text{ cm}^2$$

$$S = \frac{(25)^2}{4} (0.4242) = 88/4 \text{ cm}^2$$

روش ضرایب بار و مقاومت:

$$P_u = 1/2(0.4P) + 1/6(0.5P) = 1/44P$$

$$M_u = (1/44P)(1\Delta) = 21/6P$$

$$f_y' = \frac{1/44P}{21/21} = 0.058P$$

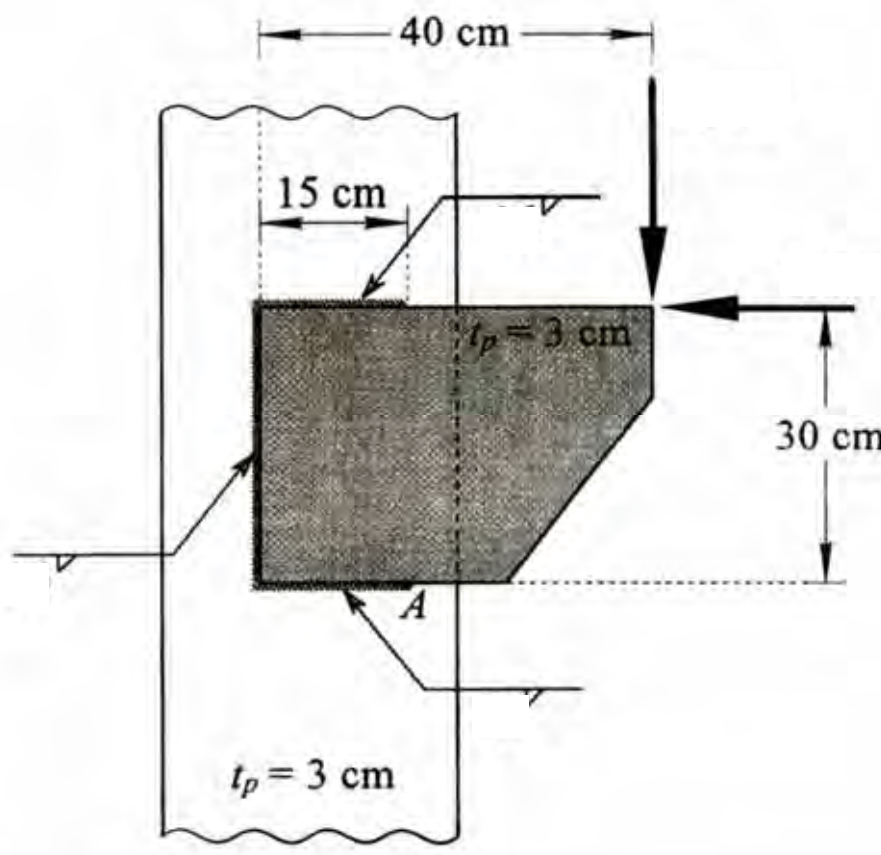
$$f_x'' = \frac{21/6P}{88/4} = 0.244P$$

$$f_u = \sqrt{(0.244P)^2 + (0.058P)^2} = 0.253P$$

$$f_u \leq \phi F_w$$

$$0.253P \leq (0.75)(0.7)(4/9) \quad P \leq 1.71$$

تمرین ۱: بعد جوش گوشه در اتصال براکتی شکل زیر که تحت تاثیر نیروهای افقی و قائم به ترتیب ۱۷ و ۲۲ تن قرار دارد را به روش LRFD طراحی کنید. (الکترود مصرفی E70 و ضریب بازرگانی جوش برابر با ۱)



معرفی اتصالات

أنواع اتصالات تيربه ستون



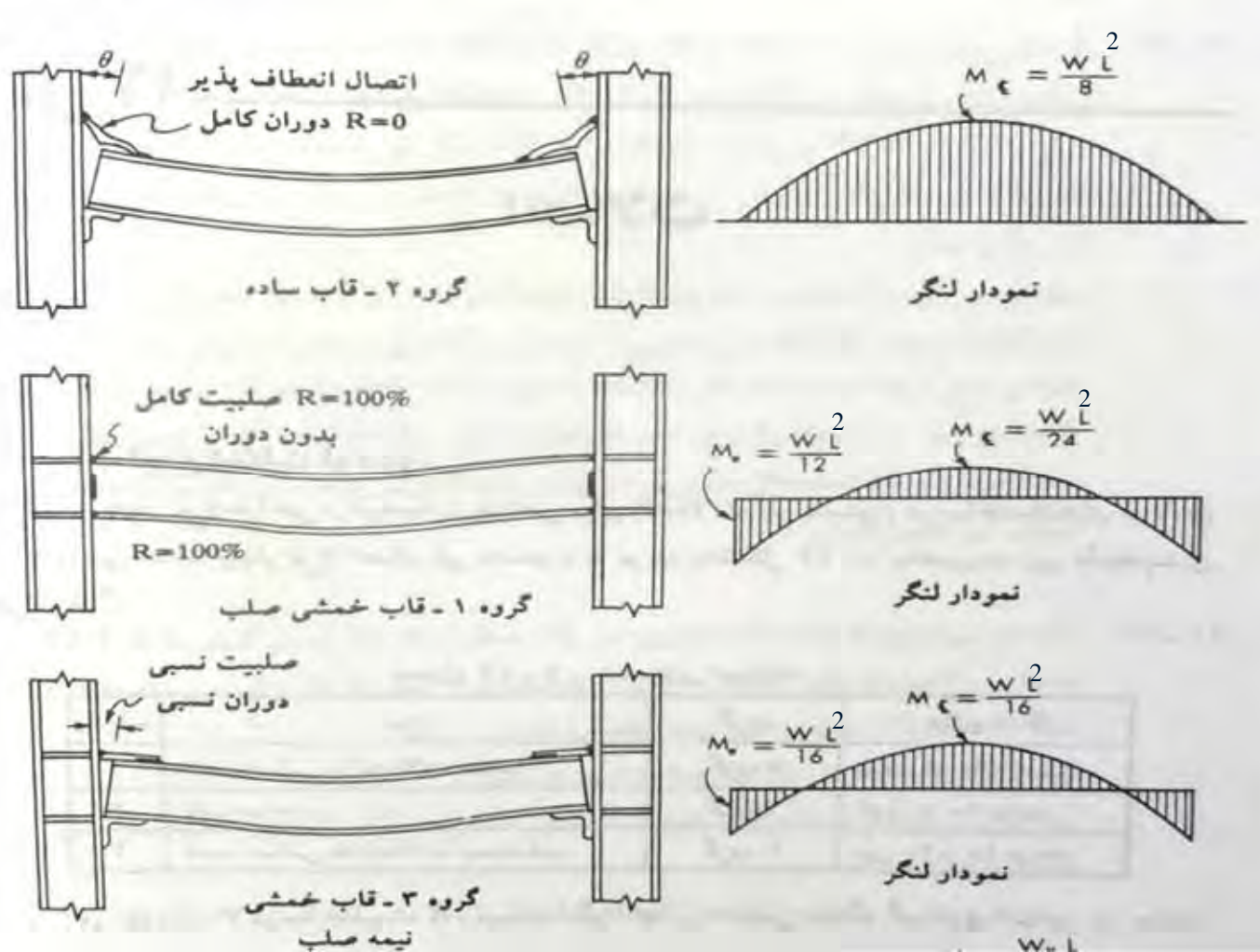
١- اتصالات مفصلي



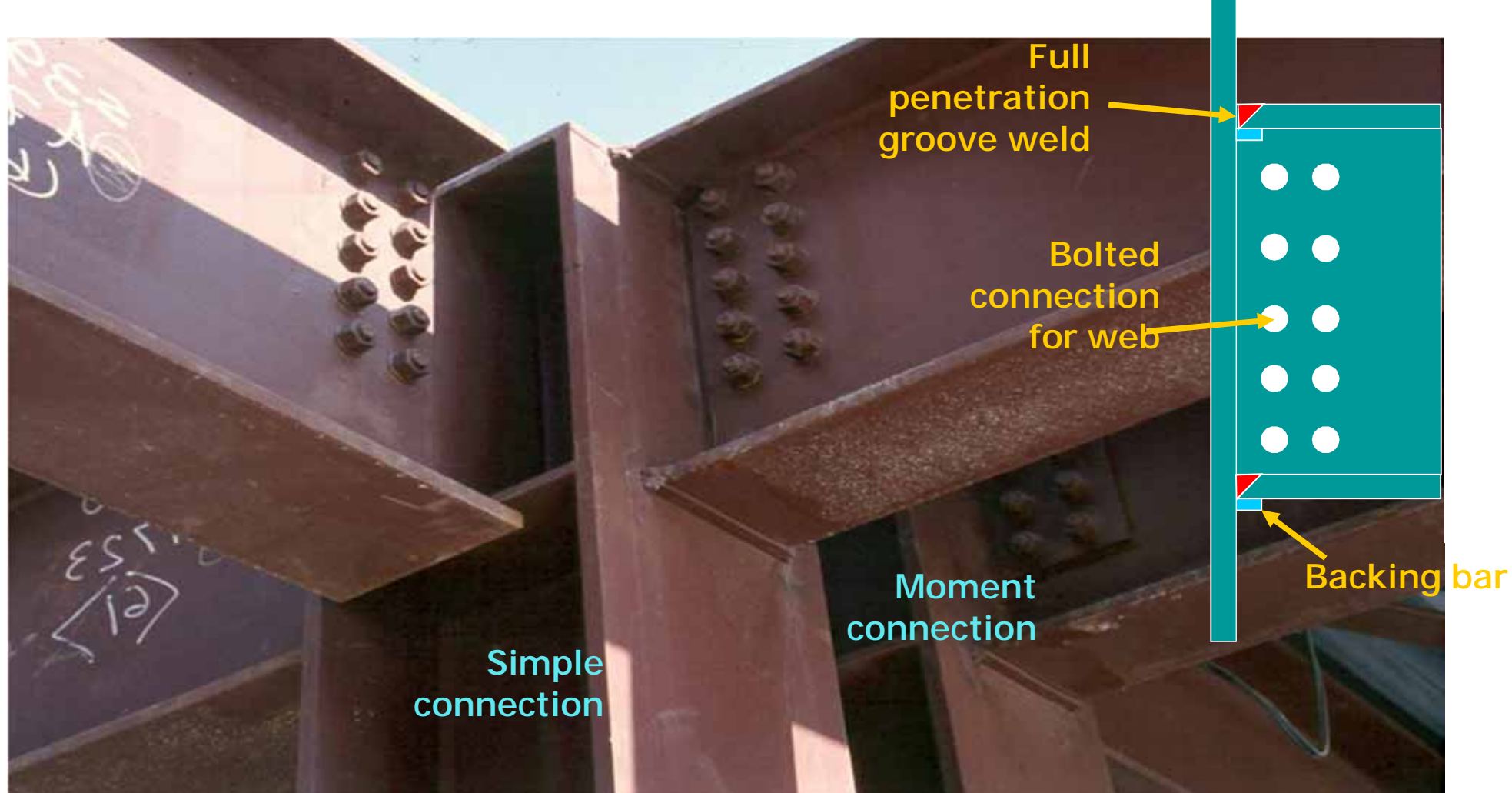
٢- اتصالات خمسي:

- ١- اتصالات كاملاً غيردار
- ٢- اتصالات نيمه غيردار

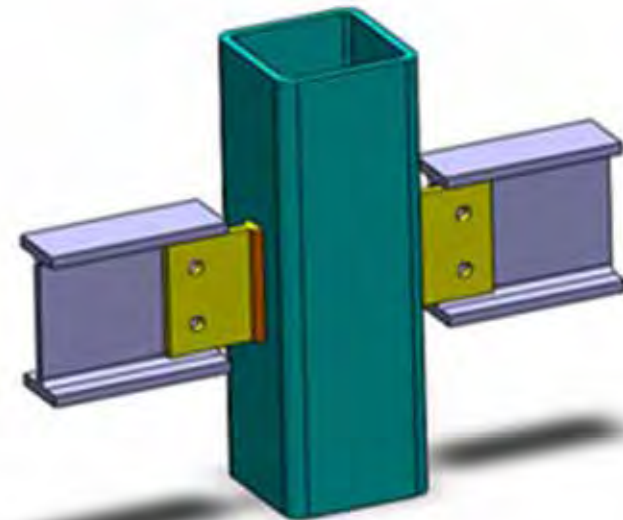
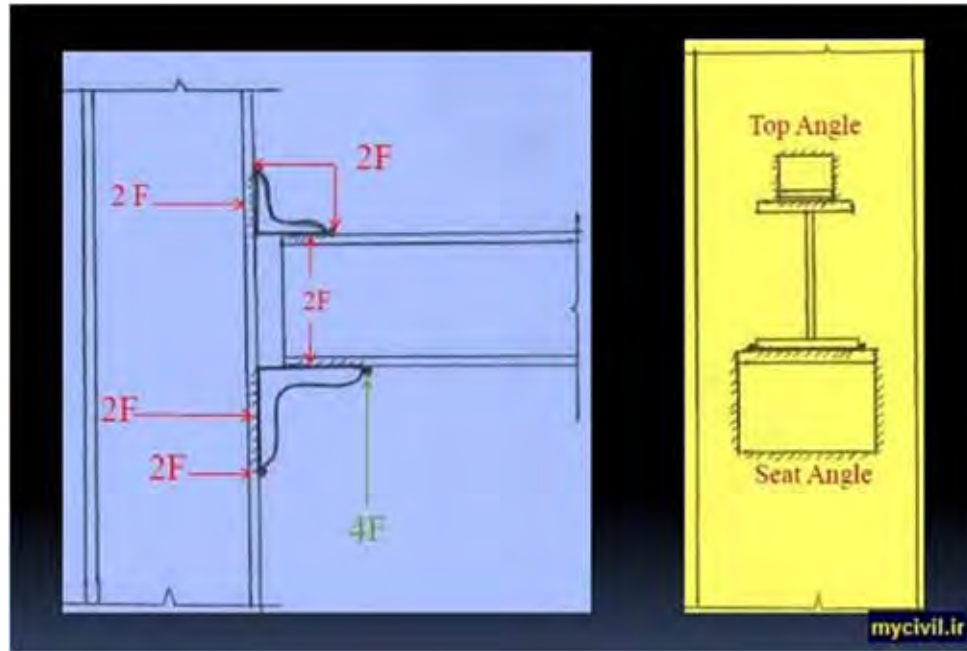
مقایسه دیاگرام لنگر خمثی



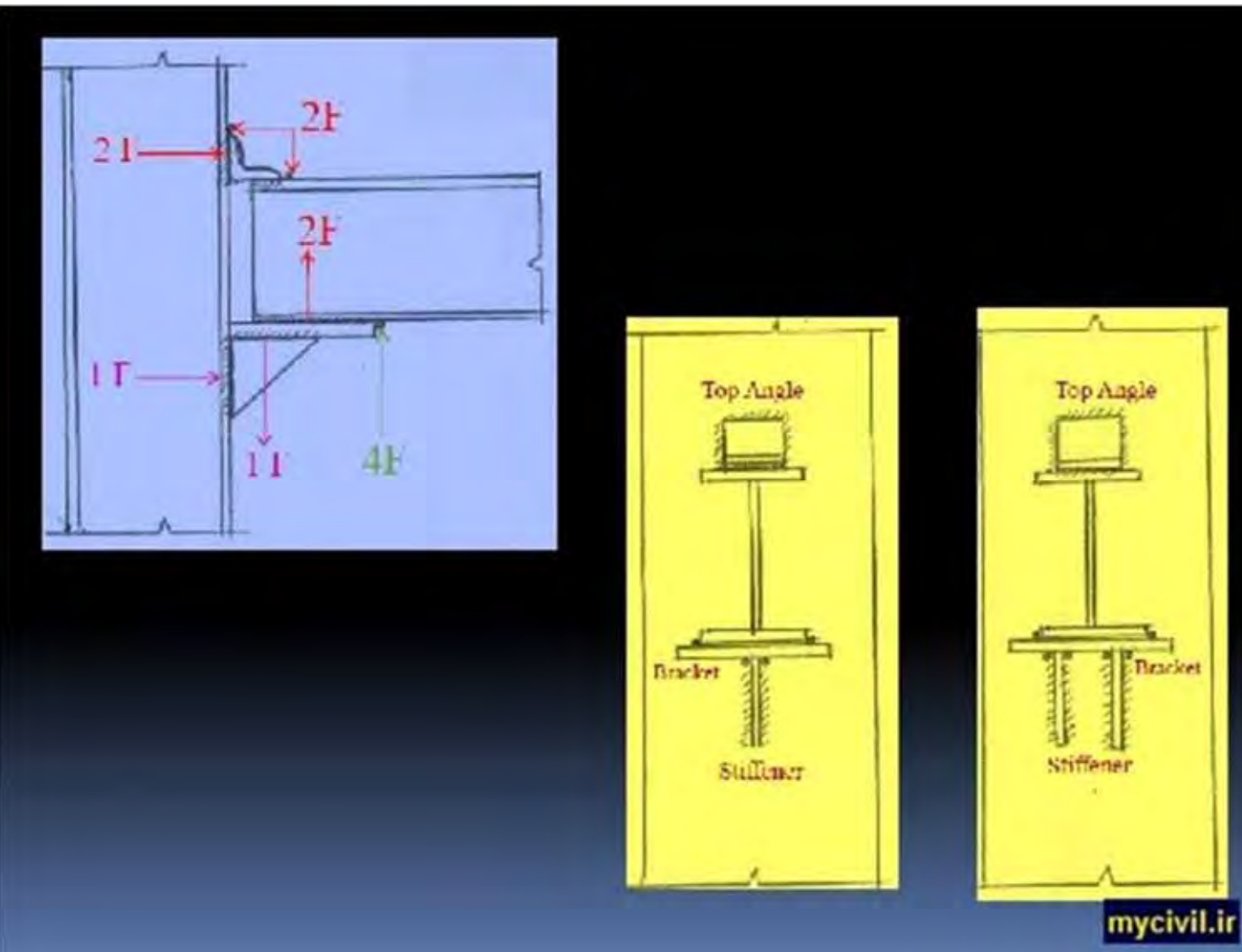
مدلی از اتصالات گیردار و مفصلی



مدل اتصالات مفصلی



مدل اتصالات مفصلی



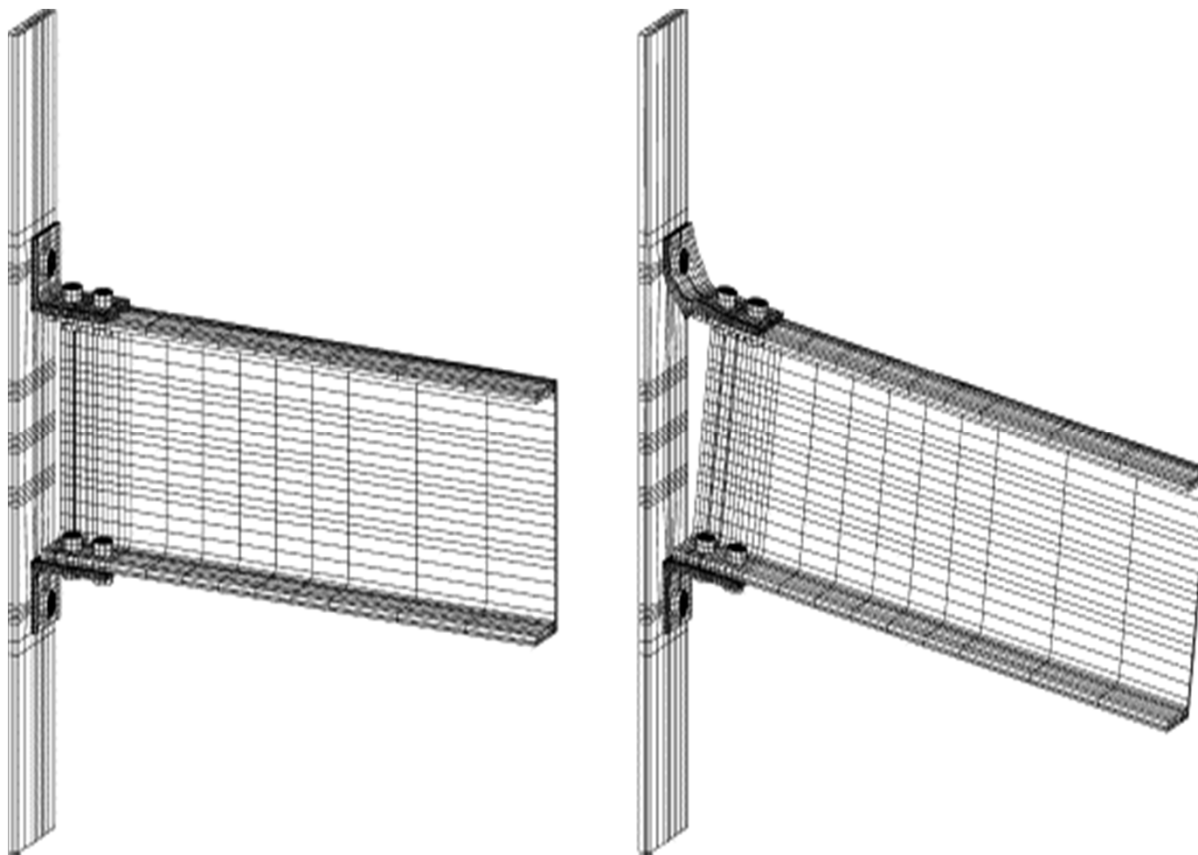
مدلی از اتصالات مفصلی (ساده) با نبشی نشیمن (اتصالات اتکایی)



مدلی از اتصالات مفصلی (ساده) با نبشی نشیمن (اتصالات اتکایی)



رفتار اتصالات مفصلی (ساده) با نبشی نشیمن (اتصالات اتکایی)



مدلی از اتصالات مفصلی



مدلی از اتصالات مفصلی



Single Plate Connection (Shear Tab)

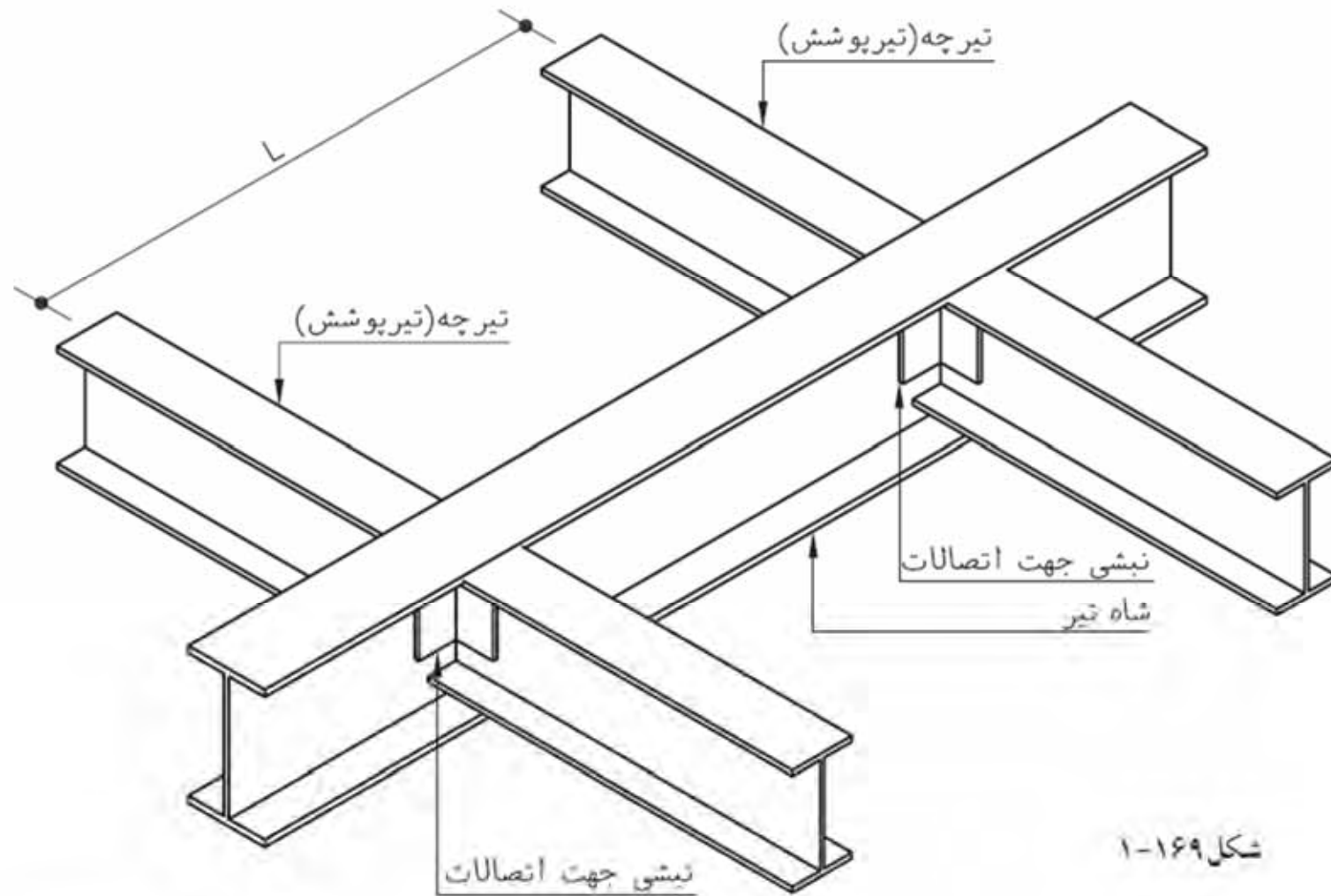
A plate is welded to the supporting member and bolted to the web of the supported beam



Double Angle Connection

The in-plane pair of legs are attached to the web of the supported beam and the out-of-plane pair of legs to the flange or web of the supporting member

مدلی اتصالات مفصلی تیر تیر

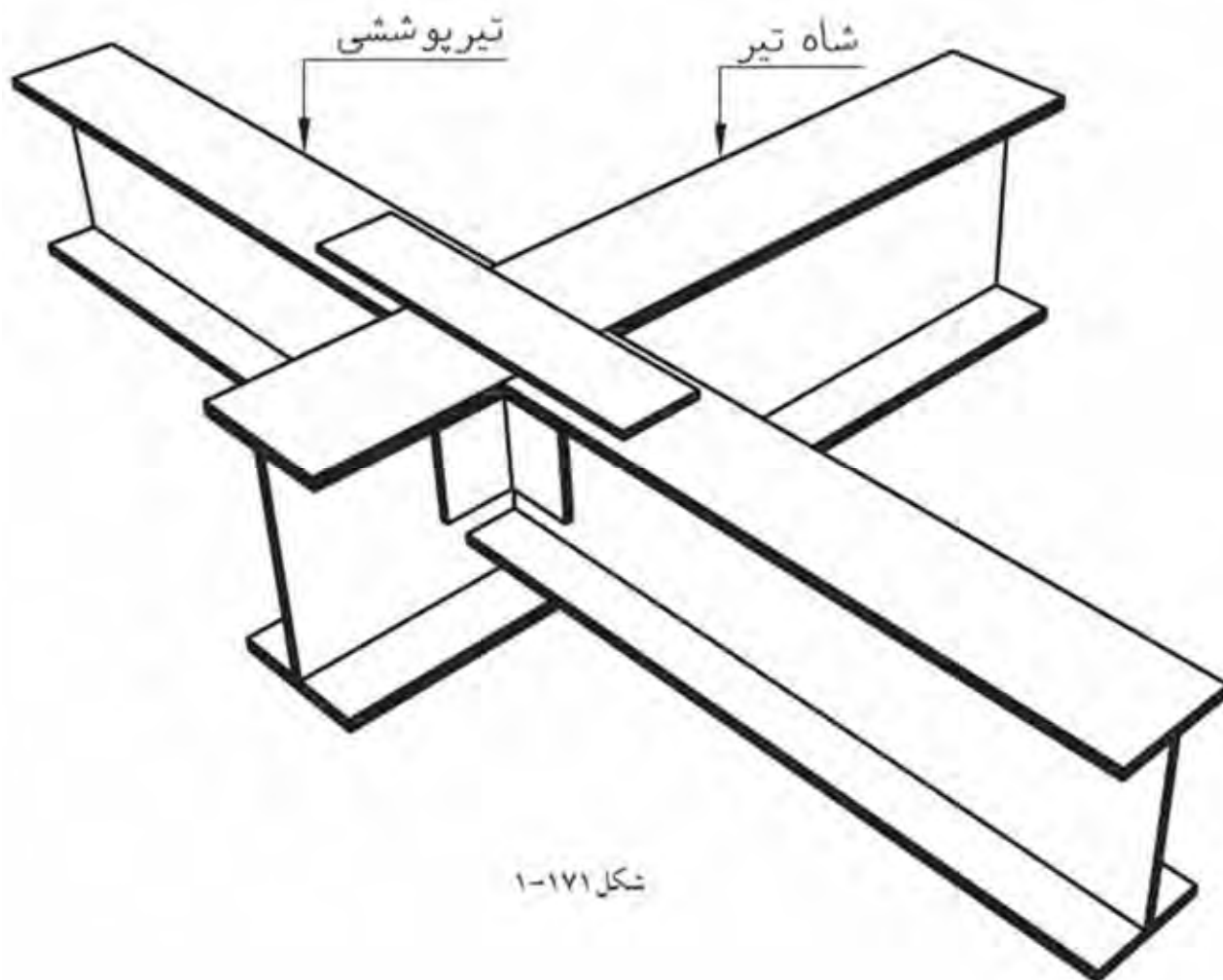


شکل ۱-۱۶۹

مدلی از اتصالات مفصلی تیر به تیر



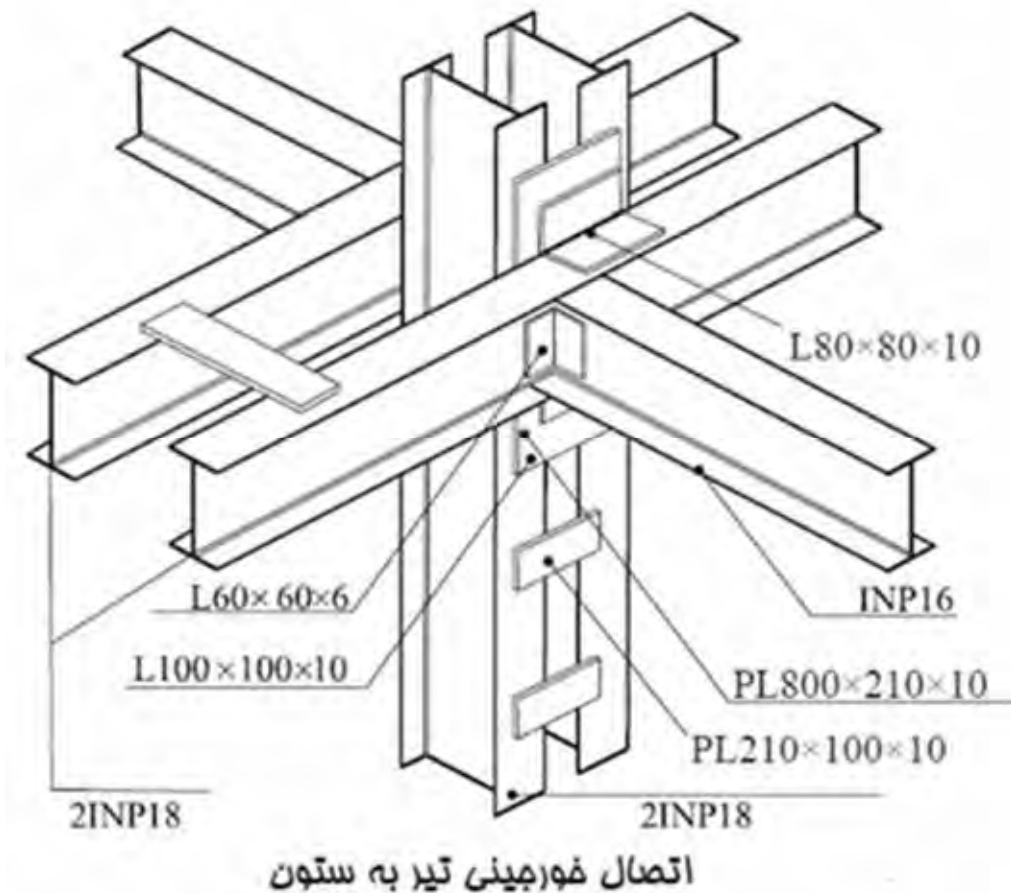
مدلی اتصالات گیردار تیر به تیر



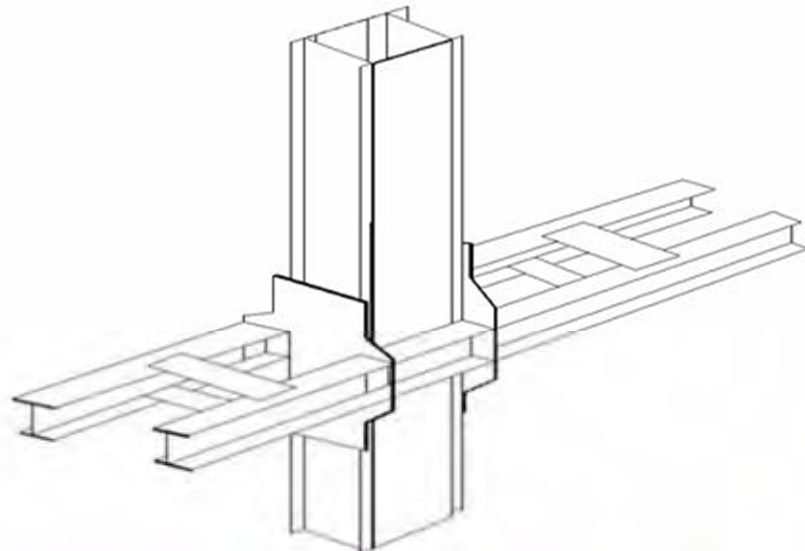
شکل ۱-۱۷۱

اتصال خورجینی:

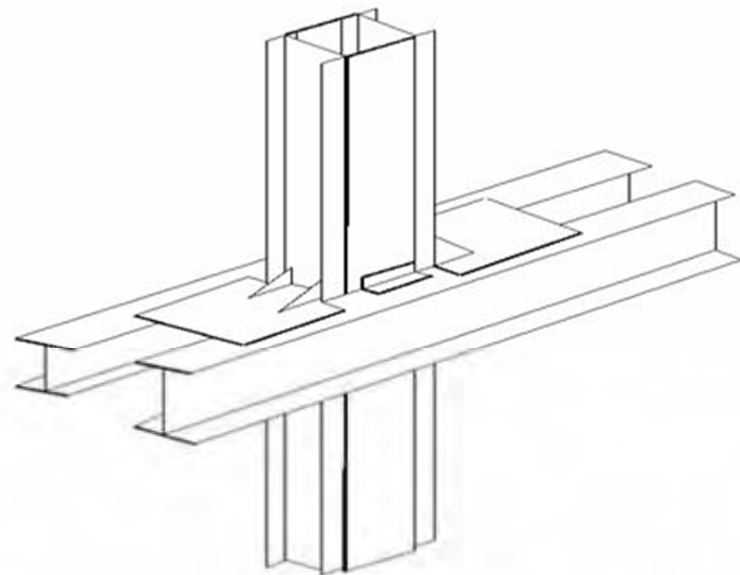
نوعی اتصال تیر به ستون که در آن تیرها از دو طرف ستون عبور می نمایند و هر تیر با دو نبشی از بالا و پایین به ستون وصل شده است.



با وجود عملکرد نامناسب این اتصال در زلزله های گذشته ، سهولت اجرا و هزینه های کمتر این اتصال ، باعث استفاده بیشتر از آن شده است .



اتصال خرجینی از نوع شکل پذیری ویژه



اتصال خرجینی از نوع شکل پذیری معمولی

با وجود عملکرد نامناسب این اتصال در زلزله های گذشته ، سهولت اجرا و هزینه های کمتر این اتصال ، باعث استفاده بیشتر از آن شده است .

آئین نامه ۲۸۰۰

۳-۵-۷-۳ قاب های فولادی دارای اتصالات خورجینی ساده بر طبق نشریه شماره ۳۲۴ معاونت برنامه ریزی و نظارت راهبردی همراه با دیوار برشی یا مهاربندی، در گروه سیستم قاب ساختمانی ساده قرار می گیرند. قاب های فولادی دارای اتصالات خورجینی گیردار بر طبق ضوابط آن نشریه، قاب خمشی فولادی متوسط محسوب می شوند. حداقل ارتفاع مجاز ساختمان هایی که در آنها تنها از قاب های خمشی با این نوع اتصالات استفاده می شود به ۳۰ متر تقلیل می یابد.

انواع اتصالات خمثی



Fully-Restrained (FR) Connections

- Have sufficient strength to transfer moments with negligible rotation between connected members
- The angle between connected members is maintained

اتصالات کاملاً گیردار



Partially-Restrained (PR) Connections

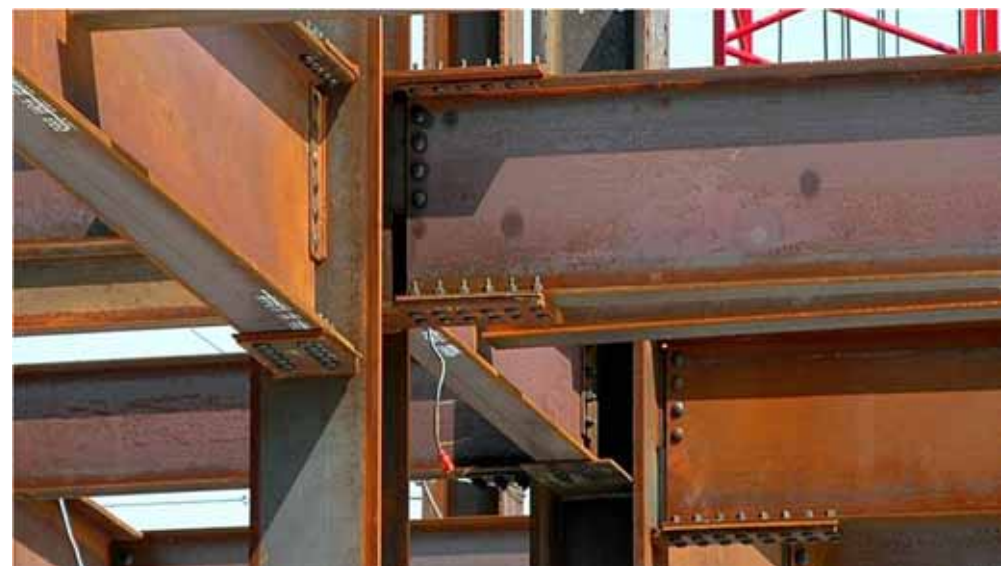
- Have sufficient strength to transfer moments, but the rotation between connected members is not negligible
- The angle between connected members may change
(AISC 2005)

اتصالات نیمه گیردار

تصویری از اتصالات کاملاً گیردار



تصویری اتصالات کاملاً گیردار

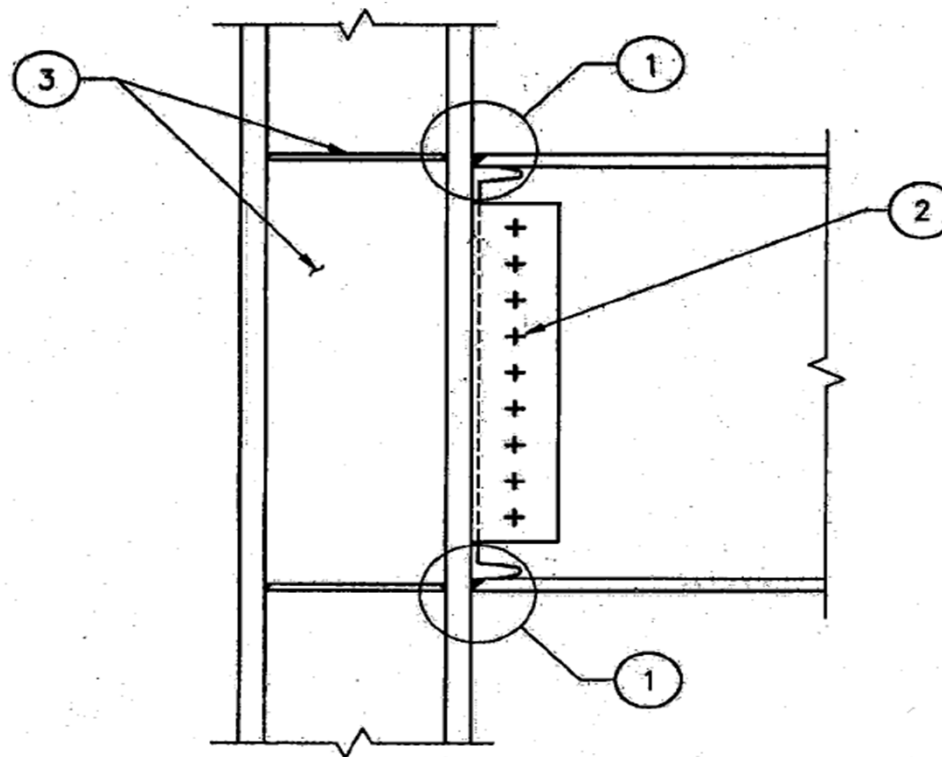


تصویری از اتصالات نیمه گیردار



أنواع اتصالات غيردار مطابق با FEMA 350

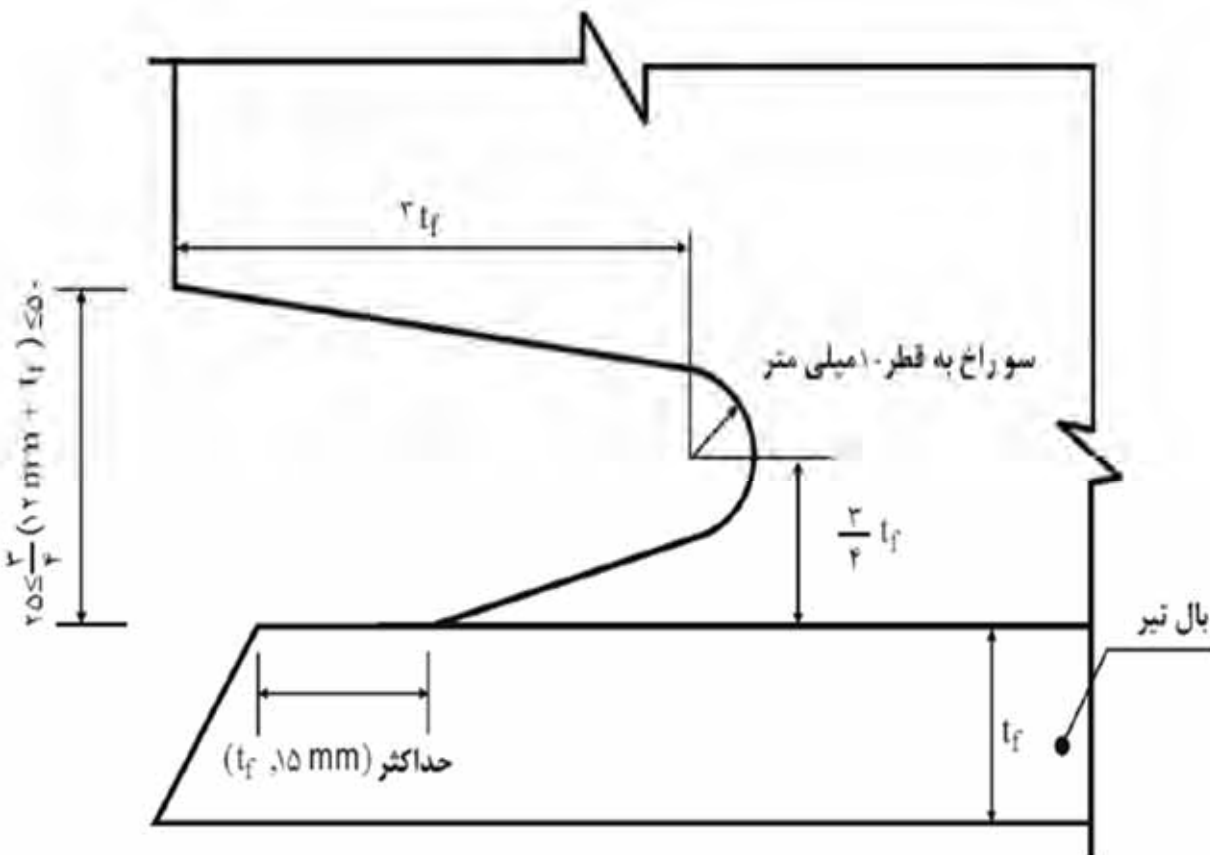
WELDED UNREINFORCED FLANGE BOLTED WEB (WUF-B) CONNECTION



Geometric Limits of FEMA 350 prequalified connection [FEMA 350]

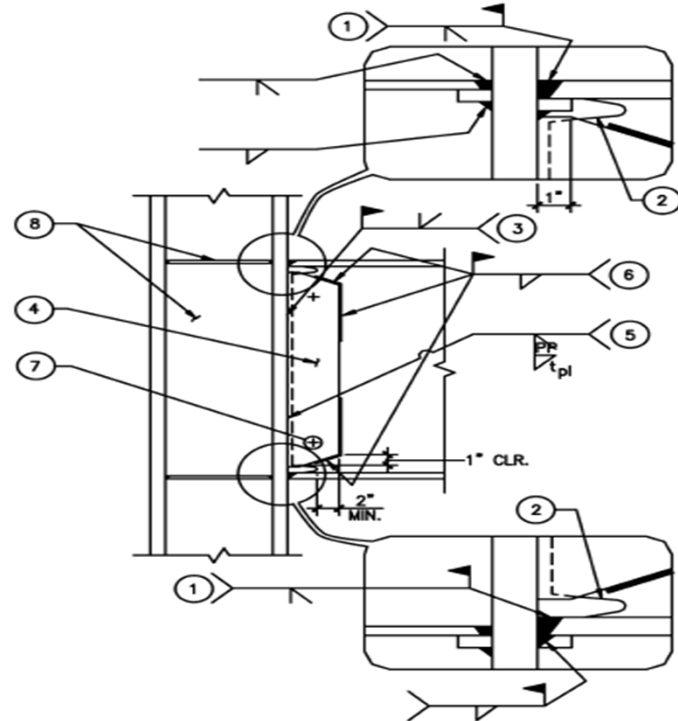
Type	Frame	Maximum Beam Size	Min. Span (l)to Depth (d_b) Ratio (l/d_b)	Max. Beam Flange Thickness (t_{bf}) in	Max. Column Size
WUF-B	OMF	W36	7	1	W8,W10,W12,W14

مشخصات هندسی سوراخ دسترسی



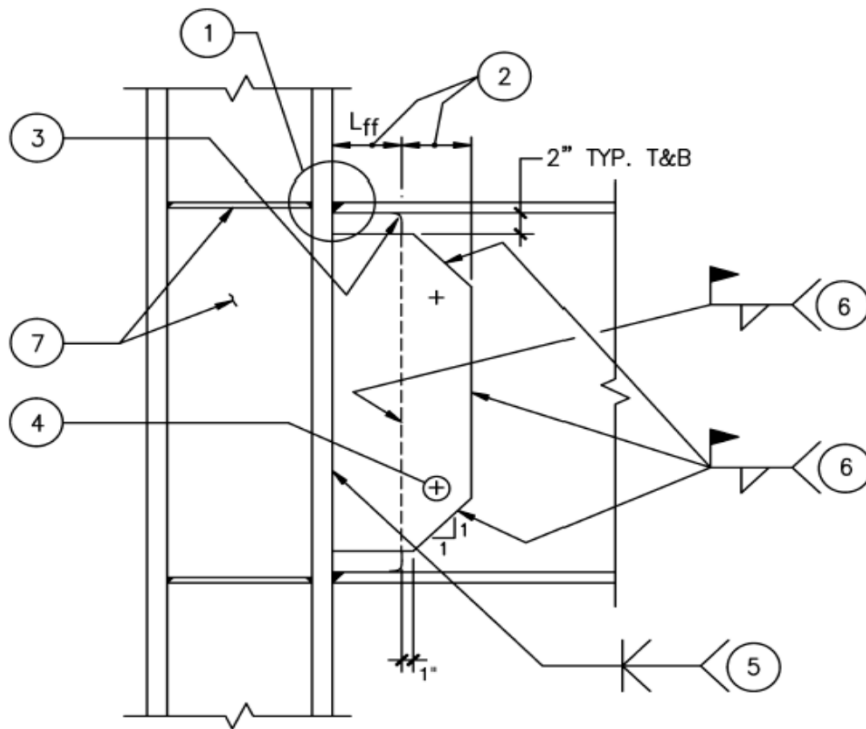
مشخصات هندسی سوراخ دسترسی برای جوش شیاری بال تحتانی

WELDED UNREINFORCED FLANGE WELDED WEB (WUF-W) CONNECTION



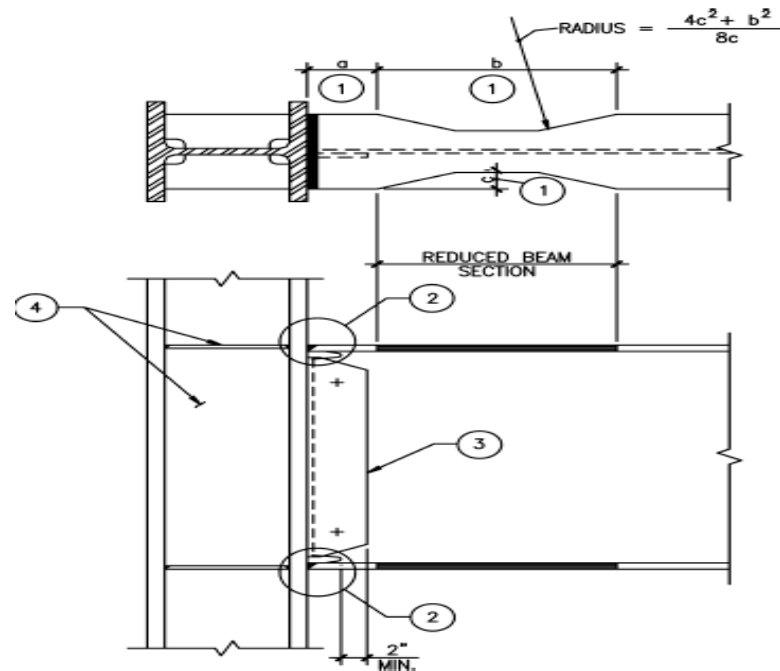
Geometric Limits of FEMA 350 prequalified connection [FEMA 350]					
Type	Frame	Maximum Beam Size	Min. Span (l)to Depth (d _b) Ratio (l/d _b)	Max. Beam Flange Thickness (t _{bf}) in	Max. Column Size
WUF-W	OMF	W36	5	1.5	No Limit
	SMF	W36	7	1	W12, W14

WELDED FREE FLANGE (FF) CONNECTION



Geometric Limits of FEMA 350 prequalified connection [FEMA 350]					
Type	Frame	Maximum Beam Size	Min. Span (I)to Depth (d_b) Ratio (I/d_b)	Max. Beam Flange Thickness (t_{bf}) in	Max. Column Size
WFF	OMF	W36	5	1.25	No Limit
	SMF	W30	7	0.75	W12, W14

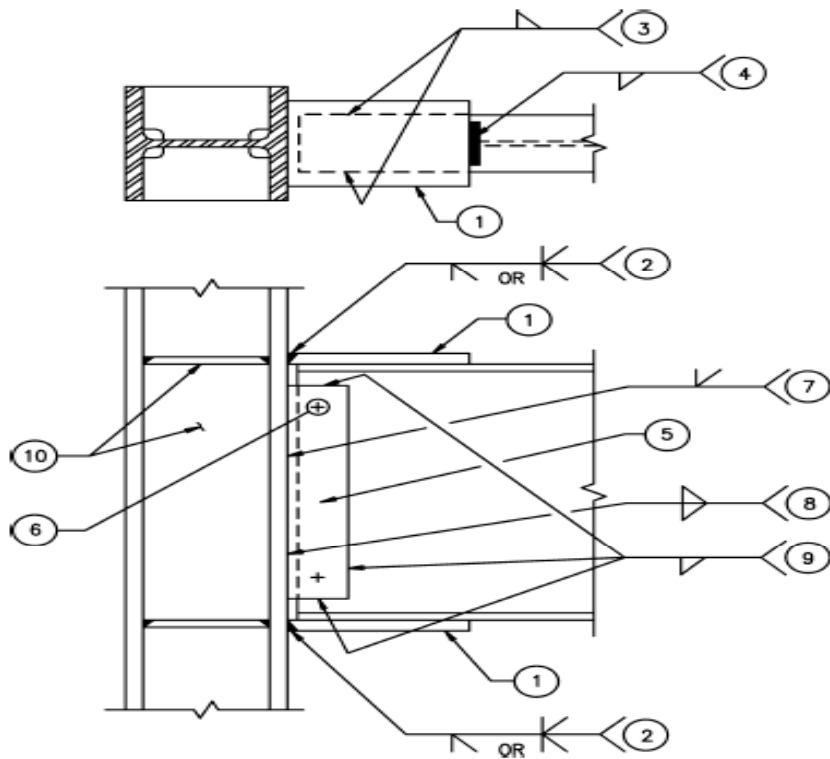
REDUCED BEAM SECTION (RBS) CONNECTION



Geometric Limits of FEMA 350 prequalified connection [FEMA 350]

Type	Frame	Maximum Beam Size	Min. Span (l)to Depth (d_b) Ratio (l/d_b)	Max. Beam Flange Thickness (t_{bf}) in	Max. Column Size
RBS	OMF	W36	5	1.75	No Limit
	SMF	W36	7	1.75	W12, W14

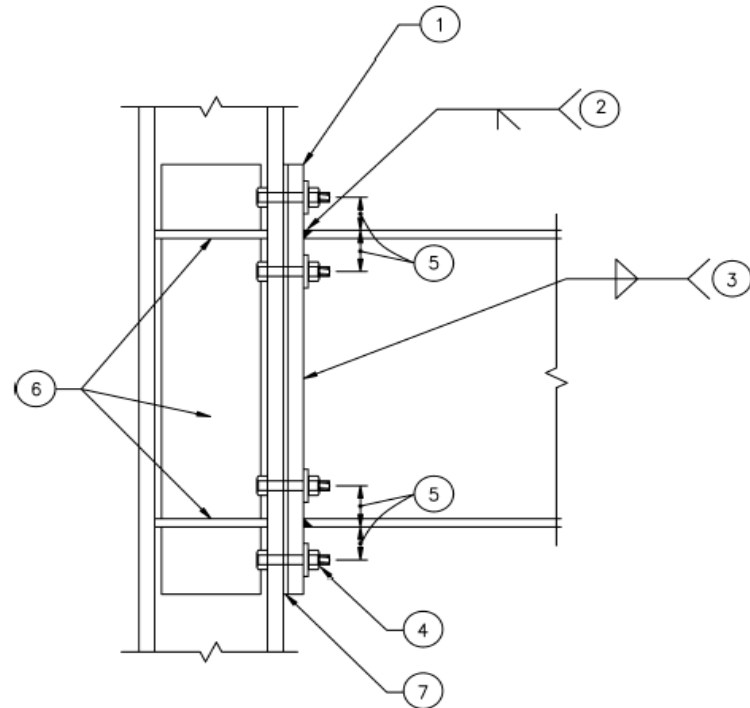
WELDED FLANGE PLATE (WFP) CONNECTION



Geometric Limits of FEMA 350 prequalified connection [FEMA 350]

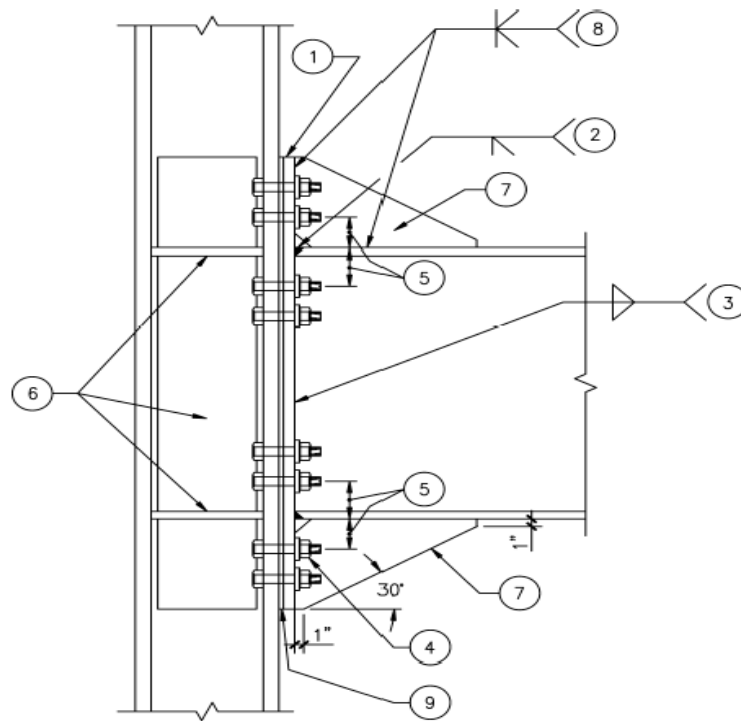
Type	Frame	Maximum Beam Size	Min. Span (l)to Depth (d_b) Ratio (l/d_b)	Max. Beam Flange Thickness (t_{bf}) in	Max. Column Size
WFP	OMF	W36	5	1.5	No Limit
	SMF	W36	7	1	W12, W14

BOLTED UNSTIFFENED END PLATE (BUEP) CONNECTION



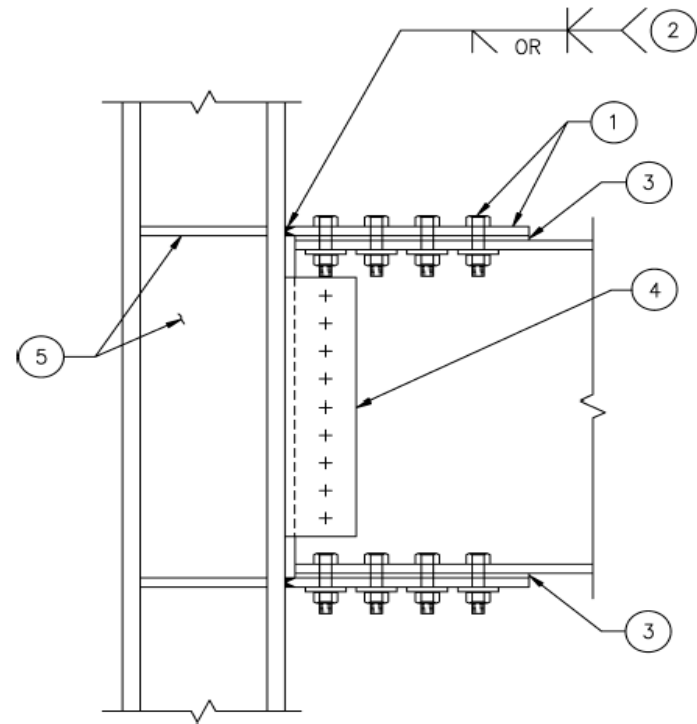
Geometric Limits of FEMA 350 prequalified connection [FEMA 350]					
Type	Frame	Maximum Beam Size	Min. Span (l)to Depth (d_b) Ratio (l/d_b)	Max. Beam Flange Thickness (t_{bf}) in	Max. Column Size
BUEP	OMF	W30	5	0.75	No Limit
	SMF	W24	7	0.75	W8,W10,W12,W14

BOLTED STIFFENED END PLATE CONNECTION (BSEP)



Geometric Limits of FEMA 350 prequalified connection [FEMA 350]					
Type	Frame	Maximum Beam Size	Min. Span (l)to Depth (d_b) Ratio (l/d_b)	Max. Beam Flange Thickness (t_{bf}) in	Max. Column Size
BSEP	OMF	W36	5	1	No Limit
	SMF	W36	7	1	W12, W14

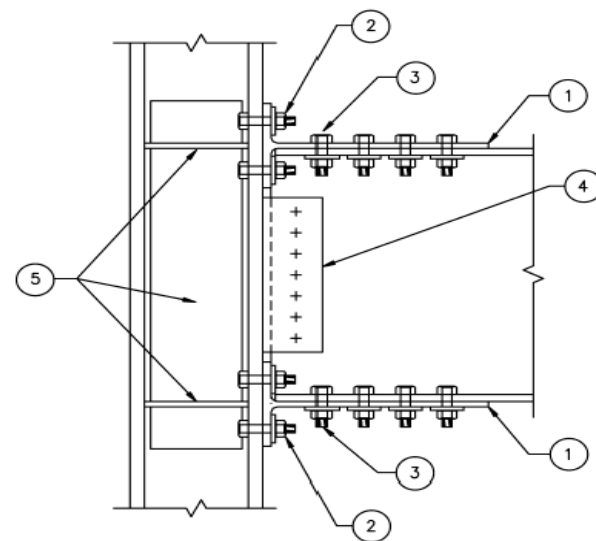
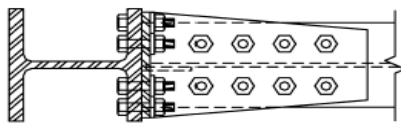
BOLTED FLANGE PLATE (BFP) CONNECTION



Geometric Limits of FEMA 350 prequalified connection [FEMA 350]

Type	Frame	Maximum Beam Size	Min. Span (l)to Depth (d_b) Ratio (l/d_b)	Max. Beam Flange Thickness (t_{bf}) in	Max. Column Size
BFP	OMF	W36	5	1.25	No Limit
	SMF	W30	8	0.75	W12, W14

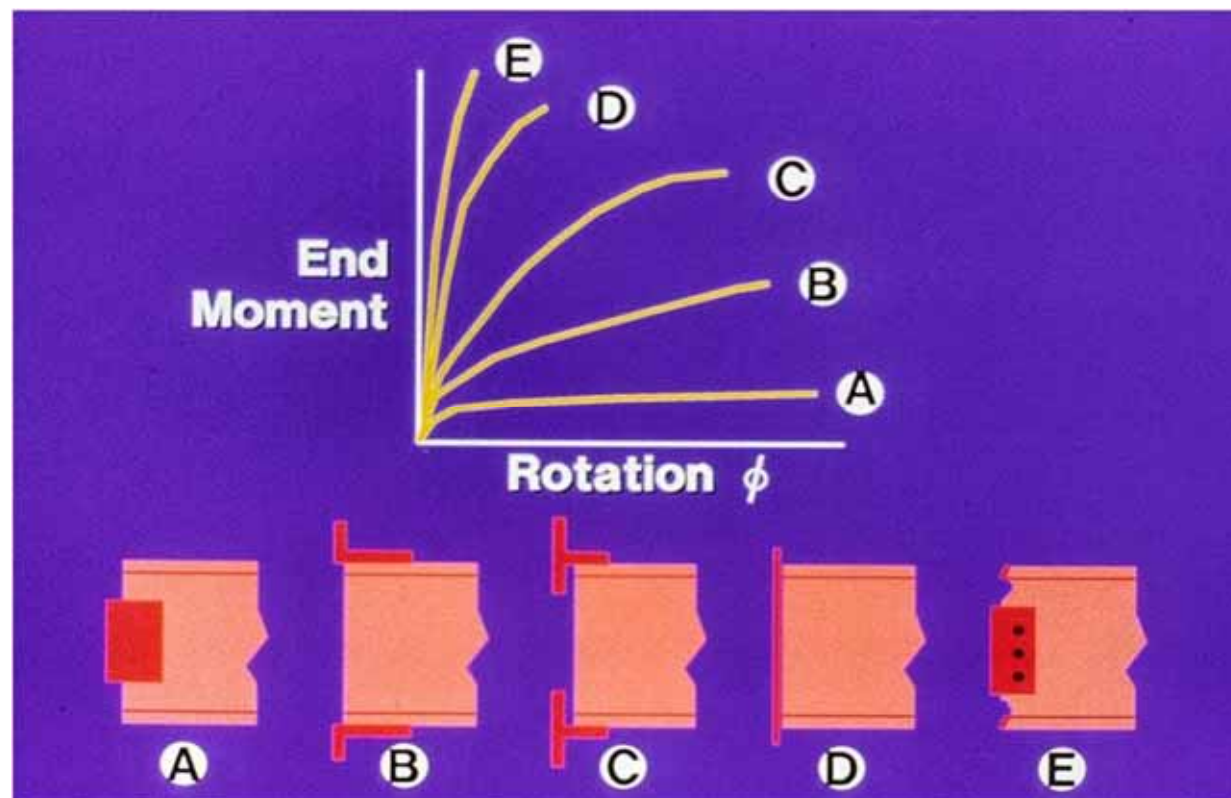
DOUBLE SPLIT TEE (DST) CONNECTION



Geometric Limits of FEMA 350 prequalified connection [FEMA 350]

Type	Frame	Maximum Beam Size	Min. Span (l) to Depth (d_b) Ratio (l/d_b)	Max. Beam Flange Thickness (t_{bf}) in	Max. Column Size
DST	OMF	W36	5	---	No Limit
	SMF	W24	8	---	W12, W14

منحنی لنگر-چرخش برای انواع اتصالات معرفی شده



اتصال درختی معرفی شده در سال ۱۹۹۷ توسط آستانه اصل

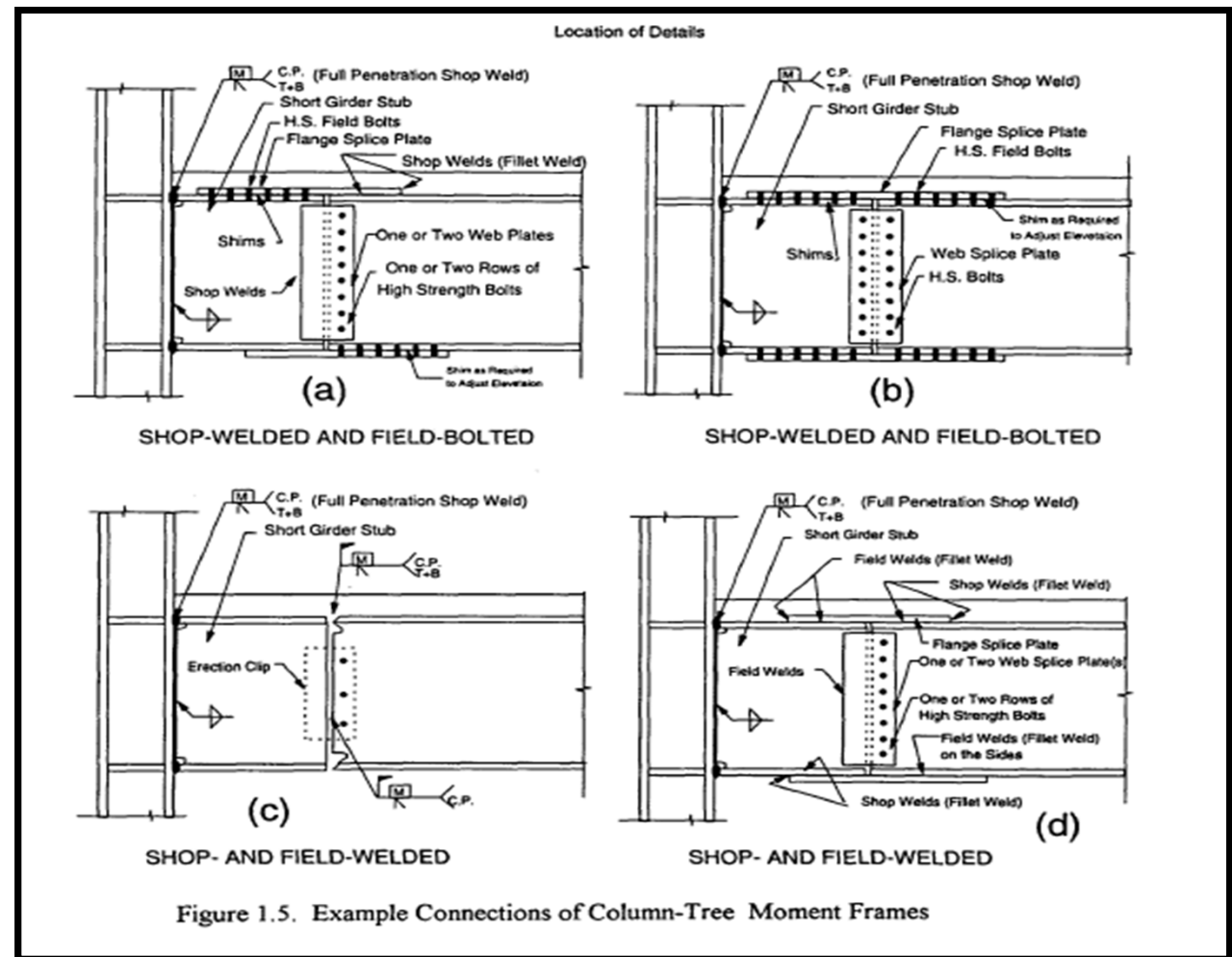
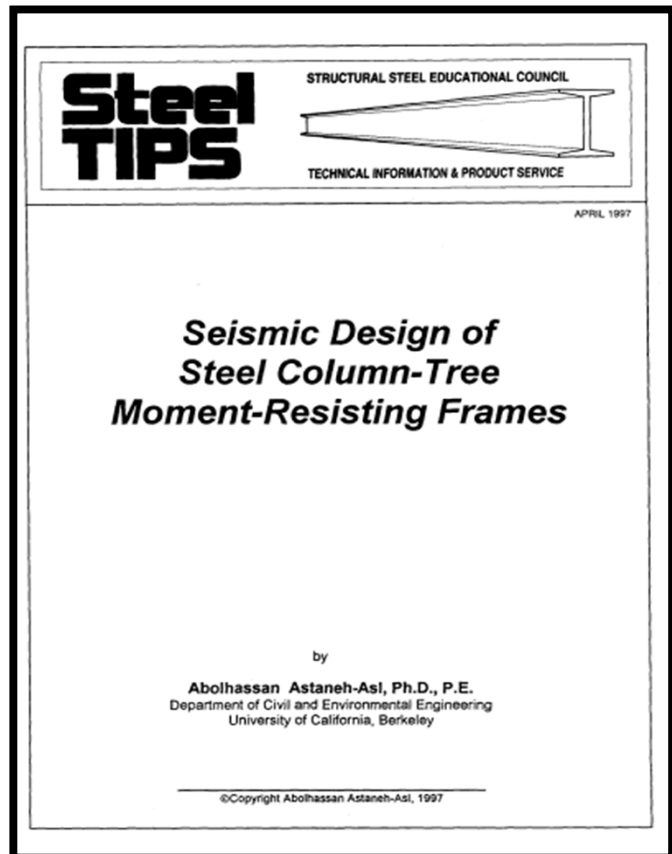


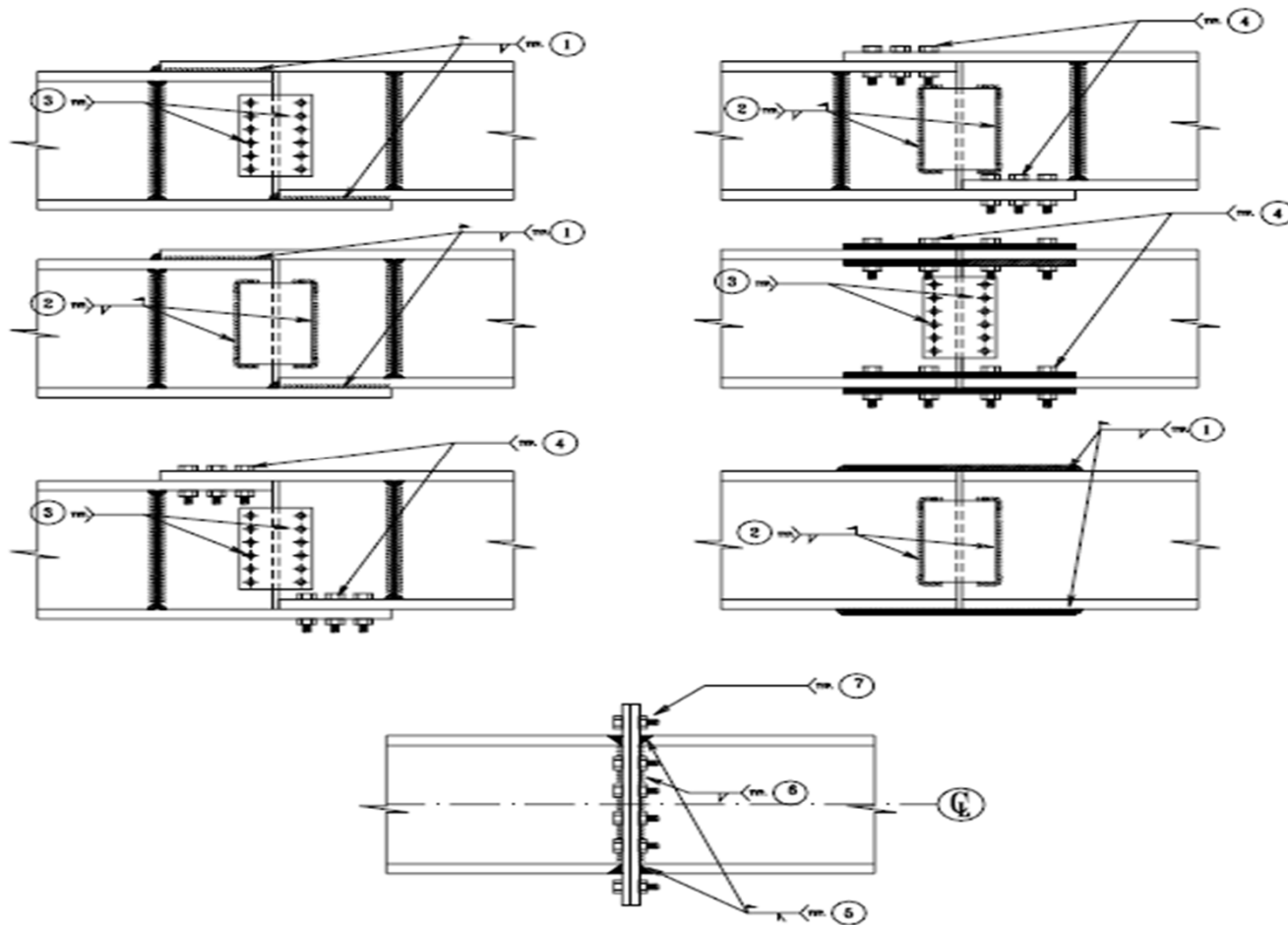
Figure 1.5. Example Connections of Column-Tree Moment Frames



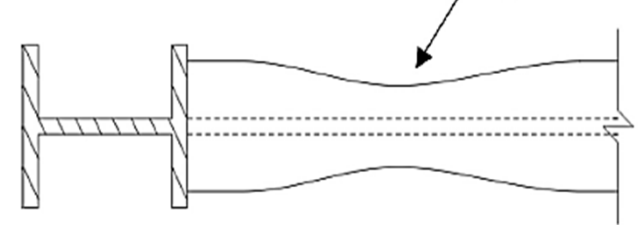
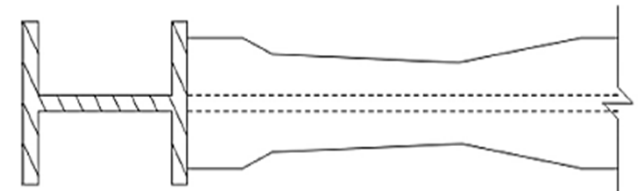
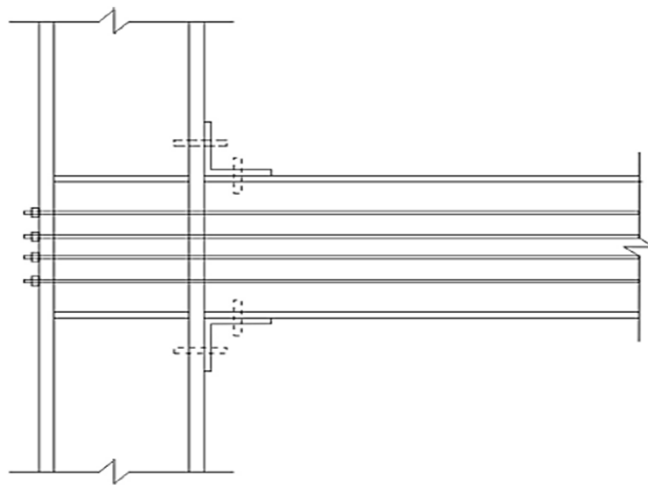


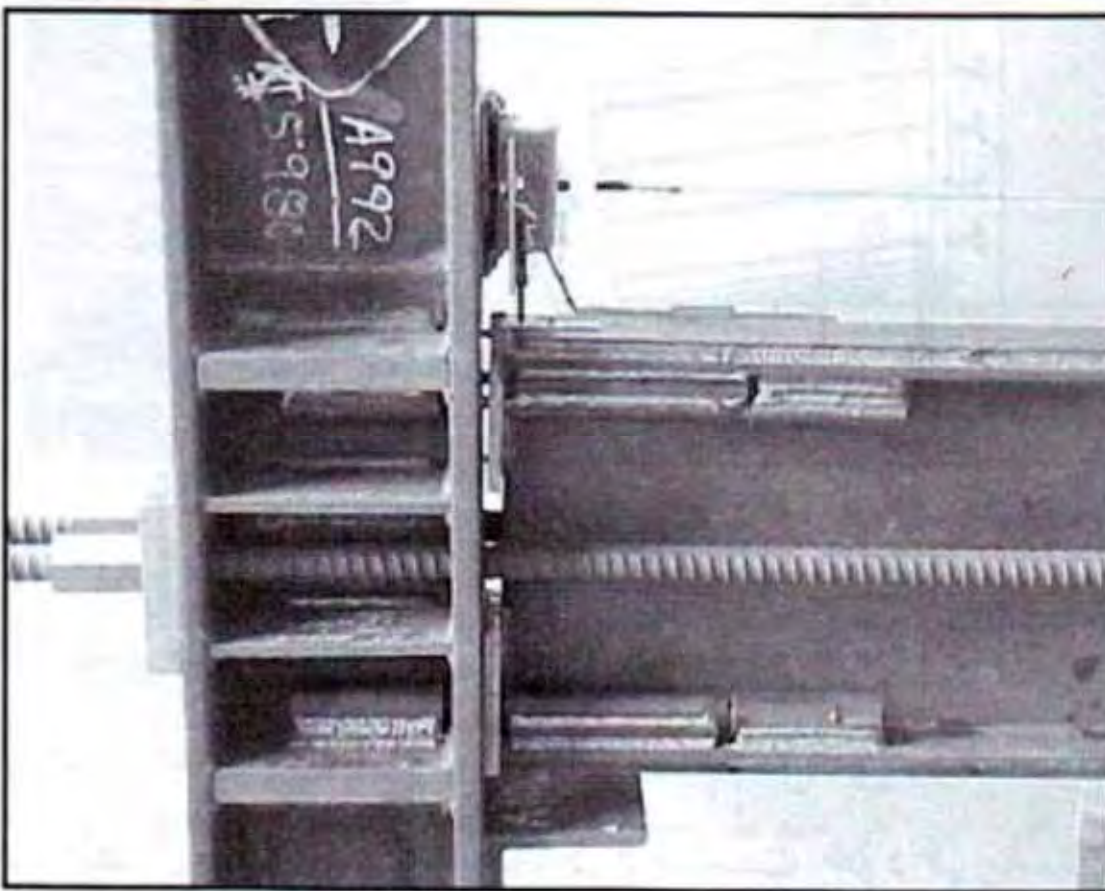


اتصالات درختی یا بازویی تایید شده



ساير انواع اتصالات

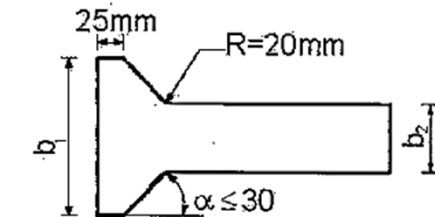
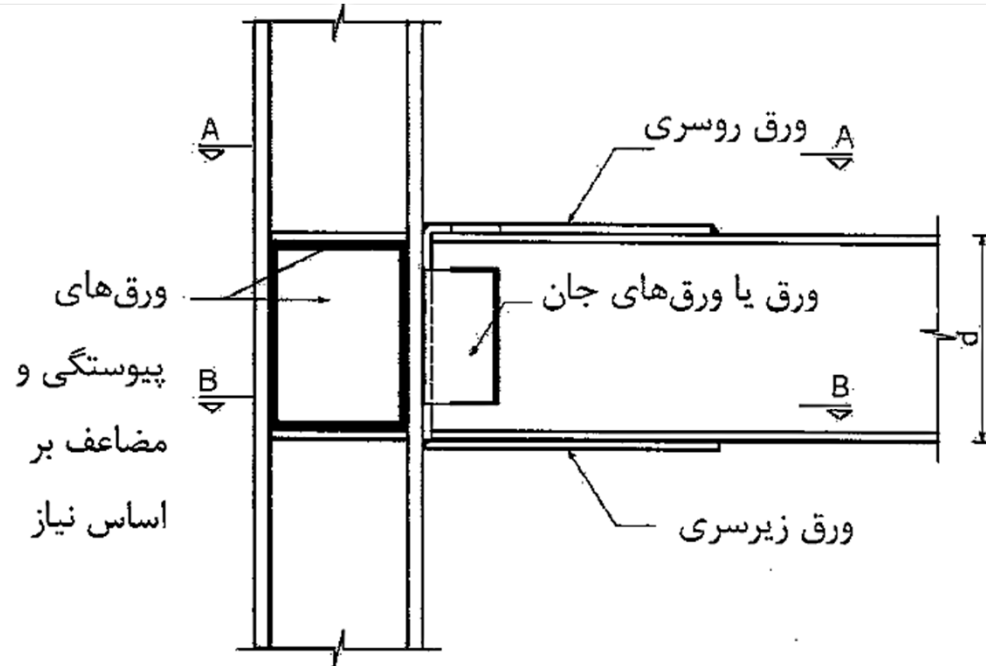




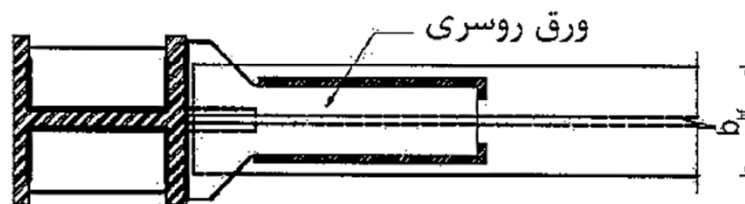
اتصالات Con XL



اتصالات گیردار با ورق روسی و زیر سری



= ضریب بازرسی جوش ورق روسري

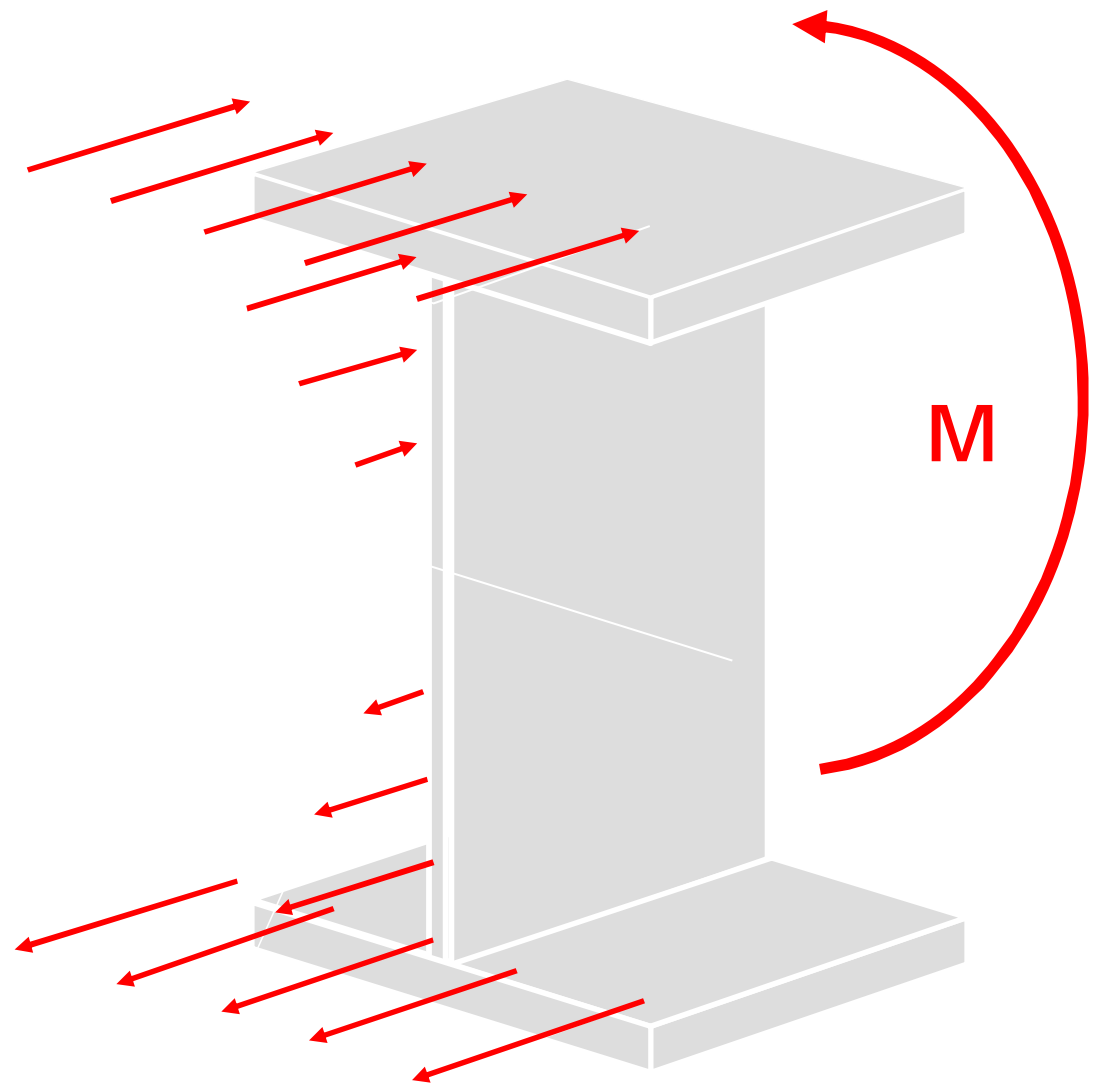


قطعه A-A



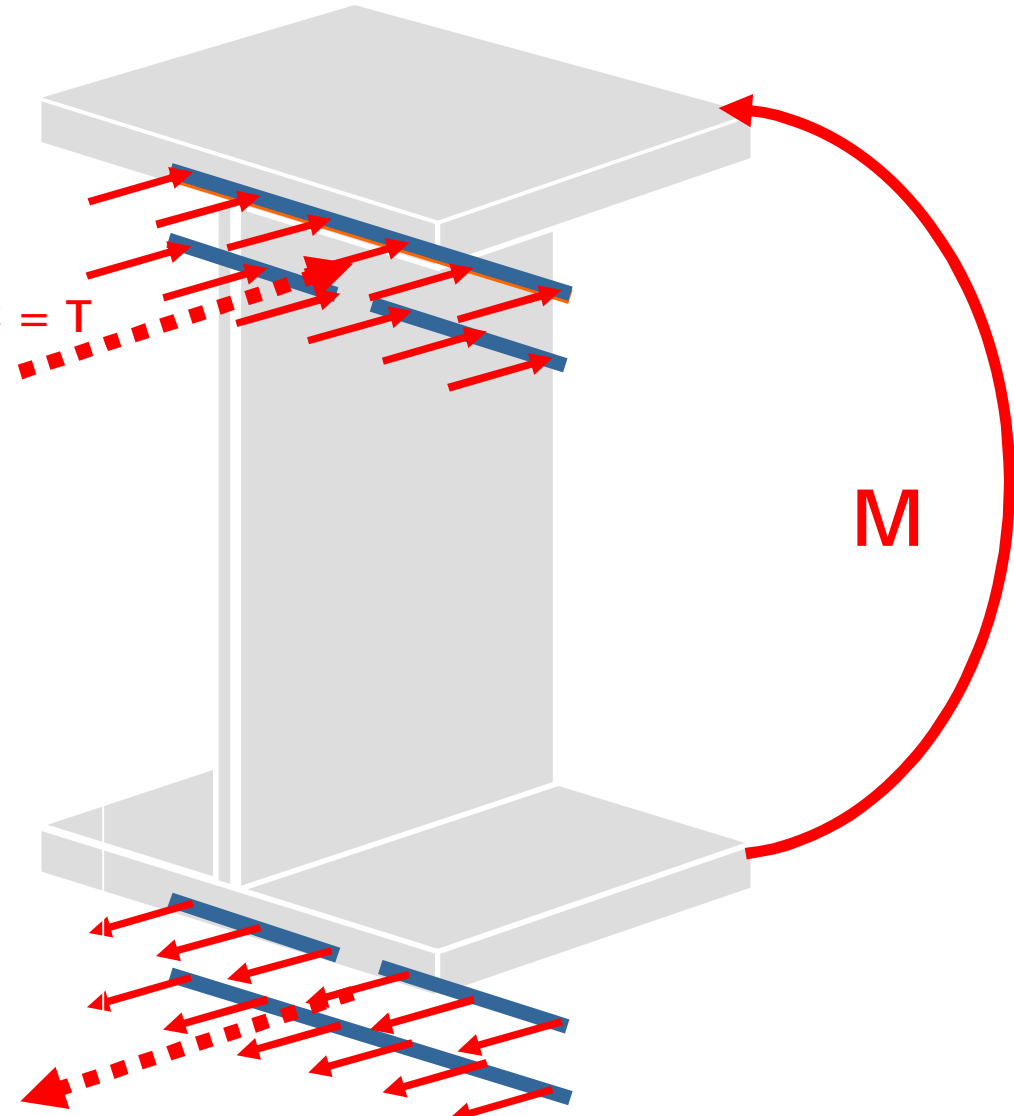
قطعه B-B

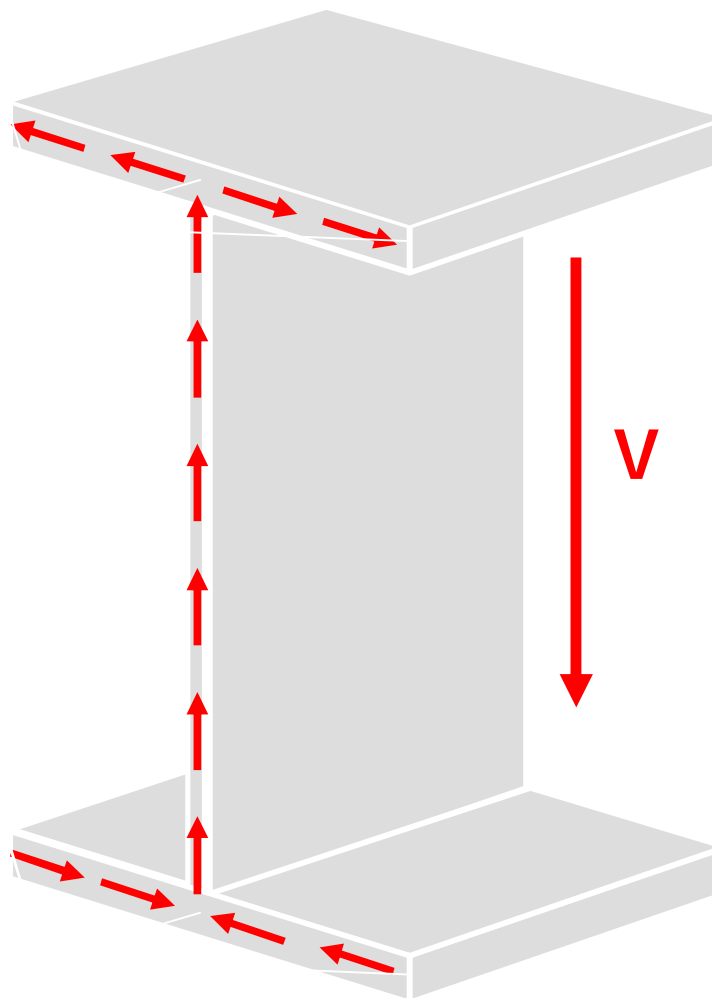
شکل ۱۰-۳-۱۳-۴ اتصال گیردار جوشی به کمک ورقهای روسri و زیرsri (WFP)



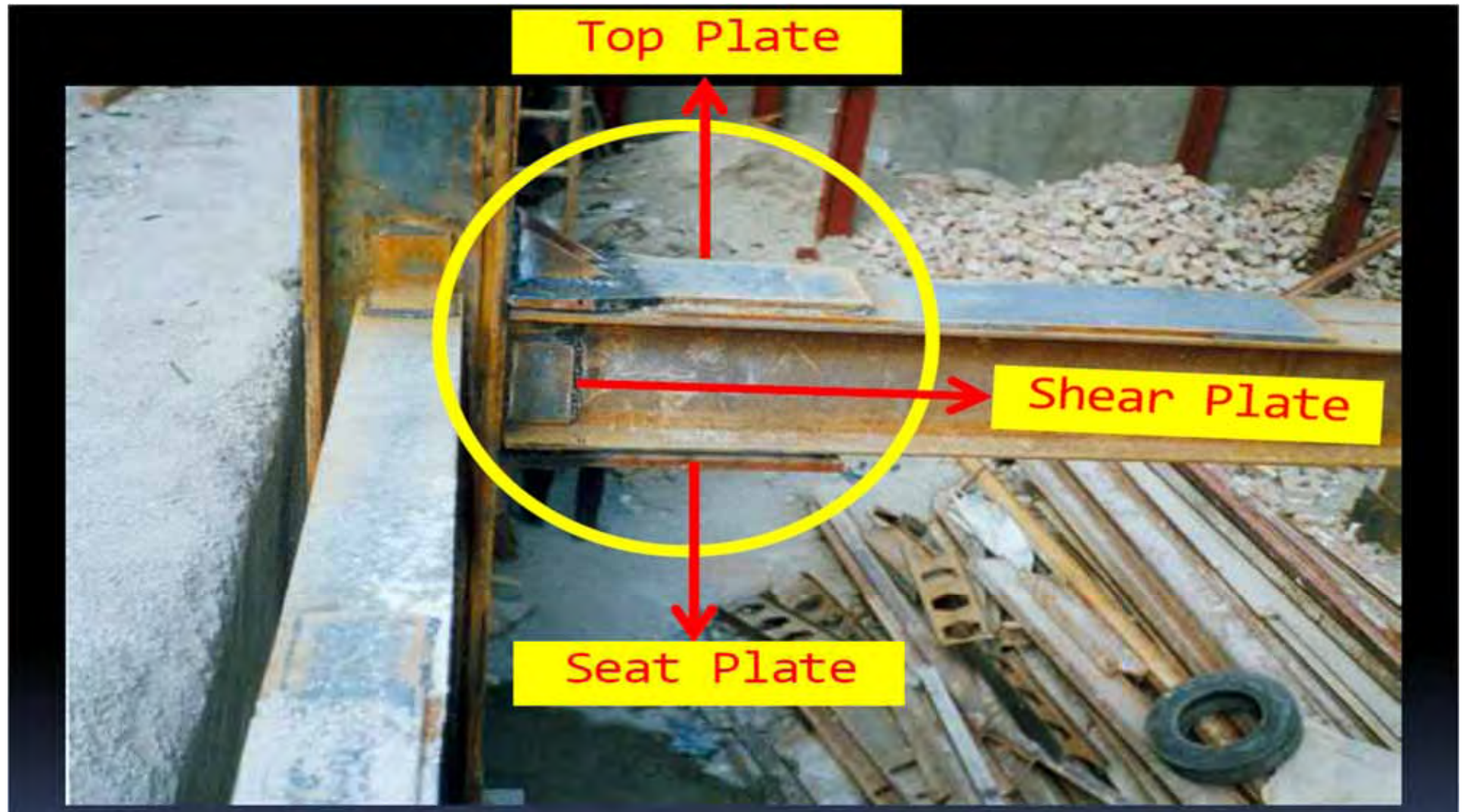
- Welded connection
- Fillet welds
- Full penetration welds
- Compression transfer can also be accomplished through direct bearing

$$\text{Resultant tension force } T = M/d$$





روش اجرای اتصال گیردار



اتصال صلب تیر به ستون با ورق Top Plate ذوزنقه‌ای شکل (کله گاوی) و Seat Plate

روش اجرای اتصال گیردار



اتصال صلب تیر به ستون با ورق Top Plate ذوزنقه‌ای شکل (کله گاوی)

پخ ذنی دستی با هوا گاز





سنگ زنی و پرداخت سطح





مونتاژ زیرسرو



مونتاژ ذیوسروی





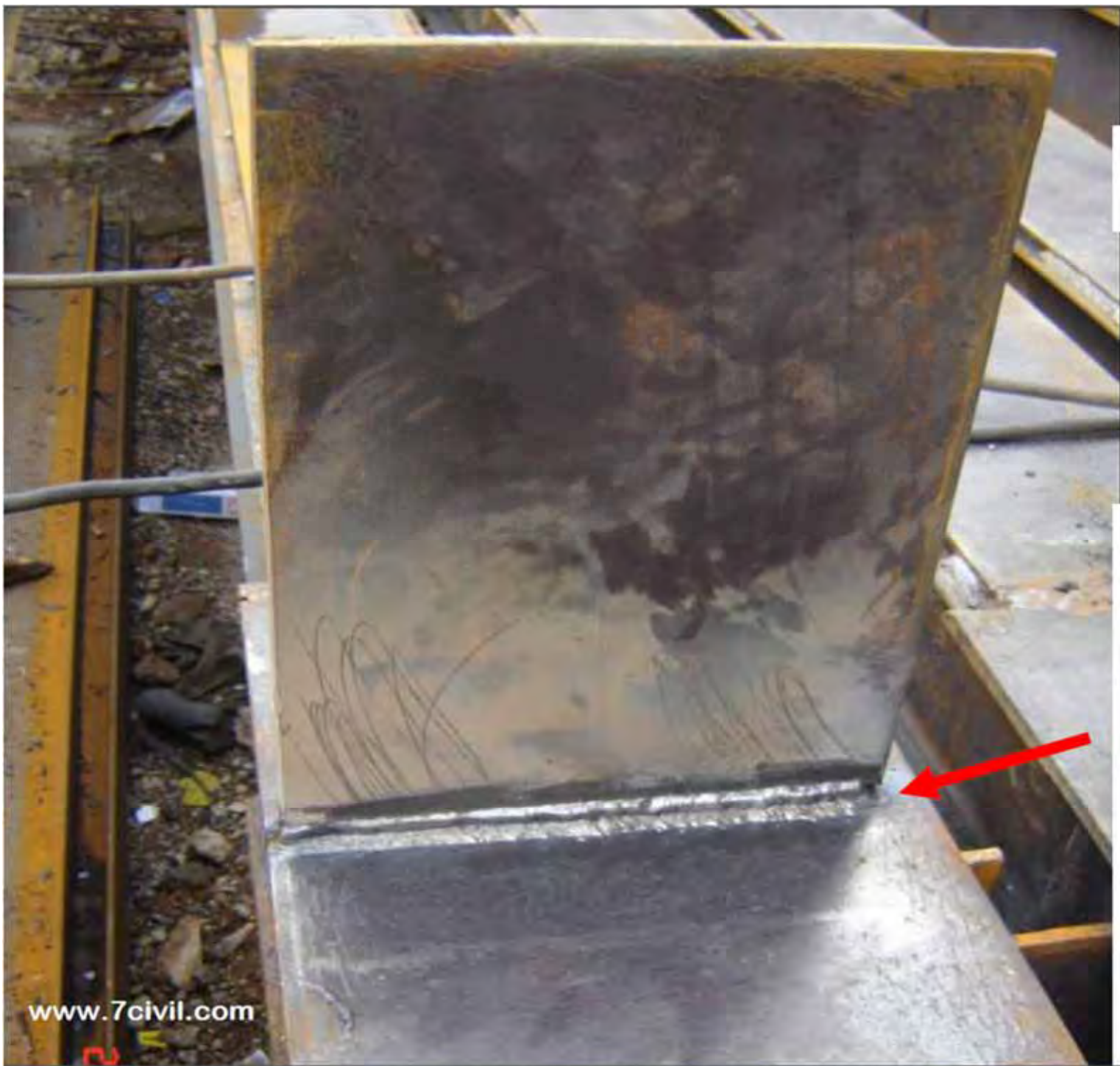
استفاده از مهاربند جهت
کنترل پیچیدگی

جوشکاری شیار، پاس ریشه با الکتروود نازک ۳/۲۵



تمیز کاری بین پاس ها با برس ماشینی





جوشکاری شیار

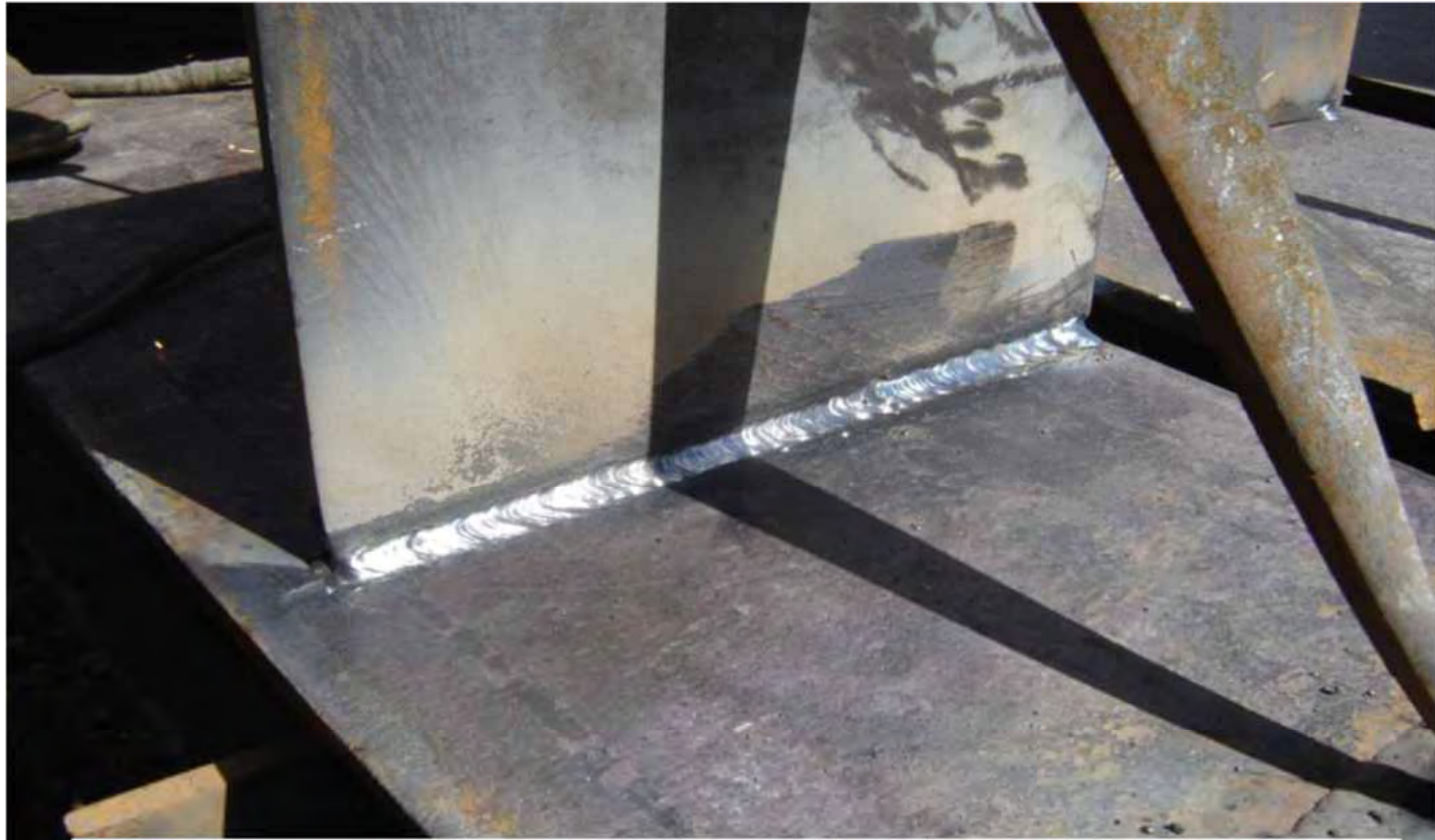
استفاده از
لقمه های
جوش
در دو طرف
شیار
توصیه می شود



با استفاده از سنگ زنی پشت شیار Backgouge



ناخالصی ها و عدم پیوستگی های باقی مانده در ریشه اتصال



اجرای جوش پشتی



ورق های زیر سری



اجرای لچکی ها

پس از اجرای جوش شیاری و تایید آزمایش آلتراسونیک



2006

آماده سازی ورق های روسری

حال جوش تسمه پشت بند زیر ورق دوسنی



2006 10 31

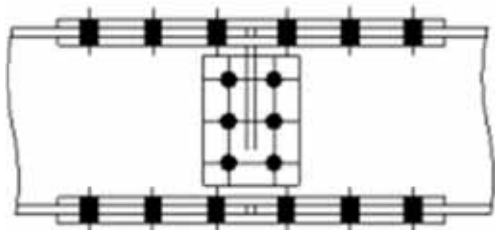
جوشکاری ورق دوسری همراه با تسمه پشت بند



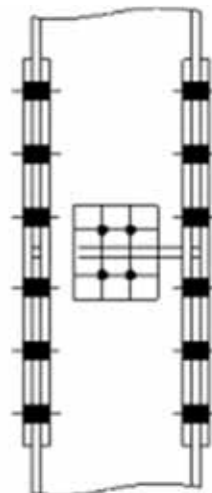


جوشکاری ورق دوسری همراه با قسمه پشت بند

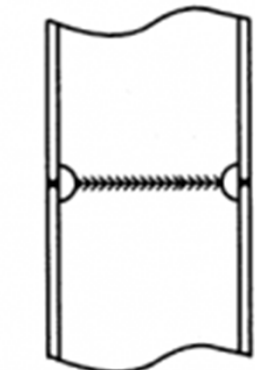
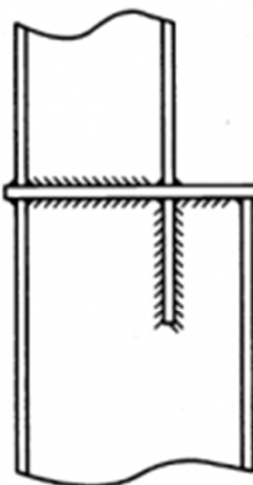
وصله تیر و ستون ها



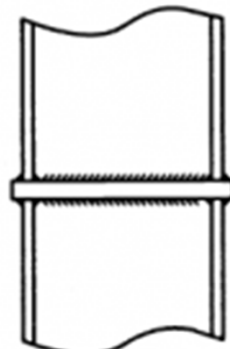
Beam splice



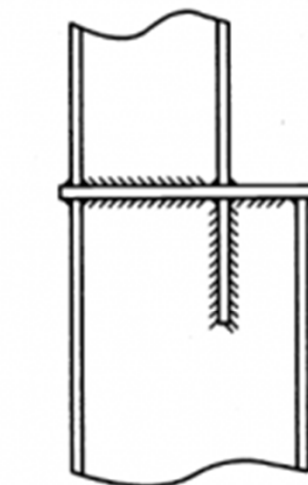
Column splices



Butt welded column



column with division plate



Different size column sections

وصله تير ها و ستون ها

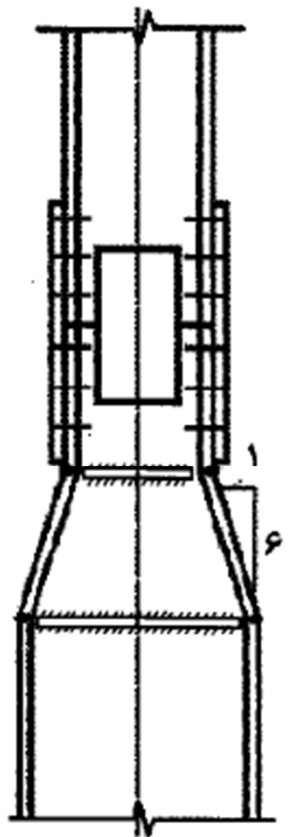


18-Sep-12 08:12

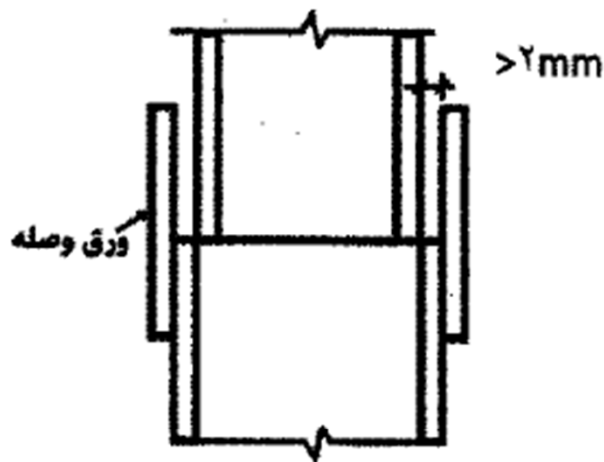








شکل ۱۰-۹-۲ جزئیات وصله در محل تغییر قابل ملاحظة ابعاد ستون



شکل ۱۰-۹-۳ نیاز به ورق پرکنده در اتصالات جوشی

۱-۲-۵-۳-۱۰ موقعیت وصله ستون‌ها

الف) به جزموارد ذکر شده در زیر، در کلیه ستون‌های باربر و غیر باربر جانبی لرزه‌ای محل درز وصله در بالا و پایین وصله نباید از ۱۲۰۰ میلی‌متر به بال متصل به ستون نزدیکتر باشد.

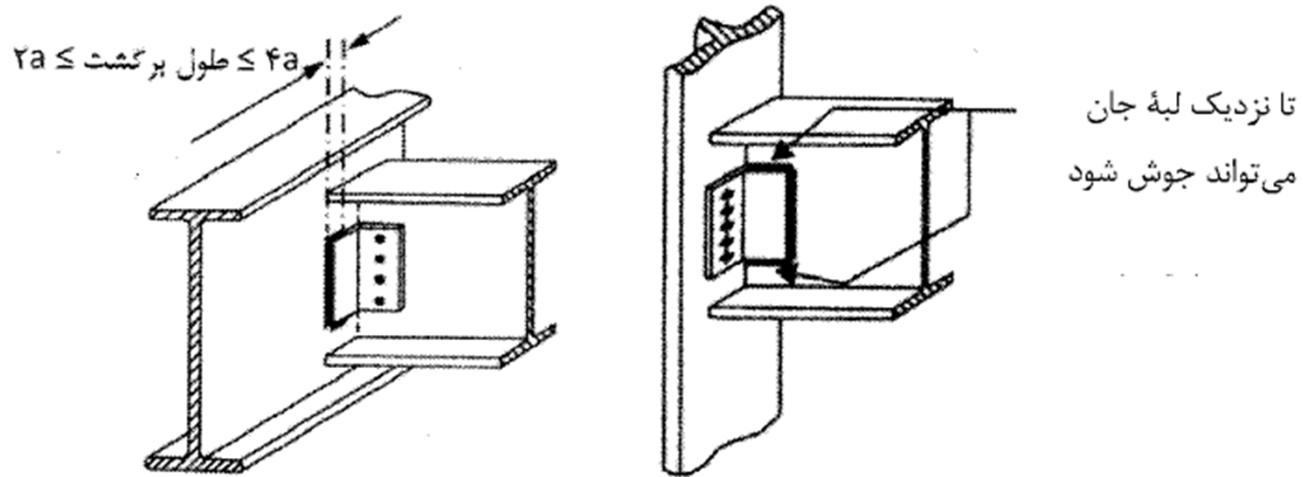
(۱) در جایی که ارتفاع آزاد ستون کمتر از $\frac{2}{4}$ متر است، محل وصله باید در وسط ارتفاع آزاد ستون در نظر گرفته شود.

(۲) در مواردی که درز لب به لب ورق‌های بال یا جان ستون در کارخانه و به صورت نفوذی کامل انجام می‌شود، محل درز وصله می‌تواند از ۱۲۰۰ میلی‌متر به بال متصل به ستون تیر نزدیکتر باشد. ولی در هر حال این فاصله نباید از پس بعد بزرگتر ستون با مقطع کوچکتر، کوچکتر در نظر گرفته شود.

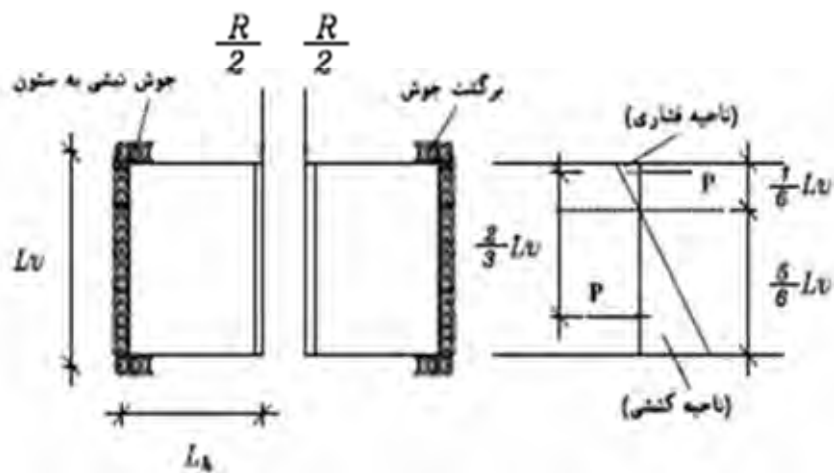
(۳) در مواردی که اتصال کلیه تیرهای متصل به ستون مفصلی بوده و ستون در دهانه‌های مهاربندی‌شده قرار نگرفته باشد، محل درز وصله می‌تواند از ۱۲۰۰ میلی‌متر به بال تیر نزدیکتر باشد. ولی در هر حال این فاصله نباید از $1/5$ برابر پس بعد بزرگتر ستون با مقطع کوچکتر، کوچکتر در نظر گرفته شود.

طراحی اتصالات ساده

اتصال ساده برشی جان



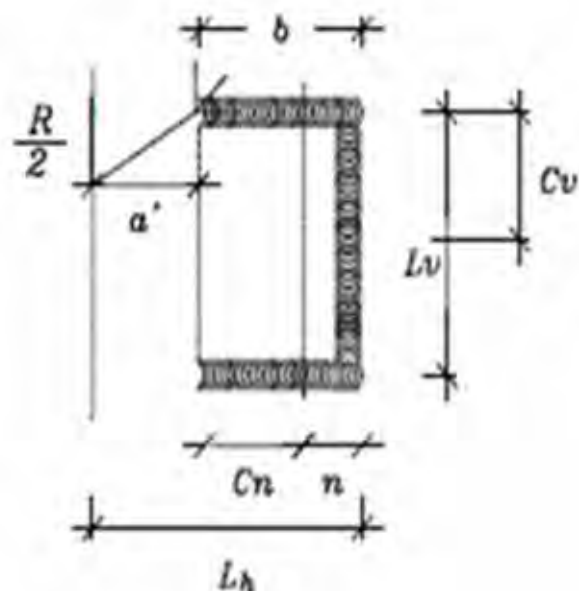
شکل ۱۰-۹-۷- جوش گوشه در اتصالات مفصلی با نبیشی‌های جان



طراحی این اتصال شامل دو بخش است:

- ۱- طراحی اتصال نبشی به تیر (جوش تحت تاثیر برش و پیچش)
- ۲- طراحی نبشی به ستون (جوش تحت تاثیر برش و خمش)

الف: اتصال نبشی به تیر:



$$f_u = \frac{R_u}{2A_w} \quad : \quad \text{تنش برشی جوش (برای دو نبشی)}$$

$$l_w \geq \frac{R_u}{2\phi F_w t_e} \quad : \quad \text{طول مورد نیاز جوش}$$

- ✓ بهتر است ضخامت نبشی نزدیک به ضخامت جان تیر باشد.
- ✓ ارتفاع بهینه نبشی در حدود ۷۵٪ ارتفاع تیر است.

ب: اتصال نبشی به ستون:

$$\text{تنش برشی: } \frac{R_e}{2dt}$$

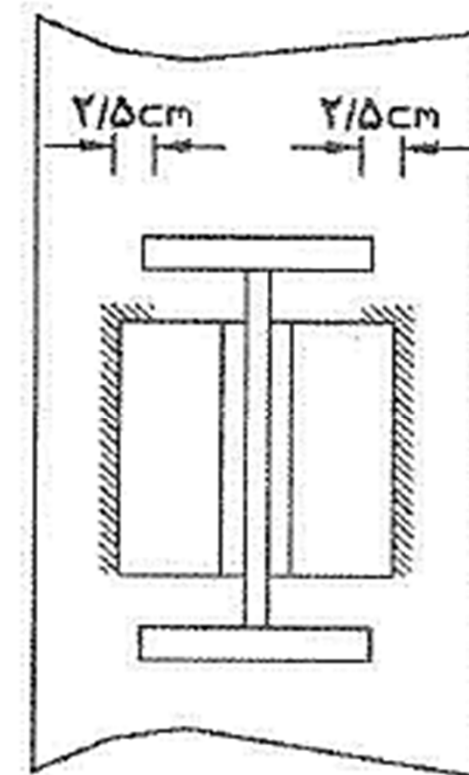
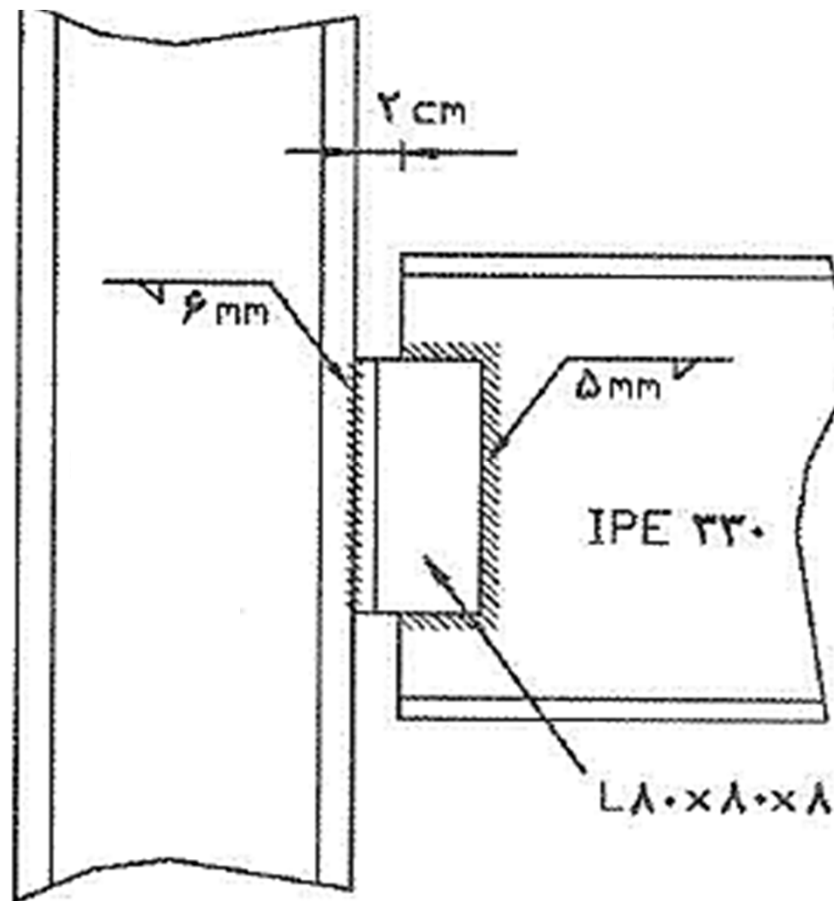
$$\text{تنش ناشی از خمث: } f'' = \frac{3R_e e}{d^2 t}$$

$$\geq \frac{R_e}{\phi F d} \sqrt{\left(\frac{3}{d}\right)^2 + 0.25} \quad \text{عمق موثر گلوی جوش (دو نبشی):}$$

$$\geq \frac{R_e}{\phi F d} \sqrt{\left(\frac{6}{d}\right)^2 +} \quad \text{عمق موثر گلوی جوش (تک نبشی):}$$

معمولاً برش در نبشی کنترل کننده نمی باشد.

مثال: اتصال ساده با نبشی جان IPE 330 تحت بار مرده ۴ تن و با زنده ۸ تن را با نبشی جان و الکترود E60 طراحی نمایید.



$$P_u = (1.2 \times 4) + (1.6 \times 8) = 17.6 \text{ton}$$

الف: اتصال نبشی به تیر:

- ✓ بهتر است ضخامت نبشی نزدیک به ضخامت جان تیر باشد. ضخامت جان تیر ۷.۵ میلی متر می باشد، بنابراین نبشی L80x80x8 انتخاب می شود.
- ✓ بعد جوش با توجه به ضخامت نبشی و ضخامت جان تیر ۵ میلی متر فرض می شود.

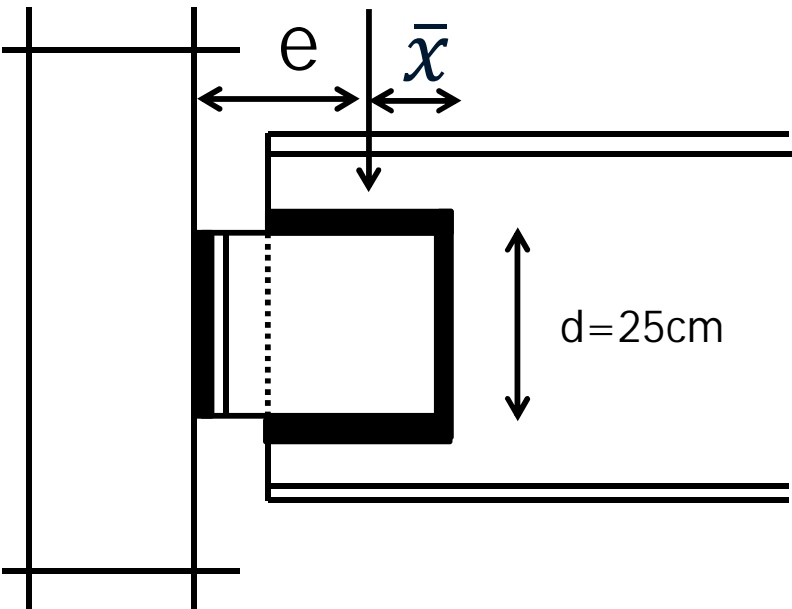
الف: نبشی به تیر

$$\geq \frac{R_w}{2\phi F_w t_e}$$

$$l_w \geq \frac{17.6}{2 \times 0.75 \times (0.6 \times 4.2) \times (0.707 \times 0.5)} = 13.17 \text{cm}$$

با توجه به این که فاصله مونتاژ یا بادخور ۲ سانتی متر باشد، طول نبشی عدد بسیار کمی حاصل می شود. با توجه به این که ارتفاع بھینه نبشی در حدود ۰.۷۵ ارتفاع تیر است. ارتفاع نبشی ۲۵ سانتی متر فرض می شود.

ب: اتصال نبشی به ستون



$$\bar{x} = \frac{6^2}{(2 \times 6) + 25} = 0.97\text{cm}$$

$$e = 8 - 0.97 = 7.03\text{cm}$$

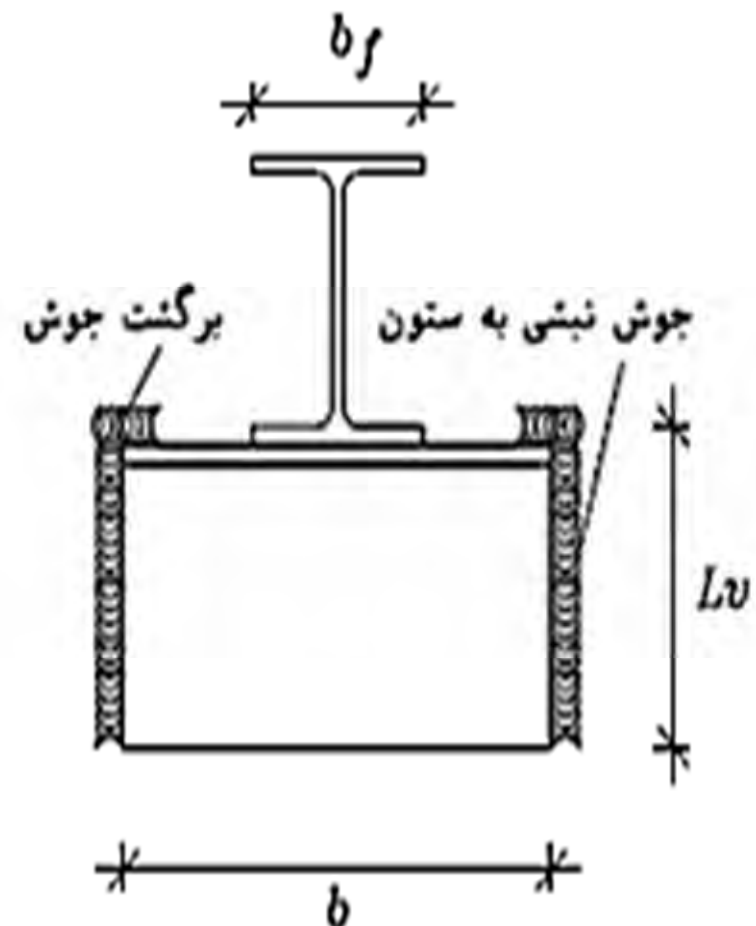
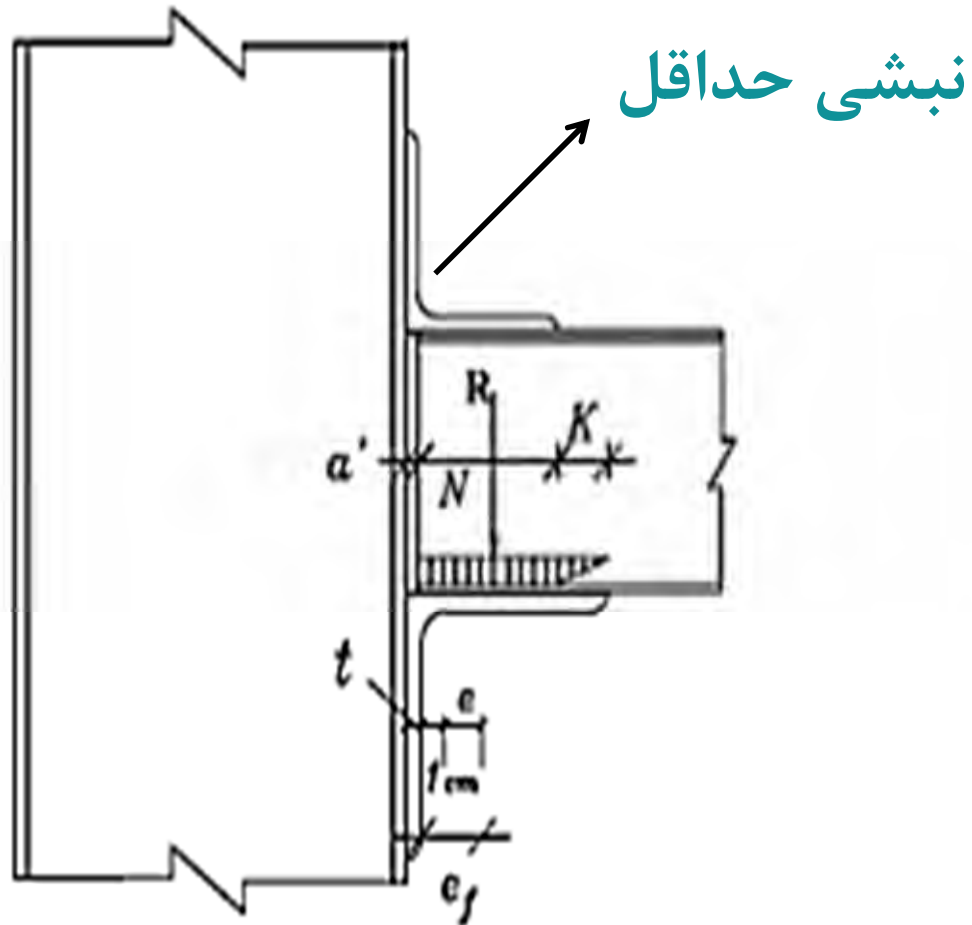
$$t_e \geq \frac{R_u}{\phi F_w d} \sqrt{\left(\frac{3e}{d}\right)^2 + 0.25}$$

$$t_e = 0.365 \rightarrow a = \frac{0.365}{0.707} = 0.516\text{cm}$$

بنابراین بعد جوش نبشی به ستون ۶ میلی متر کافی است.
باید برش در نبشی کنترل شود که معمولاً تعیین کننده نمی باشد.

$$\phi_v V_n = 0.9 \times 0.6 \times 2.4 \times 2 \times 25 \times 0.8 \times 1 = 51.84\text{ton} > 17.6\text{ton (ok)}$$

طراحی اتصال ساده با نبشی نشیمن(اتصال اتکایی)



۱) تعیین طول نشیمن با توجه به تسلیم موضعی جان:

$$N_1 \geq \frac{R_u}{\varphi t_w f_{yw}} - 2.5k \geq k$$

f_{yw} : تنش تسلیم فولاد جان

t_w : ضخامت جان

N_1 : طول اتکای بار مرکز

$\varphi = 1$: ضریب تقلیل مقاومت

R_u : عکس العمل ضریب دار

k : فاصله از سطح خارج بال تا انتهای دو ماهیچه جان و بال در مقاطع نورد شده و فاصله از سطح خارج بال

تا انتهای چوشه اتصال بال و جان در مقاطع ساخته شده از ورق

ب) تعیین طول نشیمن با توجه به لهیدگی جان

$$\frac{N_2}{d} \leq 0.2 \text{ اگر}$$

$$R_u \leq \varphi (0.4 t_w^2 \left[1 + 3 \left(\frac{N_2}{d} \right) \left(\frac{t_w}{t_f} \right)^{1.5} \right] \sqrt{\frac{E f_y t_f}{t_w}})$$

$$\frac{N_2}{d} > 0.2 \text{ اگر}$$

$$R_u \leq \varphi (0.4 t_w^2 \left[1 + \left(\frac{4N_2}{d} - 0.2 \right) \left(\frac{t_w}{t_f} \right)^{1.5} \right] \sqrt{\frac{E f_y t_f}{t_w}})$$

t_w : ضخامت جان

t_f : ضخامت بال

d : ارتفاع کلی مقطع

N_2 : طول اتكای بار متumerکز

$\varphi = 0.75$: ضریب تقلیل مقاومت

R_u : عکس العمل ضریب دار

E : مدول الاستیسیته فولاد

$W \geq \max(N_1, N_2) + a'$

W : طول نشیمن

a' : فاصله مونتاژ

۲. تعیین ضخامت نشیمن از کنترل خمش در مقطع بحرانی نبشی(t)

$$e_f = \frac{\max(N_1, N_2)}{2} + a'$$

$$e = e_f - (t + 1\text{cm})$$

$$t \geq \sqrt{\frac{4R_u e}{0.9f_y b}}$$

ضخامت نبشی نشیمن:

عکس العمل ضریب دار:

عرض نشیمن:

۳. تعیین ضخامت نشیمن از کنترل برش در نبشی(t)

$$t \geq \frac{R_u}{\varphi(0.6f_y b)}$$

ضریب تقلیل مقاومت در برش:

با توجه به طول نشیمن و ضخامت های بدست آمده می توان شماره نبشی نشیمن را بدست آورد.

مثال: اتصال ساده IPE 330 با نبشی نشیمن تحت بار مرده ۴ تن و با زنده ۸ تن را با نبشی جان و الکترود E60 طراحی نمایید.

$$IPE 330 \quad d = 33 \text{ cm} \quad h = 27/1 \text{ cm} \quad t_w = 0/75 \text{ cm} \quad t_f = 1/15 \text{ cm} \quad b_f = 16 \text{ cm}$$

عرض تکیه‌گاه بر اساس تسلیم موضعی جان به دست می‌آید.

$$k = \frac{33 - 27/1}{2} = 3/0 \text{ cm} \quad N \geq 3/0 \text{ cm}$$

$$R_u = 17/6 t$$

$$N = \frac{17/6}{(1/0)(2/4)(0/75)} - 2/5(3) = 2/3 \text{ cm} \quad N = 3 \text{ cm}$$

حداقل N کنترل کننده است.

لهیلدگی جان بررسی می‌شود.

$$\frac{N}{d} = \frac{3}{33} = 0/09 < 0/2$$

$$R_n = 0/4(0/75)^2 \left[1 + 2 \left(\frac{3}{33} \right) \left(\frac{0/75}{1/15} \right)^{1/5} \right] \sqrt{\frac{(2000)(2/4)(1/15)}{0/75}} = 22/1 t$$

$$\phi R_n = (0/75)(22/1) = 16/6 t$$

$$17/6 t > 16/6 t$$

ملاحظه می‌شود که لهیدگی جان کننده است. یکی از گزینه‌ها، استفاده از یک جفت سخت‌کننده در محل بار مرکز یا افزایش ضخامت جان با قرار دادن ورق تقویتی است. راه حل دیگر، افزایش عرض تکیه‌گاه و تعیین مقدار N بر اساس رابطه لهیدگی جان می‌باشد.

مقدار N با سعی و خطابه دست می‌آید.

$$\frac{N}{R_n} = \frac{4}{5} \text{ cm}$$

$$R_n = 23/5 \text{ t}$$

$$\phi R_n = 17/6 \text{ t}$$

نبشی $150 \times 150 \times L$ بررسی می‌شود. طول نبشی مقداری بزرگتر از عرض بال تیر در نظر گرفته می‌شود تا امکان قرار دادن حدود ۲ cm جوش برگشت در هر طرف وجود داشته باشد.

$$b = 25 \text{ cm}$$

$$M_u = 17/6 \left(\frac{4/5}{2} + 2 - 1/5 \right) = 48/4 \text{ t.cm}$$

$$t = \sqrt{\frac{4(48/4)}{(0/9)(25)(2/4)}} = 1/9 \text{ cm}$$

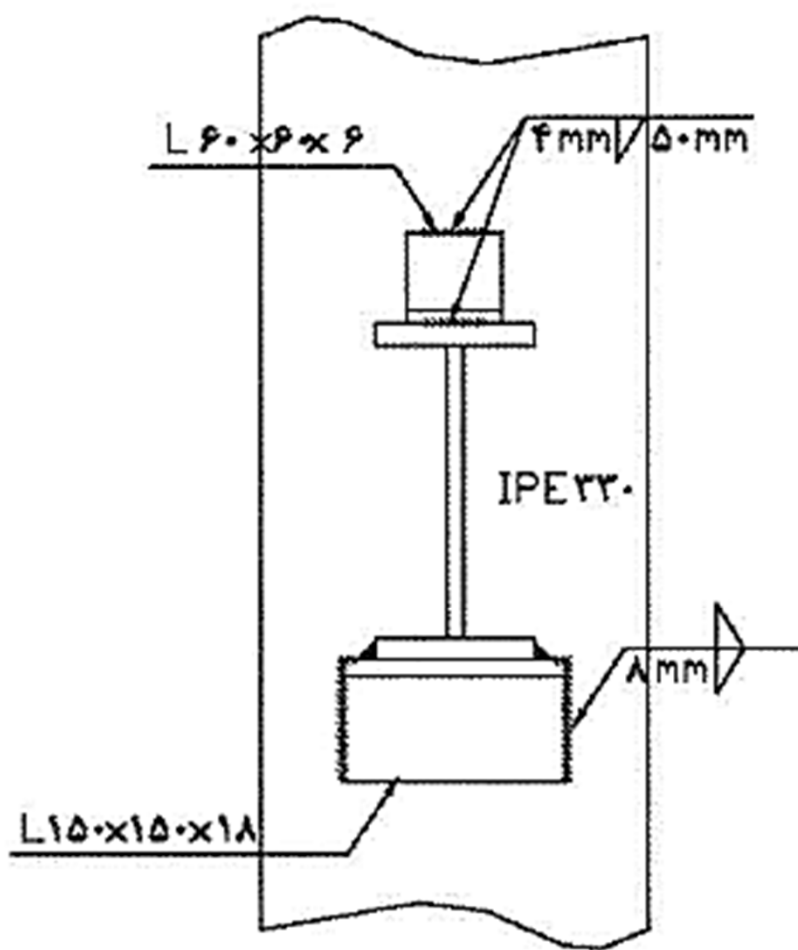
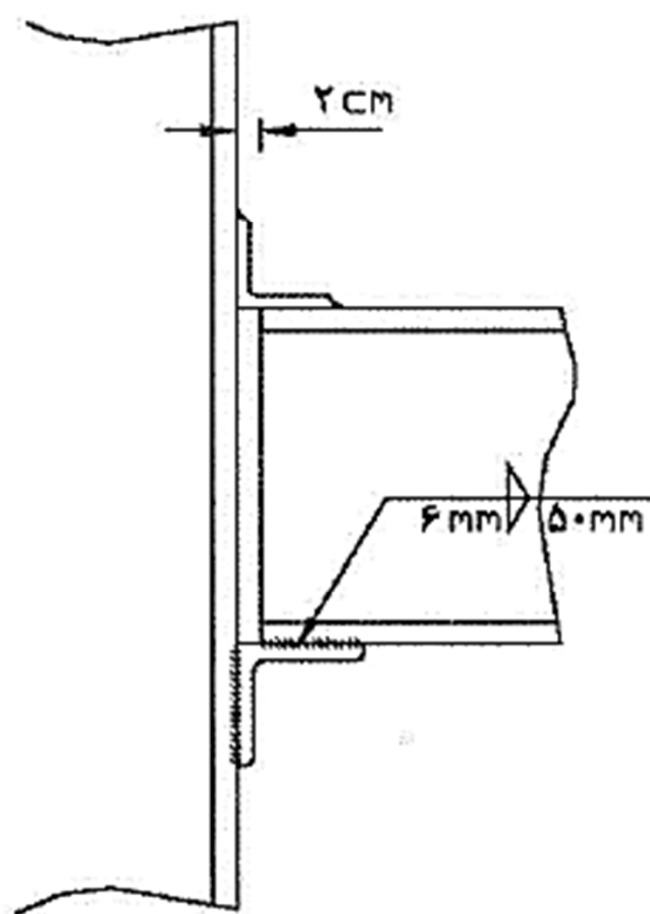
با توجه به این‌که بخش انحنای نبشی در محاسبه ضخامت آن در نظر گرفته نشده است، نبشی $150 \times 150 \times L$ مورد قبول قرار می‌گیرد.

اندازه جوش نبشی به ستون به دست می‌آید.

$$t_e \geq \frac{17/6}{(0/75)(2/52)(15)} \sqrt{\left[\frac{2(2/75)}{15} \right]^2 + 0/25} = 0/46 \text{ cm}$$

$$w = \frac{0/46}{0/707} = 0/65 \text{ cm}$$

جوش ۸ mm قرار داده می شود.
اتصال طراحی شده در شکل نشان داده شده است.



ضوابط لرزه ای طراحی اتصالات مطابق با مبحث دهم

شکل پذیری

۱- حد شکل پذیری زیاد

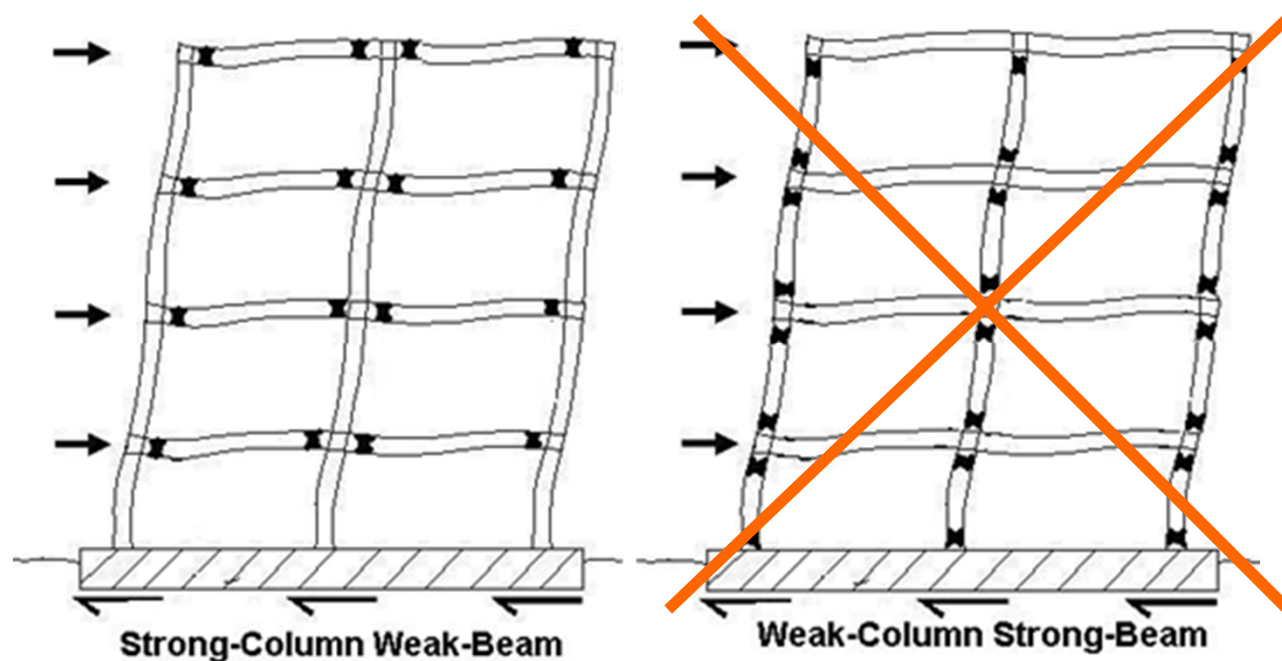
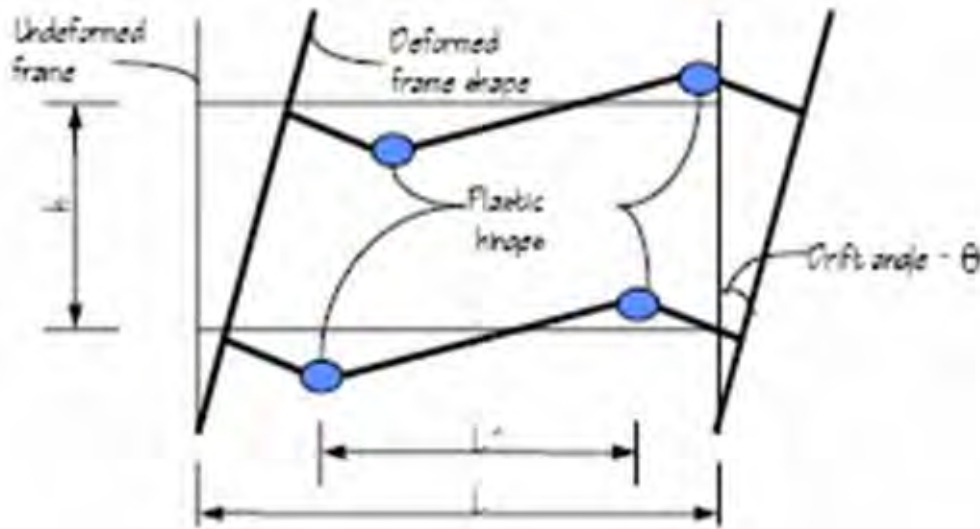
دوران نظیر تغییر مکان نسبی طبقه در آن 400 radian باشد که حدود 300 radian آن فرا ارجاعی باشد.

۲- حد شکل پذیری متوسط

دوران نظیر تغییر مکان نسبی طبقه در آن 200 radian باشد که حدود 100 radian آن فرا ارجاعی باشد.

۳- حد شکل پذیری کم

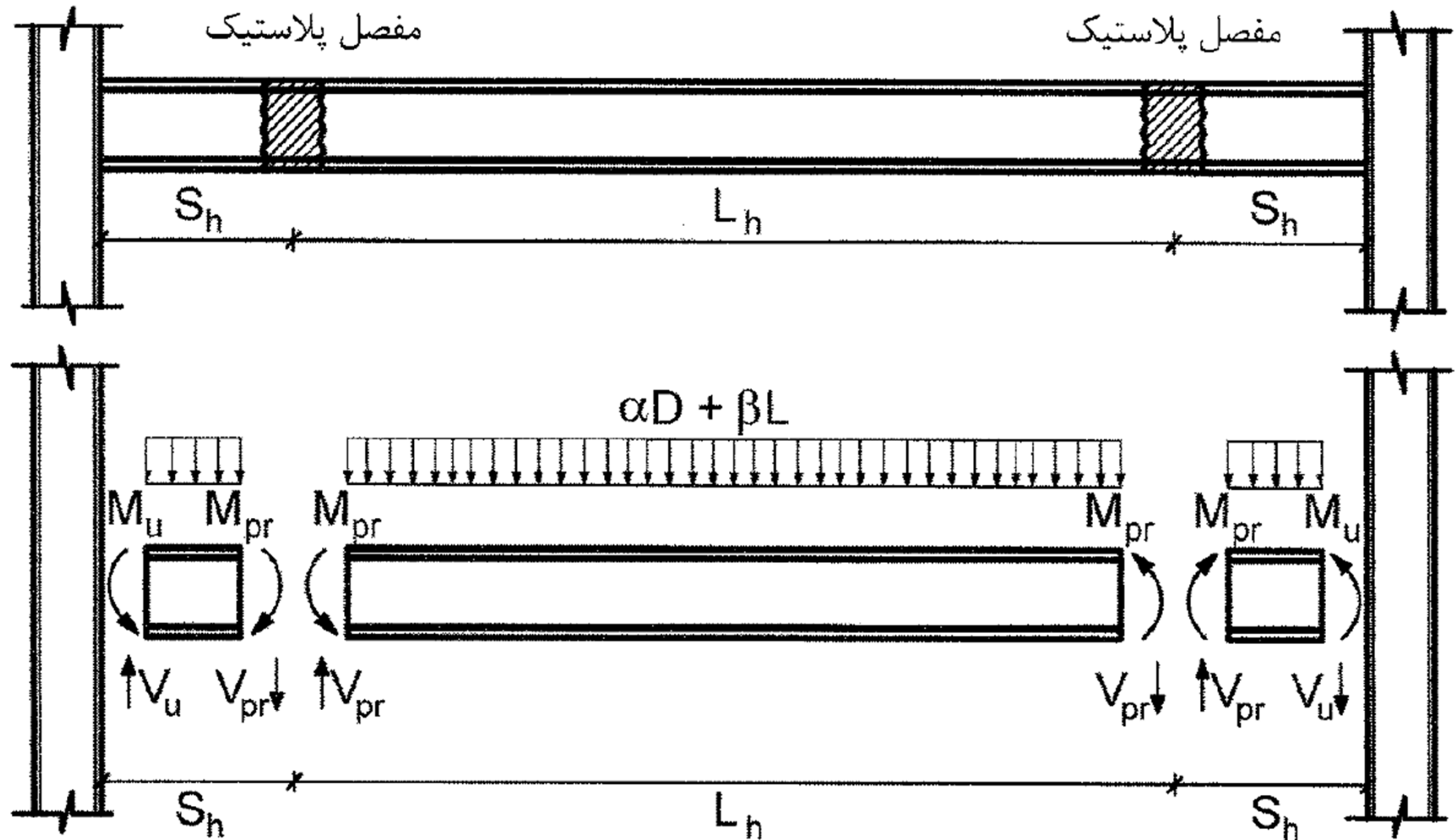
ظرفیت دورانی مورد انتظار در گره ها کم است و سازه عملاً تغییر شکل فرا ارجاعی ندارد.



۱۰-۳-۲ ناحیه حفاظت شده اعضا

ناحیه حفاظت شده در یک عضو از سازه، که به ناحیه شکل پذیر عضو نیز موسوم است، به ناحیه‌ای از عضو اطلاق می‌شود که انتظار می‌رود در آن مفصل پلاستیک تشکیل شود. نظر به اهمیت این ناحیه و رفتار حساس آن در حرکات رفت و برگشتی سازه، این ناحیه باید عاری از هر گونه عملیاتی که موجب دگرگونی عملکرد عضو در این ناحیه می‌شود، باشد. ناحیه حفاظت شده در دو انتهای تیر، فاصله بین برستون تا نصف عمق تیر از محل تشکیل مفصل پلاستیک به سمت داخل دهانه در نظر گرفته می‌شود. همچنین ناحیه حفاظت شده برای مهاربندی‌های ویژه در تمام طول عضو و برای تیرهای پیوند قاب‌های مهاربندی شده و اگرا تمام طول آن می‌باشد.

مفصل پلاستیک در تیرها



شکل ۱۰-۳-۸-۱ نمودار پیکره آزاد تیرهای باربر جانبی

۳-۸-۳-۱۰ اتصال تیر به ستون

کلیه اتصالات تیر به ستون در قاب‌های خمشی متوسط که نیروهای جانبی لرزه‌ای را تحمل می‌کنند، باید دارای شرایط زیر باشند.

(الف) اتصالات خمشی تیر به ستون باید توانایی تحمل تغییرشکل‌های دورانی حداقل به میزان ۰/۰۲ رادیان را بدون کاهش قابل توجه در مقاومت خود دارا باشند. برای احراز این شرط لازم است اتصالات خمشی به کار رفته در قاب‌های خمشی متوسط از طریق آزمایشات توصیه شده توسط مراجع معترض تایید شوند. در صورت عدم دسترسی به آزمایشات فوق استفاده از اتصالات از پیش تأیید شده ارائه شده در بخش ۱۳-۳-۱۰ بلامانع می‌باشد.

(ب) اتصال تیر به ستون باید به‌گونه‌ای طراحی شود که شرایط ایجاد مفصل پلاستیک را در داخل تیر فراهم نماید. انجام این امر می‌تواند از طریق ضعیف کردن مقطع تیر در فاصله‌ای محدود از بر ستون صورت گیرد. روش‌های دیگر برای دستیابی به منظور فوق در اتصالات از پیش تأیید شده بخش ۱۳-۳-۱۰ ارائه شده است.

(پ) مقاومت خمشی مورد نیاز ($M_{u\parallel}$) و مقاومت برشی مورد نیاز ($V_{u\parallel}$) اتصال باید با در نظر گرفتن تعادل استاتیکی بارهای ثقلی ضربیداری که با نیروی زلزله ترکیب می‌شوند و اثرات لرزه‌ای ناشی از لنگر خمشی $M_{pr} = C_{pr}R_yM_p$ ر محل‌های تشکیل مفصل پلاستیک، تعیین شوند (شکل ۱۰-۳-۱-۸). که در آن، M_p و C_{pr} مطابق تعاریف بند ۱۰-۳-۲-۸-۳-۱-۸-۱ می‌باشد.

۳-۲-۳-۱۰ ضریب R_y تولیدات فولاد

طبق تعریف، ضریب R_y عبارت است از نسبت تنش تسلیم مورد انتظار به حداقل تنش تسلیم تعیین شده، که به منظور در نظر گرفتن افزایش مقاومت مورد نیاز باید در محاسبات مدنظر قرار گیرد. کاربرد ضریب R_y در محاسبات لرزه‌ای سازه‌های با شکل پذیری مختلف در بخش‌های مربوطه ارائه شده است. مقدار ضریب R_y از رابطه زیر تعیین می‌شود.

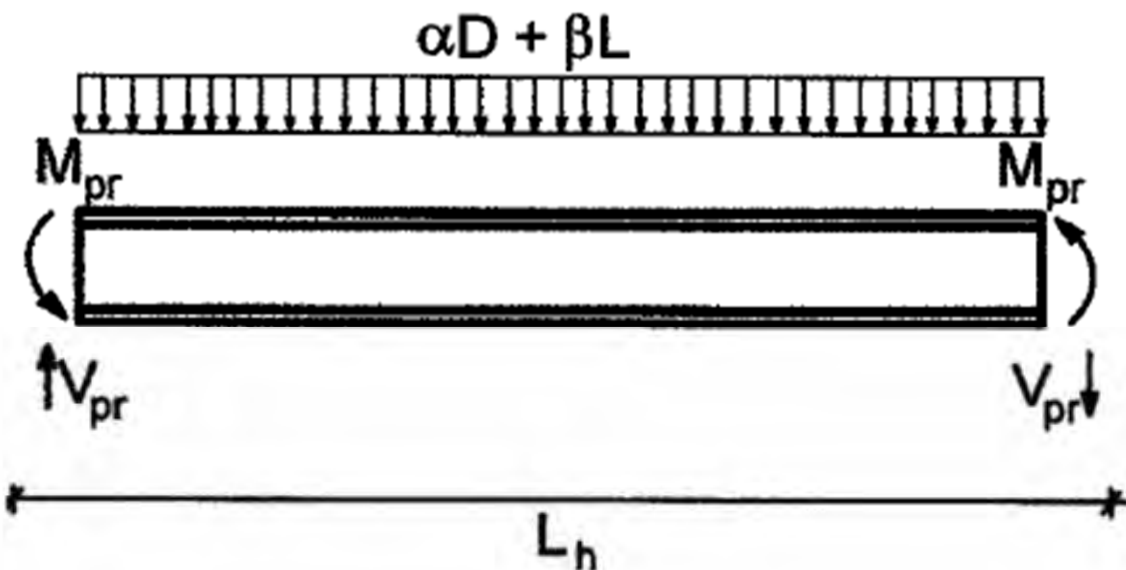
$$R_y = \frac{F_{ye}}{F_y} \quad (1-2-3-10)$$

جدول ۱-۲-۳-۱۰ مقادیر R_y برای انواع تولیدات فولاد

R_y	نوع محصول
۱/۲۵	مقاطع لوله‌ای و قوطی شکل نوردشده
۱/۲۰	سایر مقاطع نوردشده شامل مقاطع I شکل، H شکل، ناوданی، نبشی و سپری
۱/۱۵	مقاطع ساخته شده از ورق، ورق‌ها و تسمه‌ها

C_{pr} = ضریبی است که در برگیرنده آثار عواملی از قبیل سخت شدگی، قیدهای موضعی و ملحقات موجود در اتصال تیر به ستون است و برای محاسبه حداکثر نیروی ایجاد شده در اعضا و وسایل اتصال به کار گرفته می‌شود. به جز در موردی که در بخش ۱۰-۳-۶-۱۳ برای C_{pr} عدد خاصی پیش‌بینی شده است، مقدار آن باید از رابطه زیر تعیین شود

$$\frac{1}{1} \leq C_{pr} = \frac{(F_y + F_u)}{\gamma F_y} \leq \frac{1}{2} \quad (1-8-3-10)$$

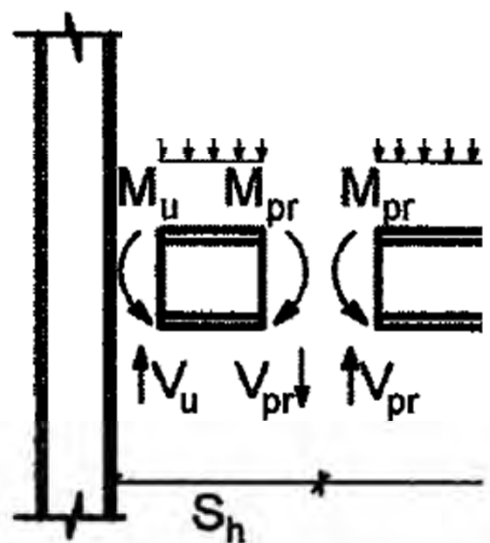


$$V_{pr} = \frac{2 \times M_{pr}}{L_h} + \frac{q_u W L_h}{2} = \frac{2 \times M_{pr}}{L_h} + \frac{(\alpha D + \beta L) W L_h}{2}$$

q_u : وزن ضریب دار واحد سطح سقف می باشد که بر اساس ترکیب بار لرزه ای باید انتخاب شود با توجه به اینکه ترکیب بار لرزه ای می باشد، مقدار $(1.2\text{Dead}+\text{Live}+0.2\text{Snow}) \text{ kN/m}^2$ برابر $q_u = \alpha D + \beta L$ باشد اختیار شود.
تحت شرایط خاصی به جای Live می توان از 0.5Live استفاده کرد (جهت مشاهده شرایط استفاده از ضریب 0.5 برای بار زنده به مبحث ششم مراجعه نمایید).

W: عرض بارگیر تیر بر حسب متر.

محل تشکیل مفصل پلاستیک (S_h) در روی تیر باید در محل انتهای ورق‌های روسی و زیررسی (هر کدام که بزرگتر است)، در نظر گرفته شود.



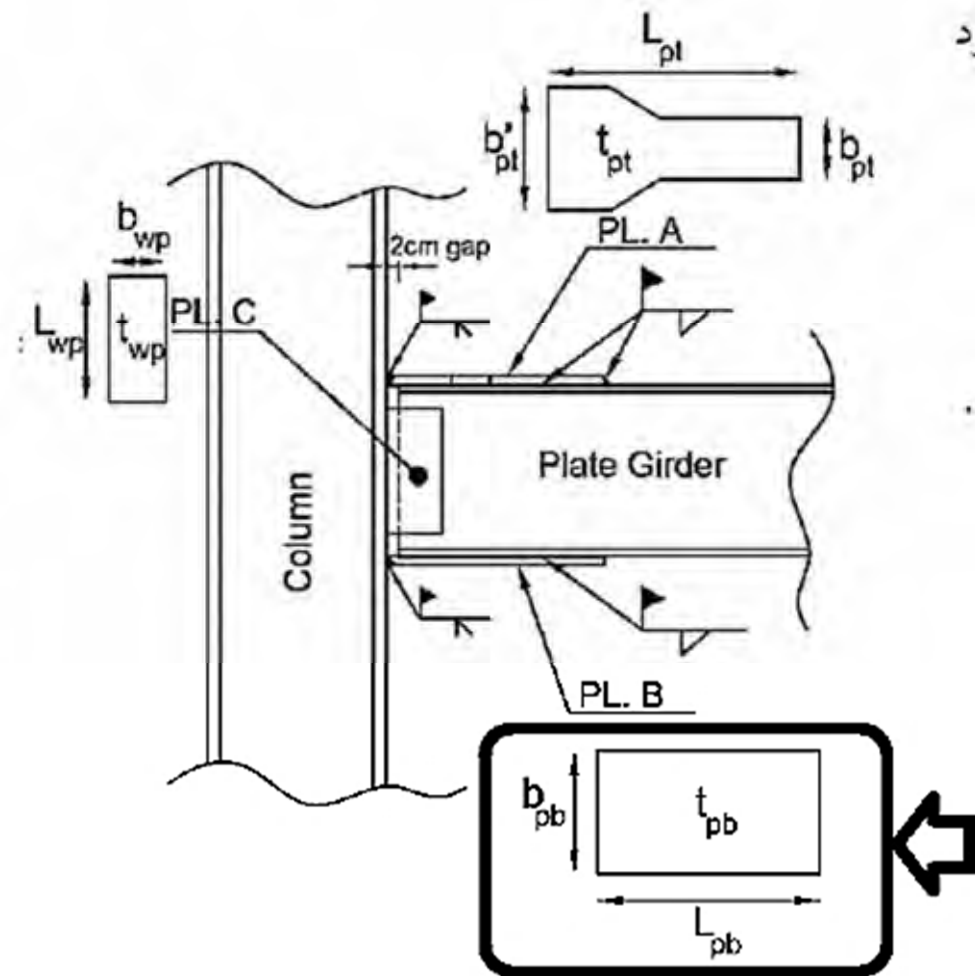
مقدار برش طراحی در بر ستون (V_U) بر حسب kN مطابق بند ۱۰-۲-۳-۱-۸-۳ برابر است با:

$$V_U = V_{pr} + q_u W S_h$$

مطابق بند ۱۰-۲-۳-۱-۸-۳ مقدار M_U در بر ستون بر حسب kN.m بدست می‌آید:

$$M_U = M_{pr} + V_{pr} S_h + \frac{q_u W S_h^2}{2}$$

طراحی ورق زیر سری



عرض ورق زیر سری (b_{pb}) بر اساس عرض بال تیر (b_{bf}) تعیین می شود به طوریکه فضای کافی برای جوش داشته باشیم:

$$b_{pb} = b_{bf} + 50 \text{ mm}$$

در این صورت در هر طرف ورق 25 mm فضای جوش خواهیم داشت. ضخامت ورق زیر سری (t_{pb}) براساس نیروی کششی ناشی از لنگر M_u که در گامهای قبل محاسبه شد، بدست می آید:

$$t_{pb} = \frac{M_u}{d \times b_{pb} \times F_y}$$

که در آن d عمق فاصله مرکز تا مرکز ورقهای رو سری و زیر سری می باشد

تعیین طول ورق زیر سری (L_{pb})

جوش توجه به و جوش کنیم خواهیم داشت:

$$l_w \geq \frac{u}{d \times \beta \times 0.9 \times 0.6 F_{ue} \times 0.707a}$$

$$L_{pb} = \frac{l_w}{2} + 20 \text{ mm}$$

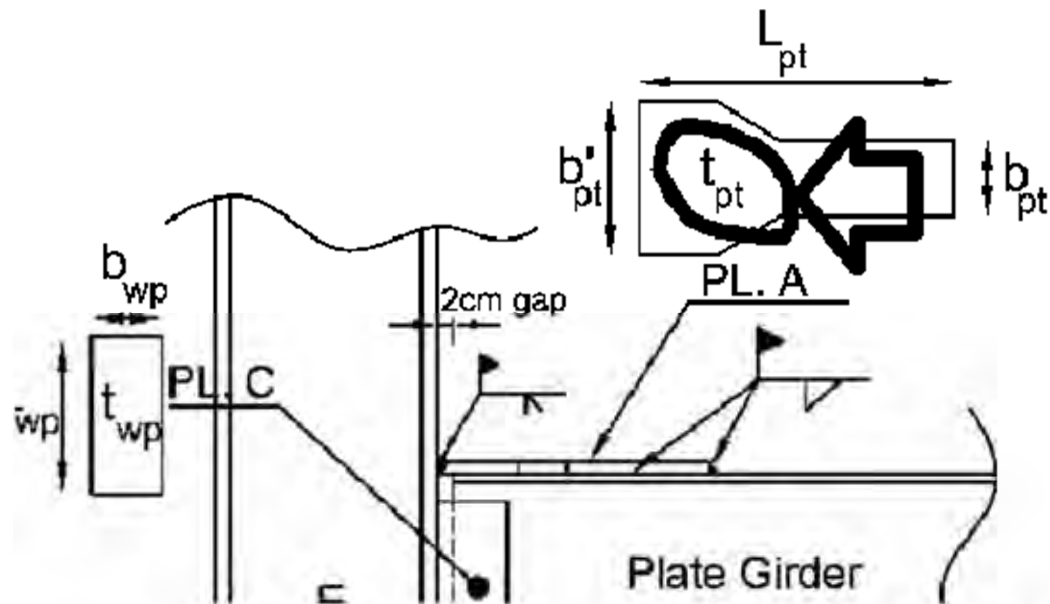
: β کیفیت جوش

: F_{ue} نهایی صالح الکترود

a بعد جوش می باشد.

20mm که در انتهای اضافه شده است، فاصله بادخور تیر می باشد.

طراحی ورق رو سری

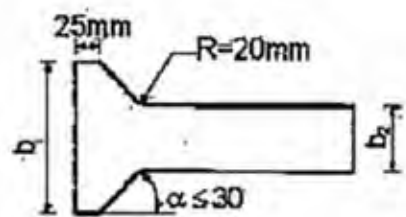


عرض (قسمت باریک تر) ورق رو سری (b_{pt}) بر اساس عرض بال تیر (b_{bf}) تعیین می شود به طوریکه فضای کافی برای جوش داشته باشیم:

$$b_{pt} = b_{bf} - 50\text{mm}$$

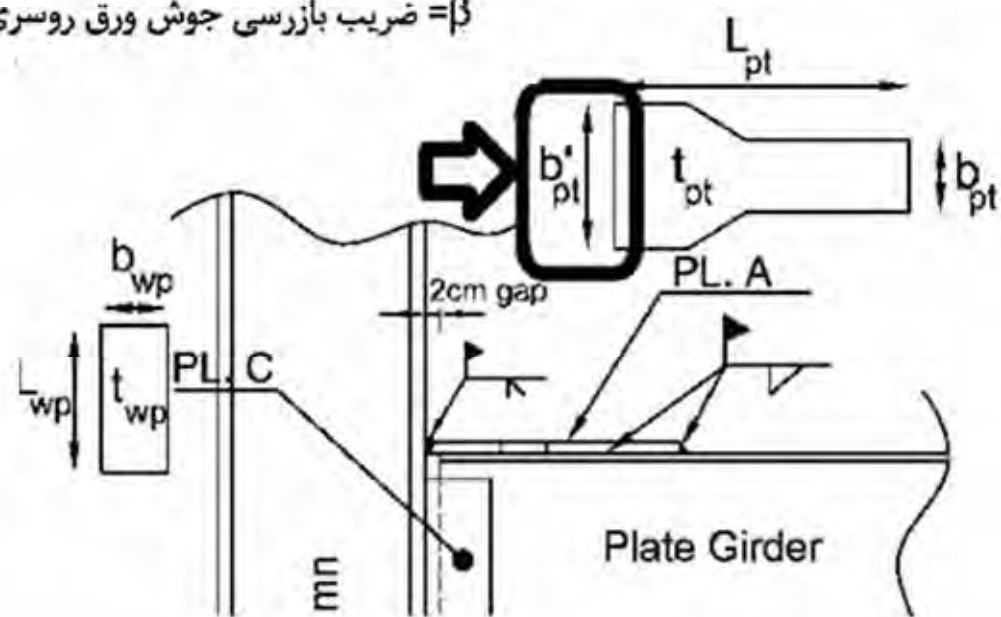
$$t_{pb} = \frac{M_u}{d \times b_{pt} \times F_y}$$

که در آن d عمق فاصله مرکز تا مرکز ورقهای رو سری و زیرسری می باشد



عرض انتهایی(قسمت عریض تر) ورق رو سری (b'_{pt})

β = ضریب بازرسی جوش ورق رو سری



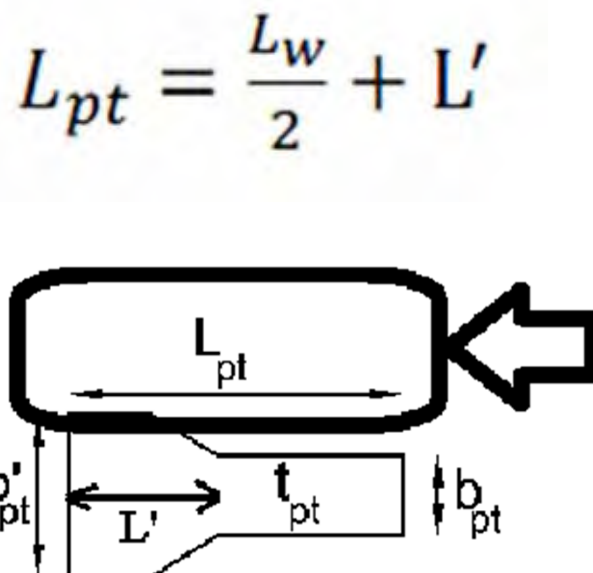
$$b'_{pt} = \frac{b_{pt}}{\beta} = \frac{b_{pt}}{0.75}$$

β : ضریب بازرسی جوش مطابق بند ۱۰-۹-۲-۴ می باشد. در صورتی که جوش نفوذی اتصال بال به ستون توسط آزمایش غیر مخرب مانند رادیوگرافی و یا التراسونیک آزمایش شود، می توان مقدار β را برابر یک در نظر گرفت. در این حالت می توان به جای شکل کله گاوی برای ورق رو سری، همانند ورق زیر سری، از شکل مستطیلی استفاده نمود، البته به دلیل کیفیت پایین اجرا و کنترل جوش توصیه می شود که حتی در صورت انجام تست جوش، از شکل کله گاوی استفاده شود.

تعیین طول ورق رو سری (L_{pt})

بعد جوش را با توجه به حداقل و حداکثر ضوابط جوش انتخاب می کنیم و خواهیم داشت:

$$l_w = \frac{M_u}{d \times \beta \times 0.9 \times 0.6 F_{ue} \times 0.707 a}$$



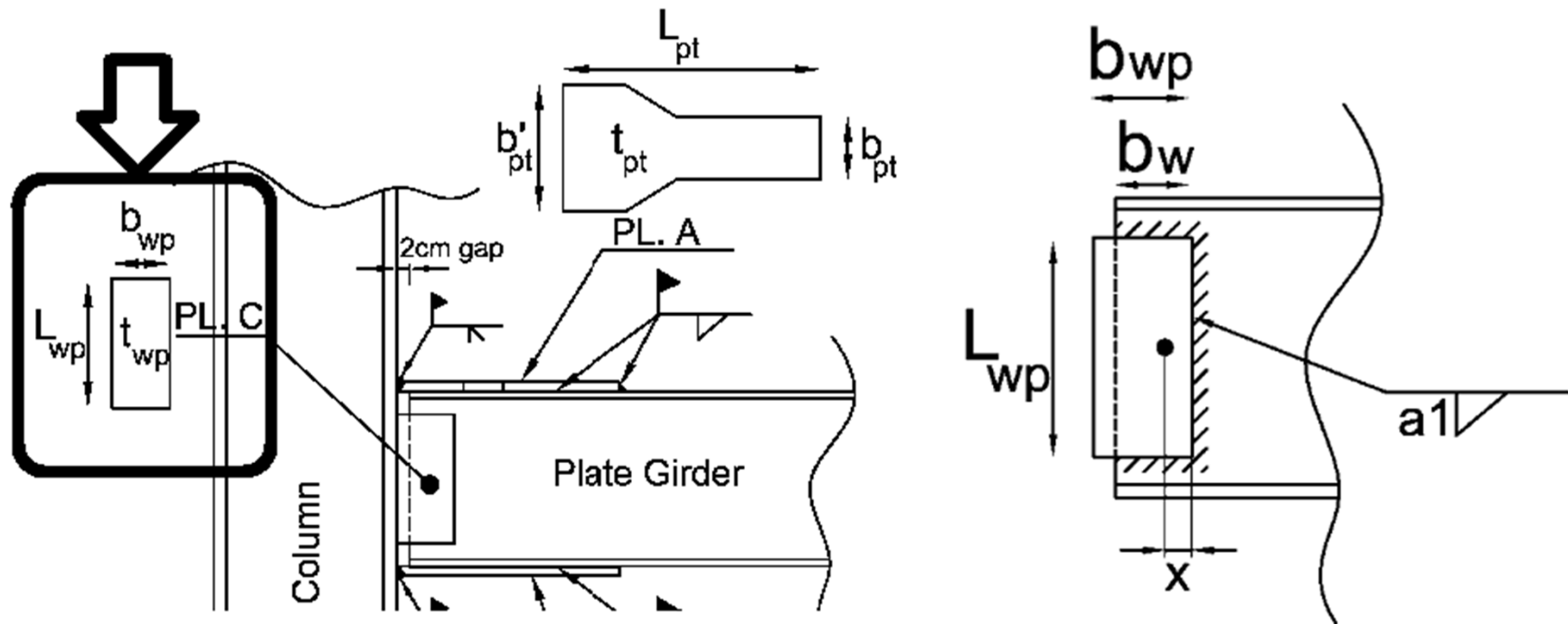
β : ضریب کیفیت جوش

F_{ue} : تنش نهایی مصالح الکترود

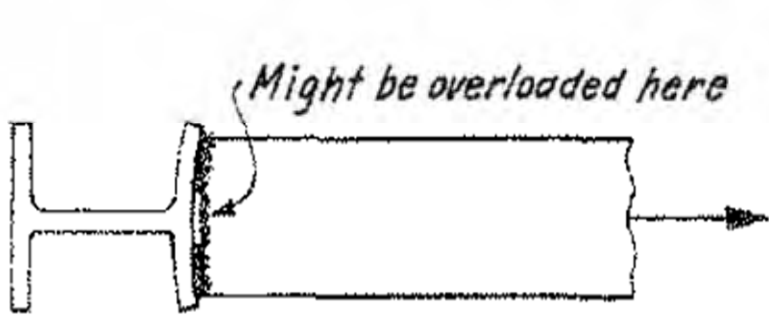
بعد جوش می باشد.

تعیین ارتفاع، عرض و ضخامت ورق اتصال جان

طراحی نسبی یا ورق انجام می گیرد.



کنترل خمسموضعی در بال ستون در مقابل بال کششی (بند ۱۰-۹-۲-۱ مبحث ۱۰)



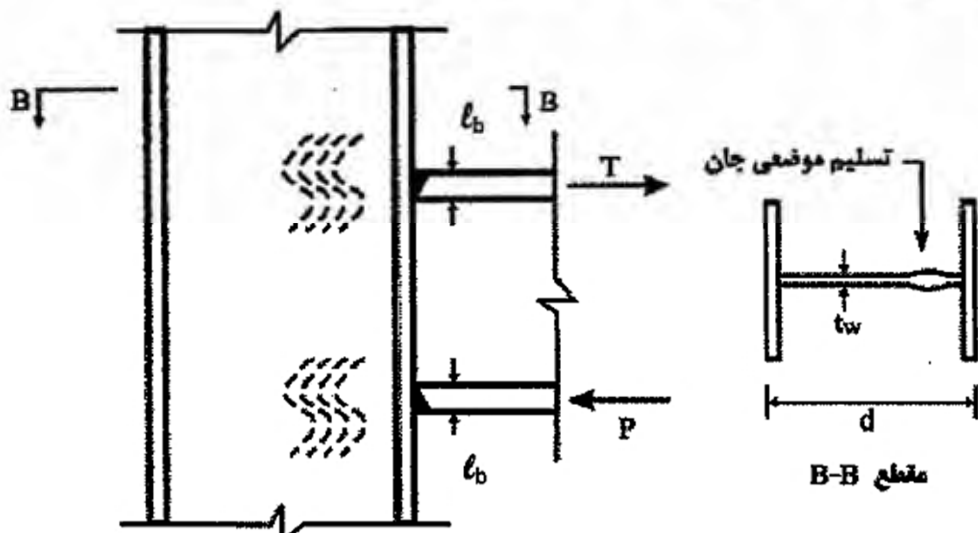
$$R_u = \phi R_n$$

$$\phi = 0.9$$

$$R_n = \epsilon / 25 F_y f t_f^2$$

تبصره: در صورتی که مقاومت مورد نیاز (T_u) از مقاومت طراحی (ϕR_n) بیشتر باشد، تعبیه یک جفت سخت‌کننده دارای مقاومتی حداقل برابر با اختلاف مقاومت موردنیاز و مقاومت طراحی در محل بارهای متمرکز ضروری می‌باشد. سخت‌کننده‌های موردنیاز باید الزامات بند ۱۰-۹-۲-۷ را تأمین نمایند.

کنترل تسلیم موضعی جان ستون در مقابل بال فشاری و یا کششی (بند ۱۰-۹-۲-۱۰ مبحث ۱۰)



$$R_u = \emptyset R_n$$

$$\emptyset = 1$$

۱- در حالتی که بار مرکز، در فاصله‌ای بزرگتر از d از انتهای عضو وارد می‌شود:

$$R_n = F_{yw} t_w (\Delta k + l_b) \quad (۲۴-۹-۲-۱۰)$$

۲- در حالتی که بار مرکز، در فاصله‌ای مساوی یا کوچکتر از d از انتهای عضو وارد می‌شود:

$$R_n = F_{yw} t_w (2/\Delta k + l_b) \quad (۲۵-۹-۲-۱۰)$$

سوال: اگر رابطه فوق ارضانشد (یعنی اگر ضخامت جان ستون کمتر از مقدار داده شده بود) چه باید کرد؟

پاسخ: یا باید ضخامت جان ستون را افزایش داد و یا از ورقهای پیوستگی استفاده نمود.

که در روابط فوق:

$$F_{yw} = \text{تنش تسلیم فولاد جان}$$

$$t_w = \text{ضخامت جان}$$

$$d = \text{ارتفاع کلی مقطع تیر}$$

k = فاصله از وجه بیرونی بال تا انتهای دو ماهیچه جان و بال در مقاطع نوردشده و فاصله از وجه بیرونی بال تا انتهای جوش گوشه اتصال بال و جان در مقاطع ساخته شده از ورق.

l_b = طول اتکای بار مرکز (برای عکس العمل های تکیه گاهی مقدار l_b نباید کمتر از k در نظر گرفته شود)

کنترل لهیدگی (چروکیدگی) در جان ستون در مقابل بال فشاری (بند ۱۰-۹-۲-۱۰ مبحث ۱۰)

$$R_u = \emptyset R_n$$

$$\emptyset = 0.75$$

۱- در حالتی که بار مرکز، در فاصله‌ای مساوی یا بزرگتر از $d/2$ از انتهای عضو وارد می‌شود:

$$R_n = 0.18 \cdot t_w^2 \left[1 + 3\left(\frac{l_b}{d}\right) \left(\frac{t_w}{t_f}\right)^{1/5} \right] \sqrt{\frac{E F_y w t_f}{t_w}} \quad (26-9-2-10)$$

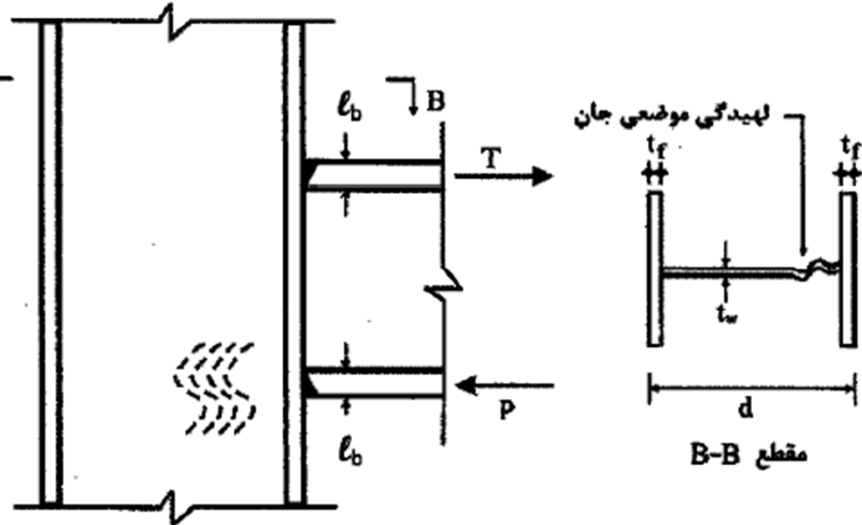
۲- در حالتی که بار مرکز، در فاصله‌ای کوچکتر از $d/2$ از انتهای عضو وارد می‌شود:

- در صورتی که $l_b/d \leq 0.2$ باشد:

$$R_n = 0.14 \cdot t_w^2 \left[1 + 3\left(\frac{l_b}{d}\right) \left(\frac{t_w}{t_f}\right)^{1/5} \right] \sqrt{\frac{E F_y w t_f}{t_w}} \quad (27-9-2-10)$$

- در صورتی که $l_b/d > 0.2$ باشد:

$$R_n = 0.14 \cdot t_w^2 \left[1 + \left(\frac{l_b}{d} - 0.2 \right) \left(\frac{t_w}{t_f} \right)^{1/5} \right] \sqrt{\frac{E F_y w t_f}{t_w}} \quad (28-9-2-10)$$



l_b = طول اتکایی بار متمرکز (برای عکس العمل‌های تکیه‌گاهی مقدار l_b نباید کمتر از k در نظر گرفته شود)

F_{yw} = تنش تسلیم فولاد جان
 E = مدول الاستیسیته فولاد

تبصره: در صورتی که مقاومت مورد نیاز از مقاومت طراحی بیشتر باشد، تعییه یک جفت سخت‌کننده دارای مقاومتی برابر با اختلاف مقاومت موردنیاز و مقاومت طراحی در محل بارهای متمرکز ضروری است. سخت‌کننده‌های تعییه شده باید الزامات بند ۷-۱۰-۹-۲-۱۰ را تأمین نمایند.

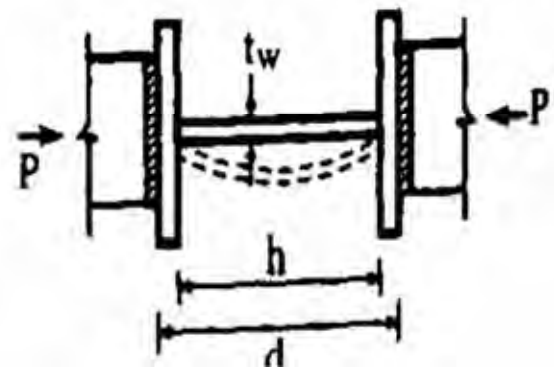
در روابط فوق:

d = ارتفاع کلی مقطع

t_w = ضخامت جان

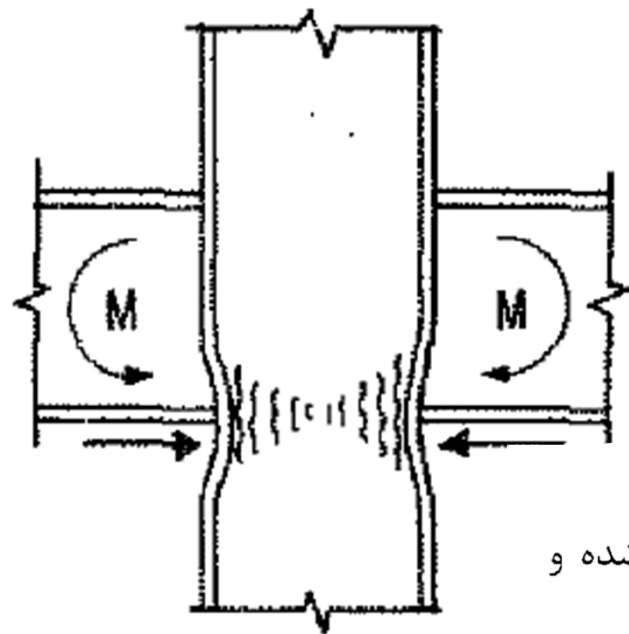
t_f = ضخامت بال تحت بار

کنترل کمانش فشاری در جان ستون در مقابل بال فشاری (بند ۱۰-۹-۲-۱۰ مبحث ۱۰)



$$R_u = \phi R_n$$

$$\phi = 0.9$$



$$R_n = \frac{24 t_w^3 \sqrt{E F_y w}}{h}$$

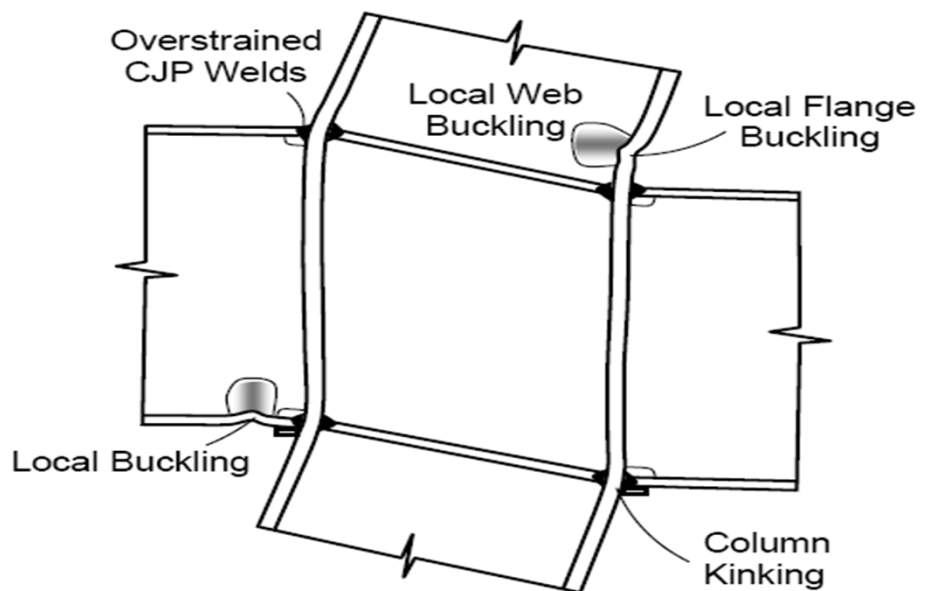
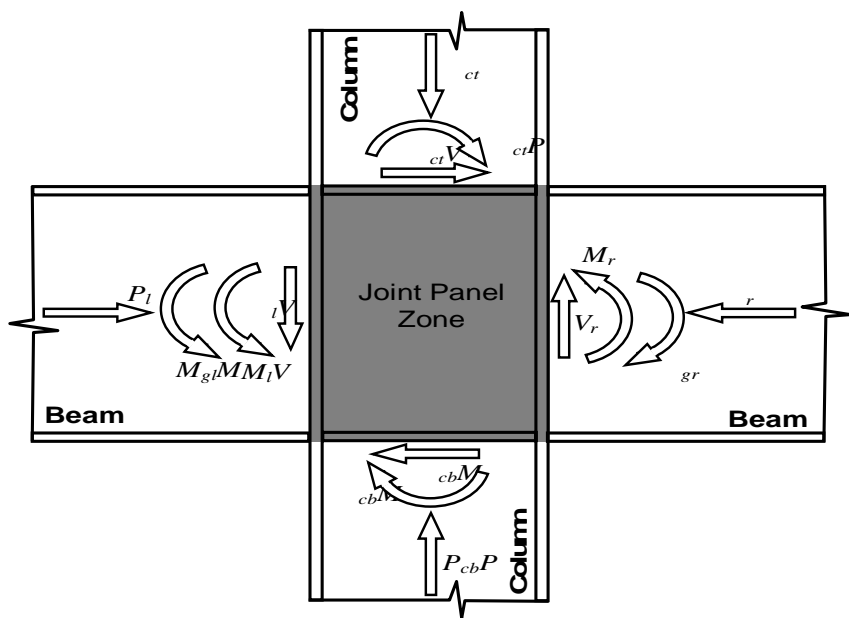
t_w = ضخامت جان

h = ارتفاع آزاد جان (فاصله بین انتهای دو ماهیچه جان و بال در روی جان در مقاطع نوردشده و
فاصله بین دو بال در مقاطع ساخته شده از ورق)

تبصره ۱: در صورتی که جفت نیروی فشاری در فاصله‌ای کمتر از $d/2$ از انتهای عضو اثر نماید، مقدار $R_{\#}$ حاصل از رابطه ۳۱-۹-۲-۱۰ باید ۵۰ درصد کاهش یابد.

تبصره ۲: در صورتی که مقاومت مورد نیاز از مقاومت طراحی بیشتر باشد، تعبیه یک جفت سخت‌کننده دارای مقاومتی حداقل برابر با اختلاف مقاومت مورد نیاز و مقاومت طراحی در محل بارهای متمرکز ضروری است. سخت‌کننده‌های مورد نیاز باید الزامات بند ۷-۱۰-۹-۲-۱۰ را تأمین نمایند.

چشمیه اتصال



مقاومت برشی طراحی در چشمۀ اتصال مساوی ϕR_n می‌باشد که در آن ϕ ضریب کاهش مقاومت برابر $0/9$ و R_n مقاومت اسمی است که بر اساس حالت حدی تسلیم برشی به شرح زیر تعیین می‌گردد.

۱. در حالتی که تأثیر تغییرشکل چشمۀ اتصال در تحلیل سازه منظور نشود:

- برای حالتی که $P_u \leq 0/4 P_c$ باشد:

$$R_n = 0/6 F_y d_c t_w \quad (32-9-2-10)$$

- برای حالتی که $P_u > 0/4 P_c$ باشد:

$$R_n = 0/6 F_y d_c t_w \left(1/4 - \frac{P_u}{P_c} \right) \quad (33-9-2-10)$$

۲. در حالتی که تأثیر تغییر شکل چشمی اتصال در تحلیل سازه منظور شود:

- برای حالتی که $P_u \leq 0.75 P_c$ باشد:

$$R_n = 0.6 F_y d_c t_w \left(1 + \frac{b_{cf} t_{cf}}{d_b d_c t_w} \right) \quad (34-9-2-10)$$

- برای حالتی که $P_u > 0.75 P_c$ باشد:

$$R_n = 0.6 F_y d_c t_w \left(1 + \frac{b_{cf} t_{cf}}{d_b d_c t_w} \right) \left(1/9 - \frac{1/2 P_u}{P_c} \right) \quad (35-9-2-10)$$

در روابط فوق:

b_{cf} = پهنای بال ستون

t_{cf} = ضخامت بال ستون

d_c = ارتفاع کلی مقطع ستون

d_b = ارتفاع کلی مقطع تیر

t_w = ضخامت جان مقطع ستون

F_y = تنש تسليم فولاد

P_u = مقاومت محوری مورد نیاز ستون

$(P_c = P_y = A_g F_y)$ = مقاومت محوری تسليم

در روابط فوق:

b_{cf} = پهنهای بال ستون

t_{cf} = ضخامت بال ستون

d_c = ارتفاع کلی مقطع ستون

d_b = ارتفاع کلی مقطع تیر

t_w = ضخامت جان مقطع ستون

F_y = تنش تسلیم فولاد

P_u = مقاومت محوری مورد نیاز ستون

$(P_c = P_y = A_g F_y)$ = مقاومت محوری تسلیم

A_g = سطح مقطع کلی مقطع ستون

تبصره ۱۵: مطابق شکل ۱۰-۹-۲-۲۱، مقاومت برشی مورد نیاز در چشمۀ اتصال، V_{up} ، از رابطه زیر محاسبه می‌شود.

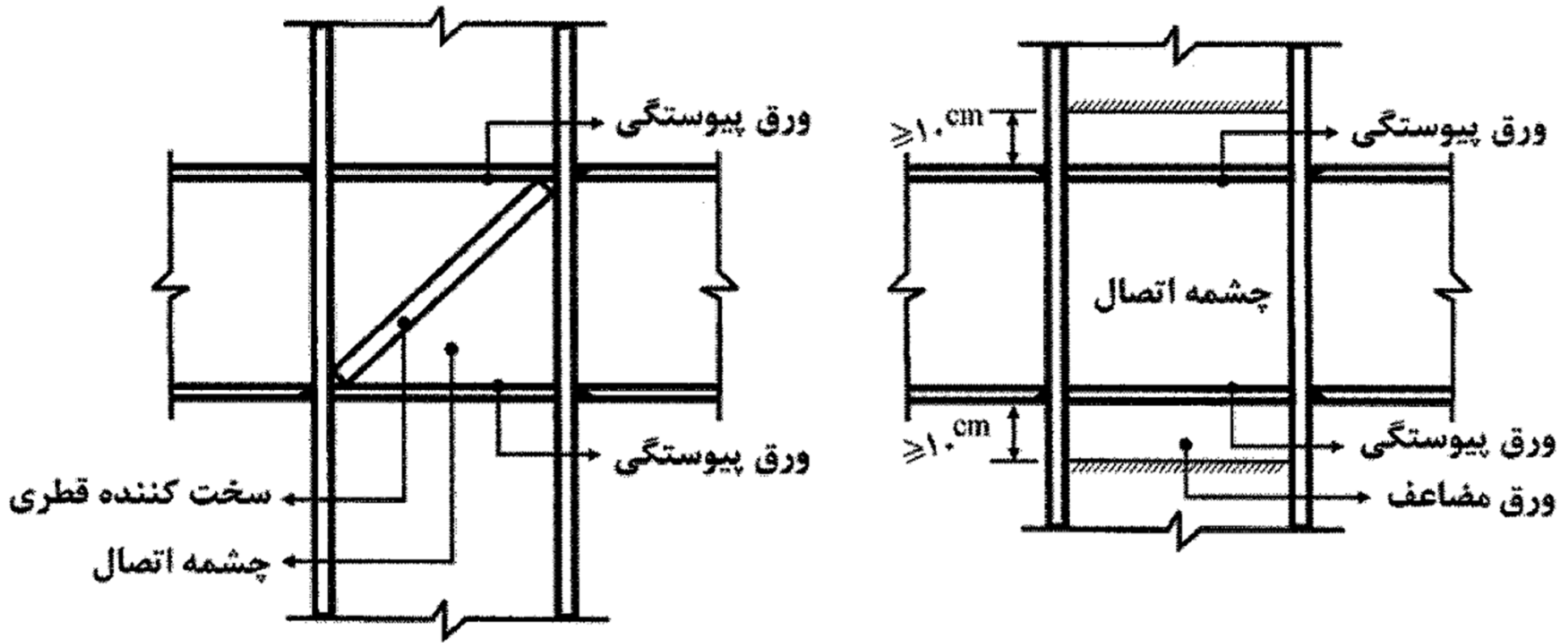
$$V_{up} = \frac{M_{u1}}{d_{b1}} + \frac{M_{u2}}{d_{b2}} - V_u \quad (36-9-2-10)$$

که در آن:

M_{u1} و M_{u2} = به ترتیب لنگرهای خمشی انتهایی تیرهای سمت چپ و راست چشمۀ اتصال است.

V_u = نیروی برشی ستون در بالای چشمۀ اتصال

d_{b1} و d_{b2} = به ترتیب ارتفاعهای کل مقاطع تیرهای سمت چپ و راست چشمۀ اتصال است.

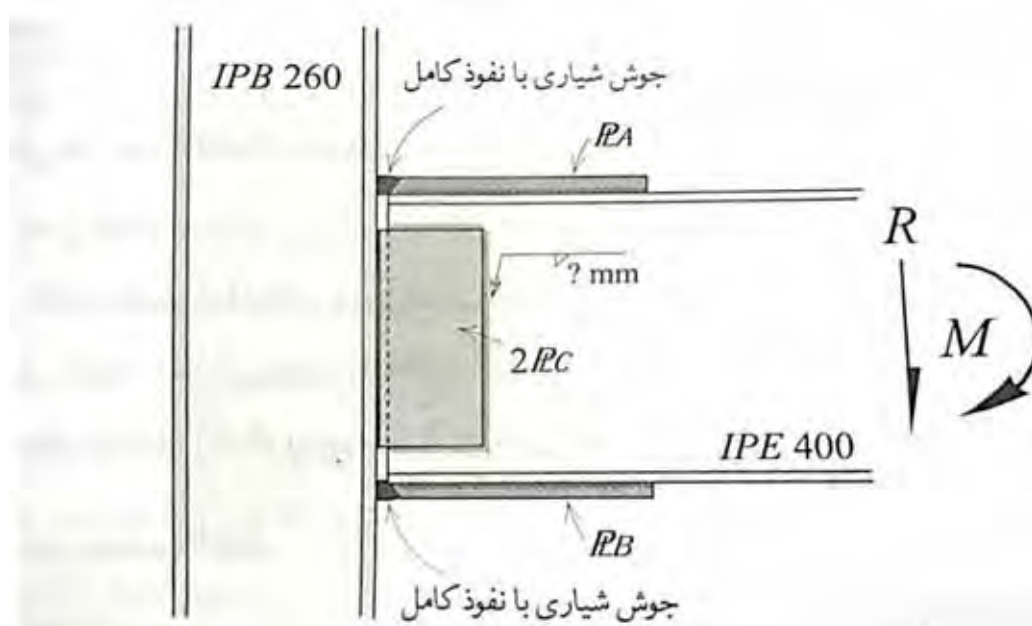


تمرین

مثال: نیمرخ IPE 400 در یک قاب خمثی متوسط توسط ورق های اتصال A و B به ترتیب در بال های کششی و فشاری، و ورق C در جان به ستون IPB260 به صورت صلب متصل شده است.

- ✓ فولاد مصرفی St37، و الکترود E60
- ✓ تیر فولادی به طول ۶ متر، تحت بار گستردگی با شدت ۷,۳۵ تن/متر دارای تکیه گاه جانبی کافی میباشد.

تمرین



مطلوب است: الف) طراحی کامل ورق A و B، ب) طراحی کامل ورق C پ) کنترل جان ستون در اثر نیروی فشاری ت) کنترل جان ستون در اثر نیروی کششی ث) کنترل برش در چشمeh اتصال



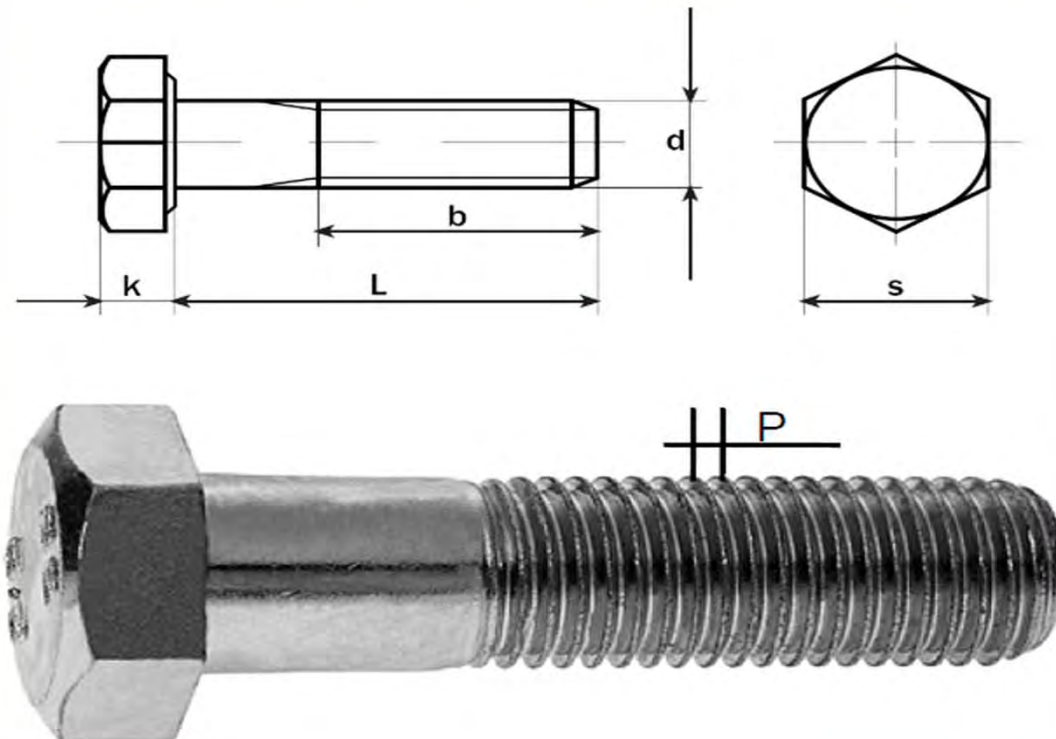
فصل دوم

معرفی پیچ ها

طراحی اتصالات پیچی

مشخصات ابعادی پیچ

مشخصات ابعادی پیچ



M20 × 2.5 × 100
طول گام قطر

روش تولید فورج گرم



روش تولید فورج سرد



آزمایش های پیچ



آزمایش بارگواه پیچ

آزمایش های پیچ

۱- آزمایش کشش

۱-۱- آزمایش بارگواه

۱-۲- آزمایش کشش گوه ای بر روی نمونه کامل

۱-۳- آزمایش کشش بر روی نمونه ماشینکای شده

۲- آزمایش سختی سنجی

۳- آزمایش ضربه (در صورت وجود بارگذاری خستگی)

آزمایش های پیچ

آزمایش کشش گوه ای پیچ



آزمایش کشش
گوه ای پیچ



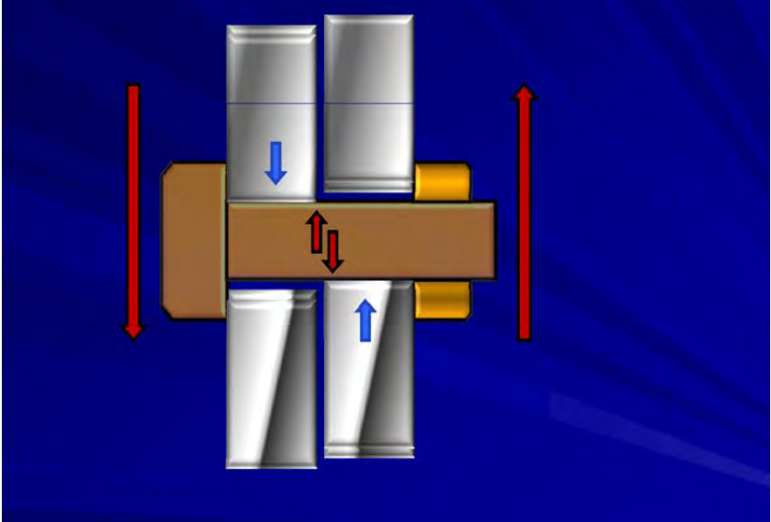
رفتار کلی اتصالات با پیچ و مهره

اتصالات با پیچ و مهره

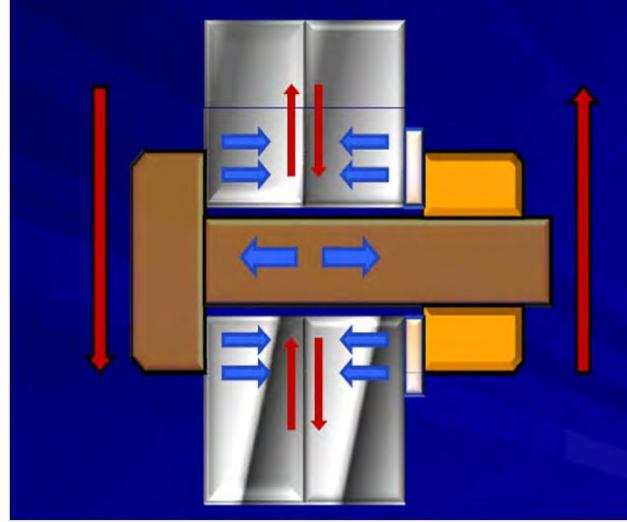
۱- اتصالات اتکایی

۲- اتصالات اصطحکاکی

طراحی اتصالات اتکایی



طراحی اتصالات اصطحکاکی



الزامات اتصال اصطحکاکی

عدم رنگ آمیزی سطوح اتصالات اصطحکاکی



الزامات تامین سطح
تماس ورق ها در اتصالات
اصطحکاکی



رده مقاومتی پیچ ها

۱-۵. رده‌ی مقاومتی پیچ‌های تولیدی در ایران بر اساس جدول زیر می‌باشد:

مقدار رزوه	نوع عملکرد	تنش مجاز F_y کششی	استحکام کشش نهایی F_u	$\frac{F_u}{F_y}$	کد پیچ
نیم رزوه	اتکایی	6400 kg/ cm ²	8000 kg/ cm ²	8.8	DIN931
		9000 kg/ cm ²	10000 kg/ cm ²	10.9	
تمام رزوه	اتکایی	6400 kg/ cm ²	8000 kg/ cm ²	8.8	DIN933
		9000 kg/ cm ²	10000 kg/ cm ²	10.9	
نیم رزوه	اصطکاکی	9000 kg/ cm ²	10000 kg/ cm ²	10.9	DIN6914- HV

ردہ مقاومتی پیچ ہا

تنش مجاز کششی F_y	استحکام کششی نهایی F_U	کد پیچ
3000 kg/cm^2	4200 kg/cm^2	A 307
$d < 25\text{mm}$, 6400 kg/cm^2	$d < 25\text{mm}$, 8250 kg/cm^2	A 325
$d \geq 25\text{mm}$, 5600 kg/cm^2	$d \geq 25\text{mm}$, 7250 kg/cm^2	
9000 kg/cm^2	10000 kg/cm^2	A 490

مشخصات پیچ های تولید شده در ایران

جدول ۱۰-۹-۲-۶ مشخصات پیچ های تولید یا موجود در ایران

تنش کششی نهایی مصالح پیچ (F_u)	تنش تسلیم مصالح پیچ (F_y)	نام استاندارد		نوع پیچ
		ISO	ASTM	
۴۰۰ MPa	۲۴۰ MPa	-	A۳۰۷	پیچ های معمولی
۴۰۰ MPa	۲۴۰ MPa	۴.۶	-	
۴۲۰ MPa	۳۲۰ MPa	۴.۸	-	
۵۰۰ MPa	۳۰۰ MPa	۵.۶	-	
۵۲۰ MPa	۴۰۰ MPa	۵.۸	-	
۶۰۰ MPa	۴۸۰ MPa	۶.۸	-	
۸۰۰ MPa	-		A۳۲۵ $d \leq 24\text{mm}$	پیچ های پر مقاومت
۷۲۵ MPa	-	-	A۳۲۵ $d > 24\text{mm}$	
۱۰۰۰ MPa	-	-	A۴۹۰	
۸۰۰ MPa	-	۸.۸		
۱۰۰۰ MPa	-	۱۰.۹		
۱۲۰۰ MPa	-	۱۲.۹		

نیروی پیش تنیدگی

نیروی پیش تنیدگی در ویرایش های قدیمی (اروپا)

$$\begin{aligned} T_m &= 0.55F_u \\ A_n \end{aligned}$$

$$Load = 0.55F_u \left(\frac{\pi D^2}{4} \right) = 0.43F_u D^2$$

نیروی پیش تنیدگی در RCSC (آمریکا)

$$T_m = 0.7F_u$$

$$A_s = 0.7854(D - 0.9382P)^2$$

$$Load = 0.55F_u(D - 0.9328P)^2$$

D قطر اسمی و P گام پیچ است.

بار دوام یا نیروی پیش تنیدگی

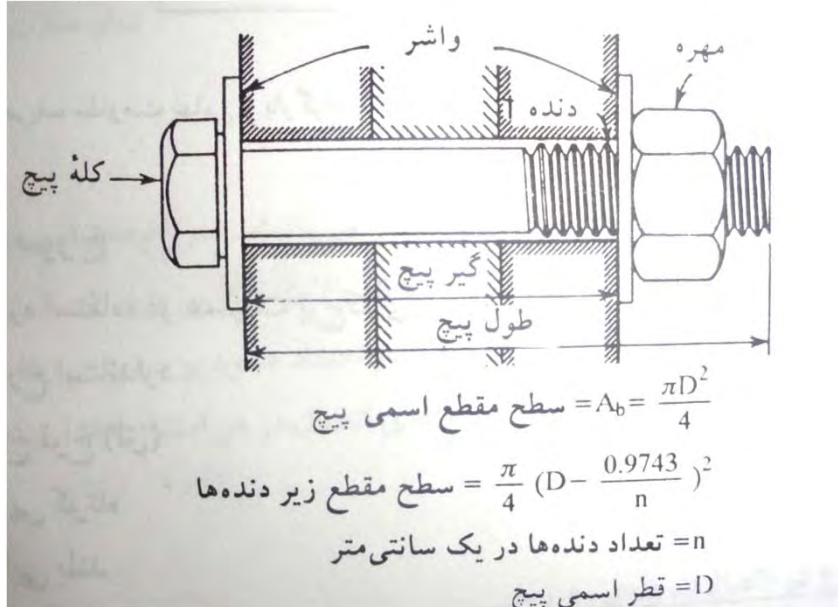
بار دوام برای پیچ های پر مقاومت در ضوابط ایران برابر است با :
 (جدول ۱۰-۹-۲-مبحث دهم)

$$T_i = 0.55 F_u \cdot A_b$$

: بار دوام T_i

: سطح مقطع اسمی پیچ A_b

: تنش نهایی مصالح پیچ F_u



بار دوام (حداقل نیروی پیش‌تنیدگی) پیچ‌ها از جدول زیر معین می‌شود (مبحث دهم ۹۲):

جدول ۷-۹-۲-۱۰ حداقل نیروی پیش‌تنیدگی در اتصالات اصطکاکی (T_b)

پیچ‌های نوع A۴۹۰	پیچ‌های نوع A۳۲۵	قطر اسمی پیچ (بر حسب میلی‌متر)
۱۱۴ kN	۹۱ kN	M۱۶
۱۷۹ kN	۱۴۲ kN	M۲۰
۲۲۱ kN	۱۷۶ kN	M۲۲
۲۵۷ kN	۲۰۵ kN	M۲۴
۳۳۴ kN	۲۶۷ kN	M۲۷
۴۰۸ kN	۳۲۶ kN	M۳۰
۵۹۵ kN	۴۷۵ kN	M۳۶

تبصره: در مواردی که قطر اسمی پیچ غیر از اعداد ذکر شده در جدول ۷-۹-۲-۱۰ باشد، حداقل نیروی پیش‌تنیدگی را می‌توان برابر $\frac{55}{7}A_{eb}F_u$ (که معادل $0.78A_{nb}F_u$ است) در نظر گرفت، که در آن A_{nb} سطح مقطع اسمی پیچ، A_{eb} سطح مقطع خالص یا سطح مقطع زیر دندانه‌ها و F_u تنش کششی نهایی مصالح پیچ است.

روش های پیش تنیدن

روش های پیش تنیدن در اتصالات اصطکاکی

نظر به اهمیت این موضوع، مطالعات و تحقیقات گسترده ای در کشورهای پیشرفته دنیا صورت پذیرفته است و روش های مختلفی به منظور کنترل کیفیت اجرای اتصال پیشنهاد شده است که روش های زیر مورد تایید کمیته RCSC است:



1. استفاده از Calibrated Wrench
2. استفاده از DTI Washer
3. استفاده از Twist-off-Bolt
4. بکارگیری روش Turn-of-Nut

روش های پیش تنیدن



ترک متر

روش استفاده از ترک متر





واشرهای DTI



واشرهای (DTI)



واشرهای Direct Tension Indicator (DTI)

فیلر کنترل

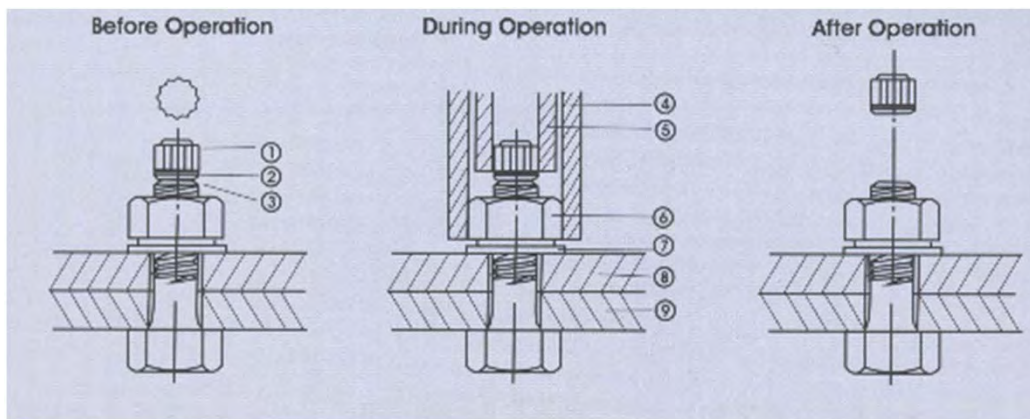
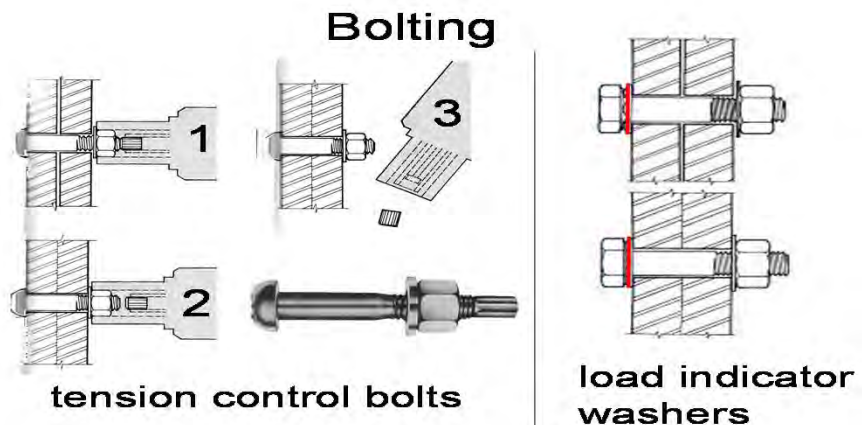


چرخش اضافی جهت پیش تنیدن

مقادیر چرخش اضافی مهره

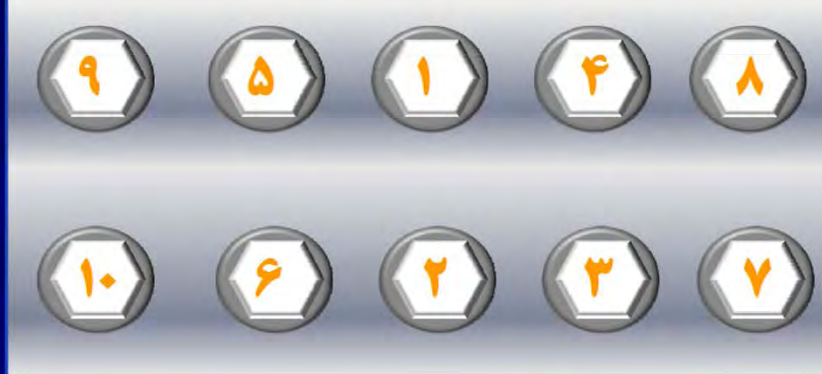
طول پیچ	وضعیت قرارگیری سطوح اتصال بر روی هم			
	سطوح روی هم بدون شیب	یک سطح شیبدار با شیب کمتر از ۱:۲۰	هردو سطح شیبدار با شیب کمتر از ۱:۲۰	
طول پیچ کوچکتر یا مساوی چهار برابر قطر پیچ	۱/۳ دور	۱/۲ دور	۲/۳ دور	
طول پیچ از چهار برابر قطر بزرگتر اما کوچکتر یا مساوی هشت برابر قطر پیچ	۱/۲ دور	۲/۳ دور	۵/۶ دور	
طول پیچ از هشت برابر قطر بزرگتر اما کوچکتر یا مساویدوازده برابر قطر پیچ	۲/۳ دور	۵/۶ دور	۱ دور	

TC-BOLT



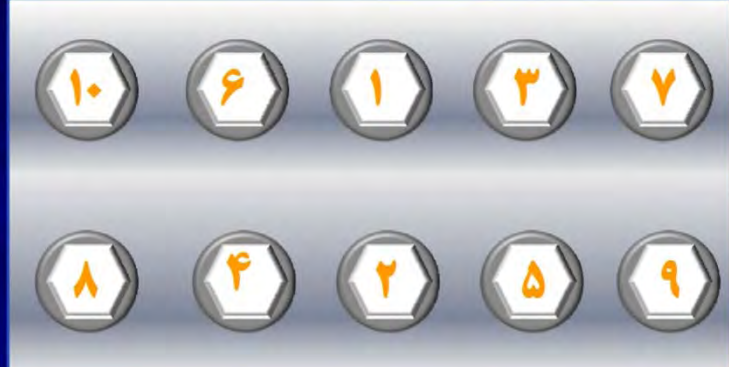
نحوه بستن پیچ ها

Spiral Tightening Sequence



حرکت حلقه ای شکل

Criss-Cross Tightening Sequence



حرکت ضربه ای

نکات پیچ ها و جوش ها

ترکیب پیچ و جوش: اگر اتصال اتکایی باشد، کل نیرو را جوش تحمل می کند (پیچ ها به درد نمی خورند)
اگر اتصال اصطکاکی باشد، جوش و پیچ در تحمل نیرو سهیم هستند (اگر سازه موجود با اتصال اصطکاکی را با
جوش تقویت کنیم، می توان فرض کرد جوش تنש های اضافی را تحمل می کند)

در اتصالات لرزه گیر کدام نوع اتصال باید استفاده شود:

تنها اصطکاکی

در اتصالات با بارگذاری متناوب (خستگی) کدام نوع اتصال باید استفاده شود:

تنها اصطکاکی

از پیچ معمولی در کدام نوع اتصال می توان استفاده کرد؟

تنها اتکایی

از پیچ اعلا در کدام نوع اتصال می توان استفاده کرد؟

هم اتکایی و هم اصطکاکی

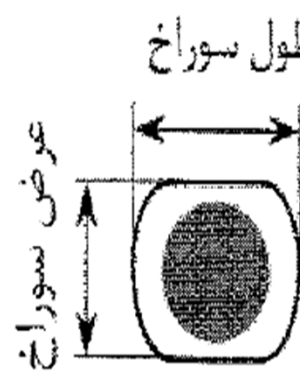
أنواع سوراخ ها در اتصالات پیچی



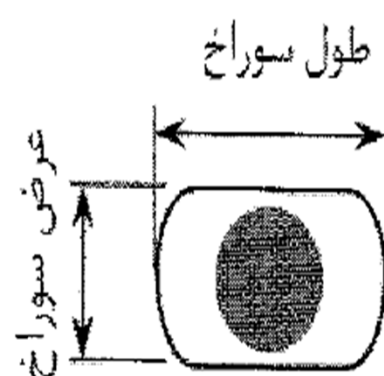
قطر سوراخ
سوراخ استاندارد



قطر سوراخ
سوراخ بزرگ شده



طول سوراخ
سوراخ لوپیایی کوتاه



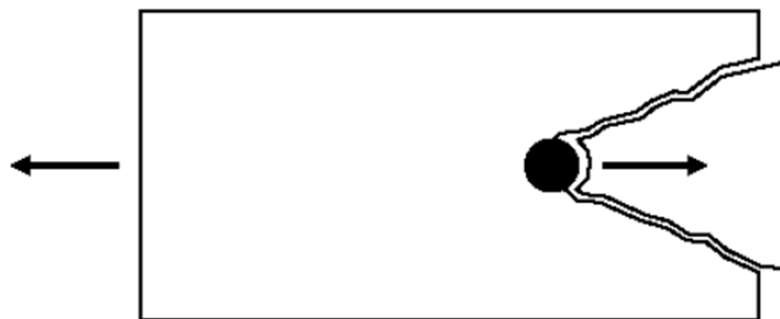
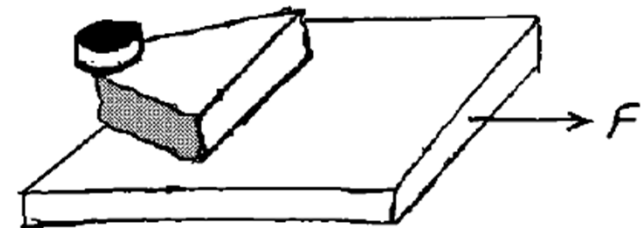
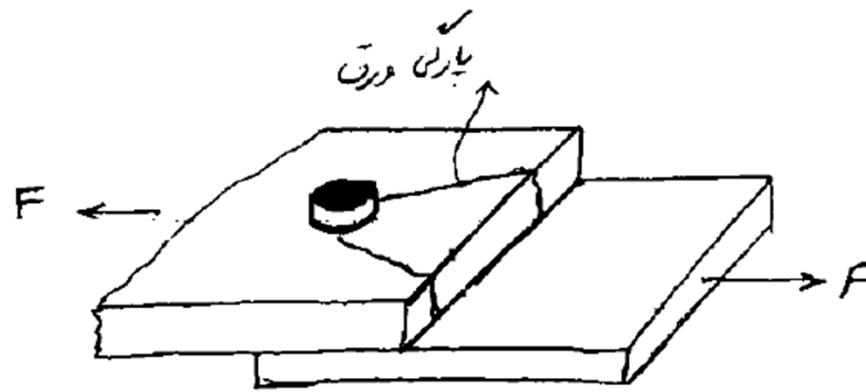
طول سوراخ
سوراخ لوپیایی بلند

ابعاد اسمی سوراخ ها

جدول ۸-۹-۱۰ ابعاد اسمی سوراخ پیچ بر حسب میلی متر

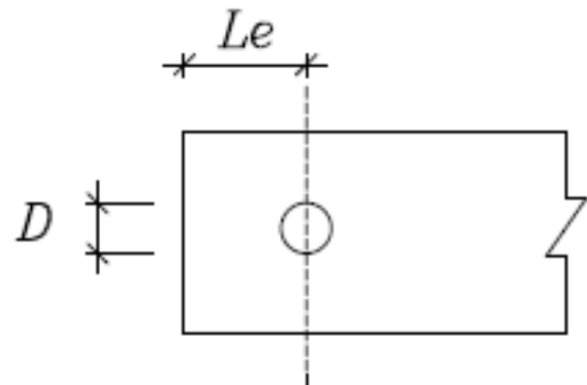
ابعاد اسمی سوراخ (mm)				قطر پیچ (mm)
سوراخ لوبيایي بلند (طول×عرض)	سوراخ لوبيایي کوتاه (طول×عرض)	سوراخ بزرگ شده	سوراخ استاندارد	
۱۸×۴۰	۱۸×۲۲	۲۰	۱۸	M16
۲۲×۵۰	۲۲×۲۶	۲۴	۲۲	M20
۲۴×۵۵	۲۴×۳۰	۲۸	۲۴	M22
۲۷×۶۰	۲۷×۳۲	۳۰	۲۷	M24
۳۰×۶۷	۳۰×۳۷	۳۵	۳۰	M27
۳۳×۷۵	۳۳×۴۰	۳۸	۳۳	M30
(d+۳)×۲/۵ d	(d+۳) × (d+10)	d+8	d+3	≥M36

حداقل و حداکثر فواصل سوراخ استاندارد از لبه



Insufficient edge distance

حداقل و حداکثر فاصله سوراخ استاندارد از لبه



جدول ۸-۹-۲-۱۰ حداقل فاصله مرکز سوراخ استاندارد تا لبه در هر راستا

لبه نورد شده ورق-نیمرخ، تسمه و نیز لبه بریده شده با شعله اتوماتیک یا اره	لبه بریده شده با قیچی (گیوتین)
۱/۷۵d	۲d

d = قطر اسمی پیچ

ث) حداکثر فاصله مرکز سوراخ تا لبه

حداکثر فاصله از مرکز هر پیچ تا نزدیکترین لبه قطعه در هر راستا به شرح زیر است.

۱. برای قطعاتی که تحت اثر خوردگی کم و متوسط ناشی از عوامل جوی قرار داشته باشند، فاصله از مرکز هر پیچ تا نزدیکترین لبه قطعه در هر راستا نباید از ۱۲ برابر ضخامت نازکترین قطعه و همچنین از ۱۵۰ میلی متر تجاوز کند.

۲. برای قطعاتی که تحت اثر خوردگی شدید ناشی از عوامل جوی قرار داشته باشند، فاصله از مرکز هر پیچ تا نزدیکترین لبه قطعه در هر راستا نباید از ۸ برابر ضخامت نازکترین قطعه و همچنین ۱۲۵ میلی متر تجاوز کند.

حداقل و حداقل فاصله مرکز به سوراخ ها

پ) حداقل فواصل سوراخ پیچها در اتصالات پیچی

فاصله مرکز تا مرکز سوراخهای استاندارد، سوراخهای بزرگ شده و سوراخهای لوبيایی نباید از ۳ برابر قطر وسیله اتصال کمتر باشد.

ج) حداقل فاصله مرکز سوراخها در اتصالات پیچی

حداکثر فاصله مرکز تا مرکز سوراخها در اتصالات پیچی در هر راستا به شرح زیر است.

۱. برای قطعاتی که تحت اثر خوردگی کم و متوسط ناشی از عوامل جوی قرار داشته باشند، فاصله بین مرکز سوراخها نباید از ۲۴ برابر ضخامت نازکترین قطعه متصل شونده و همچنین از ۳۰۰ میلی متر تجاوز کند.

۲. برای قطعاتی که تحت اثر خوردگی شدید ناشی از عوامل جوی قرار داشته باشند، فاصله بین مرکز سوراخها نباید از ۱۴ برابر ضخامت نازکترین قطعه متصل شونده و همچنین از ۲۰۰ میلی متر تجاوز کند.

تنش های قراردادی

تنش های قراردادی :

$$f_v = \frac{P}{m(\frac{\pi}{4} D^2)} \leq F_v \quad (\text{مقاومت برشی})$$

$$P = \frac{T}{n}$$

m : تعداد سطوح برش

P : بار یک پیچ

t : ضخامت ورق

T : نیروی کششی اتصال

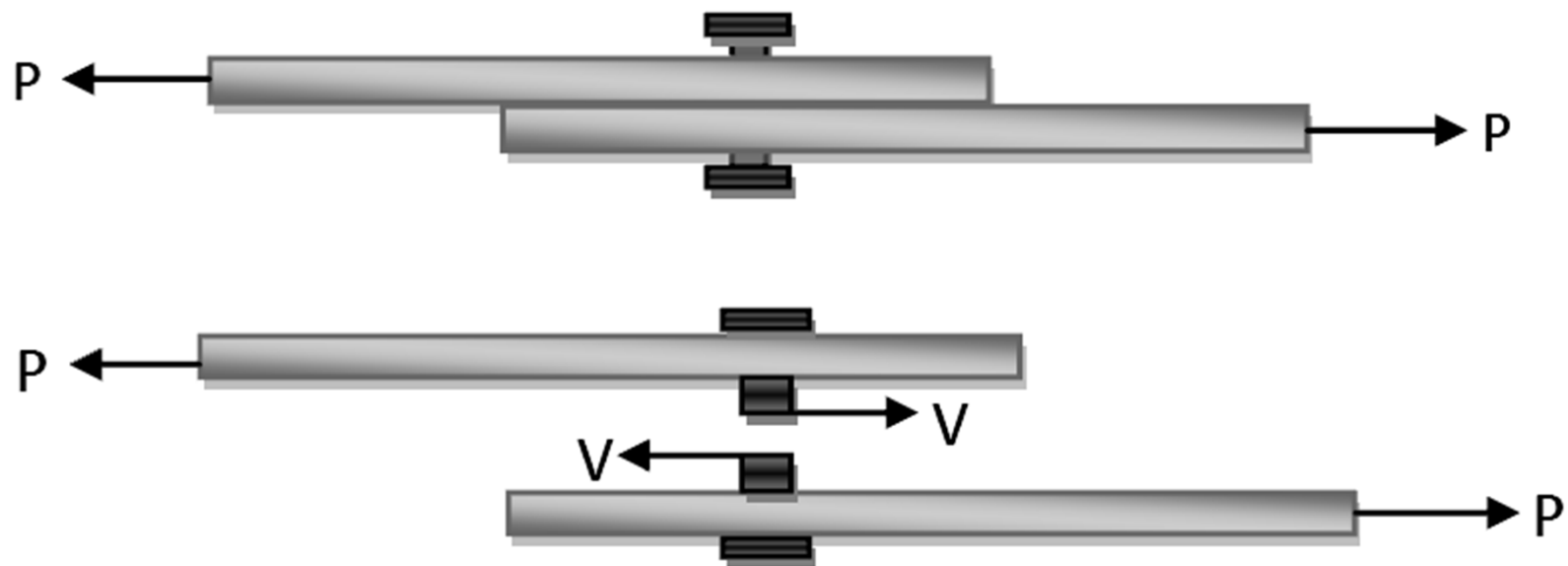
D : قطر محاسباتی پیچ

n : تعداد پیچ ها

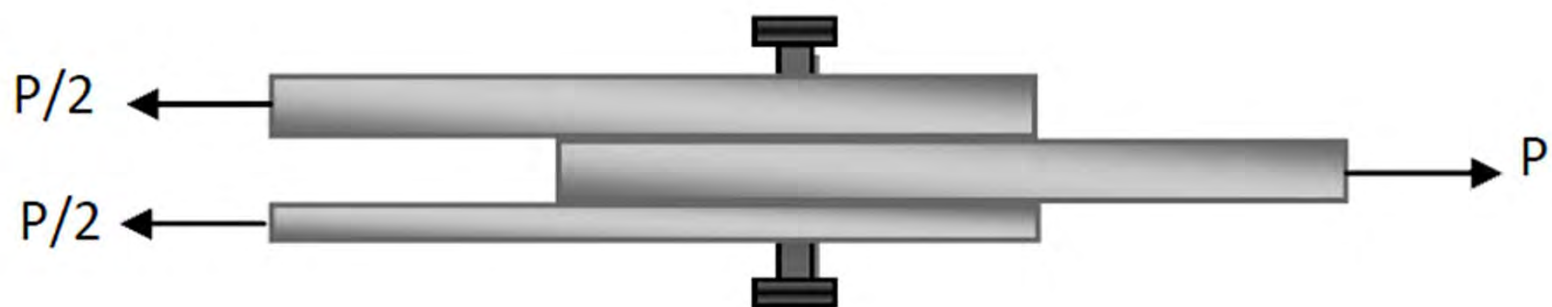
$$f_t = \frac{P}{\frac{\pi \cdot D^2}{4}} \leq F_t \quad (\text{مقاومت کششی})$$

$$f_p = \frac{P}{D \cdot t} \leq F_p \quad (\text{ مقاومت اتکایی })$$

تک برشه



دو برشه



اتصالات اتکایی

در اتصالات اتکایی، مقاومت کششی طراحی (ϕR_{nt}) و مقاومت برشی طراحی (ϕR_{nv}) پیچ‌ها و قطعات دندانه‌شده از روابط زیر تعیین می‌گردند.

$$\phi R_{nt} = \phi F_{nt} A_{nb} \quad (4-9-2-10)$$

$$\phi R_{nv} = \phi F_{nv} A_{nb} \quad (5-9-2-10)$$

در روابط فوق:

ϕ = ضریب کاهشی مقاومت و مساوی ۷۵٪ می‌باشد.

R_{nt} = مقاومت کششی اسمی

R_{nv} = مقاومت برشی اسمی

A_{nb} = سطح مقطع اسمی وسیله اتصال (پیچ یا قطعه دندانه‌شده)

F_{nt} = تنش کششی اسمی مطابق مقادیر جدول ۱۰-۹-۲-۱۰

F_{nv} = تنش برشی اسمی مطابق مقادیر جدول ۱۰-۹-۲-۱۰

اتصالات اتکایی

جدول ۱۰-۹-۲ تنش اسمی (پیچ و قطعات دندانه شده)

اتصالات اتکایی	تنش برشی اسمی (F_{nv}) در اتصالات اتکایی	تنش کششی اسمی (F_{nt})	نوع وسیله اتصال
$\cdot /45F_u^{[5],[2]}$	$\cdot /75F_u^{[1],[2]}$		پیچ‌های معمولی
$\cdot /45F_u^{[5]}$	$\cdot /75F_u^{[4]}$		پیچ‌های پر مقاومت در حالتی که سطح برش از قسمت دندانه شده می‌گذرد
$\cdot /55F_u^{[5]}$	$\cdot /75F_u^{[4]}$		پیچ‌های پر مقاومت در حالتی که سطح برش از قسمت دندانه شده نمی‌گذرد
$\cdot /45F_u$	$\cdot /75F_u^{[1],[6]}$		قطعه دندانه شده طبق مشخصات تعیین شده، در حالتی که سطح برش از قسمت دندانه شده می‌گذرد
$\cdot /55F_u$	$\cdot /75F_u^{[1],[6]}$		قطعه دندانه شده طبق مشخصات تعیین شده، در حالتی که سطح برش از قسمت دندانه شده نمی‌گذرد

برای میل مهارهای کف ستون

اتصالات اتکایی

۱۰-۲-۹-۳-۴ اثر مشترک کشش و برش در اتصالات اتکایی

مقاومت کششی طراحی و برشی طراحی پیچهای تحت اثر توأم کشش و برش باید بر اساس
حالتهای حدی گسیختگی کششی و برشی مطابق روابط زیر تعیین شود.

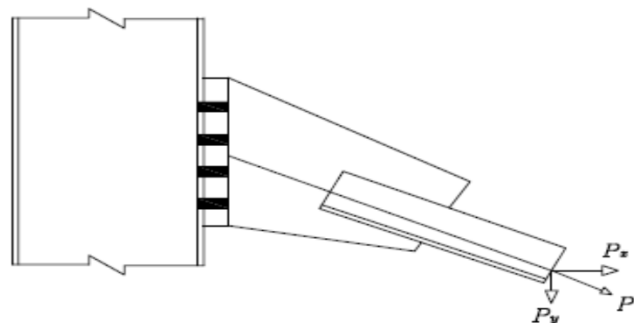
$$\phi R_{nt} = \phi F'_{nt} A_{nb} \quad (6-9-2-10)$$

$$\phi R_{nv} = \phi F'_{nv} A_{nb} \quad (7-9-2-10)$$

که در آن:

$$F'_{nt} = F_{nt} \left[1/\gamma - \frac{f_{uv}}{\phi F_{nv}} \right] \leq F_{nt} \quad (8-9-2-10)$$

$$F'_{nv} = F_{nv} \left[1/\gamma - \frac{f_{ut}}{\phi F_{nt}} \right] \leq F_{nv} \quad (9-9-2-10)$$



اتصالات اتکایی

ϕ = ضریب کاهشی مقاومت و مساوی ۰/۷۵ می باشد.

F_{nt} = مقاومت کششی اسمی مطابق جدول ۱۰-۹-۲-۱۰ وقتی که نیروی کششی به تنها یی عمل نماید.

F_{nv} = مقاومت برشی اسمی مطابق جدول ۱۰-۹-۲-۱۰ وقتی که نیروی برشی به تنها یی عمل نماید.

f_{uv} = تنش برشی مورد نیاز

f_{ut} = تنش کششی مورد نیاز

A_{nb} = سطح مقطع اسمی پیچ

تبصره: در مواردی که تنش کششی یا برشی مورد نیاز کمتر از ۳۰ درصد تنش طراحی متناظر

باشد ($f_u \leq 0.3\phi F_n$)، منظور کردن رابطه اندرکنش لازم نیست.

اتصالات اصطکاکی

۱۰-۲-۹-۳-۵ مقاومت کششی طراحی و برشی طراحی در اتصالات اصطکاکی

مقاومت کششی طراحی پیچ‌های پر مقاومت در اتصالات اصطکاکی عیناً مشابه مقاومت کششی طراحی پیچ‌های پر مقاومت در اتصالات اتکایی بوده و از ضوابط بند ۱۰-۲-۹-۳-۳ تعیین می‌گردد. مقاومت برشی طراحی پیچ‌های پر مقاومت در اتصالات اصطکاکی بر اساس کنترل لغزش بحرانی تعیین می‌گردد. مقاومت برشی طراحی پیچ‌های پر مقاومت در اتصالات اصطکاکی بر اساس کنترل لغزش بحرانی مساوی ϕR_{nv} می‌باشد که در آن، ϕ ضریب کاهش مقاومت و R_{nv} مقاومت برشی اسمی به شرح زیر می‌باشد.

اتصالات اصطحکاکی

$$R_{nv} = \mu D_u h_f T_b n_s \quad (10-9-2-10)$$

که در آن:

ϕ = ضریب کاهش مقاومت به شرح زیر:

- برای سوراخ‌های استاندارد و سوراخ لوبیایی کوتاه در امتداد عمود بر راستای نیرو $\phi = 1$
- برای سوراخ‌های بزرگ‌شده و سوراخ لوبیایی کوتاه در امتداد موازی با راستای نیرو $\phi = 0.85$
- برای سوراخ‌های لوبیایی بلند $\phi = 0.7$

اتصالات اصطحکاکی

μ = ضریب اصطکاک به شرح زیر:

• برای وضعیت سطحی کلاس A (سطح فلسفدار تمیز و رنگ شده): $\mu = 0/3$

• برای وضعیت سطحی کلاس B (سطح تمیز شده با ماسه پاشی و رنگ نشده): $\mu = 0/5$

D_u = نسبت پیش تنبیدگی متوسط پیچها به پیش تنبیدگی حداقل پیچها و مساوی $1/13$
 h_f = ضریب کاهش بخاطر وجود ورقهای پرکننده در بین قطعات متصل به یکدیگر به شرح زیر:

• در صورت عدم نیاز به ورقهای پرکننده در بین قطعات متصل به یکدیگر مساوی ۱

• در صورت استفاده فقط از یک ورق پرکننده در بین قطعات متصل به یکدیگر مساوی ۱

• در صورت استفاده از دو یا تعداد بیشتری از ورقهای پرکننده در بین قطعات متصل به یکدیگر مساوی $0/85$

T_b = حداقل نیروی پیش تنبیدگی پیچ طبق مقادیر جدول ۱۰-۲-۹-۷

n_s = تعداد صفحات لغزش

اتصالات اصطحکاکی



اتصالات اصطحکاکی

۱۰-۲-۹-۳-۶ اثر مشترک کشش و برش در اتصالات اصطحکاکی

در اتصالات اصطحکاکی، در صورت وجود توأم نیروی کششی و برشی، مقاومت برشی اسمی بر اساس کنترل لغزش طبق رابطه ۱۰-۹-۲-۱۰ باید به شرح زیر در ضریب کاهش k_{sc} ضرب گردد.

$$k_{sc} = 1 - \frac{T_u}{D_u T_b n_b} \quad (11-9-2-10)$$

که در آن:

T_u = نیروی کششی مورد نیاز

D_u = نسبت پیش‌تنیدگی متوسط پیچ‌ها به پیش‌تنیدگی حداقل پیچ‌ها و مساوی ۱/۱۳

T_b = حداقل نیروی پیش‌تنیدگی پیچ طبق جدول ۷-۹-۲-۱۰

n_b = تعداد پیچ‌هایی که نیروی کششی را تحمل می‌کنند.

مقاومت اتكايني

۷-۳-۹-۲-۱۰ مقاومت اتكايني در جدار سوراخ پيچ

مقاومت اتكايني طراحى در جدار سوراخ پيچ در اتصالات اتكايني و اصطکاكى مساوى ϕR_n مى باشد که در آن ϕ ضريرب کاهش مقاومت برابر $75/0$ و R_n مقاومت اتكايني اسمى مى باشد که بر اساس حالت حدی اتكايني برای حالت هاي مختلف به شرح زير تعبيين مى گردد.

۱. برای سوراخ استاندارد، سوراخ بزرگ شده، سوراخ لوبیايني کوتاه و سوراخ لوبیايني بلند در حالتی که نiero در امتداد طولی باشد:

$$R_n = 1/2 I_c t F_u \leq 2/4 d t F_u \quad (12-9-2-10)$$

۲. برای سوراخ لوبیايني بلند در حالتی که نiero در امتداد عرضی باشد (محور شکاف عمود بر امتداد نiero باشد)

$$R_n = 1/0 I_c t F_u \leq 2/0 d t F_u \quad (13-9-2-10)$$

مقاومت اتکایی

در روابط فوق:

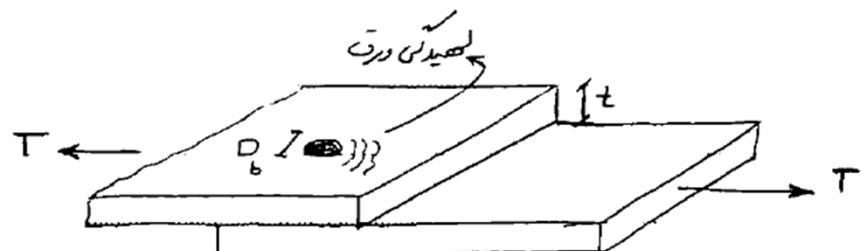
d = قطر اسمی پیچ

F_u = تنش کششی نهایی مصالح ورق اتصال

t = ضخامت قطعه اتصال

l_c = فاصله خالص در راستای نیرو، بین لبه سوراخها برای سوراهای میانی

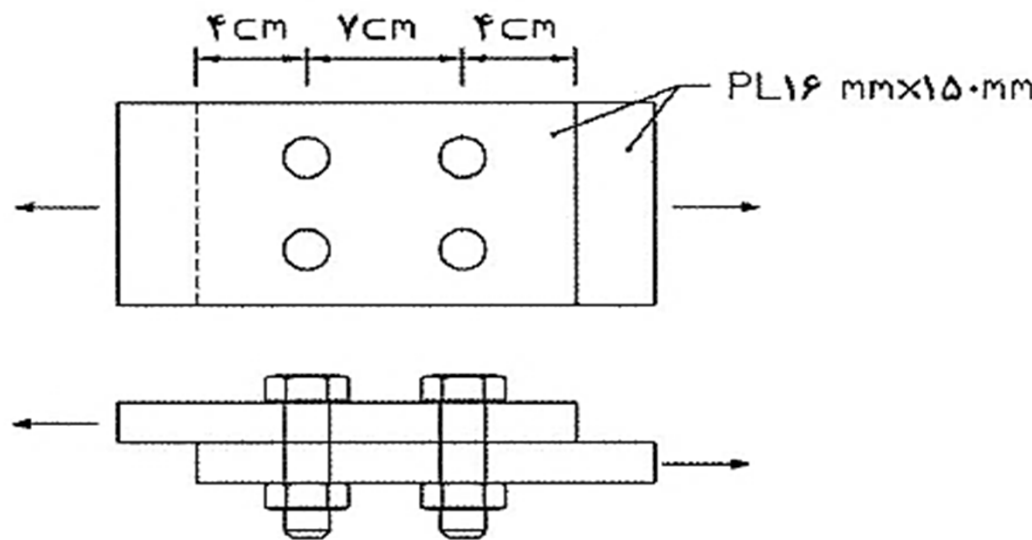
= فاصله خالص در راستای نیرو، بین لبه سوراخ تا لبه آزاد ورق اتصال برای سوراهای انتهایی



مثال

مثال: مقاومت کششی اتصال نشان داده با پیچ M22 و نوع A325 و سوراخ استاندارد را برای حالات زیر بدست آورید.

- الف) اتصال اتکایی و رزوه پیچ در صفحه برش قرار دارد
- ب) اتصال اتکایی و رزوه پیچ در صفحه برش قرار ندارد.
- پ) اتصال اصطحکاکی



حل مثال

ابتدا فاصله سوراخها از یکدیگر و تالبه عضو بر اساس ضوابط آییننامه بررسی می‌شود.

M۲۲

$$3d = 3(2/2) = 6/6 \text{ cm} < 7 \text{ cm}$$

با فرض لبه برش داده شده،

$$38 \text{ mm} < 40 \text{ mm}$$

قطر سوراخ استاندارد برابر است با،

$$d_h = 24 \text{ mm}$$

قطر سوراخ در محاسبات باید 2 mm بیشتر از قطر سوراخ قرار داده شود.

$$d_h = 24 + 2 = 26 \text{ mm}$$

حل مثال

$$A_g = (1/6)(15) = 24 \text{ cm}^2$$

$$A_n = 24 - 2(2/6)(1/6) = 15/7 \text{ cm}^2$$

$$A_n = 0/85(24) = 20/4 \text{ cm}^2$$

$$A_e = A_n = 15/7 \text{ cm}^2$$

محاسبه مقاومت کششی ورق:

مقاومت کششی طراحی در اثر تسلیم فولاد در سطح مقطع کل تعیین می‌گردد.

$$P_n = F_y A_g$$

$$P_n = (2/4)(24) = 57/6 t$$

$$\phi_t P_n = (0/9)(57/6) = 51/8 t$$

مقاومت کششی طراحی در اثر مقاومت نهایی فولاد در سطح مقطع موثر خالص نیز به دست می‌آید.

$$P_n = F_u A_e$$

$$P_n = (3/7)(15/7) = 58/1 t$$

$$\phi_t P_n = (0/75)(58/1) = 43/6 t$$

مقاومت نهایی فولاد کنترل کننده است.

در مورد اتصالات پیچی معمولاً مقاومت نهایی فولاد کنترل کننده است.

حل مثال

الف) مقاومت پیچ بررسی می شود.

$$R_n = F_n A_b$$

$$R_n = (4)(3/3)(3/\lambda) = 50/2$$

$$\phi R_n = (0/75)(50/2) = \underline{37/7t}$$

مقاومت اتکایی تعیین می گردد.

$$R_n = 1/5 L_c t F_u \leq 3dtF_u$$

$$(R_n)_b = 1/5(4 - 1/2)(1/6)(3/7) = 24/9t \leq 3(2/2)(1/6)(3/7) = 39/11t$$

$$\phi R_n = 4(0/75)(24/9) = 74/7t$$

مقاومت طراحی پیچ کنترل کننده است.

حل مثال

(ب)

$$R_n = (4)(4/14)(3/\lambda) = 62/9t$$

$$\phi R_n = (0/75)(62/9) = 47/2t$$

در این حالت، مقاومت ورق کنترل کننده است.

$$\phi_t P_n = \underline{43/6t}$$

(پ)

$$R_n = \mu D_u h_{sc} T_b N_s$$

$$T_b = 17/6t$$

$$R_n = 4(0/5)(1/12)(1)(17/6)(1) = 39/\lambda t$$

$$\phi R_n = (1)(39/\lambda) = \underline{39/\lambda t}$$

مقاومت طراحی پیچ کنترل کننده است.

حل مثال

الف) مقاومت پیچ بررسی می شود.

$$R_n = F_n A_b$$

$$R_n = (4)(3/3)(3/\lambda) = 50/2$$

$$\phi R_n = (0/75)(50/2) = \underline{37/7t}$$

مقاومت اتکایی تعیین می گردد.

$$R_n = 1/5 L_c t F_u \leq 3dtF_u$$

$$(R_n)_b = 1/5(4 - 1/2)(1/6)(3/7) = 24/9t \leq 3(2/2)(1/6)(3/7) = 39/11t$$

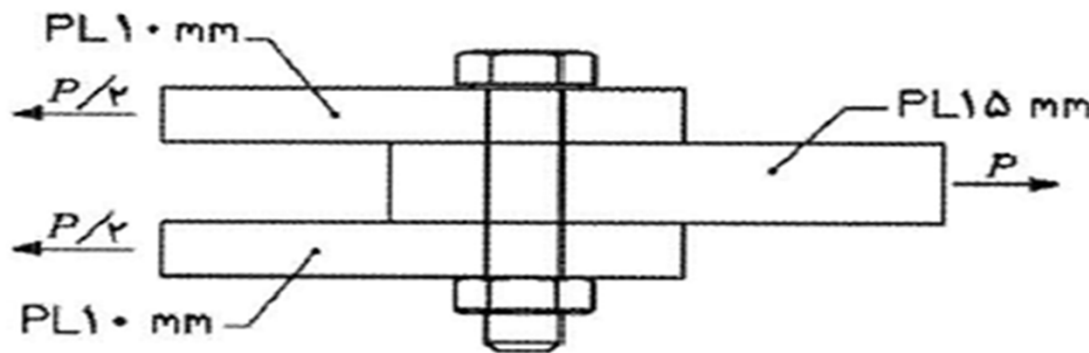
$$\phi R_n = 4(0/75)(24/9) = 74/7t$$

مقاومت طراحی پیچ کنترل کننده است.

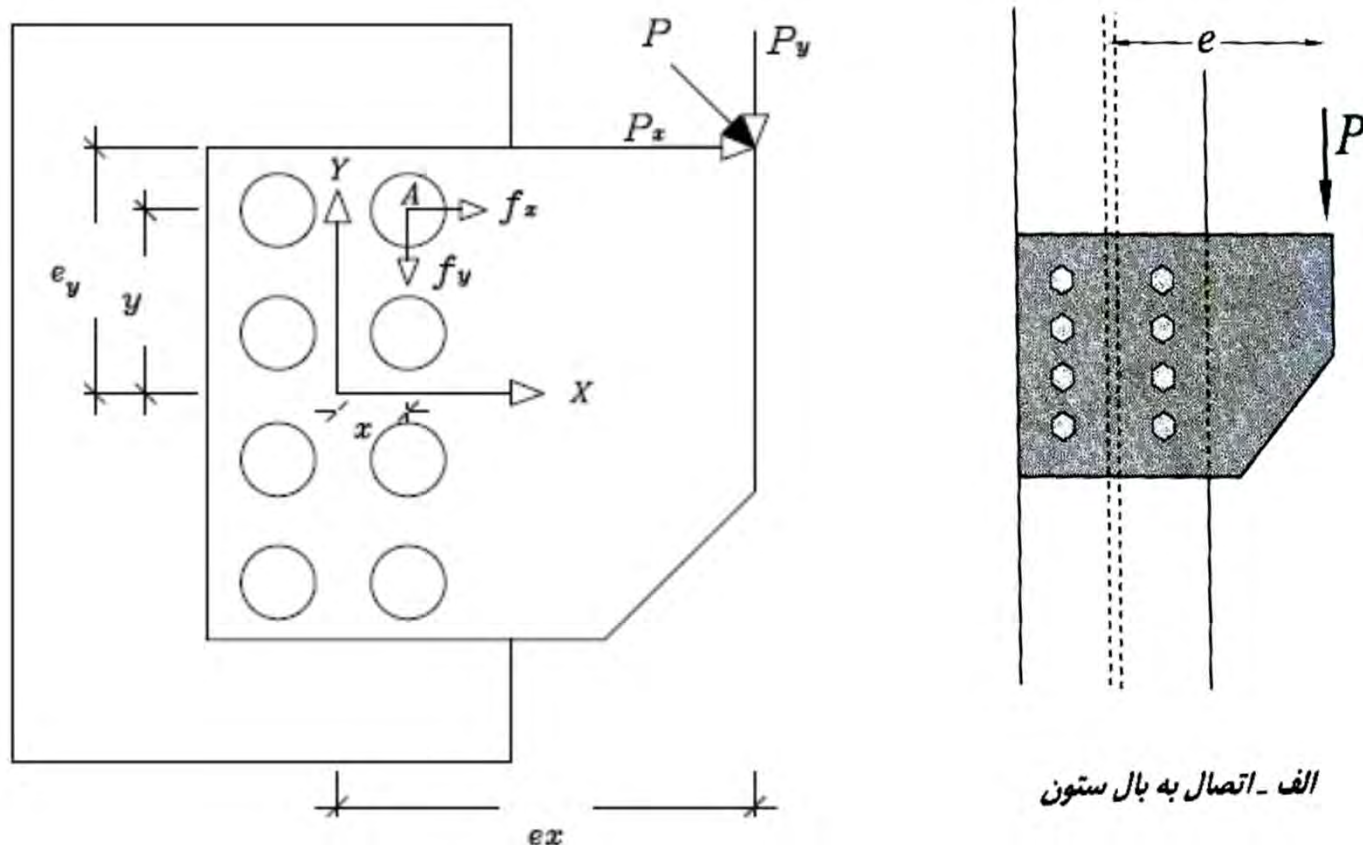
تمرین

مثال: تعداد پیچ مورد نیاز M22 از نوع A490 در اتصال شکل زیر برای یک ردیف را بدست آورید. مقدار بار مرده ۵۰ تن و بار زنده ۳۰ تن است. فولاد St-37 و سوراخ استاندارد است.

- الف) اتصال اتکایی و رزووه پیچ در صفحه برش قرار دارد.
- ب) اتصال اتکایی و رزووه پیچ در صفحه برش قرار ندارد.
- پ) اتصال اصطحکاکی



اثر توام برش و پیچش: (برش با خروج از مرکزیت)



روش حل

ابتدا تنشی های ناشی از برش را تعیین می نماییم:

$$\begin{cases} f_{vx} = \frac{P_{ux}}{\sum A_b} \\ f_{vy} = \frac{P_{uy}}{\sum A_b} \end{cases}$$

کلیه تعاریف مانند آنچه در بخش پرش گفته شده می باشد.

روش حل

پس از محاسبه تنش های ناشی از برش تنش های ناشی از پیچش را تعیین می نماییم این تنشها می باشد در پیچ بحرانی محاسبه گردند.

$$\begin{cases} f_{vx}' = \frac{T \cdot y}{I_p} \\ f_{vy}' = \frac{T \cdot x}{I_p} \end{cases}$$

لنگر پیچشی: $T = P_{ux} \cdot e_y \pm P_{uy} \cdot e_x$

فاصله افقی و قائم پیچ بحرانی تا مرکز سطح پیچ ها: x, y

ممان اینرسی قطبی: $I_p = A_b \sum (x_i^2 + y_i^2)$

فاصله افقی و قائم پیچ ها تا مرکز سطح پیچ ها: x_i, y_i

حال برآیند تنش ها را با تنش اسمی برشی مقایسه می نماییم:

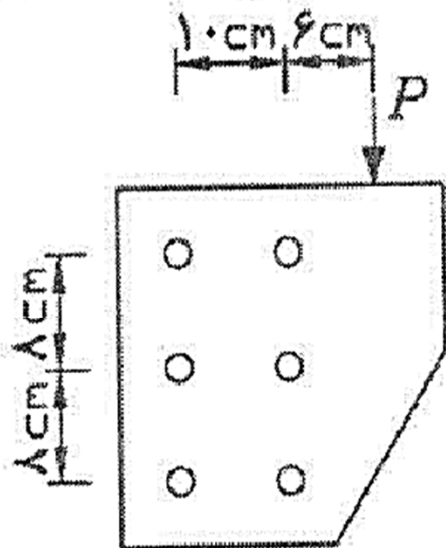
$$f_r = \sqrt{(f_{vx} \pm f_{vx}')^2 + (f_{vy} \pm f_{vy}')^2} \leq \varphi F_{nv}$$

تنش اسمی برشی مطابق جدول ۱۰-۲-۹-۱۰

ضریب تقلیل مقاومت: $\varphi = 0.75$

مثال

مثال ۷-۷ : اتصال نشان داده شده در شکل را در هر دو حالت اتصال اتکایی (رزوه پیچ در صفحه برش قرار ندارد) و اتصال اصطکاکی با استفاده از روش LRFD مورد بررسی قرار دهید. بارهای وارد P_l = ۸t، P_d = ۴t، پیچها M۲۰ و از نوع پر مقاومت A325 می باشند.



برای اتصال مورد نظر و با توجه به توضیحات فوق، پیچ سمت راست ردیفهای بالا و پایین تحت اثر بیشترین مقدار تنش قرار دارند. تنش در پیچهای بخرازی بررسی می شود.

$$P_u = 1/2(4) + 1/6(8) = 17/6t$$

حل مثال

$$e = 6 + 5 = 11 \text{ cm}$$

$$T_u = (17/6)(11) = 193/6 \text{ t/cm}$$

$$f_s = \frac{17/6}{6(3/14)} = 0.934 \text{ t/cm}^2$$

$$\sum x^r + \sum y^r = 6(5)^r + 4(8)^r = 40.6 \text{ cm}^r$$

$$f_{nx} = \frac{(193/6)(8)}{(3/14)(40.6)} = 1/21.5 \text{ t/cm}^r$$

$$f_{ny} = \frac{(193/6)(5)}{(3/14)(40.6)} = 0.759 \text{ t/cm}^r$$

حداکثر تنش به دست می‌آید.

$$f_{\max} = \sqrt{(1/21.5)^r + (0.759)^r} = 2/0.8 \text{ t/cm}^r$$

حل مثال

اتصال اتکایی (رزوه پیج در صفحه برش قرار دارد):

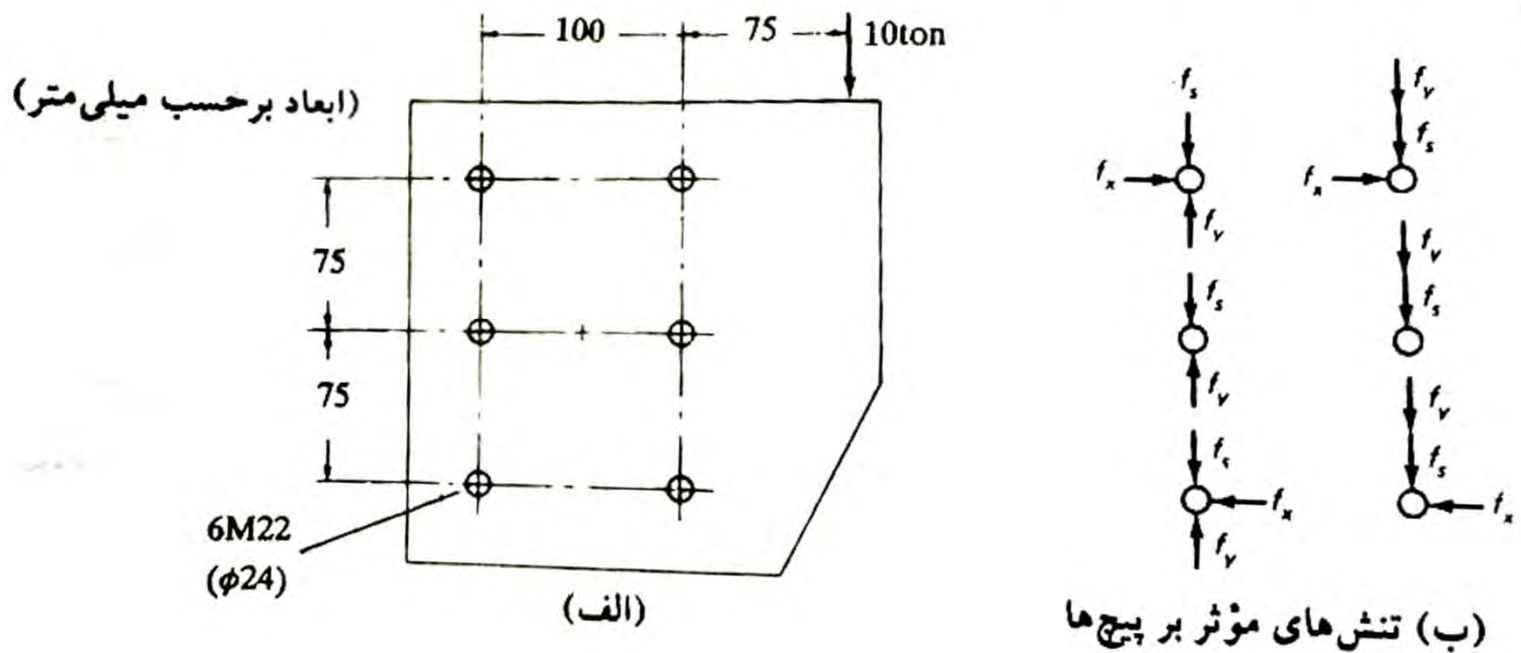
$$2/0.8 \text{ t/cm}^2 < (0/75)(4/14) = 2/11 \text{ t/cm}^2$$

اتصال اصطکاکی:

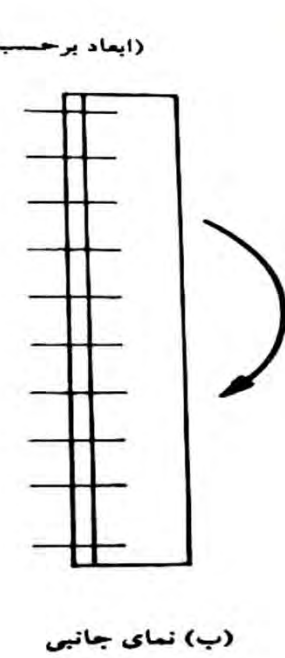
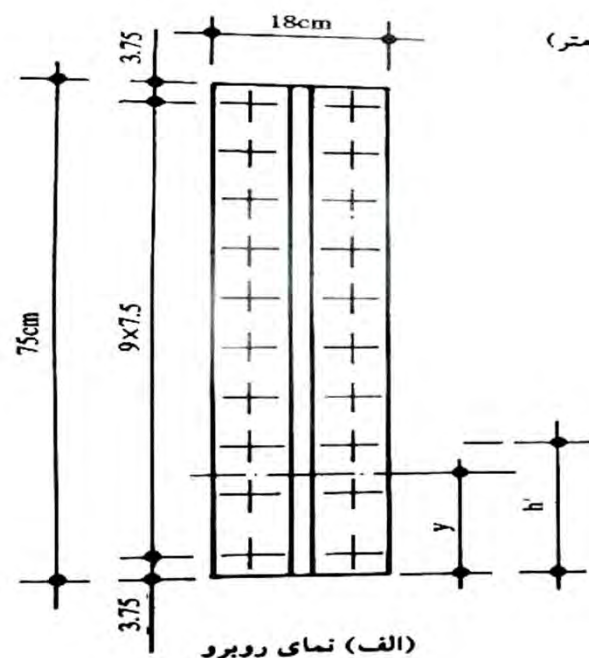
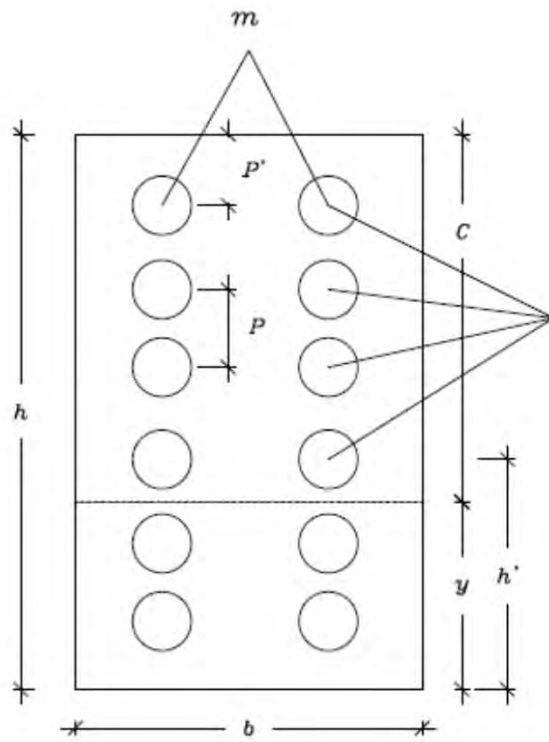
$$2/0.8 \text{ t/cm}^2 < \frac{(1)(0/5)(1/13)(1)(14/2)(1)}{2/14} = 2/56 \text{ t/cm}^2$$

تمرین

مثال: اتصال شکل زیر را برای حالت اتکایی و اصطحکاکی کنترل نمایید. پیچ‌ها از نوع پر مقاومت 8.8 می باشند. فرض نمایید که صفحه برش خارج از ناحیه دندنه شده پیچ‌ها می باشد و کنترل تنش لهیدگی در ورق لازم نیست.

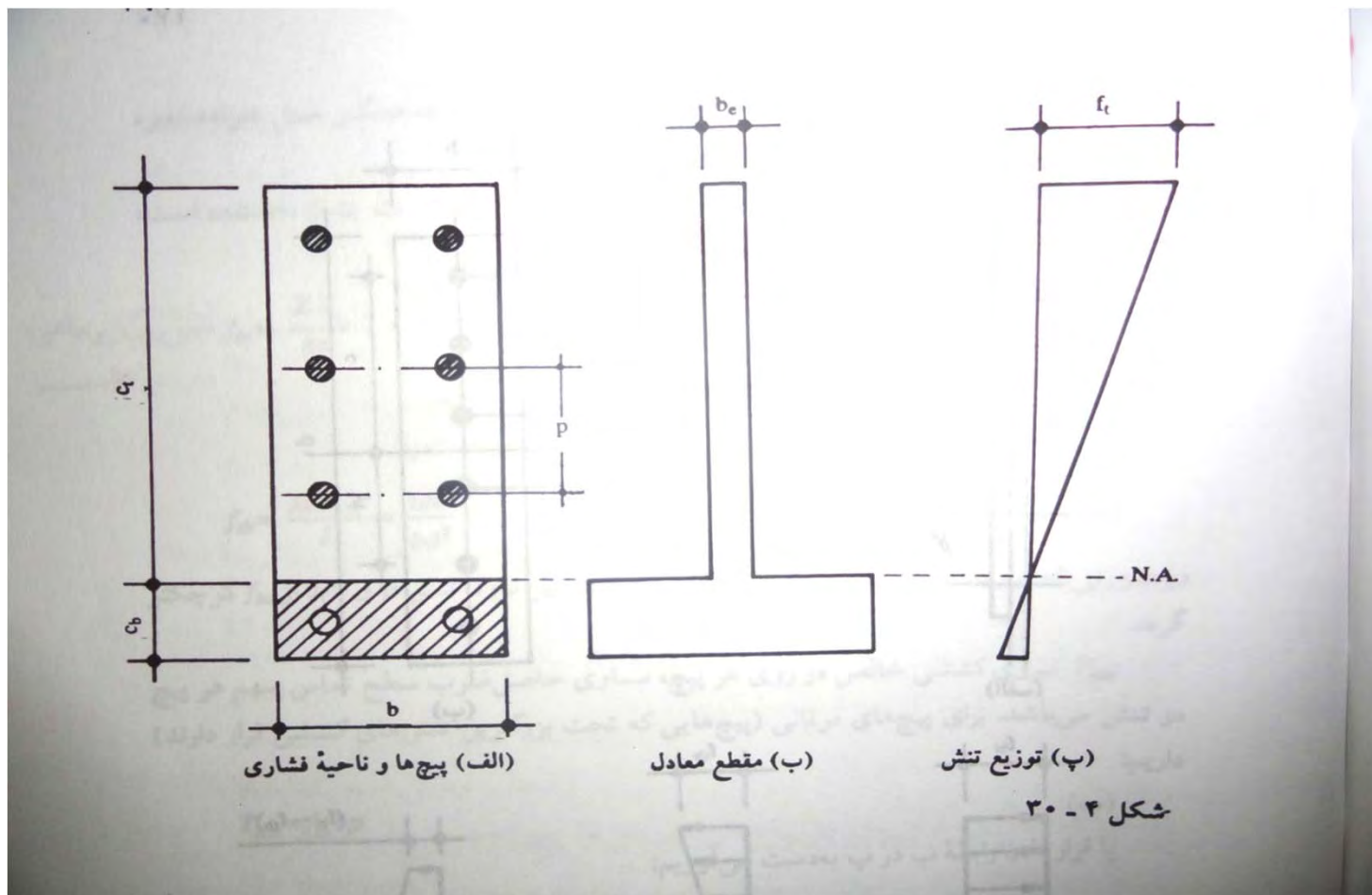


اتصالات پیچی تحت اثر خمش

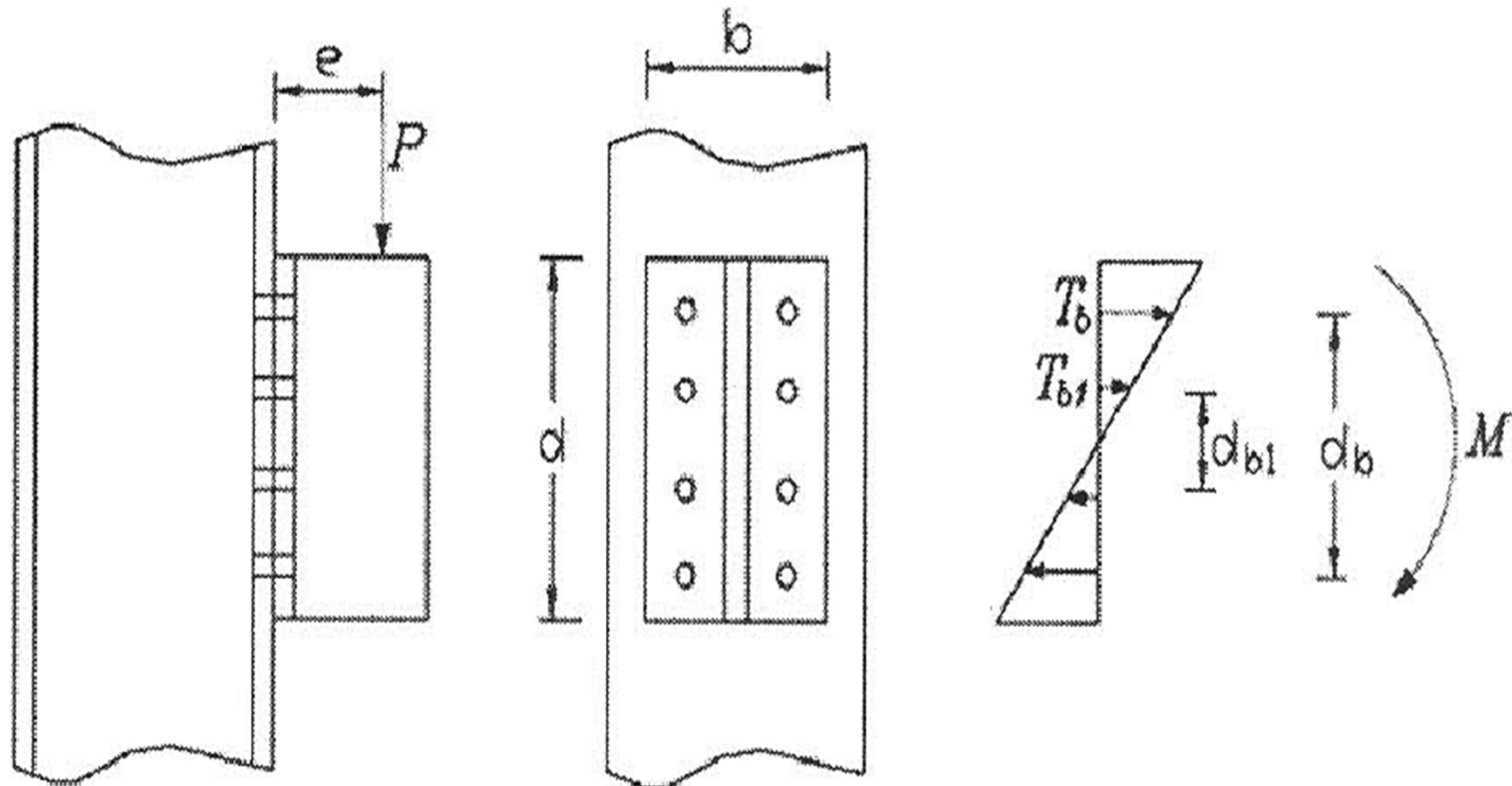


(ابعاد بر حسب سانتی متر)

عملکرد



عملکرد



ترکیب برش و خمش با فرض عملکرد انفرادی پیچ ها (اتکایی)

با توجه به اینکه خمش در پیچ ها ایجاد کشش می نماید این حالت مانند حالت کشش و برش محاسبه می گردد که در این حالت تنفس کششی و برشی برابر است با:

$$f_v = \frac{P_u}{\sum A_b}$$

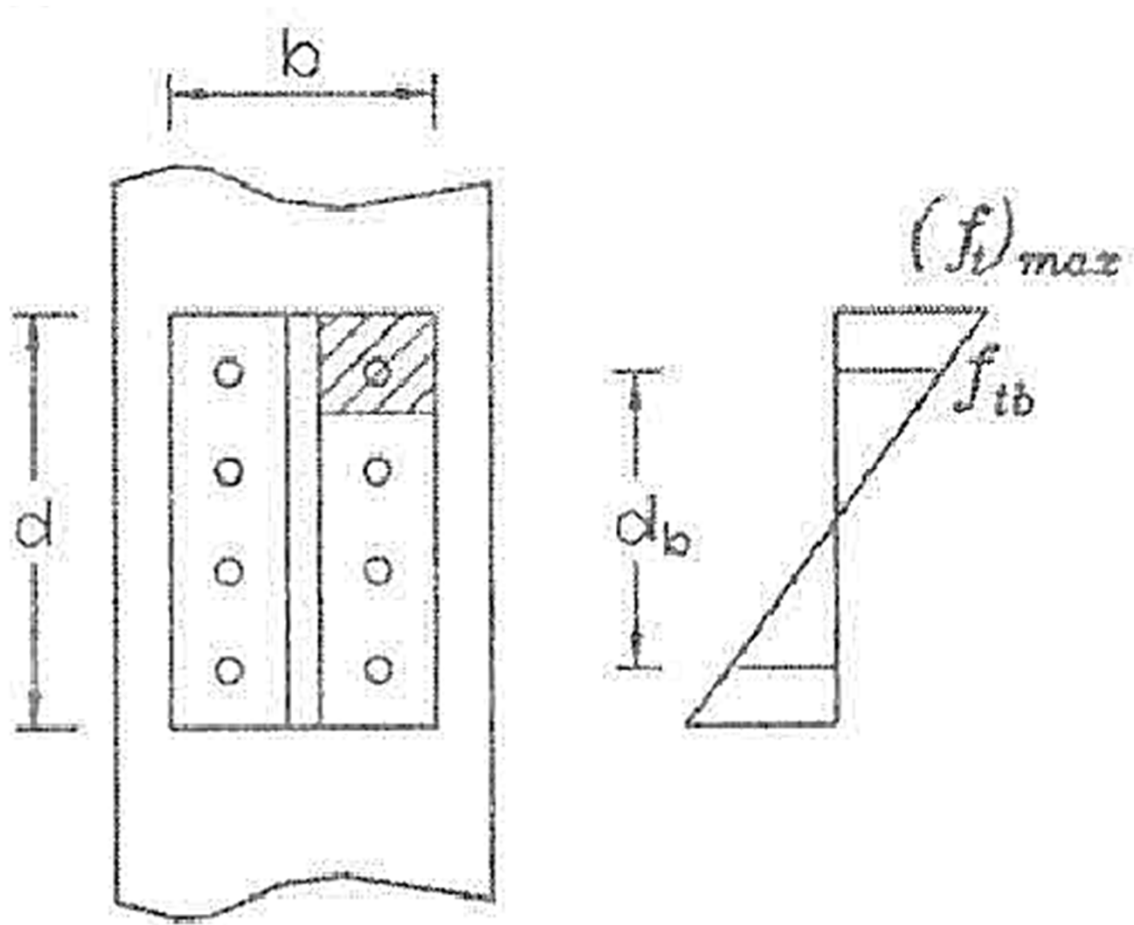
$$f_t = \frac{T_u}{nA_b}$$

مقدار کشش در بالاترین ردیف پیچ ها برابر است با:

$$T_b = \frac{Md_b}{2(d_b^r + d_{b1}^r)}$$

لنگر خمی وارد بر اتصال: $M = P_u \cdot e$

ترکیب برش و خمش با فرض عملکرد یکپارچه پیچ ها (اصطحکاکی)



ترکیب برش و خمش با فرض عملکرد یکپارچه پیچ ها (اصطحکاکی)

حداکثر تنش کششی در اثر لنگر خمشی برابر است با:

$$(f_t)_{\max} = \frac{Mc}{I} = \frac{\epsilon M}{bd^3} \quad (45-7)$$

تنش در محل پیچ (f_{tb}) از تناسب تنش ها به دست می آید.

$$f_{tb} = (f_t)_{\max} \left(\frac{d_b}{d} \right) \quad (46-7)$$

نیروی کششی پیچ از حاصل ضرب تنش پیچ در سطح باربری آن نتیجه می شود. در برخی موارد لازم است این سطح به طور تقریبی تعیین گردد.

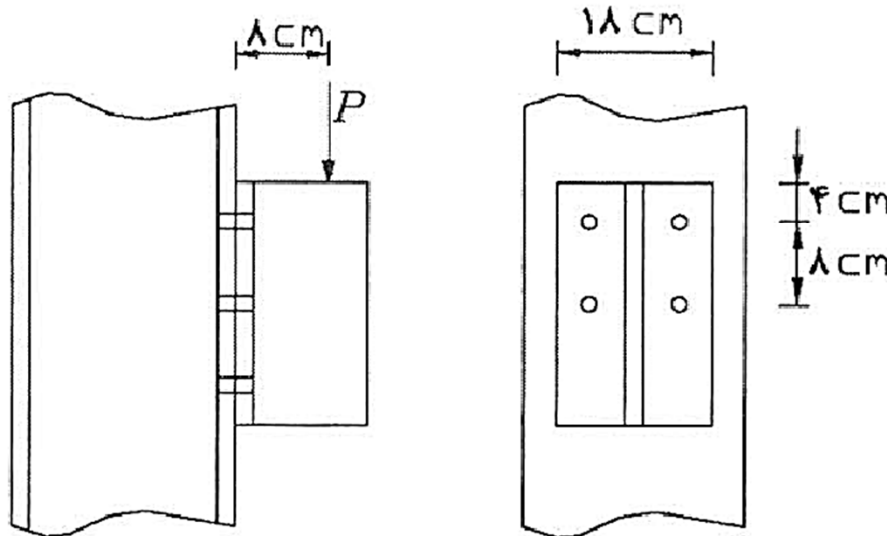
$$T_b = f_{tb} A_{tb} \quad (47-7)$$

A_{tb} - سطح باربری پیچ

مثال

مثال ۹-۷ : تعداد پیچ‌های مورد نیاز اتصال نشان داده شده در شکل را در دو حالت زیر و با استفاده از روش LRFD به دست آورید. بار مرده $P_d = 10t$ ، بار زنده $P_i = 30t$ ، پیچ‌ها M_{20} و از نوع پر مقاومت A490 می‌باشند.

الف) اتصال اتکایی (رزوه پیچ در صفحه برش قرار ندارد)



ب) اتصال اصطکاکی

حل مثال

$$P_u = 1/2(10) + 1/6(30) = 60 \text{ t}$$

الف) مقاومت اتكایی یک پیچ به دست می‌آید.

$$R_n = (5/2)(3/14) = 16/33 \text{ t}$$

$$\phi R_n = (0.75)(16/33) = 12/25 \text{ t}$$

$$n = \frac{60}{12/25} = 4/9$$

با توجه به لنگر وارد، اتصال با فرض ۸ پیچ مورد بررسی قرار می‌گیرد.

$$f_v = \frac{60}{8(3/14)} = 2/39 \text{ t/cm}^2$$

$$M = (60)(8) = 480 \text{ t}\cdot\text{cm}$$

حل مثال

از رابطه عملکرد انفرادی پیچ‌ها استفاده می‌شود.

$$T_b = \frac{(480)(24)}{2[(24)^2 + (8)^2]} = 9/0 \text{ t}$$

$$f_t = \frac{9/0}{3/14} = 2/87 \text{ t/cm}^2$$

تنش ترکیبی بررسی می‌شود.

$$F_{nt}' = 1/3(7/8) - \frac{7/8}{(0/75)(5/2)} (2/39) = 5/36 \text{ t/cm}^2$$

$$2/87 \text{ t/cm}^2 < (0/75)(5/36) = 4/02 \text{ t/cm}^2$$

$$2/39 \text{ t/cm}^2 < (0/75)(5/2) = 3/9 \text{ t/cm}^2$$

قابل قبول است.

حل مثال

ب) اتصال طراحی شده در حالت الف مورد بررسی قرار می‌گیرد.
 مقاومت اصطکاکی یک پیچ به دست می‌آید.

$$R_n = (0/5)(1/12)(1)(17/9)(1) = 10/11 t$$

$$\phi R_n = (1)(10/1) = 10/1 t$$

در این حالت، برای تعیین نیروی کششی پیچ از حالت عملکرد یکپارچه اتصال استفاده می‌شود.

$$(f_t)_{\max} = \frac{6(480)}{(18)(32)} = 0/156 t/cm^2$$

$$f_{tb} = 0/156 \left(\frac{12}{16}\right) = 0/117 t/cm^2$$

$$T_b = (0/117)(9)(8) = 8/42 t$$

ملاحظه می‌شود که در مورد این مثال، اختلاف نیروی کششی در دو حالت بسیار ناچیز است.

حل مثال

$$f_t = \frac{\lambda / 42}{3 / 14} = 2 / 68 \text{ } t/cm^2$$

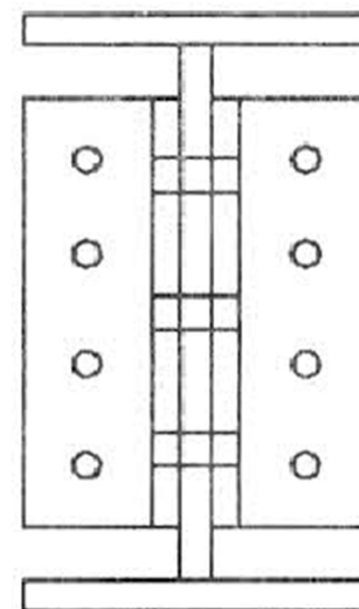
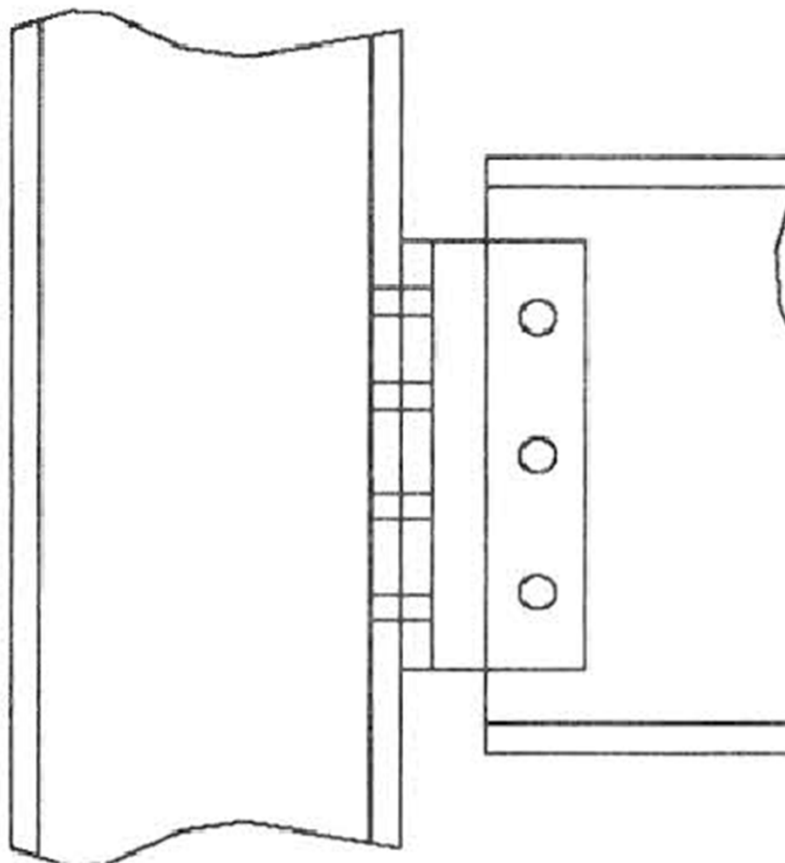
$$k_s = 1 - \frac{\lambda / 42}{(1 / 13)(17 / 9)(1)} = 0 / 584$$

$$f_v \leq k_s \phi F_{nv}$$

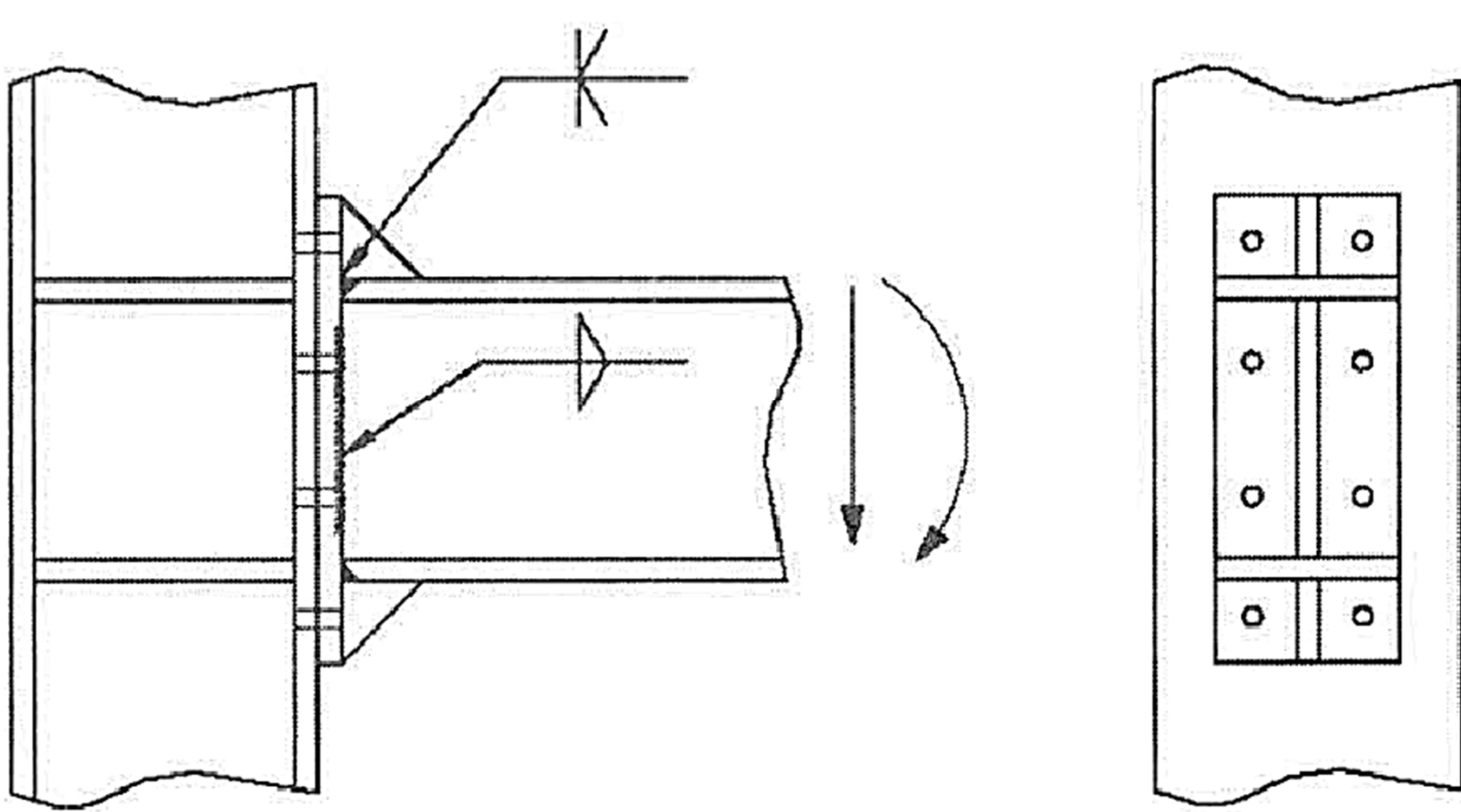
$$2 / 39 \text{ } t/cm^2 > \frac{(0 / 584)(10 / 1)}{3 / 14} = 1 / 88 \text{ } t/cm^2$$

اتصال به صورت اصطکاکی جوابگو نمی‌باشد و لازم است تعداد پیچ‌ها افزایش داده شوند.

اتصالات ساده پیچی



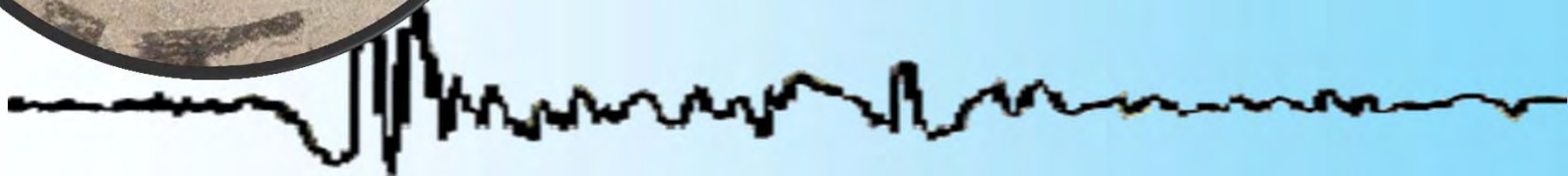
اتصالات گیردار (خمشی)



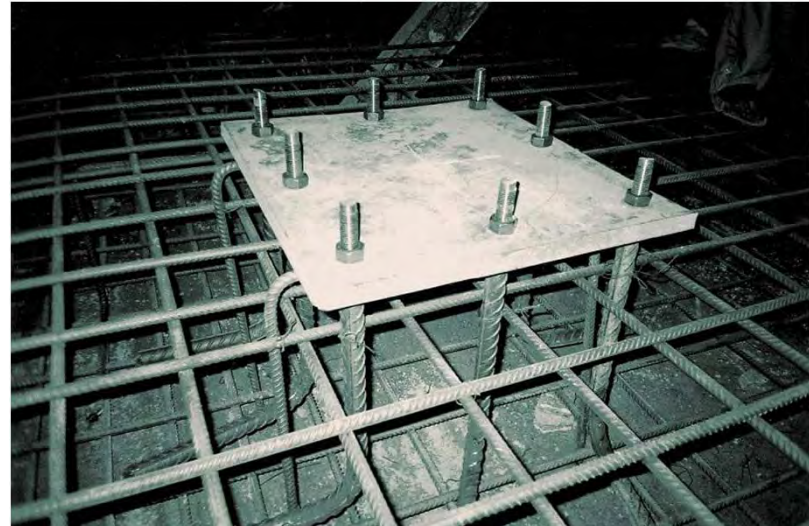


فصل سوم

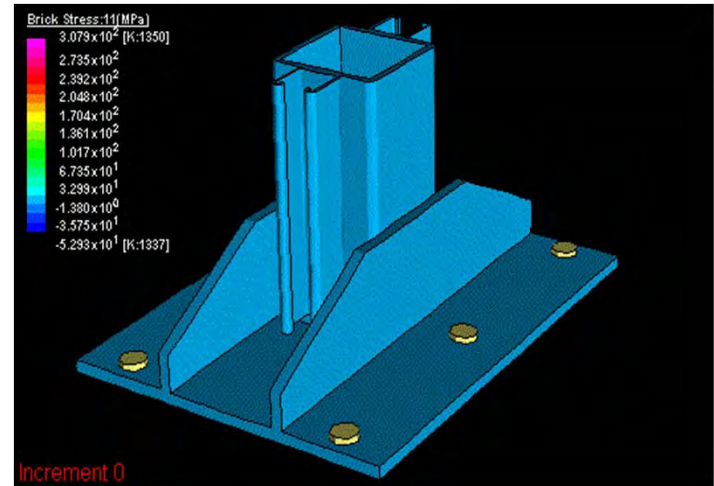
طراحی
ها



نمونه ای از جزئیات ورق پای ستون



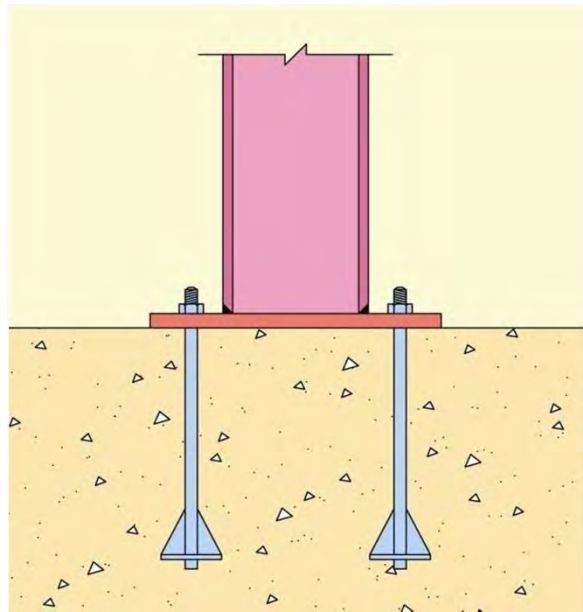
نمونه ای از جزئیات ورق پای ستون



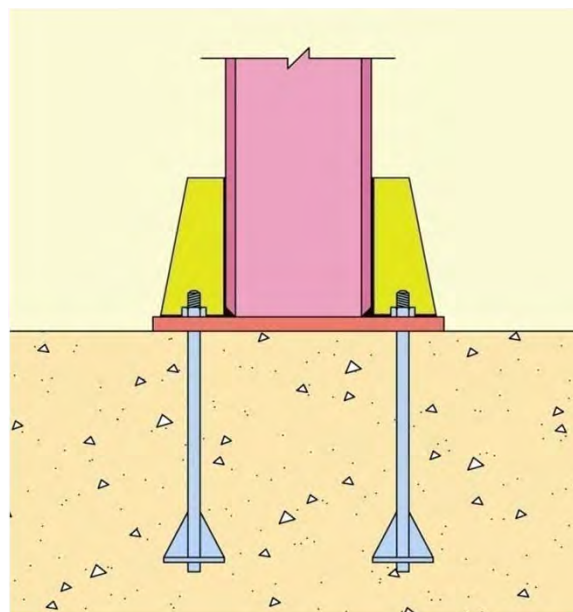
نمونه ای از جزئیات ورق پای ستون گیردار



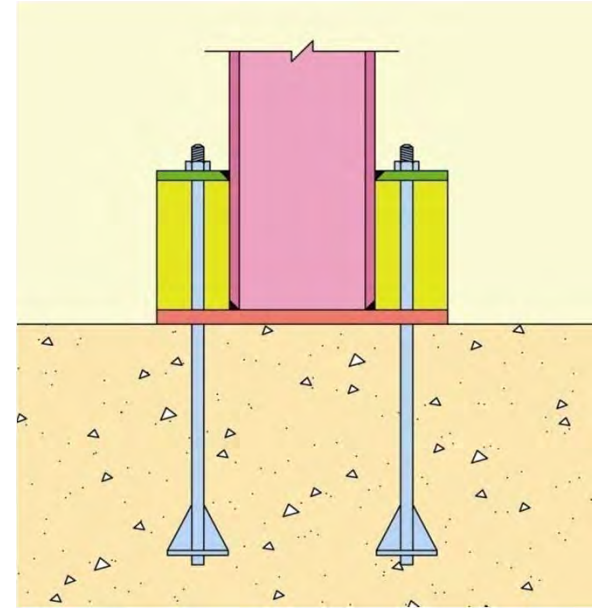
جزئیات عمومی صفحات پای ستون



کف ستونهای تقویت نشده

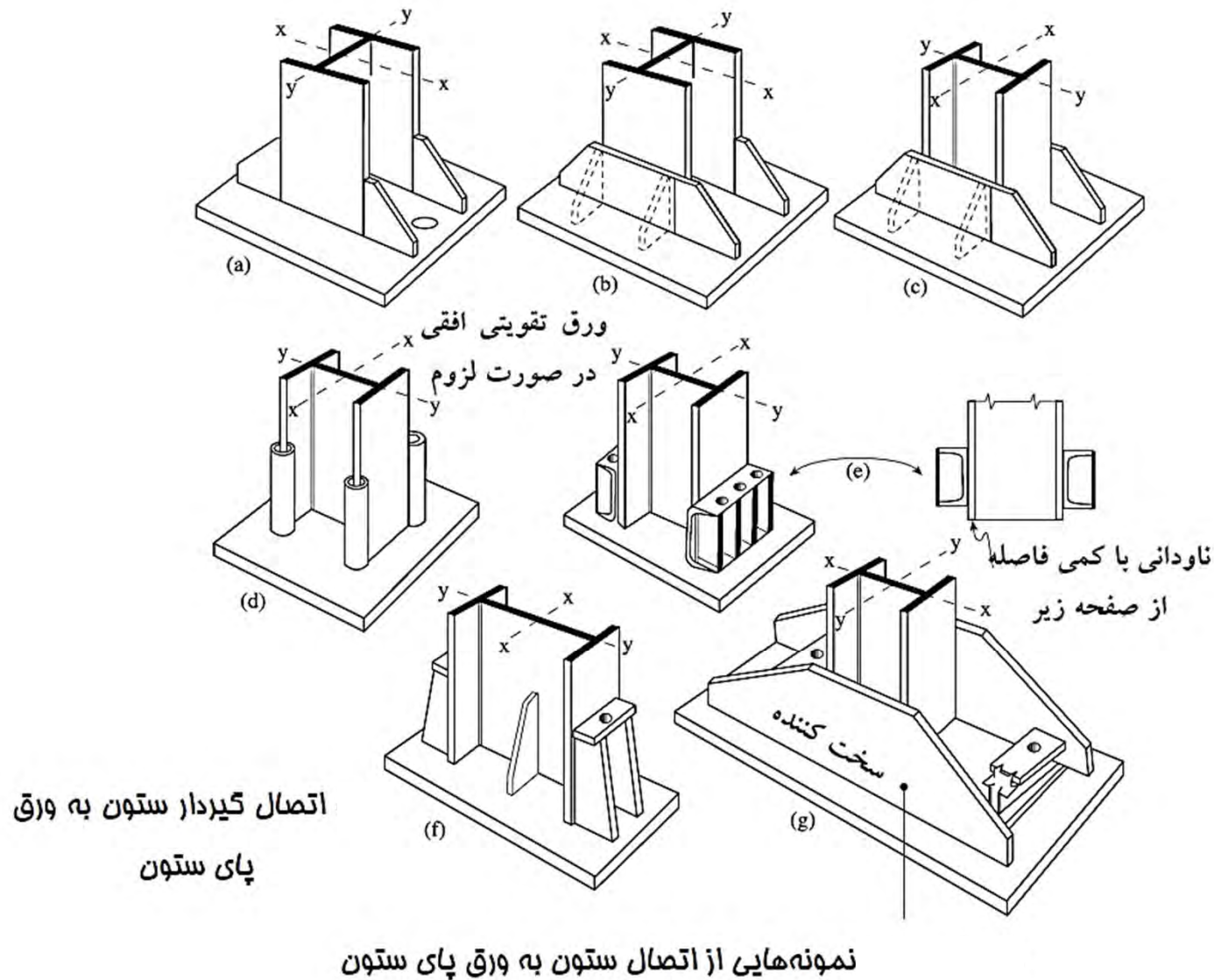


کف ستونهای تقویت شده با
سخت کننده های قائم

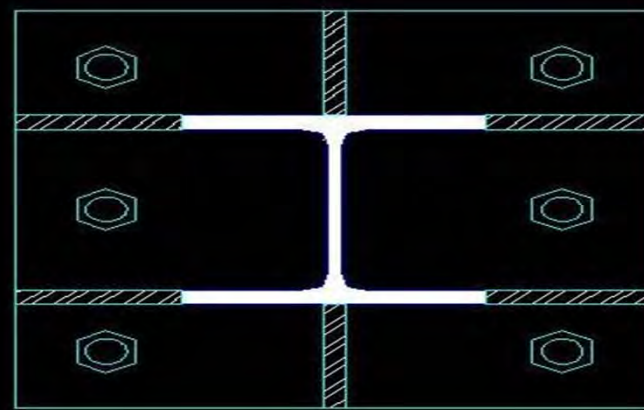
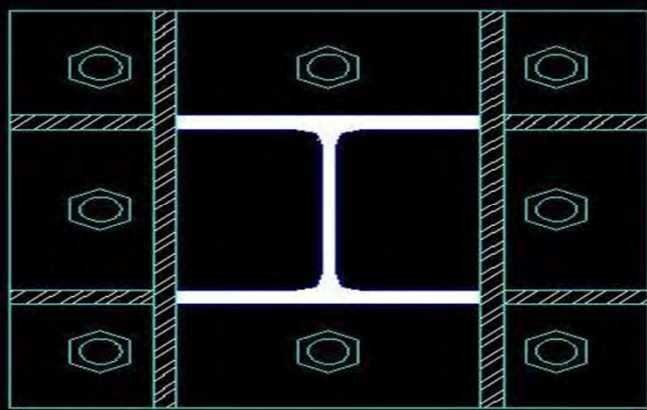
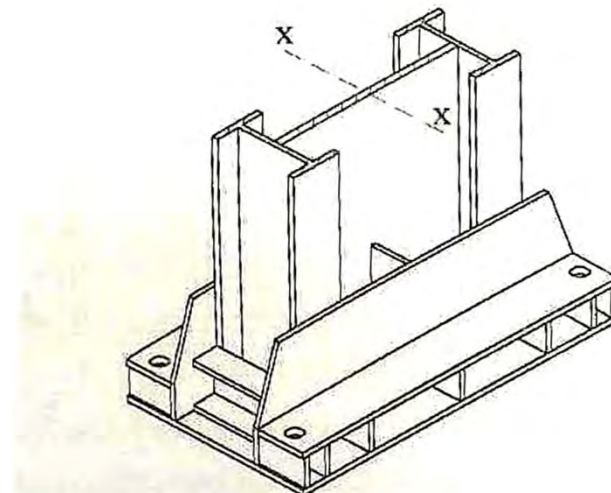
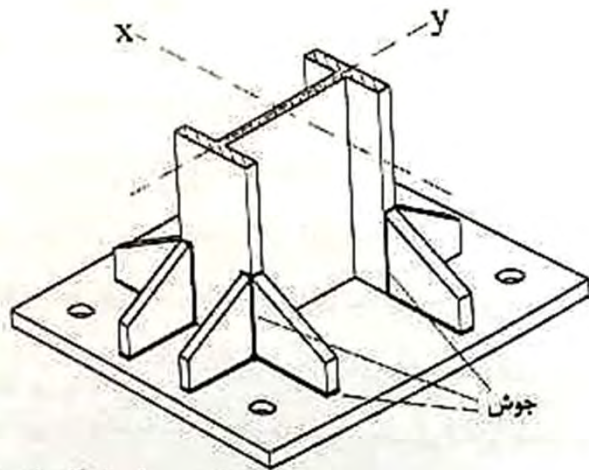


کف ستونهای تقویت شده با
سخت کننده های قائم و
بکارگیری ورق فوقانی

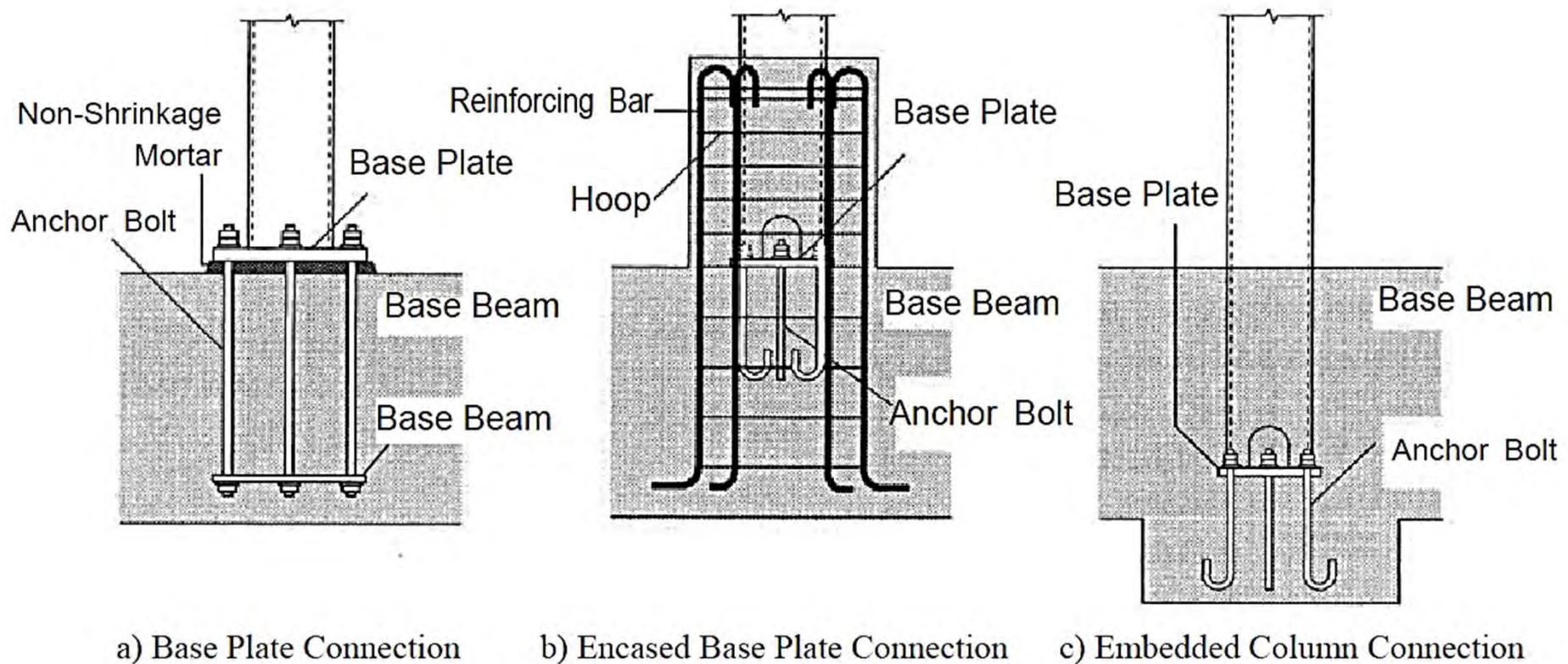
نمونه‌ای از جزئیات ورق پای ستون گیردار



طراحی کف ستون با استفاده از سخت کننده



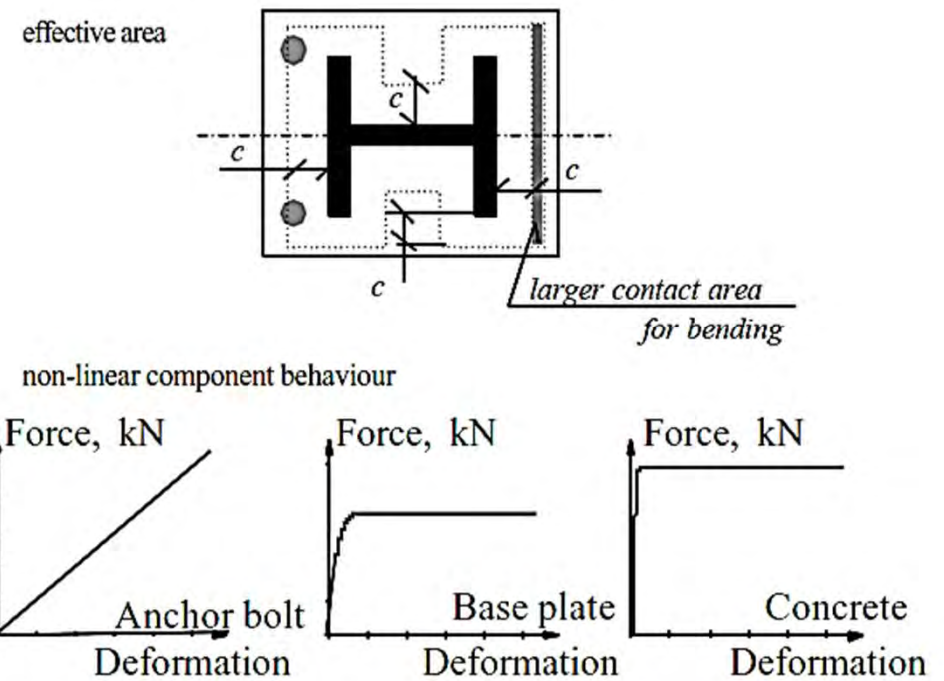
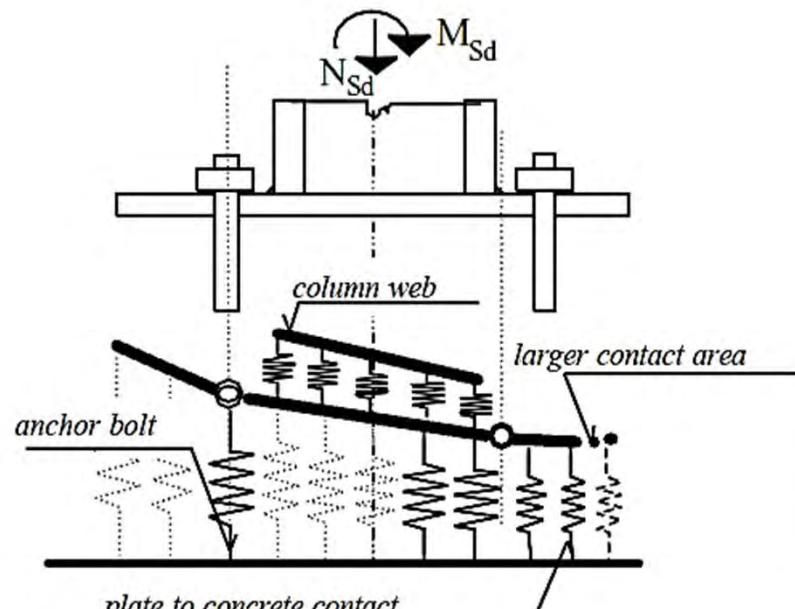
جزئیات پای ستون گیردار معمول در ژاپن



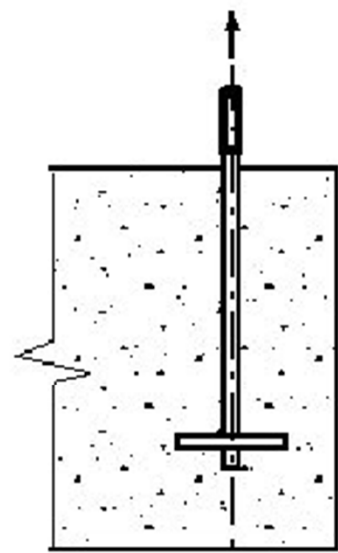
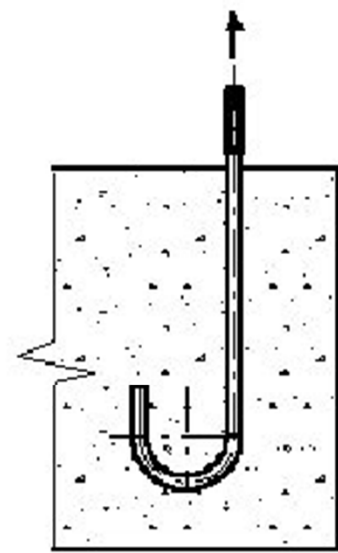
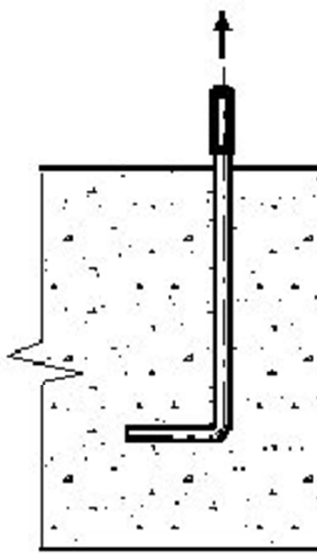
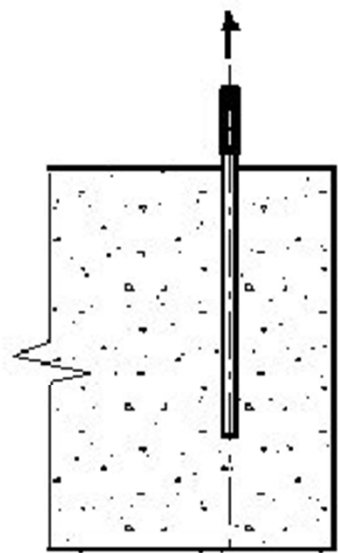
نمونه ای از جزئیات ورق پای ستون مفصلی



مدل مکانیکی ورق پای ستون



میل مهار (انکر بولت) صفحه ستون



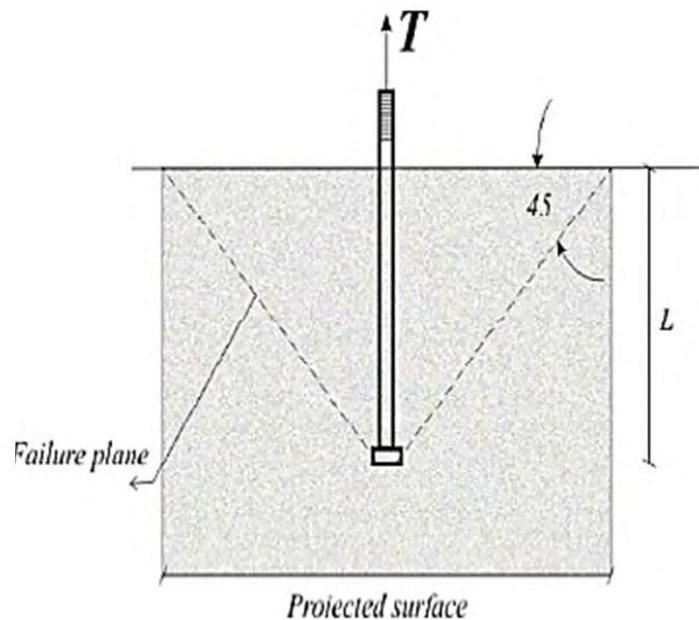
(a)

(b)

(c)

(d)

مخروط گسیختگی و حداقل مشخصات هندسی انکر بولت ها



مصالح بولت	حداقل طول مدفون شدگی	فاصله از لبه پی
A307, A36	12 d	5 d > 4 in.
A325, A449	17 d	7 d > 4 in.

کلید برشی

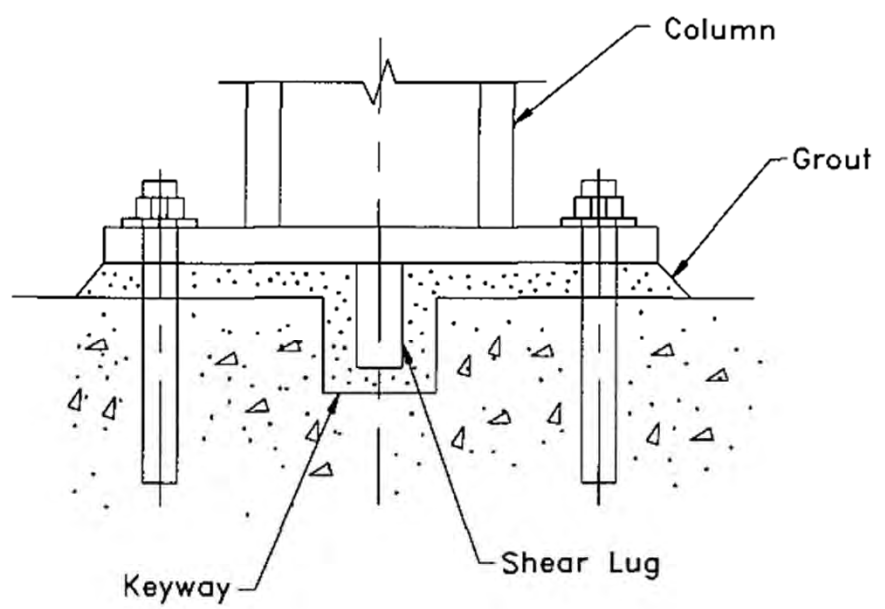
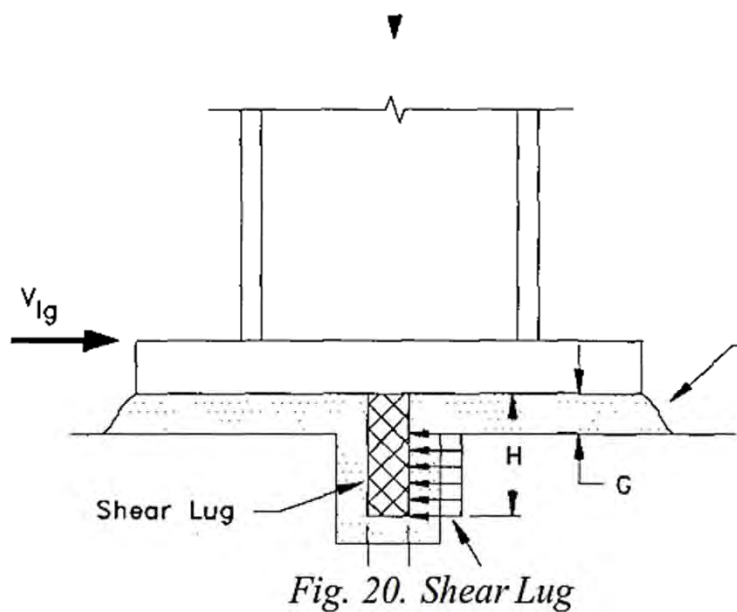
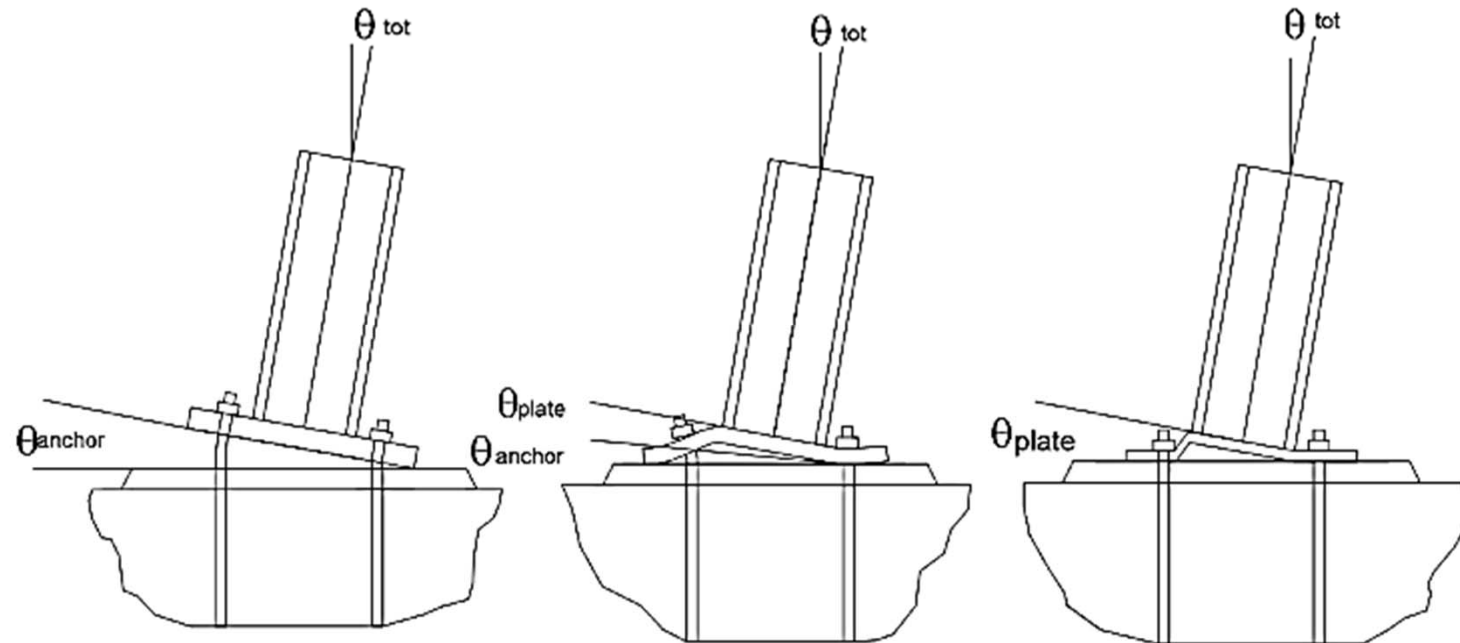


Figure 9

طبقه بندی اتصالات کف ستون توسط آستانه اصل



الزامات طراحی لرزه ای کف ستون ها

کف ستون کلیه ستون های باربر و غیر باربر جانبی و اتصالات آنها به ستون و شالوده علاوه بر تأمین ضوابط فصل ۱۰-۲ این مبحث باید به طور مجزا قادر به تحمل نیروهای زیر باشند.

(۱) بیشترین نیروهای داخلی (شامل نیروی محوری، نیروهای برشی و لنگرهای خمی) به طور همزمان) تحت اثر ترکیبات بار متعارف.

(۲) بیشترین نیروی محوری (بدون حضور نیروهای برشی و لنگرهای خمی) تحت اثر ترکیبات بار زلزله تشديديافتہ و با در نظر گرفتن مفاد تبصره های ۱ و ۲ از بند ۱۰-۳-۱-۱.

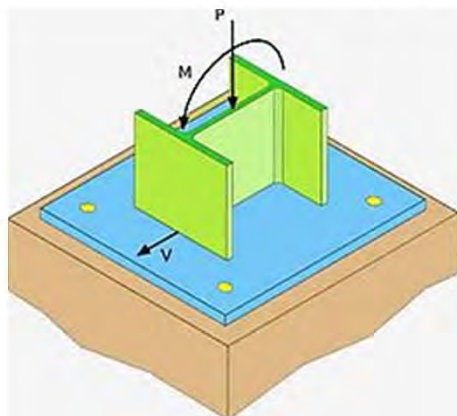
(۳) در هر دو امتداد محورهای اصلی ستون و به طور مجزا نیروی برشی برابر مجموع مولفه های افقی مقاومت های مورد نیاز اتصال مهاربندی و برش ظرفیتی ستون برابر $\frac{\sum M_{pc}}{H_s}$ که در آن $\sum M_{pc}$ مجموع لنگرهای خمی پلاستیک ستون در دو سمت وصله در امتداد مورد نظر و H_s ارتفاع طبقه است. در محاسبه و طراحی کف ستون این نیروی برشی باید بدون حضور نیروهای محوری و لنگرهای خمی در نظر گرفته شود.

نیروهای وارد بر صفحات پای ستون

(۴) در هر دو امتداد اصلی ستون و به طور مجزا لنگر خمشی برابر مجموع لنگرهای خمشی زیر و بدون حضور نیروهای برشی و محوری.

الف) برای مهاربندی‌های امتداد مورد نظر مقاومت خمشی مورد نیاز اتصال مهاربند.

ب) برای ستون‌ها کمترین دو مقدار $R_y F_y Z_e$ و بیشترین لنگر خمشی (بدون حضور نیروهای محوری و برشی) تحت اثر ترکیبات بار زلزله تشدیدیافته و با در نظر گرفتن مفاد تبصره ۲ از بند ۱۰-۳-۵-۱-۱؛ که در آن R_y نسبت تنش تسليیم مورد انتظار به حداقل تنش تسليیم تعیین شده مصالح ستون، F_y تنش تسليیم مصالح ستون و Z_e مدول پلاستیک مقطع ستون است.



مقاومت اتکایی (Bearing Strength)

مقاومت اتکایی طراحی بر روی بتن فونداسیون برابر است با:

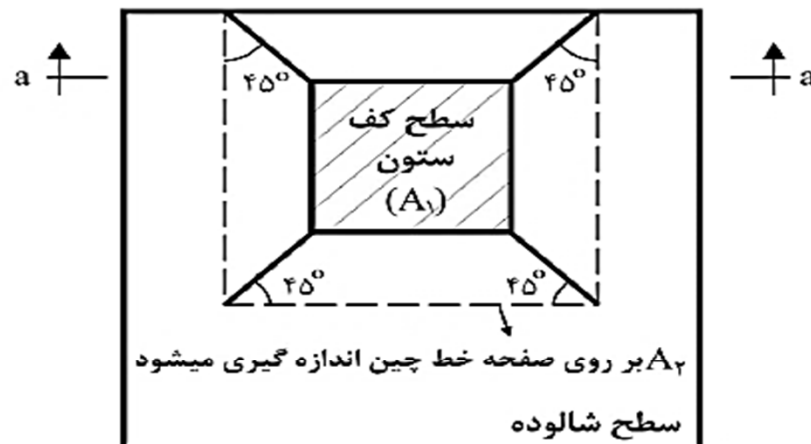
$$P_u = \phi P_p$$

$$\phi = 0.65$$

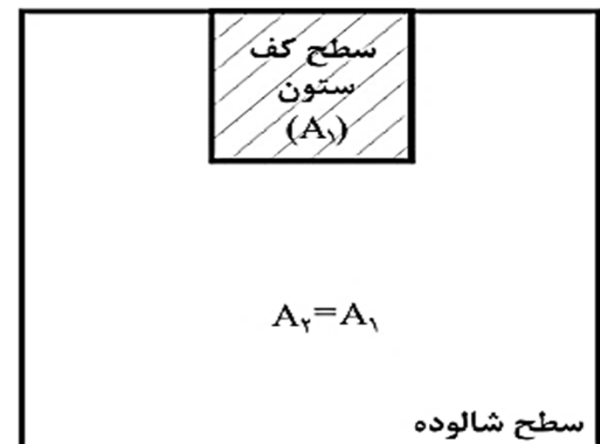
$$P = 0.85 f'_c A \sqrt{\frac{A}{A_e}} \leq 1.7 f'_c A_e$$

: مقاومت مشخصه فشاری بتن (نمونه استوانه ای) f'_c

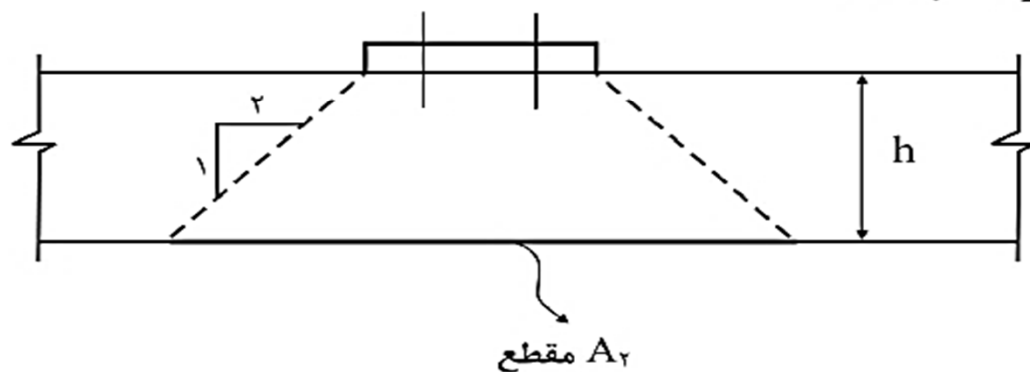
تعريف A_2 و A_1



(ب) کف ستون هایی که لبه های آن
از لبه شالوده فاصله دارد.



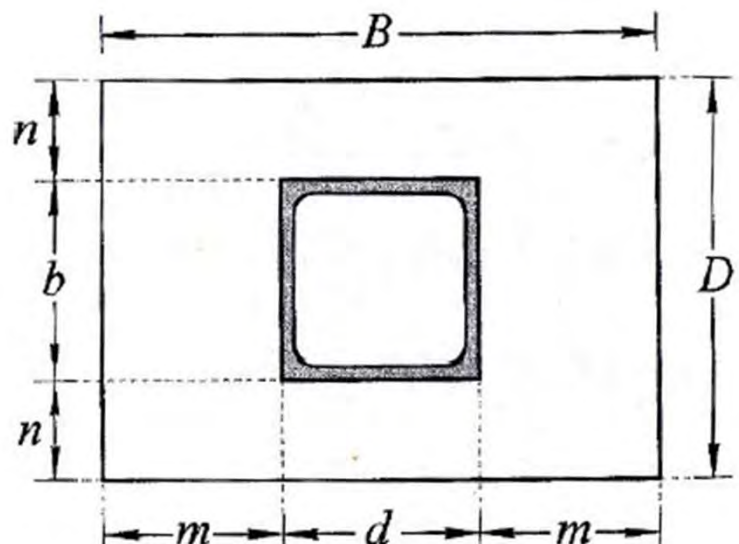
(الف) کف ستون هایی که حداقل
یکی از لبه های آن با لبه
شالوده هم باد است.



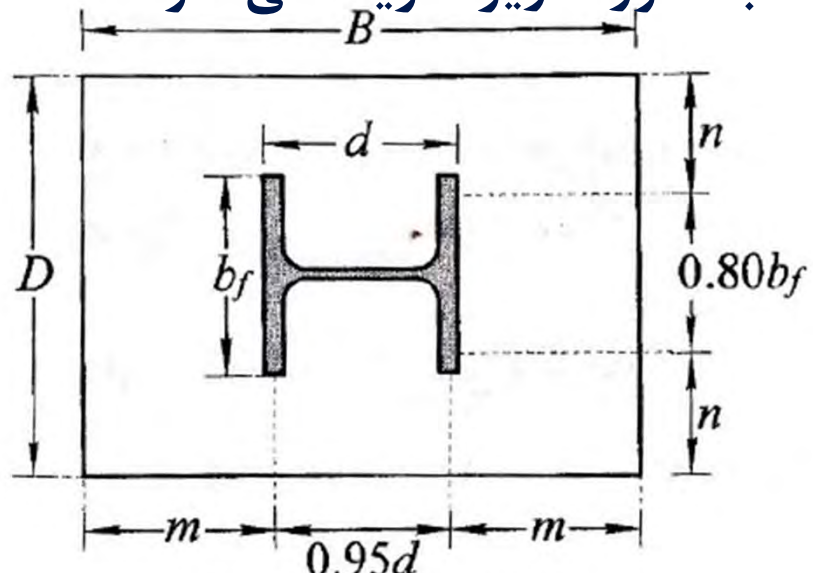
(ب) مقطع a-a

طراحی کف ستون بدون خروج از مرکزیت (لنگر خمشی برابر با صفر) و بدون سخت کننده

و m و n به صورت زیر تعریف می شود:



ب) ستون قوطی شکل



الف) ستون I شکل

$$m = \frac{B - 0.95d}{2}, \quad n = \frac{D - 0.8b_f}{2}$$

برای ستون با مقطع H شکل

$$m = \frac{B - d}{2}, \quad n = \frac{D - b}{2}$$

برای ستون با مقطع قوطی

طراحی کف ستون بدون خروج از مرکزیت و بدون سخت کنده

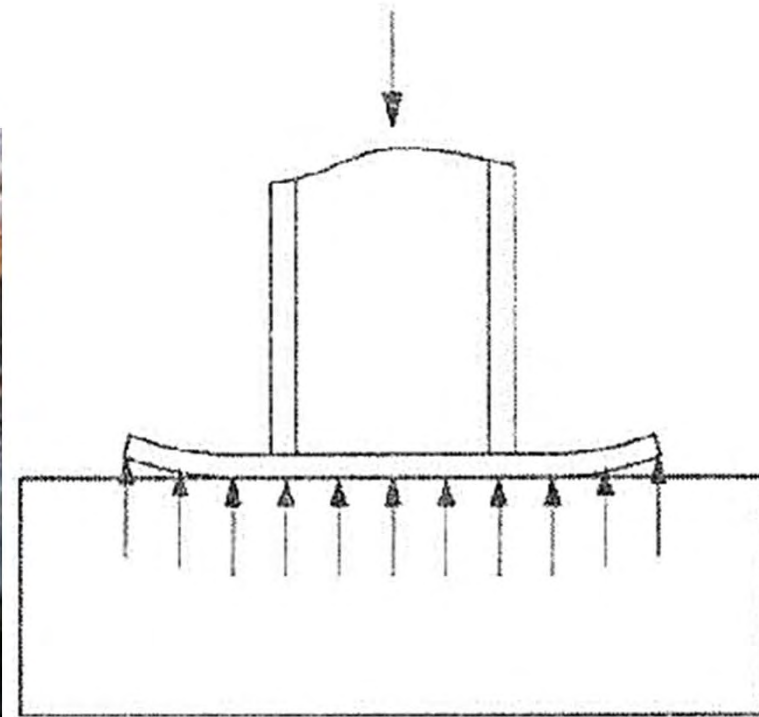
ورق تحت بار فشاری و برشی

$$A_p = \frac{P_u}{\phi_c (0.85 f'_c)}$$

$$\phi_c = 0.65$$



محاسبه مساحت ورق:



طراحی کف ستون بدون خروج از مرکزیت و بدون سخت کنده

ضخامت نهایی ورق بر اساس خمث طریق:

$$m = \max(m, n)$$

$$t = m' \sqrt{\frac{2P_p}{m A_p F_y}}$$

$$\phi_m = 0.9$$

ضخامت ورق بر اساس نیروی برشی:

$$m = \phi \max(m, n)$$

$$t = \frac{P_p m'}{\nu A_p (0.6 F_y)}$$

$$\phi_\nu = 0.9$$

✓ بهتر است $m=n$ برقرار شود.

طراحی کف ستون بدون خروج از مرکزیت و با سخت کننده

ضخامت ورق بر اساس خمش طریق ای:

$$t_p = m' \sqrt{\frac{2P_u}{\phi_m A_p F_y} [1 - 0.5 \left(\frac{n}{m} \right)^2]}$$

$$\phi_m = 0.9$$

ضخامت ورق بر اساس نیروی برشی:

$$m' = \max(m, n)$$

$$t_p = \frac{P_u m'}{\phi_v A_p (0.6 F_y)} - \frac{A_{st}}{B}$$

$$\phi_v = 0.9$$

: مساحت سخت کننده A_{st}

مثال: طراحی کف ستون بدون خروج از مرکزیت

ستون IPBL140 تحت اثر بارهای محوری مرده ۱۰ تن و زنده ۱۵ تن و نیروهای برشی مرده ۲ تن و زنده ۳ تن قراردارد. اگر فولاد مصرفی St-37 و الکترود E60 و رده بتن C20 باشد، ورق کف ستون را با و بدون سخت کننده طراحی نمایید.

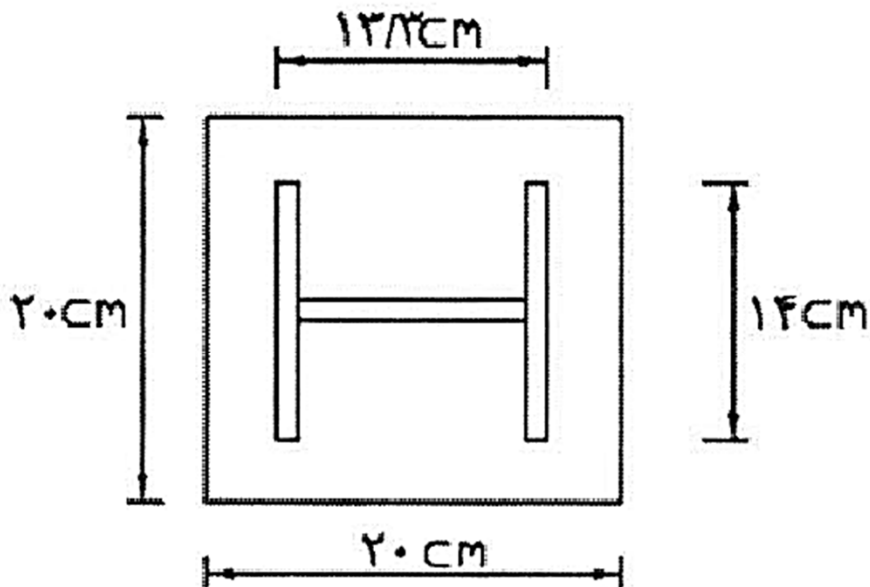
$$P_u = 1.2(10) + 1.6(15) = 36 \text{ ton}$$

$$A_P = \frac{36}{0.65 \times 0.85 \times 0.21} = 310 \text{ cm}^2$$

در مقاطع بال پهن و قوطی ها که ابعاد بال و جان برابر هستند بهتر است ورق بصورت مربع انتخاب شود. ضمنا وقتی که $m=n$ باشد بهترین نتیجه از نظر ابعاد و ضخامت ورق بدست می آید.

ورق 20cmX20cm انتخاب می شود.

مثال: طراحی کف ستون بدون خروج از مرکزیت



$$m = \frac{20 - 0 / 95(12 / 3)}{2} = 3 / 8 \text{ cm}$$

$$n = \frac{20 - 0 / 8(14)}{2} = 4 / 4 \text{ cm}$$

$$t_p = (4 / 4) \sqrt{\frac{2(36)}{(0 / 9)(400)(2 / 4)}} = 1 / 27 \text{ cm}$$

مثال: طراحی کف ستون بدون خروج از مرکزیت

ضخامت مورد نیاز برش به دست می‌آید.

$$t_p = \frac{(36)(4/4)}{(0/9)(400)(0/6)(2/4)} = 0/31 cm$$

ورق $20 cm \times 20 cm \times 1/5 cm$ انتخاب می‌شود.

طراحی میله‌مهارها،

$$V_u = 1/2(2) + 1/8(3) = 7/2 t$$

$$V_u \leq \phi_v V_n \quad \phi_v = 0/9$$

سطح مقطع مورد نیاز میله‌مهارها با فرض قرار گرفتن رزوه بولت در صفحه برش به دست می‌آید.

$$A_b = \frac{7/2}{(0/9)(0/4)(3/7)} = 5/4 cm^2 \quad \underline{2\Phi20}$$

جوش ورق به ستون باید قادر به انتقال نیروی برشی باشد.

$$t_w = 5/5 mm$$

مثال: طراحی کف ستون بدون خروج از مرکزیت

جوش ۵ mm استفاده می‌شود.

ضخامت موثر گلوی جوش به دست می‌آید.

$$t_e = \phi / 407(5) = 3 / 535 \text{ mm}$$

$$A_w = \phi / 3535 l_w$$

$$F_w = \phi / 6(4200) = 2520 \text{ kg/cm}^2$$

$$R_n = (2 / 52)(\phi / 3535 l_w) = \phi / 191 l_w$$

$$\phi R_n = (\phi / 75)(\phi / 191 l_w) = \phi / 668 l_w$$

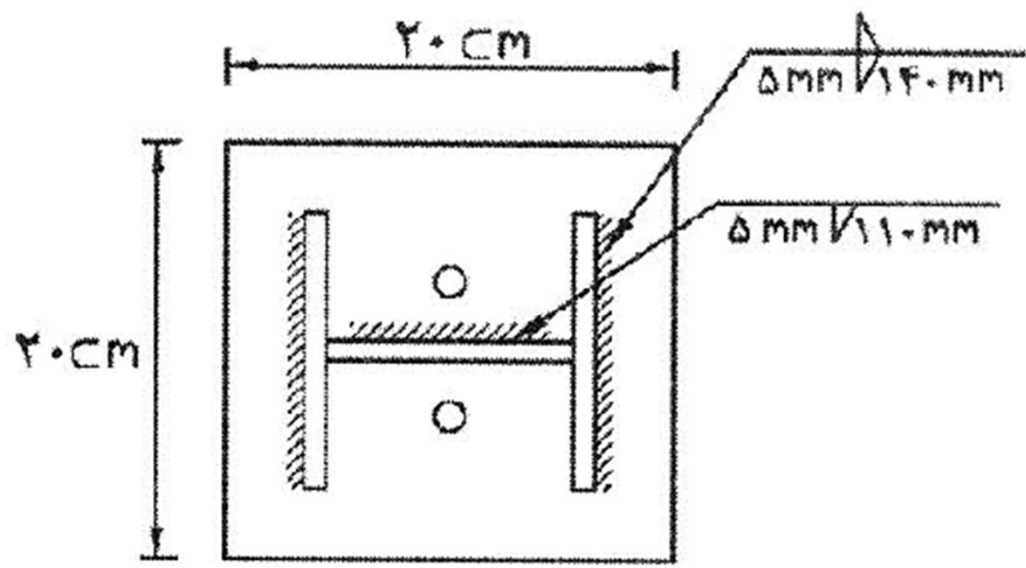
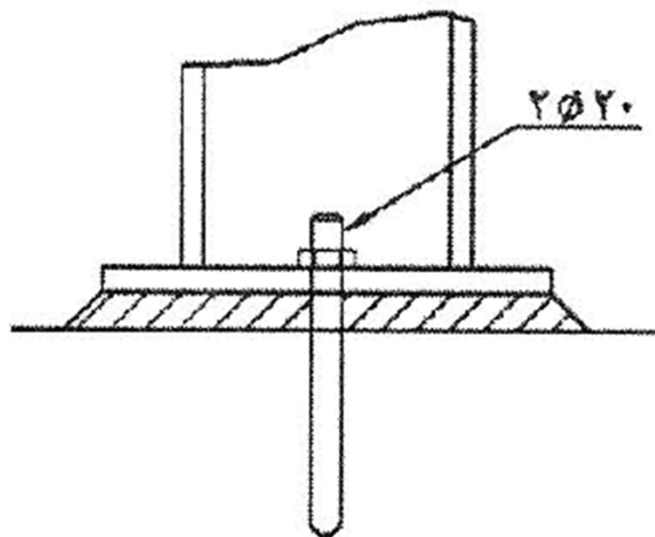
طول مورد نیاز جوش با مساوی قرار دادن مقاومت‌های لازم و موجود به دست می‌آید.

$$R_u \leq \phi R_n$$

$$7 / 2 = \phi / 668 l_w \quad l_w = 10 / 8 \text{ cm}$$

مثال: طراحی کف ستون بدون خروج از مرکزیت

بنابراین حداقل طول جوش $l_w = 11\text{ cm}$ برای انتقال برش کفايت می‌کند. بخش عمدۀ بار محوری فشاری نیز توسط اتكای ستون به ورق کف ستون حمل می‌گردد. معمولاً برای عملکرد یکپارچه ستون و ورق کف ستون، بال‌های ستون نیز جوش می‌شوند. اتصال طراحی شده در شکل نشان داده شده است.



مثال: طراحی کف ستون با سخت کننده

ورق $25\text{ cm} \times 25\text{ cm}$ انتخاب می‌شود.

با فرض ورق 8 mm برای سخت کننده،

$$m = \frac{25 - 13/2}{2} = 5/85\text{ cm}$$

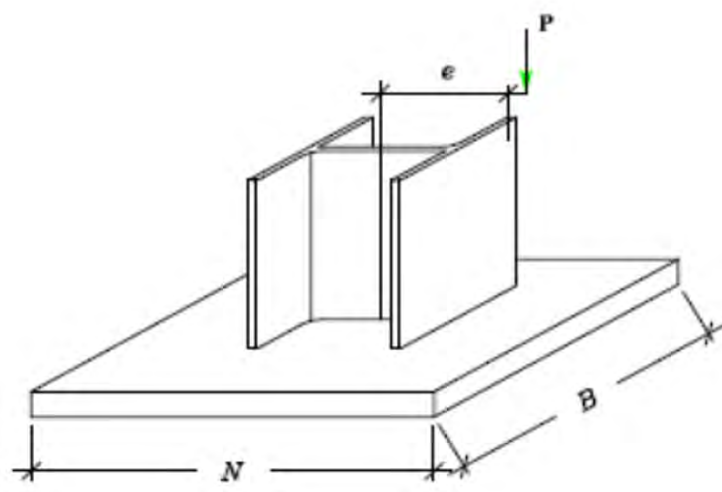
$$n = \frac{25 - 14 - 2(0/8)}{2} = 4/7\text{ cm}$$

$$t_p = (5/85) \sqrt{\frac{2(36)}{(0/9)(625)(2/4)}} \left[1 - 0/5 \left(\frac{4/7}{5/85} \right)^2 \right] = 1/11\text{ cm}$$

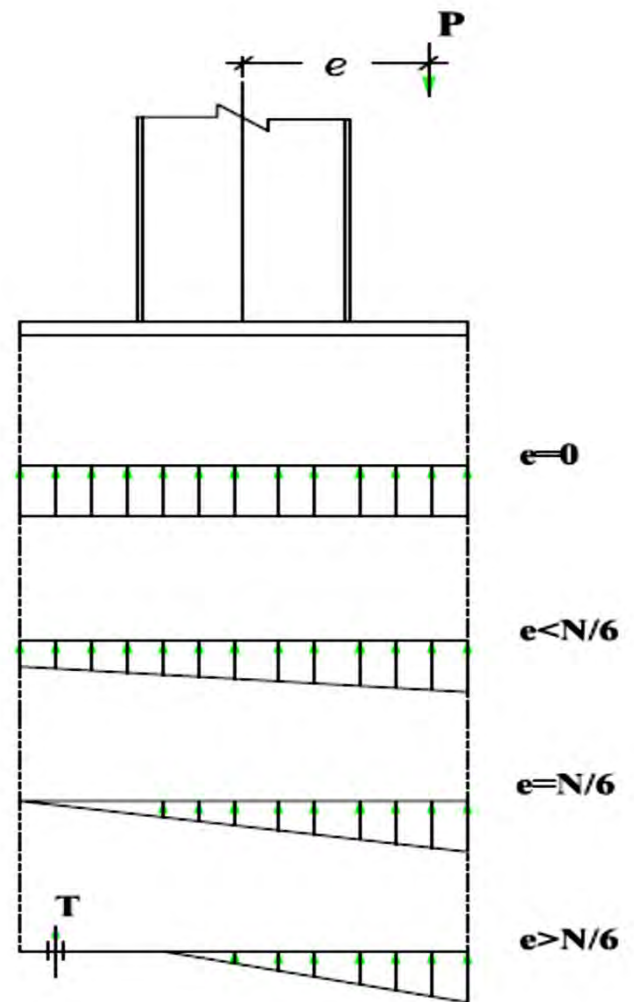
ورق $25\text{ cm} \times 25\text{ cm} \times 1/2\text{ cm}$ انتخاب می‌شود.

ملاحظه می‌شود که در مورد این مثال، ضخامت ورق بدون سخت کننده‌ها نیز جوابگوی برش است. بنابراین در این حالت، حداقل ابعاد سخت کننده جوابگو می‌باشد.

طراحی کف ستون با خروج از مرکزیت



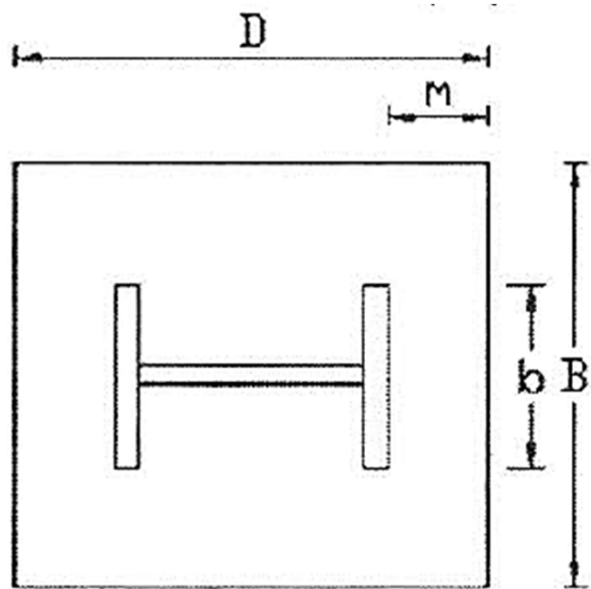
$$=\frac{P}{A} \pm \frac{Pe}{BN^2} = \frac{P}{A} \pm \frac{Pe}{AN} = -\frac{P}{A} \left(\pm \frac{e}{\frac{N}{6}} \right)$$



طراحی کف ستون با خروج از مرکزیت ($e < \frac{D}{6}$)

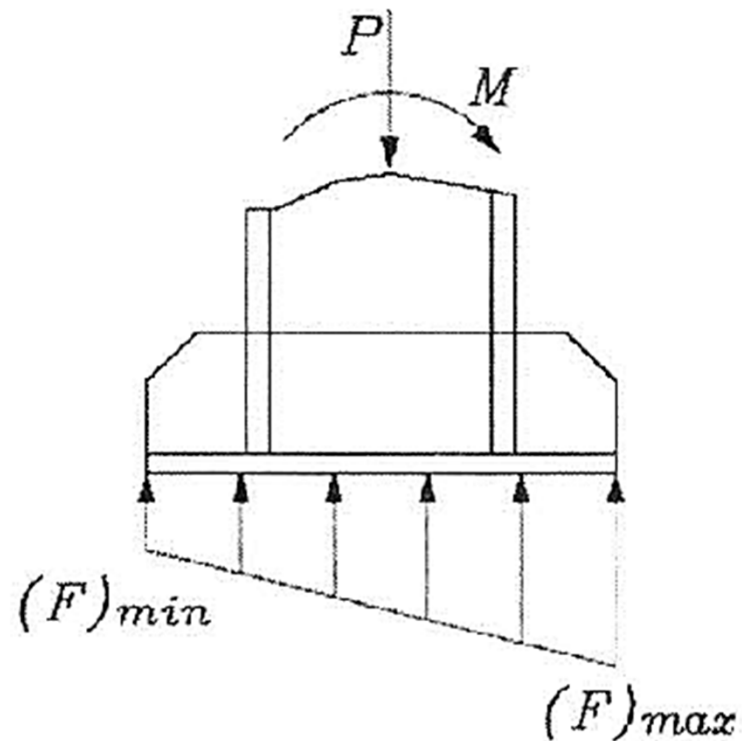
$$\frac{P_u}{\phi_c BD} \left(1 + \frac{6e_u}{D}\right) \leq 0.85 f_c \quad (\phi_c = 0.65)$$

$$e_u = \frac{M_u}{P_u}$$



تعیین ابعاد اولیه با سعی و خطأ :

$$(\phi_c = 0.65)$$



طراحی کف ستون با خروج از مرکزیت ($e < \frac{D}{2}$)

توزيع تنش در زیر ورق بر اساس ابعاد واقعی:

$$(F)_{max,min} = \frac{P_u}{BD} \left(1 \pm \frac{6e_u}{D}\right)$$

تنش در محل بحرانی لنگر:

$$(F)_M = (F)_{max} - \frac{m}{D} [(F)_{max} - (F)_{min}]$$

حداکثر لنگر برای دو بخش با یکنواخت و متغیر:

$$M = \frac{(F)_M B m^{\gamma}}{2} + \frac{1}{2} [(F)_{max} - (F)_M] B m \left(\frac{2}{3} m \right)$$

$$M = \frac{2(F)_{max} + (F)_M}{6} B m^{\gamma} \quad (10.7-7)$$

حداکثر نیروی برشی واردۀ از رابطه زیر تعیین می‌گردد.

$$V = \frac{(F)_{max} + (F)_M}{2} B m \quad (10.8-7)$$

طراحی کف ستون با خروج از مرکزیت ($e < \frac{D}{6}$)

ضخامت مورد نیاز بر اساس خمیش (بدون سخت کننده) :

$$t_p = m \sqrt{\frac{2[2(F)_{max} + (F)_M]}{3\phi_m F_y}} \quad (\phi_m = 0.9)$$

ضخامت مورد نیاز بر اساس برش (بدون سخت کننده) :

$$t_p = m \times \frac{(F)_{max} + (F)_M}{2\phi_v(0.6F_y)} \quad (\phi_v = 0.9)$$

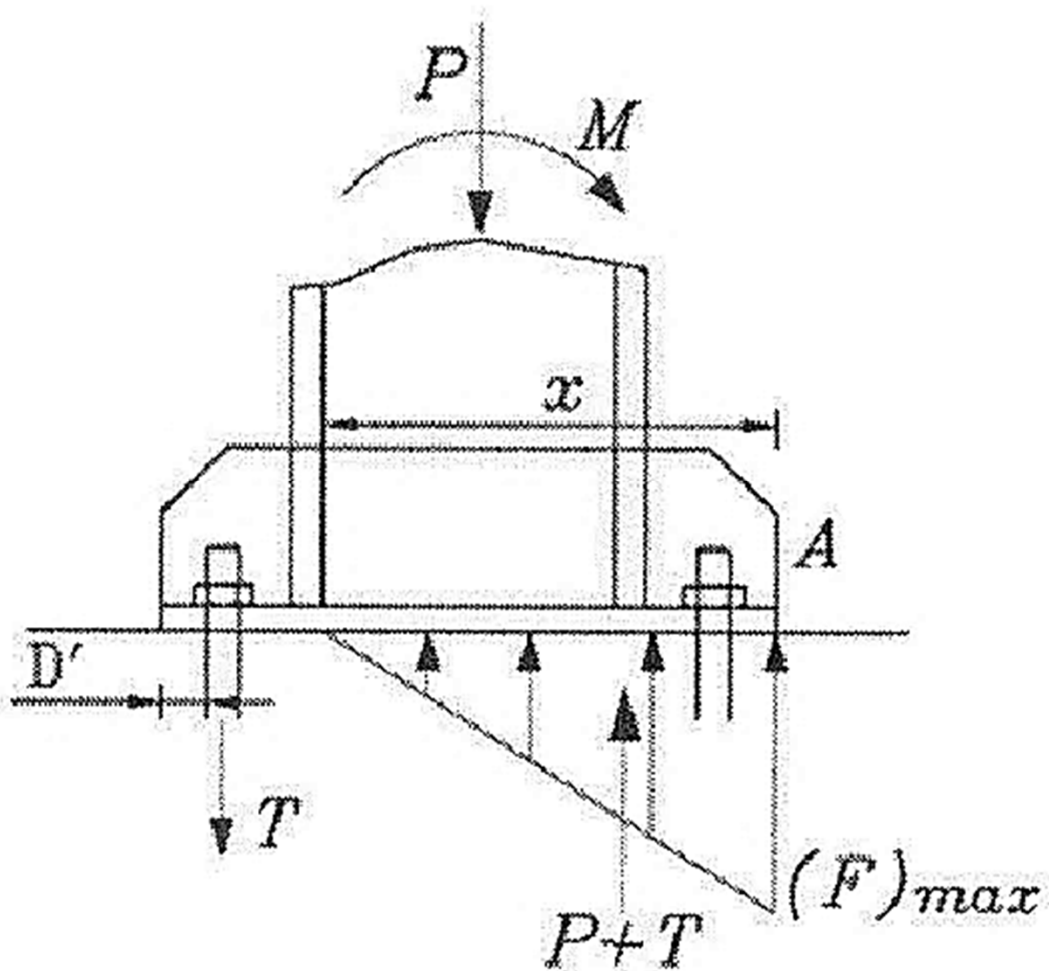
طراحی کف ستون با خروج از مرکزیت ($e < \frac{\theta}{2}$)

در استفاده سخت کننده، ضخامت برابر با:

$$t_p = m \sqrt{\frac{2[2(F)_{max} + (F)_M]}{3\phi_m F_y} [1 - 0.5(\frac{n}{m})^2]}$$

$$t_p = (m \times \frac{(F)_{max} + (F)_M}{2\phi_v(0.6F_y)}) - \frac{A_{st}}{B}$$

طراحی کف ستون با خروج از مرکزیت ($e > \frac{D}{6}$)



طراحی کف ستون با خروج از مرکزیت ($e > \frac{D}{2}$)

تعیین ابعاد ورق:

$$(\phi_c = 0.65)$$

تعیین طول گسترش (X) معادله زیر:

$$x^2 - 3(D - \bar{D})x + \frac{3P_u(2e_u + D - 2\bar{D})}{\phi_c B(0.85\bar{f}_c)} \rightarrow X \checkmark$$

$$T_u = \frac{\phi_c B x (0.85 \bar{f}_c)}{2} - P_u \quad \text{تعیین نیروی کششی در میل مهار:}$$

If $x > m \rightarrow (F)_M = (F)_{max} \left(1 - \frac{m}{x}\right)$

طراحی کف ستون با خروج از مرکزیت ($e > \frac{D}{6}$)

$$(F)_{max} = \frac{2(P_u + T_u)}{Bx}$$

ضخامت مورد نیاز بر اساس خمش (بدون سخت کننده):

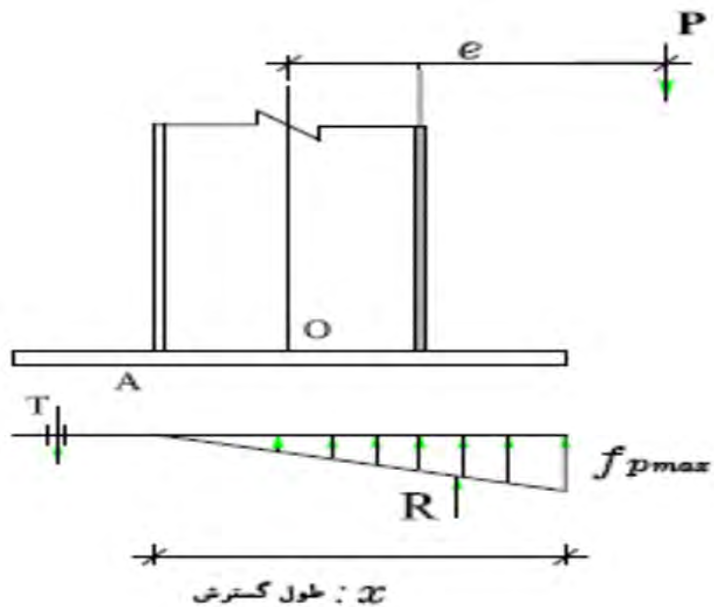
$$t_p = m \sqrt{\frac{2[2(F)_{max} + (F)_M]}{3\phi_m F_y}}$$

در صورت استفاده از سخت کننده (بدون سخت کننده):

$$t_p = m \sqrt{\frac{2[2(F)_{max} + (F)_M]}{3\phi_m F_y}} [1 - 0.5(\frac{n}{m})^2]$$

جدول برای تعیین تقریبی طول گسترش تنش (X)

$\frac{e}{N}$	۰.۰۸	۰.۳	۰.۵۲	۰.۶	۰.۶۱۵	۰.۶۴	۰.۷۵	۰.۸۷	۱
$\frac{x}{N}$	۱	۱	۰.۴۸	۰.۴	۰.۳۹	۰.۳۷	۰.۳۵	۰.۳۴	۰.۳۳۳



$$\sum M_e = 0 \rightarrow T = \dots$$

$$\sum F_y = 0 \rightarrow R = T + P$$

طراحی کف ستون با خروج از مرکزیت ($e > \frac{D}{6}$)

If $x \leq m$ $\rightarrow M_u = (P_u + T_u) \left(m - \frac{x}{3} \right)$

ضخامت مورد نیاز بر اساس خمش (بدون سخت کننده):

$$t_p = \sqrt{\frac{(P_u + T_u) \left(m - \frac{x}{3} \right)}{\phi_m B F_y}}$$

ضخامت مورد نیاز بر اساس برش (بدون سخت کننده):

$$V_u = P_u + T_u$$

$$t_p = \frac{P_u + T_u}{\phi_v (\sigma / \tau F_y) B}$$

طراحی کف ستون با خروج از مرکزیت ($e > \frac{\theta}{2}$)

ضخامت ورق در صورت استفاده سخت کننده:

$$t_p = 2 \sqrt{\frac{(P_u + T_u)(m - \frac{x}{3})}{B\phi_m F_y}} [1 - 0.5(\frac{n}{m})^2] \quad (\phi_m = 0.9)$$

$$t_p = \frac{P_u + T_u}{\phi_v (0.6F_y)B} - \frac{A_{st}}{B} \quad (\phi_v = 0.9)$$

طراحی کف ستون با خروج از مرکزیت ($e > \frac{D}{6}$)

ابعاد سخت کننده بر اساس طول جوش تعیین می شود:

$$l_w = \frac{T_u}{\emptyset F_w t_e}$$

طراحی میل مهارها نیز برای ترکیب نیروی برشی و کششی انجام می شود.

مثال

ستون IPBL400 تحت اثر بارهای محوری مرده ۱۲ تن و زنده ۱۸ تن و نیروهای برشی مرده ۲ تن و زنده ۳ تن و لنگر خمثی مرده ۶ تن-متر و زنده ۹ تن-متر قراردارد. اگر فولاد مصرفی St-37 و الکترود E60 و رده بتن C20 باشد، ورق کف ستون را طراحی نمائید.

$$P_u = 1.2(12) + 1.6(18) = 43.2 \text{ ton}$$

$$M_u = 1.2(6) + 1.6(9) = 21.6 \text{ ton.m}$$

$$e_u = \frac{21.6}{43.2} = 0.5m \quad , \quad D \geq 6 \times 0.5 = 3m$$

ملاحظه می شود که برای قرار گرفتن کل سطح زیر ورق کف ستون در فشار طول ورق ستون باید ۳ متر باشد که عملاً امکانپذیر نمی باشد. بنابراین میل مهارها به کشش می افتد

مثال

ابعاد و ضخامت پس از چند بار سعی و خطا انتخاب می شود.
ورق **80cmx60cm** انتخاب می شود.

با فرض میل مهار ۱۶ میلی متر، فاصله میل مهار از لبه مطابق با حداقل فاصله مبحث دهم برابر با ۳ سانتی متر می باشد، بنابراین:

$$x^2 - 3(80 - 3)x + \frac{3(43/2)[2(50) + 80 - 2(3)]}{(0/6)(60)(0/85)(0/21)} = 0$$

$$x^2 - 231x + 3509/2 = 0$$

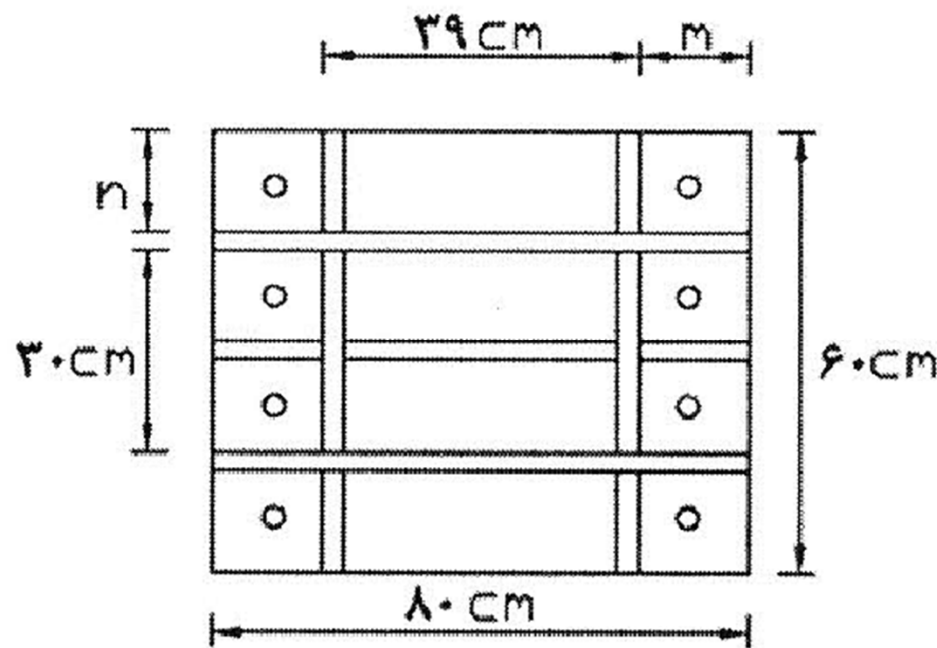
$$x = \frac{231 \pm \sqrt{(231)^2 - 4(3509/2)}}{2}$$

$$x = 16/4 \text{ cm}$$

$$T = \frac{(0/6)(60)(16/4)(0/85)(0/21)}{2} - 43/2 = 9/5 t$$

ضخامت ورق کف ستون با استفاده از سخت‌کننده به دست می‌آید. ضخامت سخت‌کننده‌ها 15 mm فرض می‌شود.

مثال



$$m = \frac{\lambda - 39}{2} = 20/\Delta \text{ cm}$$

$x < m$ ✓

$$n = \frac{60 - 30 - 2(1/\Delta)}{2} = 13/\Delta \text{ cm}$$

مثال

$$t_p = \sqrt{\frac{(43/2 + 9/5) \left(20/5 - \frac{16/4}{3} \right)}{(0/9)(60)(2/4)}} \left[1 - 0/5 \left(\frac{13/5}{20/5} \right)^2 \right] = 4/4 \text{ cm}$$

ورق $80 \text{ cm} \times 60 \text{ cm} \times 5 \text{ cm}$ انتخاب می‌شود.

مثال

سطح مقطع سخت کننده:

$$\delta = \frac{43/2 + 9/5}{(0/9)(0/6)(2/4)(60)} - \frac{A_{st}}{60} \quad A_{st} = 0$$

بنابراین در این حالت نیز ورق به تنها بی جوابگوی برش می باشد.

حداکثر طول مورد نیاز سخت کننده ها بر اساس طول جوش مورد نیاز به دست می آید.

با انتخاب جوش ۸ mm

$$l_w = \frac{9/5}{(0/75)(0/6)(4/2)(0/707)(0/8)} = 9/0 cm$$

ملاحظه می شود که طول کمی برای جوش به دست آمده است و حداکثر ابعاد سخت کننده جوابگو می باشد.

مثال

طراحی میله‌مهارها،

با قرار دادن $\Delta\Phi = 16$ مطابق شکل که چهار عدد در کشش قرار می‌گیرند، تنش ترکیبی بررسی می‌شود.

$$V_u = 1/2(2) + 1/6(3) = 7/2 t$$

$$f_v = \frac{7/2}{8(2/0.1)} = 0.45 \text{ } t/cm^2$$

$$f_t = \frac{9/5}{4(2/0.1)} = 1/18 \text{ } t/cm^2$$

مثال

$$F_{nt} = \circ / 75(3/7) = 2/78 t/cm^3$$

$$F_{nv} = \circ / 4(3/7) = 1/48 t/cm^3$$

$$F_{nt}' = 1/3(2/78) - \frac{2/78}{(\circ/75)(1/48)} (\circ/45) = 2/49 t/cm^3 < 2/78 t/cm^3$$

$$f_t \leq \phi F_{nt}'$$

$$f_v \leq \phi F_{nv}$$

$$1/18 t/cm^3 < (\circ/75)(2/49) = 1/82 t/cm^3$$

$$\circ/45 t/cm^3 < (\circ/75)(1/48) = 1/11 t/cm^3$$

میل مهارها جوابگو می باشند.